

I L L M Á R T O N
a fizikai tudományok kandidátusa

A FELSŐLÉGGÖR SZERKEZETE A MÜHOLDAK FÉKEZŐDÉSE ÉS
FEDÉLZETI MÉRÉSEK ALAPJÁN

DOKTORI ÉRTEKEZÉS

B A J A, 1 9 8 2.

Bevezetés	1.
1.§ Elméleti felsőlégköri modellek készítésének nehézségei.....	3.
1.1 Alapvető összefüggések	3.
1.2 Egyszerűsítő hipotézisek	7.
1.3 Energiát termelő és felemésztő folyamatok	11.
1.4 Összegezés	15.
2.§ A felsőlégkör sűrűségének meghatározása műholdak fékeződéséből	16.
2.1 A légköri közegellenállás hatása a műhold pályájára	16.
2.2 Formulák a légsűrűség meghatározására	17.
2.3 A módszer korlátai; pontossági megfontolások...	21.
3.§ A sűrűségmeghatározás gyakorlati kérdései	24.
3.1 Műholdak észlelésének technikai kérdései	24.
3.2 Közelítő pálya meghatározása és javítása	28.
3.3 Vizuális észlelések feldolgozási módszerei	31.
4.§ A felsőlégkörben felismert változások	43.
4.1 A felsőlégkör általános jellemzői	44.
4.2 Naptevékenységi hatások a felsőlégkörben	47.
4.3 A napszakos effektus	58.
4.4 A féléves effektus	70.
4.5 A geomágneses effektus	79.
4.6 Egyéb felsőlégköri effektusok	88.
4.7 Felsőlégi szelek	94.
4.8 A sűrűségi skálamagasság	103.
5.§ A termoszféra újabb modelljei	115.
5.1 Hőmérsékleti modellek	117.
5.2 A felsőlégköri komponensek modellezése	128.
5.3 Befejezés	137.
Felhasznált irodalom	138.
Függelék:	
1. A Gauss-féle egyenletek levezetése	F - 1
2. A Gauss-egyenletek második formája	F -10

3. A Lagrange-egyenletek levezetése	F - 12
4. Formula a sűrűség meghatározására	F - 16
5. Közelítő pálya meghatározása	F - 24
6. Parciális deriváltak meghatározása pályaszámításához	F - 29
7. Az INTEROBS-módszer	F - 32
8. Zsongolovics (2.21) formulájának levezetése ..	F - 35
9. Meridiánmetszés időpontjának kiszámítása	F - 36
10. Kedvező égi kör kiválasztása	F - 38

B E V E Z E T É S

Egy doktori értekezésnek többek között azt kell bemutatnia, hogy a szerző a saját szakterületét kellő színvonalon műveli, és mások által is értékelt eredményeket ért el. Látszólag tehát az lenne a legegyszerűbb, ha az értekezés szerzője felsorolná munkásságának főbb állomásait és eredményeit, valamint utóbbiak tudományos visszhangját. Így a disszertáció nagyon rövid lehetne ugyan, de kétségtelen, hogy az opponensek számára annál nehezebb volna a felsorolt eredmények súlyának, valódi értékének igazságos elbirálása. Így alakult ki az a gyakorlat, hogy a szerzők először bemutatják az érintett szakterületet, majd utána ismertetik saját eredményeiket.

Helyzetemet az nehezíti, hogy Almár Iván "A felsőlégköri geomágneses effektus összintenzitásának vizsgálata" című, a közelmúltban megvédett értekezésében több, mint száz oldalon, nagy hozzáértéssel ismerteti és foglalja össze a műholdak fékeződésén alapuló módszer problémáit és eredményeit. Nehéz és céltalan volna tehát egy teljességre törekvő összefoglalóban "ujat" adni, az bizonyára sikertelen vállalkozás volna. Éppen ezért jelen értekezésemben azt az utat követem, hogy képet adok a szakterület impozáns épületének egy-egy részletéről, és eközben mutatom meg azt a néhány téglát, amelynek elhelyezésében nekem is részem volt.

Az értekezés témájának gyökerei visszanyulnak 1958-ba, amikor a Bajai Csillagvizsgáló első, és akkor még egyedüli munkatársaként megszerveztem a bajai műholdmegfigyelést. Akinek nem volt része benne, nehezen tudja igazán elképzelni, hogy mennyi munka, segítőég, no meg: szerencse is kellett ahhoz, hogy vidéken, egy korábbi istállóban /!/ kicsirázzék egy új hazai kutatási ág /a felsőlégkör-kutatás/ magja, amelynek eredményei végülis helyet kaptak nemzetközi konferenciákon, a külföldi szakirodalomban.

Az értekezés anyagát 6 fejezetben foglaltam össze. Először azt mutatom be, hogy milyen nehézségek akadályozzák a tisztán elméleti felsőlégköri modellek készítését. Ez a fejezet tehát indokolja az empirikus és szemi-empirikus modellek készítését-javítását, vagyis azt a területet, amelyre munkásságom javarésze vonatkozik.

A második fejezetben részletesen ismertetem azokat az elvi alapokat, amelyek lehetővé teszik a légköri sűrűség meghatározását műholdak fékeződése alapján. Ezután megismerkedünk a sűrűségmeghatározás módszereivel, gyakorlati vonatkozásaival. A negyedik fejezetben sorra vesszük az eddig megismert,

modellekbe foglalt légsűrűségváltozásokat, a velük kapcsolatos nehézségeket. Az ötödik fejezetben kapnak helyet egyéb felsőlégköri vizsgálataim, amelyek meghaladják a mai modellek kereteit. A hatodik fejezetben néhány mai felsőlégköri modell ismertetésével és összehasonlításával bemutatom a modellkészítés mai problémáit és eredményeit.

Értekezésemben vannak olyan anyagrészek, amelyeknek az ad súlyt, hogy matematikailag kellően megalapozottak. Azonban ennek megmutatása megszakítaná a tárgyalás gondolatmenetét és néha terjedelmességhez vezetne. Ezért az ilyen, formulákkal zsufoltabb részeket /levezetés, bizonyítás/ a függelékben adtam meg. Ugyanugy függelékben mutatom meg néhány közhasználatu formula vagy egyenlet levezetését is, saját levezetésem alapján.

Amint az értekezésből majd kiderül, munkásságom nem hozott világmegváltó eredményeket, inkább kisebb sikerek viszonylag hosszú sorával jellemezhető. Ezek közül említésre méltó: új műholdészlelési módszerek kidolgozása és elterjesztése, az INTEROBS-program elméletének kidolgozása, az INTEROBS-program megszervezése és működtetése /a szocialista országokban ez volt az első eredményes sűrűségmeghatározási program/, különböző adatfeldolgozási módszerek kidolgozása, különböző felsőlégköri effektusok /27 napos, 11 éves, féléves, napszakos, geomágneses/ vizsgálata, teljesen újfajta sűrűségi skálameghatározási módszer kidolgozása, a skálamagasság széleskörű vizsgálata /e paraméter használhatóságának bemutatása/, éjszakai transzvektoriális szelek létezésének, felsőlégköri aszimmetriák létezésének, egy éjszakai másodlagos hőmérsékleti maximum létezésének kimutatása.

Az opponensek /nem is könnyű!/ feladata annak eldöntése, hogy az értekezésben felsoroltak különálló morzsák maradtak-e, vagy pedig valamilyen nagyobb egészé álltak össze ...

1. §. ELMÉLETI FELSŐLÉGKÖRI MODELLEK KÉSZÍTÉSÉNEK NEHÉZSÉGEI

Az aeronómiai kutatások egyik fő célja mindazon fizikai paramétereknek modellszerű ismerete, amelyek szerepet játszanak a felsőlégkör szerkezetének kialakításában, változásaiban. Ez indokolja olyan felsőlégköri modellek készítését, amelyek minél pontosabban reprezentálják a lejátszódó fizikai-kémiai folyamatokat. Egy ideális modell lehetővé tenné a felsőlégkör fizikai sajátosságainak, változásainak előterjesztését, mint a modell logikai következményeit. Valljuk be gyorsan, hogy ma még igen messze vagyunk attól, hogy ezt a - bizonyos értelemben - végső célt elérjük.

A fizika mai fejlettségi fokán a kivülálló joggal elvárhatná, hogy az említett ideális modellt jól ismert törvényszerűségek alapján, elméleti úton le lehessen vezetni. Sajnos, ez igen sok és nagy nehézségbe ütközik. Éppen ezért, az alábbiakban foglalkozunk az elméleti felsőlégköri modellek készítésének néhány alapvető kérdésével, hogy ennek kapcsán a felmerülő nehézségekre konkrétan is rámutathassunk.

1.1. Alapvető összefüggések

Mivel a légkör gázelegy, a Boltzmann-egyenletből viszonylag könnyen le lehet vezetni a rá vonatkozó általános érvényű megmaradási tételeket. Ezek a gázelegy koncentrációjára /tömegére/, impulzusára és energiájára vonatkoznak. Bár az egyenleteket már sokan levezették [32], [157], tárgyalásukat itt sem kerülhetjük el. Az egyértelmű tárgyalásmód miatt előbb néhány fogalmat kell bevezetnünk

Egy i típusú részecske \vec{v}_i lineáris sebességéből annak \vec{v}_i átlagsebességét a

$$\vec{v}_i = (1/n_i) \int \vec{v}_i f_i(\vec{v}, \vec{r}, t) d\vec{v} \quad (1.1)$$

összefüggés adja meg. Ebben n_i az i típusú részecskék koncentrációja, és $f_i(\vec{v}, \vec{r}, t)$ a sebesség eloszlásfüggvénye, amely esetleg függ a részecske t időpontbeli \vec{r} helyzetétől. A v_0 átlagos tömeg-sebességét /makroszkópikus sebességét/ a

$$\vec{v}_0 = (1/\rho) \sum_i n_i m_i \vec{v}_i \quad (1.2)$$

adja meg, ahol $\rho = \sum_i n_i m_i$ jelenti a részecskék teljes sűrűségét. A gázelegy egy i részecskéjének \vec{v}_i pekuliáris sebességét a

$$\vec{V}_i = \vec{v}_i - \vec{v}_0 \quad (1.3)$$

összefüggés határozza meg, és ennek az i részecskékre vonatkozó átlagértékét

nevezik \vec{V}_i diffúziós sebességnek. Így ez utóbbira felírható:

$$\vec{V}_i = \vec{v}_i - \vec{v}_0 \quad (1.4)$$

Az (1.2) összefüggéssel való összevetésből látható, hogy gázelegy esetén

$$\sum_i n_i m_i \vec{V}_i = 0 \quad (1.5)$$

Ezek után most már felírhatjuk a levegő egyik, n_i koncentrációjú összetevőjére a kontinuitási egyenletet:

$$(\partial n_i / \partial t) + \nabla \cdot [n_i (\vec{v}_0 + \vec{V}_i)] = P_i - L_i \quad (1.6)$$

ahol P_i és L_i jelenti a szóbanforgó komponens keletkezésének és annihilációjának mértékét, pl. fotoionizáció, fotodisszociáció vagy más, kémiai reakciók /más komponensekkel való kölcsönhatások/ következtében. Amennyiben ilyen folyamatok kizárhatók, vagyis a rendszer össztömege változatlan, (1.6) jobb oldala természetesen zérus. Így a fenti összefüggést mindegyik komponensre kiterjesztve ill. összegezve kapjuk:

$$(\partial n / \partial t) + \nabla \cdot (n \vec{v}_0) + \nabla \cdot (\sum_i n_i \vec{V}_i) = 0 \quad (1.7)$$

A ρ teljes sűrűség bevezetésére szorozzuk végig az egyenletet m_i -vel, miáltal \vec{V}_i is kiküszöbölődik:

$$(\partial \rho / \partial t) + \nabla \cdot (\rho \vec{v}_0) = 0 \quad (1.8)$$

Az (1.8) sűrűségi kontinuitási egyenlet az egyszerűségénél fogva arra csábíthat, hogy egy tetszőleges légekori komponensre alkalmazzuk. Ez azonban csak akkor jogos, ha biztos, hogy annak diffúziós sebessége nulla. Ez azonban ritka eset.

Viszkózus folyadék esetén az impulzus- és energiamegmaradást kifejező egyenletek felírása eléggé bonyolult [32], [51], [52], [157]. Ebben az esetben ui. a nyomást olyan tenzornak kell tekinteni, amely az átlagos tömegsebesség gradiens tenzorának egy nemdivergens szimmetrikus részét is tartalmazza. Ha azonban a μ viszkozitást állandónak tekintjük és a $\vec{\nabla} \vec{v}_0$ gradiensét elhanyagoljuk, a gázelegy impulzusára vonatkozó következő megmaradási egyenletet írhatjuk fel:

$$\frac{D\vec{v}_0}{Dt} + \frac{1}{\rho} \nabla p - \frac{\mu}{\rho} \nabla^2 \vec{v}_0 - \frac{1}{\rho} \sum_i n_i \vec{X}_i = 0 \quad (1.9)$$

ahol p a teljes hidrosztatikai nyomás és \vec{X}_i tetszőleges külső erő, amely az i típusú részecskékre hat. A D/Dt teljes derivált operátor jelentése $(\partial/\partial t) + \vec{v}_0 \cdot \nabla$.

Elhanyagolva a belső surlódás által disszipált energiát, az energiamegmaradási egyenlet a következő alakot veszi fel:

$$\partial n \mathcal{E} / \partial t + \nabla \cdot (n \mathcal{E} \vec{v}_0) + \nabla \cdot \vec{E} + p \nabla \cdot \vec{v}_0 - \sum_i n_i \vec{X}_i \cdot \vec{v}_i = P - L \quad (1.10)$$

Ahol \vec{E} jelenti a hőenergia-fluxus vektorát, és \mathcal{E} a részecskénti teljes translációs energia, a \vec{v}_0 sebességgel mozgó koordinátarendszerben:

$$\mathcal{E} = 1/2 \cdot N k T \quad (1.11)$$

Itt N a szabadsági fok számát jelenti, és k a Boltzmann-féle állandó. Utóbbi összefüggés segítségével (1.10) átírható a következő alakra:

$$\frac{Nk}{2} \frac{\partial nT}{\partial t} + \frac{Nk}{2} \nabla \cdot (nT \vec{v}_0) + \nabla \cdot \vec{E} + p \nabla \cdot \vec{v}_0 - \sum_i n_i \vec{X}_i \cdot \vec{v}_i = P - L \quad (1.12)$$

Nézzük meg közelebbről a hőenergia-fluxus \vec{E} vektorát!

$$\vec{E} = -\lambda \nabla T + T \sum_i c_{pi} \rho_i \vec{v}_i \quad (1.13)$$

ahol λ a hővezetési koefficiens és c_{pi} az állandó nyomáshoz tartozó fajhő. A kétféle fajhőre érvényes:

$$c_{vi} = (k/m_i) \cdot (N/2) \quad (1.14)$$

$$c_{pi} = (k/m_i) \cdot [1 + (N/2)] \quad (1.15)$$

ahol m_i az i típusú részecske molekulásúlya. Az egész gázelegyre vonatkoztatva a c_p és c_v hasonló szerkezetű formulával adható meg, csak ekkor az m_i helyett az $m = \sum_i \rho_i / \sum_i n_i$ közepes molekulásúly szerepel.

Elemezzük kissé (1.13)-at! - Az első tag a hőmérsékleti egyenlőtlen-ségekből adódó szokásos hőenergia-fluxust jelenti, míg a második tag a $\Sigma_i n_i \vec{V}_i$ molekula-áram által képviselt energiát adja meg. Ez a második tag el is tűnik az egyenletből, ha a hőáramlás sebességét nem a \vec{v}_0 átlagos tömeg-sebességhez, hanem a molekulák átlagos sebességéhez képest mérjük. Igazság szerint még egy harmadik, az α_τ termikus diffúziós koefficienssel arányos tagnak is kellene szerepelnie az egyenletben, de légköri vizsgálatoknál ezt rendszerint elhagyják, mivel a termodiffúzió a légkör főbb komponenseinél nem játszik lényeges szerepet.

Ha az (1.13) második tagja nulla, az rendszerint azzal jár együtt, hogy $\Sigma_i n_i m_i \vec{V}_i \neq 0$. Ekkor ezt a tagot is bele kell foglalni az (1.8) sűrűségi kontinuitási egyenletbe, míg az (1.7) koncentrációs kontinuitási egyenletből kimarad a $\Sigma_i n_i \vec{V}_i$ tag. Hasonló módosítások lépnek fel az (1.12) energia-egyenletben is.

Az (1.8) sűrűségi kontinuitási egyenletre támaszkodva, és c_v bevezetésével az (1.12) egyenletet még egyszerűbb alakra hozhatjuk:

$$\rho(D/Dt)(c_v T) + p \nabla \cdot \vec{v}_0 + \nabla \cdot \vec{E} - \Sigma_i n_i \vec{X}_i \cdot \vec{V}_i = P - L \quad (1.16)$$

Megjegyzendő, hogy az egyenlet bal oldalának utolsó tagja zérussá válik, ha az X_i/m_i külső gyorsítások függetlenek a részecskék természetétől /pl. gravitációs erők esetében/. Fontos az a korlátozás, hogy ez az egyenlet sem érvényes, ha egyetlen komponensre akarjuk alkalmazni.

Az eddigiekből már látható, hogy egy légköri modell felépítése hatalmas feladat. Bár a légkört ideális gáznak, vagy még inkább: enyhén ionizált plazmának tekintjük, benne rendkívül komplex fizikai és kémiai folyamatok játszódnak le. A felsőlégkör egzakt tárgyalása az említett egyenletek keretei között megkívánja a gázdinamika és a termodinamika alkalmazását, figyelembe véve a semleges részecskék kölcsönhatását töltött részecskékkel és a geomágneses térrel. De kellő pontossággal kell ismerni az energia-abszorpciós és emissziós folyamatokat is, valamint a szoláris fizikát. Külön problémát jelent, hogy a megoldás csak akkor szolgáltatathat reális eredményeket, ha kellő pontossággal ismerjük a határfeltételeket, vagyis a szereplő paraméterek és az energia-fluxus változásait az alsó határnál /azaz a turbulens alsó légkör felső határánál/ és a felső határnál /az interplanetáris tér kezdeténél/.

Mindezt együttvéve matematikai nyelven roppant egyszerűen lehet kifejezni, amikor azt mondjuk, hogy egyenletrendszerként /szimultán/ kell megoldani a háromdimenziós, időben változó határfeltételekhez kötött (1.8), (1.9) és (1.16) egyenleteket, hozzácsatolva bizonyos, a \vec{V}_1 diffúziós sebességeket szolgáló egyenleteket. Ugy tűnik azonban, hogy ez a feladat, a ma rendelkezésre álló eszközökkel, még nem oldható meg teljességgel. Részleges megoldást adhat bizonyos egyszerűsítő feltevések bevezetése, de emellett lényeges szerepet játszanak a légkör termikus strukturáját meghatározó fizikai folyamatokra vonatkozó experimentális információk. Az egyik legjobb közelítő megoldás kapcsán a szerző [52] felhívja a figyelmet arra, hogy matematikai szempontból még bizonyításra szorul, hogy ennek az integro-parciális differenciálegyenletekből álló rendszernek van egyértelmű megoldása. Sajnos, a fenti egyenletek egyik közelítő, háromdimenziós megoldása [51] pl. olyan eredményre vezetett, hogy 200 km feletti magasságban egy adott nap folyamán a hőmérséklet hamarabb éri el maximális értékét, mint a sűrűség. Ez a megállapítás ellentmondásban van alapvető megfigyelési tényekkel. A fékeződésből levezetett sűrűségi adatok szerint [117], [118] u.i. a sűrűségi maximum 14h helyi idő körül lép fel, míg inkohereus szóródási megfigyelések [28, 29, 174, 201] a hőmérsékleti maximumot kb. 17h LT-re teszik.

De még az egydimenziós megoldás sem megy könnyen. Így pl. Harris és Priester [59, 60] kénytelen volt a szoláris EUV-sugárzás abszorpciója mellett egy ismeretlen, hipotetikus hőenergiaforrást bevezetni, mert különben a sűrűségi maximum időpontja 17h LT-kor lett volna, a modell szerint. Hasonló nehézséggel találta szembe magát Lagos és Mahoney. A nehézségek láttán az újabb próbálkozásoknál az esetleges horizontális légmozgások figyelembevételére Coriolis-erőket és ion-közegellenállást vezettek be a hidrodinamikai egyenletekbe [47]. A kétdimenziós megoldás esetében az egyenletrendszer már olyan komplikálttá vált, hogy lényeges egyszerűsítéseket kellett bevezetni. Eddig kivétel nélkül mindegyik modell úgy született, hogy a megmaradási egyenleteket egyszerűsítő feltevésekkel próbálták kezelhetőbbé tenni. A nehézségeket úgy értjük meg kellően, ha végigkísérünk néhány egyszerűsítő feltevést.

1.2. Egyszerűsítő hipotézisek

Bár az általánosító megmaradási egyenleteket planetáris légkörökre még nem oldotta meg senki, széles körben bevezettek már több, különböző egyszerűsítő feltevést. Mielőtt felírnánk a szóbanforgó egyenleteket, érdemes tisztázni

a légköri összetevőkre ható $\vec{\chi}_i$ külső erők természetét. Az összes lehetséges erő között számításba kell venni a gravitációs erőt, a Coriolis erőt, és a különböző frikciós erőket, amelyek a semleges gáz és az ionközeg relativ mozgásával kapcsolatban lépnek fel. A gravitációs és Coriolis gyorsulások nem függenek a részecskék természetétől, ezért (1.5) értelmében ezek esetében a $\Sigma_i n_i \vec{\chi}_i \vec{V}_i$ -tag eltűnik. Ez természetesen nem áll fenn azokra a tagokra, amelyek az ion-közegellenállást reprezentálják és függenek a relativ sebességektől és a részecskék közötti ütközési frekvenciától. Az \vec{F}_i erő tehát ezeket fogja reprezentálni az egyenletekben.

Célszerű a Coriolis erőt explicite megadni. Ha a Föld szögsebessége $\vec{\omega} = \text{konstans}$, akkor egy geocentrikus \vec{r} helyvektor esetében a Coriolis erő $F_C = m_i [2\vec{\omega} \times \vec{v}_O + \vec{\omega} \times (\vec{\omega} \times \vec{r})]$ és a megmaradási egyenletek:

$$(\partial \rho / \partial t) + \nabla \cdot (\rho \vec{v}_O) = 0 \quad (1.17)$$

$$\frac{Dv_O}{Dt} + \frac{1}{\rho} \nabla p - \frac{\mu}{\rho} \nabla^2 \vec{v}_O - \vec{g} - 2\vec{\omega} \times \vec{v}_O - \vec{\omega} \times (\vec{\omega} \times \vec{r}) - \frac{1}{\rho} \Sigma_i n_i \vec{F}_i = 0 \quad (1.18)$$

$$\rho (D/Dt)(c_V T) + p \nabla \cdot \vec{v} + \nabla \cdot \vec{E} - \Sigma_i n_i \vec{F}_i \cdot \vec{V}_i = P - L \quad (1.19)$$

Látható, hogy míg az impulzus megmaradási egyenletben az összes külső erő szerepel, addig az energia megmaradási egyenletben csak a frikciós erők fordulnak elő. Az impulzus-egyenletből többben számítottak horizontális légköri szeleket [10, 34, 153], bár a számításnál szükség van a vertikális termikus struktúra ismeretére, amit viszont az (1.19)-ből lehet levezetni.

Lényeges egyszerűsítés bevezetését jelenti annak feltételezése, hogy a \vec{V}_i diffúziós sebességek nullák. A feltevés nem érinti ugyan az (1.17) sűrűségi kontinuitási egyenletet és az (1.18) impulzusegyenletet, de az (1.7) koncentrációs kontinuitási egyenlet most már

$$(\partial n / \partial t) + \nabla \cdot (n \vec{v}_O) = 0 \quad (1.20)$$

alakra egyszerűsödik. Ugyanakkor a c_V -re vonatkozó összfüggés és az (1.17), (1.20) egyenletek felhasználásával az energia-egyenlet is egyszerűbb alakot vesz fel:

$$\rho c_V (D/Dt)(T) + p \nabla \cdot \vec{v}_O + \nabla \cdot \vec{E} = P - L \quad (1.21)$$

Ebben az esetben a hőenergia-fluxus egyetlen taggal írható le:

$$\vec{E} = -\lambda \nabla T \quad (1.22)$$

Ha feltételezzük, hogy $\sum_i n_i \vec{V}_i = 0$, vagyis a légkörben nem lép fel diffúziós áramlás, az (1.19) energia-egyenletbe bele kell venni a $\sum_i n_i \vec{F}_i \vec{V}_i$ -tagok hozzájárulását az energiamérleghez, míg a többi egyenletet ez nem érinti. A diffúziós transzport folyamatokból tehát olyan nehézségek adódnak, amelyeket csak úgy lehet elkerülni, ha mindegyik összetevőre feltételezzük, hogy $\vec{V}_i = 0$. Ez más szavakkal azt jelenti, hogy a légkörnek minden hőmérsékletváltozásnál diffúz egyensúlyi állapotban kell lennie. Egy ilyen feltevés azonban megkérdőjelezhető, mert ez azt is jelentené, hogy a diffúz egyensúlyi állapot eléréséhez szükséges idő elhanyagolható a hővezetési időhöz képest. Ennek ellenére, fenti feltevést több szerző is alkalmazta [47, 59, 60], hogy a felső légköri dinamikai effektusok nagyságrendjét megbecsülhesse.

A légkör termikus szerkezetének elemzésénél több ízben támaszkodtak az (1.21)-re. Ezért érdemes megnézni, hogy milyen kihatása van a \vec{v}_0 átlagos tömegsebességre vonatkozó esetleges feltevéseknek.

Legegyszerűbb az az eset, amikor \vec{v}_0 -t elhanyagolják, mert akkor az energia-egyenlet igen egyszerű alakú:

$$\rho c_v (\partial T / \partial t) + \nabla \cdot \vec{E} = P - L \quad (1.23)$$

Diffúz egyensúlyi eloszlást feltételezve a légköri összetevőkre, az (1.23) egyenlet egy-dimenziós megoldása, numerikus integrálással, viszonylag könnyen megkapható.

Azokban figyelembe vehetjük az átlagos tömegsebességet oly módon is, hogy (1.17) és (1.20) felhasználásával:

$$\nabla \cdot \vec{v}_0 = - \frac{1}{\rho} \frac{D\rho}{Dt} = - \frac{1}{n} \frac{Dn}{Dt} \quad (1.24)$$

Ez a reláció magában foglalja azt a feltevést, hogy stacionárius állapot feltételei mellett az m molekulasúly nem változik a magassággal, vagyis $Dm/Dt=0$, ami az előző $\vec{V}_i = 0$ feltevés egyenes következménye. Ebben az esetben viszont (1.21) a következő alakra írható át:

$$\rho c_v \frac{DT}{Dt} - \frac{p}{n} \frac{Dn}{Dt} + \nabla \cdot \vec{E} = P - L \quad (1.25)$$

Az ideális gáztörvény felhasználásával még egy kis átalakítás végezhető:

$$\rho c_v \frac{DT}{Dt} - \frac{Dp}{Dt} + \nabla \cdot \vec{E} = P - L \quad (1.26)$$

Az (1.25) baloldalán szereplő 3 tag kompenzálja a hőenergiát termelő és felemésztő folyamatokat. Könnyű e tagokat értelmezni: az első jelenti a belső energia változást, amely egy folyadék-cella mozgását kíséri, a második tag az adiabatikus felmelegítést vagy lehűlést jelenti, míg a harmadik a vezetési által történő, lefelé irányuló hőenergia transzportot képviseli.

Matematikai szempontból nem jelent különösebb problémát az (1.17), (1.18) és (1.26) parciális differenciál egyenletekből álló rendszer megoldása a \vec{v}_0 , ρ , p , T függő változókra, de komoly nehézséget jelentenek a határfeltételek, amelyek csak kevéssé ismertek. Az (1.26) energia-egyenletet egydimenziós esetre már többen megoldották, de úgy, hogy az átlagos tömegsebességre további egyszerűsítést vezettek be. Az egydimenziós esetben megengedhetőnek tűnt a $Dp/Dt = 0$ feltevés [60]. Ez a feltétel a \vec{v}_0 sebesség w_0 vertikális komponensére a következő következménnyel jár:

$$w_0 = T \int_{z_0}^z \frac{1}{T^2} \frac{\partial T}{\partial t} dz \quad (1.27)$$

ahol z_0 az alsó határ magassága. Ha most elhanyagoljuk a horizontális áramlás hatását a vertikális nyomási gradiensre, vagyis ha $\partial p / \partial z = -\rho g$, akkor a kiinduló feltétel a

$$w_0 = -H \frac{\partial}{\partial t} \int_{z_0}^z \frac{dz}{H} \quad (1.28)$$

összefüggéshez vezet, ahol $H = kT/mg$ jelenti a skálamagasságot. Némi átalakítás után ez az összefüggés így is írható:

$$w_0 = H \int_{z_0}^z \frac{1}{H^2} \frac{H}{t} dz \quad (1.29)$$

Az (1.29) azonban magában foglalja a $Dm/Dt = 0$ relációt is, vagyis a magasságtól független molekulasúlyt, ami bizony elég durva közelítés! Kimutatható, hogy (1.27) vagy (1.29) nem egyéb, mint az (1.24) kontinuitási egyenlet vertikális komponensének megoldása.

Horizontális mozgások figyelembevételének szükségessége esetén felmerül az a probléma, hogy az (1.29) nem adja meg a vertikális sebességet. Pedig már 1 m/s sebességgel jellemezhető horizontális áramlás olyan adiabatikus felmelegedéshez vezethet, amely a legfőbb felsőlégköri hőforrással, a szoláris ultraibolya sugárzás fűtésével összehasonlítható. Ebből tehát az következik, hogy a légköri hőegyenleg felállításánál figyelembe kell venni a légköri mozgásokat is /szelket/. Persze, a megmaradási egyenletek háromdimenziós szimultán megoldása lenne az ideális megoldás, mert akkor egyidejűleg kapnánk meg a légkör összetételére és szélrendszerére vonatkozó paramétereket. Az eddig vázolt nehézségek azonban nyilvánvalóvá teszik, hogy ettől még messze vagyunk.

1.3. Energiát termelő és felemésztő folyamatok

Már a kezdeti felsőlégköri sűrűségmérések érdekes és elgondolkoztató eredményeket adtak. Kiderült például, hogy a 200 km feletti tartomány egyik legjellegzetesebb vonása, hogy a sűrűség a magassággal csak igen lassan csökken. A hidrosztatikai egyensúly törvénye szerint ez csak úgy magyarázható, hogy a skálamagsság erősen csökken a magassággal. Ez azonban csak első közelítésben igaz. Tekintve a $H = kT/Mg$ összfüggést, belátható, hogy ha feltételezzük a molekuláris légkörről ($M=29$) diffuz szeparáció következtében egy atomi összetételű légkörre ($M = 14$ vagy 16) való áttérést, az a H értékét csak megkétszerezi. Ez azonban még távolról sem elegendő a megfigyelt sűrűségcsökkenés magyarázatára. Így tehát fel kell tételezni a hőmérséklet jelentékeny növekedését is [179, 180]. Ez két formában is elképzelhető. Növekedhet a hőmérséklet oly módon, hogy még a legnagyobb magasságokban is létezik egy hőmérsékleti gradiens. De elképzelhető egy 200 km alatt kezdődő, igen erős hőmérsékletnövekedés, amely a hőmérsékleti gradiensnek 200 km feletti fokozatos csökkenése mellett, egy nagyobb magasságnál kezdődő izotermikus tartomány kialakulásához vezet. Elméleti megfontolások hamarosan kimutatták, hogy energetikai okok miatt csak az utóbbi elképzelés lehetséges.

Ha figyelembe vesszük, hogy 100 km magasságban a hőmérséklet általában nem éri el a 250 K-t, de 500 km magasságban már 600-2000 K értékek fordulnak elő, akkor nyilvánvaló, hogy ez csak bizonyos mennyiségű energia abszorpciója és hővé alakulása révén következhet be. Feltételezve, hogy 100 km felett a vertikális hővezetés a fő energia transzport folyamat, egy tiszta oxigénből álló légkörben - a számítások szerint - a mondott hőmérsékleti viszonyok [11]

$$dT/dz = 13.2 T^{-0,69} \cdot E \text{ K km}^{-1}$$

vertikális hőmérsékleti gradiens mellett valósulnak meg, míg egy molekuláris oxigén-nitrogén légkörben ez az érték:

$$dT/dz = 17.8 T^{-0,69} \cdot E \text{ K km}^{-1}$$

Ezekben az összefüggésekben E jelenti a lefelé irányuló hőenergia fluxus abszolút értékét $\text{erg cm}^{-2}\text{s}^{-1}$ -ben. Így most már nyilvánvaló, hogy ha a hőenergia fluxus akár csak $1 \text{ erg cm}^{-2}\text{s}^{-1}$ nagyságrendű, ez már eredményezhet $35 - 10 \text{ K/km}$ -es hőmérsékleti gradienst, attól függően, hogy milyen a hőmérséklet abban a magassági tartományban, ahol a hővezetés történik.

Mindazok, akik eddig foglalkoztak a kérdéssel, egyetértettek abban, hogy a felsőlégkör legfőbb hőenergia forrását azok az abszorpciós folyamatok jelentik, amelyekben a szoláris ultraibolya sugárzás egy része alakul át hőenergiává. Természetesen, amellett létezhetnek még más, jelentékeny energiatermelő folyamatok is. Ezek közül néhányat jól ismerünk. Ilyen például az ionok és semleges részecskék kölcsönhatásából származó Joule-féle disszipáció, és a légköri hullámok, mint pl. gravitációs hullámok, árapály oszcillációk. Bár eléggé jól ismert fizikai mechanizmusról van szó, mégis nagy bizonytalanságban vagyunk az e folyamatok által a légkörben termelt energia mennyiségét illetően.

Modell készítésénél azonban a fentiek mellett az energia-egyenletben azokat a tagokat is figyelembe kell venni, amelyek tartalmazzák az átlagos tömegsebességet. Ezeket gyakran úgy szerepeltetik, mintha éjszakai kompresszív hőforrások lennének, nappal pedig expanzív hőelnyelő folyamatok. Kézenfekvő volna az a gondolat, hogy e tagokat nem kell reális energiaforrásoknak ill. energiát felemésztő folyamatoknak tekinteni, mivel egy 24 órás ciklusban az integrált hozzájárulásuk a légkör energiamérlegéhez éppen nulla. Ez természetesen igaz, ennek ellenére nem lehet e tagokat az energiaegyenletekből kihagyni, mivel éppen ezek befolyásolják erőteljesen a hőmérséklet eloszlását a nap folyamán. Ha viszont az impulzus- és energia-egyenleteket nem szimultán oldják meg, nehéz a kompresszív és expanzív tagok nagyságrendjét megbecsülni. Az eddigi, közelítő számítások azt mutatják, hogy az e tagokkal kapcsolatos összes energianyereség viszonylag kicsiny az ultraibolya tartományban abszorbeált összes energiához képest. Ezeket az effektusokat mégis figyelembe kell venni, mert szerepet játszanak még 200 km feletti magasságokban is, ahol már csak igen kevés ultraibolya sugárzás nyelődik el [150].

A legtöbb elméleti modell egyedül az ultraibolya sugárzás abszorpcióját veszi figyelembe. Gyakorlati okok miatt a szoláris szinképet két részre osztják: az egyik a Schumann-Runge kontinuum (175 nm alatt), és az a hullámtartomány, amely a Lyman- β -től (102,6 nm) terjed 8 nm-ig. Hosszabb és rövidebb hullámtartományokat azért nem vesznek figyelembe, mivel 100 km felett azok a sugárzások csak nagyon kevésbé nyelődnek el. A Schumann-Runge-tartományban elnyelődött sugárzásból nyerhető energiát többen megbecsülték. Az Ackerman [2] által tabulált értékek szerint a nyerhető energia mintegy $15 \text{ erg cm}^{-2}\text{s}^{-1}$ nagyságrendű. A 102,6 nm és 8 nm közötti tartományban a teljes ultraibolya fluxus $1,7 - 4,5 \text{ erg cm}^{-2}\text{s}^{-1}$ között változhat, a naptevékenység intenzitása szerint. Nem szabad azonban elfelejtenünk, hogy a szoláris fluxus mellett ismernünk kel-

lene a hőenergiává alakulás ϵ_T hatásfokát is. E téren oly nagy bizonytalanság uralkodik, hogy a szakirodalomban 0,1 és 1 közé eső bármely értéket meg lehet találni.

Nem teljesen világos az sem, hogy a légkör felfűtését biztosító abszorpció hol történik. A sokoldalú vizsgálatok azonban mind azt mutatják, hogy az energia legnagyobb része a 120 km alatt abszorbeált sugárzásból származik. A 140 km feletti magasságokban az ultraibolya hőtermelés a rövidebb hullámhosszúságú sávban nagyobb, mint a Schumann-Runge tartományban. A 102,6 nm alatti sávból származó energia egyedül is elég volna ahhoz, hogy a termopauza hőmérséklete 600 K - 2000 K-re emelkedjék. Ebből viszont az következik, hogy a Schumann-Runge kontinuum által termelt hőenergia figyelembevétele megkivánja bizonyos mennyiségű hőenergia lefelé való turbulens szállítását [130], mivel a kinetikus hővezetést mint kizárólagos mechanizmust feltételezve a 100 km körüli magasságokban igen nagy hőmérsékleti gradiensek lépnének fel.

Az UV-abszorpción kívül a legjelentősebb hőforrás a felsőlégkörben az ionoszférikus áramokból származó Joule-fűtés [36]. Minthogy a Joule-fűtés arányos az elektronkoncentrációval és az elektromos erőter négyzetével, az effektus főleg az aurorális vidékeken jelentős, elsősorban zavart körülmények között. Geomágneses szempontból zavart időszakban a Joule-fűtés révén disszipált összes energia mennyisége ilyenkor nagyobb, mint az UV-abszorpcióból származóé. Megállapították azt is [33], hogy a Joule-fűtés mértéke éjszaka nagyobb, a nappalnak akár kétszerese is lehet. Ilyen körülmények között az egész termoszféra zavart állapotba kerül, és kialakul egy az egyenlítő felé tartó szélrendszer. A Joule-disszipáció lényegét tekintve egy csatolási mechanizmusról van szó, amely a semleges és az ionizált légkör között jön létre, mint ahogy erre az impulzus- és energiamegmaradási egyenletnél utaltunk is. Mind inkoherens radarmérések, mind elméleti számítások azt mutatják, hogy geomágneses viharok esetén a 200 m/s körüli szélességek közönségesek a termoszférában, de előfordulhatnak 500-1000 m/s-os szélességek is. Elektromos térre vonatkozó mérési adatok, valamint ionoszféra-modellből vett elektronkoncentrációk felhasználásával végzett számítások alapján feltételezhető [33], hogy a Joule-disszipáció az UV-abszorpcióhoz hasonló nagyságrendű és profilu. Bár ez a fűtési mechanizmus elsősorban a magasabb szélességekre koncentrálódik, a keletkezett hőenergia eloszlik a teljes termoszférában.

Érdekes volna belevenni a Joule-fűtést egy elméleti modellbe. Ehhez azonban szükség volna részletesebb információkra, elsősorban az ionokat a semleges gázon keresztül mozgató elektromos tér szerkezetére és intenzitására vonatkozóan. Minthogy a fűtési mechanizmust az ún. ion-közegellenállás okozza, a modellezésnél elengedhetetlen az ionoknak a semleges részecskékhez képesti sebességének pontos ismerete. Bonyolítja a helyzetet, hogy egyidejűleg viszkózus hődisszipációval is kell számolni. Mindez azt jelenti, hogy egy semleges légköri modell készítésénél a korábban vázolt nehézségek mellé még az is hozzájárul, hogy szimultán ki kellene számítani a termoszféra ionoszférikus szerkezetét is. Ez matematikailag azt jelenti, hogy az ismertetett semleges megmaradási egyenletek mindegyikéhez hozzá kellene csatolni az ionokra és elektronokra vonatkozó megfelelő egyenletet, miáltal a megoldás lényegesen komplikáltabbá válik.

A felsőlégkör hőhártartásában atmoszférikus hullámok is szerepet játszhatnak [69, 221, 160]. Hines 120 km feletti magasságnál az energiafelvételt $0,1 \text{ erg cm}^{-2}\text{s}^{-1}$ -re becsülte [70]. De a feltételezett energiaforrás modellezése nehéz, mivel változásai egyáltalán nem ismeretesek. Komplikálja a helyzetet, hogy hullámdisszipáció nemcsak az alsó légkörben keletkezett, közepes méretű hullámokból származhat, hanem az aurórális vidékek felett, nagy magasságokban keletkezett makroszkópikus hullámok révén is. Így tehát a termoszféra hullámdisszipáció révén alulról is, még felülről is vehet fel energiát. Alapos számítások [155] szerint a geomágneses viharok idején az aurórális vidéken gerjesztett gravitációs hullámok igen jelentékeny hőmérséklet emelkedéseket okozhatnak, amelyek azonban nem haladják meg a holdak fékeződéséből levezetett empirikus formulával [115] kapott értékeket.

Ha összegezni akarjuk a kialakult helyzetet, meg kell állapítanunk, hogy eddig még nem publikáltak olyan légköri modellt, amely a fentebb felsorolt hőenergia források mindegyikét figyelembe vette volna. Ha kezdetben az volt a probléma, hogy a modell-készítésnél nem áll rendelkezésre annyi hőenergia, hogy az észlelt viszonylag magas hőmérsékletek előállíthatók legyenek, ma már az okoz gondot, hogy miként lehet annyi energiát felemésztő folyamatot beiktatni a modellbe, hogy ne lépjenek fel /a modellben/ olyan magas hőmérsékletek, amelyeket a megfigyelések nem igazolnak!

Kézenfekvő egy lefelé irányuló hővezetési mechanizmus feltételezése. Ezen kívül egyedül az atomi oxigén infravörös emissziója $0,063 \text{ nm}$ hullámhosszon az egyetlen energiavesztési folyamat, amelyet termoszférikus modellekbe

beiktattak. Azonban kimutatható [149], hogy 150 km alatti magasságoknál a sugárzási energiáttranszport erősen csökkenti a 0,063 mm-es emisszió értékét, úgyhogy az 100 km magasságban már elhanyagolhatónak tekintendő. Így aztán a 100-120 km-es tartományban a molekuláris hővezetés következtében igen nagy hőmérsékleti gradiensek léphetnek fel. Ezért feltétlenül más, hővesztéssel járó folyamatokat kell beiktatni. Valószínűleg más infravörös emissziók játszanak szerepet a felsőlégkör hőháztartásában. Vannak is erre utaló megfigyelések. Például 150 km feletti magasságokban erős infravörös emissziót észleltek a 0,006 - 0,008 mm-es sávban, bár ennek fizikai magyarázatát nem ismerjük. A 0,015 mm-nél erős emissziós sugárzást mértek /Stair/, amely a CO₂-től származik: 120 km-nél $1 \text{ erg cm}^{-2}\text{s}^{-1}$, míg 100 km-nél ennek tízszeresét! Ennek alapján elképzelhető, hogy a 100-120 km-es sávban a CO₂ játszik jelentékeny szerepet, mint hűtőközeg.

1.4. Összegezés

Ugy véljük, hogy a fentiekben, ha csak vázlatosan is, de a lényeges részleteket érintve bemutatottuk azokat a nehézségeket, amelyek ma még nem teszik lehetővé egy, a reális felsőlégkört reprezentáló modell készítését elméleti úton. Talán azt is sikerült érzékeltetnünk, hogy nemcsak matematikai problémákról van szó. Az alapvető nehézséget az okozza, hogy nem ismerjük kellően azokat a fizikai-kémiai folyamatokat, amelyek meghatározzák a felsőlégkör energiamérlegét. Ezek nélkül pedig nyilvánvalóan csak olyan elméleti modellek készíthetők, amelyek nem kielégítő módon adnak közelítő képet a felsőlégkörről és annak változásairól.

Ezek alapján érthető, hogy miért van olyan nagy jelentősége az empirikus vagy szemi-empirikus modelleknek, amelyek fáradságos munkával, sokféle technikával összegyűjtött mérési eredményekből születnek, de lehetővé teszik, hogy viszonylag nagy pontossággal megadjuk a felsőlégkör fontosabb paramétereinek értékét egy kivánt időpontra vonatkozóan, és le tudjuk írni e paraméterek változásait, még akkor is, ha nem vagyunk teljesen tisztában azzal, hogy miként zajlanak le azok a folyamatok, amelyek e változásokat előidézik.

2.S. A FELSŐLÉGKÖR SŰRŰSÉGÉNEK MEGHATÁROZÁSA MŰHOLDOK FÉKEZŐDÉSÉBŐL

Az aktív űrkutatás első két évtizedében alakult ki és élte virágkorát az a módszer, amely a műholdra ható közegellenállást használja a sűrűség meghatározására. Bár az utóbbi években egyre több fedélzeti műszert állítottak a felsőlégkör szolgálatába [61, 212, 214], a légsűrűség meghatározásának ezt a mindmáig legolcsóbb módszerét ma is több helyen rendszeresen használják /Anglia, Bulgária, Magyarország, Lengyelország, Románia, Szovjetunió/. A következőkben arról szeretnénk képet kapni, hogy ez a módszer milyen elvi alapokon nyugszik, és mi szükséges a felsőlégkör sűrűségének meghatározásához.

2.1. A légköri közegellenállás hatása a műhold pályájára

Régen ismert, hogy a levegő sűrűsége a magassággal rohamosan csökken. Ezért /főleg a nagy excentricitású/ ellipszis-pályán keringő hold szinte "megmártózik" a perigeum környezetében található közegben, amely lényegesen sűrűbb, mint a pálya többi pontjának magasságában. Közepes naptevékenység mellett pl. a 200 km-es perigeummagassághoz tartozó légsűrűség $2,78 \cdot 10^{-10}$ kg/m³, míg 1000 km magasságban már csak $3,02 \cdot 10^{-15}$ kg/m³, tehát a perigeumban a sűrűség 10^5 -szer akkora, mint 1000 km magasságban. Ez más szavakkal azt jelenti, hogy a közegellenállás is elsősorban a perigeum környezetében fejti ki hatását. A továbbiakban a közegellenállásnak ezt a hatását egyetlen pontra, a perigeumra vonatkoztatjuk, és csak a fejezet végén korrigáljuk ezt az egyszerűsítő feltevést.

A közegellenállás hatása abban nyilvánul meg, hogy a hold a perigeumon áthaladva bizonyos mennyiségű munkát végez, tehát veszít energiájából, és ennek következtében a további keringés folyamán már nem tud olyan mértékben eltávolodni a Föld középpontjától, mint az előző keringésnél. Csökken tehát az apogeum magassága, bár a perigeumé alig változik. Így tehát a hold nem egy állandó alakú és méretű ellipszisen kering, hanem a közegellenállás hatására egy elliptikus spirális mentén halad. Ezt szabatosabban úgy fejezhetjük ki, hogy a hold pillanatonként más-más ellipszisen mozog, és ezen ellipszisek a fél nagytengelyei és e numerikus excentricitásai monoton csökkenő sort alkotnak /ha csak a közegellenállást tekintjük/. A két pályaelemnek ezeket a megváltozásait perturbációknak nevezzük és e perturbációkból lehet az őket okozó közegellenállásra, ill. légköri sűrűségekre következtetni.

A légkör még több száz km-es magasságban is rotál /a Földhöz viszonyítva/. Ennek hatására a hold pályasíkja is elszenved bizonyos perturbációkat, ami az I inklináció és Ω csomópont megváltozásában nyilvánul meg. E hatások azonban viszonylag kis amplitudójuak, és rájuk még jelentékeny gravitációs eredetű perturbációk is szuperponálódnak. Ezért egyszerűbb a sűrűség meghatározására az a és e pályaelemek perturbációit használni. A következő paragrafusban az lesz a célunk, hogy az égimechanika módszereinek e problémáira való alkalmazásával e perturbációk segítségével levezessük a perturbáló közeg sűrűségét megadó formulát.

2.2. Formulák a légsűrűség meghatározására

Az égimechanika alapesete a kéttestprobléma, amelynek megoldása századok óta ismert. Azt is régen tudjuk már, hogy a kéttestprobléma keretében milyen hatása van a test mozgására, ha egy külső, perturbáló erő lép fel. Nagyon sok égimechanikai tankönyvben megtalálhatók az ezeket a perturbációkat leíró Lagrange- vagy Gauss-féle egyenletek [49, 94, 254].

Mivel a közegellenállás tangenciális erő, a mi esetünkben kiindulásként a Gauss-féle egyenletek kínálkoznak, mégpedig u.n. második formájukban. Ezek a perturbációs egyenletek többféleképpen is levezethetők, és a könyvek ritkán adják meg a levezetést teljes részletességgel. Ezért tartom érdemesnek saját levezetésem bemutatását. A levezetés azonban elég hosszadalmas, gondolatmenetünk szempontjából pedig csak a végeredményre van szükség, ezért a kérdéses részt a függelékben szerepeltetem /1. sz. FÜGGELÉK: Gauss-féle egyenletek levezetése; 2. sz. FÜGGELÉK: A Gauss-féle egyenletek 2. formája; 3. sz. FÜGGELÉK: A Lagrange-egyenletek levezetése/.

Induljunk ki az a és e pályaelemek perturbációs egyenleteiből /1. 2. sz. FÜGGELÉK-ban!/:

$$\frac{da}{dt} = \frac{2\sqrt{1+e^2+2e\cos\theta}}{n\sqrt{1-e^2}} T$$

$$\frac{de}{dt} = \frac{2\sqrt{1-e^2}(e+\cos\theta)}{na\sqrt{1+e^2+2e\cos\theta}} T$$

Az a célunk, hogy az egyenletek segítségével kifejezzük az 1 keringés folyamán fellépő perturbációk összegét.

Az első átalakításokkal az integrálás szempontjából kényelmetlen gyökjeleket tüntetjük el, majd perturbáló T erőként bevezetjük a közegellenállási erőt. Így a pályaelemek perturbációi és a hold mozgása közötti kapcsolat ~~a~~

a hold v sebességén keresztül fejeződik ki, ami integrálás szempontjából szintén nem túl kedvező. Ezért átalakítások ~~korán~~ keresztül /részletesen l. 4. sz. FÜGGELÉK-ben!/ bevezetjük az E excentrikus anomáliát az egyenletekbe:

$$\Delta a = -a^2 \delta \int_0^{2\pi} \frac{(1+e \cdot \cos E)^{3/2}}{(1-e \cdot \cos E)^{1/2}} \rho \cdot dE$$

$$\Delta x = -a^2 \delta \int_0^{2\pi} \frac{(1+e \cdot \cos E)^{1/2}}{(1-e \cdot \cos E)^{1/2}} (\cos E + e) \cdot \rho \cdot dE$$

ahol $x = a e$ és δ a közegellenállást megadó egyenlet állandója, ρ pedig a közeg /léggör/ sűrűsége. A ρ sűrűség változását a magasság függvényében egyelőre olyan egyszerű, gömbszimmetrikus modellel írjuk le, amelyben a csökkenés exponenciális:

$$\rho = \rho_p \cdot \exp [(r_p - r)/H]$$

ahol a p index a perigeumra vonatkozik, és $H =$ konstans a skálamagasság. Az integrálás megkönnyítésére a törtet E szerint hatványsorba fejtjük, majd a hatványokat E többszöröseivel fejezzük ki, hogy használhassuk a Bessel-függvények u.n. integrál-alakját.

$$I_n(Qx) = \frac{1}{2\pi} \int \exp(Qx \cdot \cos E) \cdot \cos n \cdot E \, dE$$

ahol $Q = 1/H$. A továbbiakban az $I_n(Qx) = I_n$ egyszerűsített jelölést alkalmazva végül megkapjuk az 1 keringés folyamán fellépő perturbációkat a következő alakban:

$$\Delta a = -2\pi \delta a^2 \rho_p \exp[Q(a_0 - a - x_0)] \cdot [I_0 + 2eI_1 + \frac{3}{4} e^2(I_0 + I_2) + \frac{1}{4} e^3(3I_1 + I_3)]$$

$$\Delta x = -2\pi \delta a^2 \rho_p \exp[Q(a_0 - a - x_0)] \cdot [I_1 + \frac{1}{2} e(3I_0 + I_2) + \frac{1}{8} e^2(11I_1 + I_3) + \frac{1}{16} e^3(7I_0 + 8I_2 + I_4)]$$

Természetesen, ha nem az általunk választott, viszonylag egyszerű, szférikus sűrűségi modellt fogadjuk el, akkor más alakú kifejezéseket kapunk. Azonban King-Hele [135] kimutatta, hogy megfelelő eljárással még egy, a valóságot jól megközelítő, lapult szférikus modell esetén, a magassággal változó H skálamagasság feltételezése mellett is teljesen azonos szerkezetű összefüg-

géseket lehet levezetni / a szférikus modelltől való eltérések csupán mint korrekciós faktorok kerülnek be a formulákba/.

A fél nagytengely Δa változása közvetlenül nem mérhető, ezért azt a \dot{P} periódusváltozással fejezzük ki:

$$\dot{P} = 3\Delta a/2a$$

és ennek segítségével már megkapjuk a perigeumhoz tartozó ρ_p sűrűséget kifejező formulát:

$$\rho_p = -\frac{\dot{P}}{3\pi a \delta} \cdot \frac{\exp[Q(a_0 - a - x_0)]}{[I_0 + 2eI_1 + 3e^2(I_0 + I_2)/4 + e^3(3I_1 + I_3)/4]}$$

A megfelelő Bessel-függvények felhasználásával, pontossági megfontolások figyelembevételével, különböző formulákat kaphatunk. Ezek közül legegyszerűbb az, amely körpálya ($e=0$) esetén adja meg a sűrűséget:

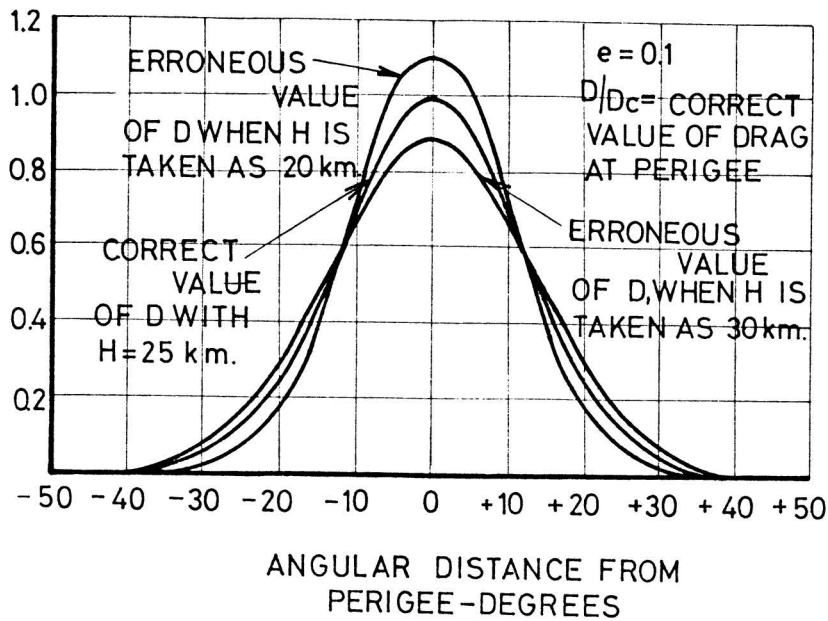
$$\rho_0 = -\dot{P}/3\pi \cdot a \cdot \delta$$

Gyakorlati szempontok figyelembevételével nyilván olyan formula a legjobb, amely minél több esetben használható. Ha az esetek több, mint 90%-ában fennálló $0,02 < e < 0,2$ és $3 < ae/H < 30$ feltételeket vesszük figyelembe, és az $5 \cdot 10^{-3}$ -nál kisebb tagokat elhanyagoljuk, kapjuk a következő formulát:

$$\rho_p = -\frac{\dot{P}}{3\delta} \left(\frac{2e}{\pi a H}\right)^{\frac{1}{2}} \left[1 - 2e + \frac{5}{2} e^2 - 3e^3 - \frac{H}{8ae} \left(1 - 10e + \frac{7H}{16ae}\right)\right] \quad (2.25)$$

Mint hangsúlyoztuk, fenti formulák szférikus sűrűségi modellben érvényesek. A lapult modellben, változó H mellett levezetett formulák csak abban különböznek, hogy további tagokat is tartalmaznak, ugyanakkor az a hibájuk, hogy H hibái nagyon befolyásolják a számítás végeredményét, a sűrűségértéket. Ennek azért van jelentősége, mert H értékét általában csak 10-20% pontossággal ismerjük. Kívánatos volna tehát olyan formula használata, amelyben H bizonytalansága kevésbé befolyásolja a kapott sűrűségértéket.

Tanulságos, ha kiszámítjuk a közegellenállást a perigeumtól mért szögtávolság /a valódi anomália/ függvényében, és a számítást hibásan felvett H skálamagassággal is elvégezzük. A 2.1 ábrán látható egy ilyen számolás eredménye [137] egy tipikus $e = 0,1$ -es pálya és $H = 25$ km esetén. Látható, hogy



2.1 ábra

a D közegellenállás csak 20° -nál nagyobb szögtávolság esetén csökken le a perigeumbeli D_p érték 20%-ára. Az ábra azt is világosan mutatja, hogy hibásan felvett $H = 20$ km és $H = 30$ km esetén a perigeumbeli D_p értékek 10%-kal eltérnek a helyes értéktől. A három görbe azonban a $D/D_p = 0,62$ -nél metszi egymást. Kimutatható, hogy ez a szöbajöhető e értékektől és H -tól függetlenül mindig kb. itt fordul elő. Következésképpen célszerű a sűrűség értékét nem a perigeum magasságára, hanem a görbék metszéspontjának megfelelő magasságra számítani. A szöbajöhető pályák esetén az optimális eset az, ha a sűrűséget $0,5 \cdot H$ km-rel a perigeum fölötti magasságra vonatkoztatjuk. Erre az esetre King-Hele [137] a következő formulát adja meg:

$$\rho_a = - \frac{0,157}{\delta} \cdot P(e/aH)^{\frac{1}{2}} \left[1 - 2e + \frac{5}{2} e^2 - 3e^3 - \frac{H}{8ae} \left(1 - 10e + \frac{7H}{16ae} \right) + \frac{0,00335}{e} \cdot \sin^2 i \cdot \cos 2\omega \right] \quad (2.26)$$

A fenti formula tehát az $r_p + 0,5 H$ magasságra adja meg a sűrűséget, mégpedig ha H bizonytalansága eléri a 25%-ot, ez a sűrűség értékében még mindig csak 1,2%-nál kisebb hibát okoz.

Természetesen, lehet ezt a formulát teljesen általánosított alakban is felírni, vagy más szerzők által levezetett sűrűségi formulákat bemutatni. Ez azonban kellő részletességgel megtalálható Almár disszertációjában [7]. Ezért csak az ott fel nem sorolt két ismertebb formulát mutatjuk be. M.Ja. Marov a következő formulát javasolja [164]:

$$\rho\sqrt{H} = - \frac{2\dot{P}}{2PC_D} \cdot \frac{1-e}{1+e} \sqrt{\frac{e}{2\pi r_p (1+e)}}$$

Hasonló szerkezetű G.V. Groves képlete is [56]:

$$\rho\sqrt{H} = - \frac{m \cdot \dot{P}}{3AC_D} \sqrt{\frac{2e}{\pi a} \frac{\sqrt{1-e^2}}{1+e^2}}$$

ahol : A,m = a hold felszine és tömege, C_D az aerodinamikai állandó. Látható, hogy hasonló szerkezetű képletekről van szó. Gyakorlati vonatkozásban azonban érdemes a pontossági megfontolások végeredményét megjegyezni.

A módszer megköveteli a hold pályaelemeinek ismeretét, tehát a sűrűség-meghatározás csillagászati megfigyelésekből kiindulva pályameghatározást jelent. Igen lényeges azonban, hogy míg a periódusváltozást a lehető legnagyobb pontossággal kell ismerni, addig a többi pályaelem szerepe alárendelt, és ezért pontosságuk 1, esetleg 2 nagyságrenddel kisebb is lehet. Ez meghatározza jelen értekezés további gondolatmenetét is.

Ismertetjük a pályameghatározás egy közelítő módszerét, amely teljesen kielégítő eredményeket ad a mi esetünkben. Ugyanakkor részletesen megismerkedünk azokkal a módszerekkel, amelyek a periódus és változásai minél pontosabb meghatározására szolgálnak. Előbb azonban, a következő paragrafusban, megvizsgáljuk a fékeződéses módszer előnyeit-hátrányait, pontosságát.

2.3. A módszer korlátai, pontossági megfontolások

Formulánk levezetésénél feltételezzük, hogy a közegellenállás az egyetlen erő, amely a holdra hat. Ezt a feltételezést most ki kell egészítenünk.

Szerencsés dolog, hogy a földi gravitációs erőter perturbációi éppen a sűrűségmeghatározás alapvető paraméterét, a periódust /vizuális észlelések pontossága mellett/ csak elhanyagolhatóan csakély mértékben érintik. Azonban az erőter páratlan harmonikusai, valamint a luniszoláris hatások jelentős mértékben perturbálják az e excentricitást és ezen keresztül a perigeummagasságot, amelynek környezetére vonatkoztatjuk a kiszámított sűrűséget.

A megvilágított holdat érő sugárnyomás adott körülmények között komolyan perturbálhatja a félnagy tengelyt, ill. a periódust. Az alábbi táblázat áttekintést

ad arról, hogy átlagos naptevékenységi viszonyok mellett a sugárnyomás és a közegellenállás F_R/F_D aránya hogyan növekszik a magassággal:

Magasság (km)	200	300	400	500	600	700	800
F_R / F_D	0,0002	0,003	0,018	0,08	0,27	0,8	2,1

Látható, hogy nem játszik szerepet a sugárnyomás kb. 400 km magasságig, de növekvő magassággal a P egyre nagyobb hányada a sugárnyomás következménye. Míg 500 km magasságban a sugárnyomás egy korrekciós faktor szerepét játssza, addig 750 km felett már a sűrűséget meghatározó közegellenállás a kisebbik erő. Ehhez járul, hogy különböző okoknál fogva a sugárnyomás értéket csak 5-10%-os hibával tudjuk meghatározni. Így nagyobb magasságokban, ahol pl. T -nek 95%-a a sugárnyomás következménye, a közegellenállást /és vele a sűrűséget/ csak ± 100 %-os hibával tudjuk megbecsülni. Ez a magyarázata annak, hogy az 1000 km-nél nagyobb magasságokból oly kevés megbízható sűrűségadat áll rendelkezésre.

Nem kívánom megismételni azokat a nehézségeket, amelyeket Almár Iván a doktori disszertációjában /162-167. old./[7] részletesen kifejtett a levezetésnél használt modell túlzott egyszerűségével kapcsolatban. Inkább megemlítem azt a további nehézséget, hogy a fékeződésen alapuló mérések térbeli és időbeli felbontása elég csekély. Amint a 2.1 ábrából látható, az $e = 0,1$ esetben a közegellenállás 90%-a egy tekintélyes, mintegy 50° hosszú íven akumulálódik, de ez az ív még az igen nagy $e = 0,2$ mellett is kitesz 30° -ot. Tehát, még nagy excentricitású pályán is, egy nem elhanyagolható magassági intervallumban speciálisan átlagolt sűrűségértéket kapunk. Ezért az ezzel a módszerrel kapott sűrűségekkel nem lehet lokális jelenségeket tanulmányozni, csak globálisakat.

Nem jobb a helyzet az időbeli felbontással sem. Bár elvileg a felbontás 100 perc nagyságrendű, gyakorlatilag csak igen sűrűn végzett, pontos mérésekkel érhető el 6 órás felbontás /az is a pontosság rovására/. Így tehát pl. ha a sűrűség egy korpuzskuláris felhő átvonulása következtében a perigeum környezetében egy félórányi időre a normális értéknek akár az ezerszeresére növekednék, amikor a hold az apogeum környékén van, akkor a fékeződési adatokban ennek a tranziens jelenségnek semmi nyoma sem volna.

Végezetül, vegyük sorna a (2.26) formula egyes paramétereit olyan szempontból, hogy milyen mértékben terhelik hibával a meghatározandó sűrűséget.

A $\delta = F_R S C_D / m$ tényező jelentékeny hibák forrása lehet. Az m tömeg ismertnek vehető ugyan /rendszerint megadják a fellövési adatok között/, de az S hatáskeresztmetszet csak gömb esetén /vagy hozzá hasonló szabályos testnél/ tekinthető kellő pontossággal ismertnek. A C_D aeronomiai tényező Cook [37,38] alapján 170-800 km között viszonylag pontosan ismert. Pl. 200-400 km között a legvalószínűbb érték $C_D = 2,25$ és ismereteink szerint itt még szélsőséges viszonyok mellett is aligha csökkenhet 2,07-re vagy növekedhet 2,4-re. Mindezek alapján King-Hele az $S \cdot C_D$ standard hibáját 7-10%-osnak veszi [137].

A P meghatározása általában nagy pontossággal történik, hibája még közepes pontosság mellett sem nagyobb 1%-nál. Hasonlóan a légköri rotáció F_R faktorának hibája becslés szerint maximálisan 1%-ot tesz ki [135].

Az e excentricitás hibája közepes pontosságú pályameghatározásnál $\pm 0,0003$, ami egy átlagos hold esetében 0,5%-os hibát eredményez a sűrűség értékében. De ugyanez a bizonytalanság a perigeum magasságának meghatározásánál mintegy 2 km-es hibát ad, ami a sűrűsége /max. 400 km magasságig/ mintegy 7%-os hibával hat vissza.

Korábbi megfontolásaink szerint H hibája sem terheli a sűrűséget 1%-nál nagyobb hibával. King-Hele úgy véli, hogy modelljének leegyszerűsített volta a sűrűséget legfeljebb 2%-ban érinti [135]. Ha mindezeket a hibákat összegezzük, az adódik, hogy a legjobb esetben /pontos pályaelemek, gömb alakú hold/ a sűrűség standard hibája 7,6%. Átlagos pályameghatározású és henger alakú hold esetén ugyanez a hiba 12.5%.

Saját tapasztalataink szerint ez a becslés eléggé optimális. Sok, különböző forrásból származó vizuális méréseken alapuló sűrűségadat elemzése azt mutatta, hogy az adatok alapzajának amplitudója eléri a 20%-ot, pedig ez még nem ad képet az esetleges szisztematikus hibák nagyságáról. Mindez indokolja, hogy a felsőlégkör kutatásában a vizuális észlelések mellett lehetőleg minél nagyobb számban kerüljenek felhasználásra nagyobb pontosságú mérések is, mint pl. a fotografikus /AFU-75/ vagy DVT-rendszerű észlelések [147].

3.5. A SÜRÜSÉGMEGHATÁROZÁS GYAKORLATI KÉRDÉSEI

Ebben a fejezetben képet szeretnénk adni arról, hogy a sűrűségmeghatározás milyen konkrét kérdéseket vet fel, és azokat hogyan lehet megoldani. Először rövid áttekintést adunk a hazai észlelési módszerekről, majd bemutatjuk a pályaszámításnak egy általunk javasolt módszerét, végül részletesen elemezzük azokat az eljárásokat, amelyek a sűrűség meghatározására /első-sorban a szocialista országokban/ elterjedtek.

3.1. Műholdak észlelésének technikai kérdései

A hazai felsőlégkör-kutatások kezdetben kizárólag műholdak vizuális észleléseire alapoztak. Tekintve, hogy hosszú éveken keresztül végeztem észleléseket, és jelentékeny erőfeszítéseket tettem az észlelési technika javítására, röviden összefoglalom az észleléssel kapcsolatos főbb kérdéseket és a technika fejlődésének főbb állomásait [82].

A műholdak észlelésének kezdeti szakaszában nagy nehézséget jelentett, hogy a holdak 250-500-szor nagyobb látszólagos sebességgel mozognak, mint a csillagok. Hasonló sebességű objektumok észlelésében senkinek sem volt gyakorlata, vagy akár csak némi tapasztalata. Az észlelés célja az 1-2 °/s sebességgel haladó objektum pozícióját valamilyen koordinátarendszerben minél nagyobb pontossággal meghatározni, a mérés időpontjával együtt. Fokozza a nehézséget, hogy többnyire halvány, szabad szemmel nem látható objektumokról van szó. Így az előrejelzések pontatlansága miatt, már ahhoz is némi ügyesség kell, hogy az észlelő az objektumot megtalálja.

Ilyen körülmények között a SzJTA által javasolt "optikai barrier" /sorompó/-módszer látszott a legjobbnak. Lényege az, hogy a hold egy adott vonulásánál 8-15 észlelő úgy állítja fel távcsövét, hogy egymás látómezejét részben fedve, megfigyelés alatt tarthassák a meridián meglehetősen nagy /30°-40°-os/ ívét. Így biztosítva van, hogy az észlelők valamelyike észlelni fogja a holdat, ha az elég fényes. A meridiánbeli észlelés nagyon leegyszerűsíti a pozíciómeghatározást: az észlelés időpontjából magkapjuk a rektaszenciót is, és a szálkeresztnek a hold által metszett pontját megjegyezve, az átvonuló csillagok azonosításával, meg lehet becsülni a deklinációt. Az ilyen módszerrel elérhető pontosság viszonylag csekély volt: az időmérésnél csak igen gyakorlott észlelő hibája volt kisebb 0,2 s-nál, míg a koordináták hibája 0,1°-0,2° körül volt.

A módszernek az volt a hátránya, hogy a sok észlelő közül vonulásonként csak 1-2-nek sikerült egyetlen mérést végeznie, a többiek látómezején a hold nem haladt keresztül. Éppen ezért hamarosan áttértünk a meridiánon kívüli észlelésre, vagyis az az észlelő, aki megpillantotta a holdat, bemondással adta meg, hogy a többieknek mennyivel feljebb-lejjebb kell keresniük a holdat, hogy azt megpillanthassák. Természetesen, a meridiánon kívüli észlelés a pontosság némi csökkenésével járt együtt. Hiszen az észlelőnek előbb fel kellett vázolni a látómező képét a műhold pozíciójával együtt /az észlelés pillanatában/, majd ezt a csillagok azonosítása után átvinni egy csillagtérképre, hogy arról le lehessen olvasni a műhold koordinátáit. Ezzel a módszerrel vonulásonként egész sor pozíciót tudtunk meghatározni, és sikeres észleléseinkért a moszkvai Kozmosz-központtól több ízben elismerést /oklevelet/ is kaptunk.

Az időmérést stopperórákkal végeztük. Csakhamar tapasztaltuk hátrányaikat: minden egyes stoppernek más a járása, amit külön-külön meg kellett határozni és nyilvántartani, az órák nehézkesen kezelhetők, sőt észlelés közben össze is keverhetők. Így jutottam arra a gondolatra, hogy az időmérést másként kellene megoldani. Egy postaműszaki technikus /Huszár Tibor/ segítségével sikerült szerelnünk egy régi postai távirógépet, amelyre a meglevő első írókorong mellé egy másodikat szereltünk /1958./. Az első írókorongra adtuk egy kronométer másodperces jeleit, míg a második az észlelés pillanatait regisztrálta. Így tehát a távirószalagon folyamatosan megjelenő másodperces jelek /vonalszakaszok/ kezdetéhez képest kellett kimérni az észlelés időpontját adó jel kezdetét. Mivel a szalagtovábbítás sebessége kb 20 mm/s volt, garantálni tudtuk a tized-másodperces leolvasási pontosságot. Ennek ellenére, amikor az általunk kronográf-nak nevezett berendezés már bevált, ill. amikor az észlelési technikát tovább tökéletesítettük, a táviró mozgató rugóját kicseréltem egy változtatható sebességű elektromotorra. Ezzel lehetővé vált, hogy az észlelés viszonylag rövid időtartamára a szalagmozgatási sebességet megnöveljem pl. 10 cm/s-ra, miáltal a leolvasás hibája kisebb lett, mint 0,01 s. Ez abban az időben minden igényt kielégített /1959./.

Időszolgálatunkat egy kronométer biztosította. Ennek állását és járását naponta határoztuk meg. Időetalonunk stabilitását akkor sikerült megjavítanunk, amikor egy higanykompenzációs ingaórát szereztünk be. Ezt egy hőszigetelt telefonfülkében helyeztük el, amelyet felfűtöttünk és termoregulátorral állandó, 40°C-os hőmérsékleten tartottuk /1961./. Így az óra járását sikerült napi 0,01- 0,02 s alá szorítanunk. Gondjaink csak 1966-ban oldódtak meg, amikor

sikerült végre egy kvarcórát beszerezniünk.

Észlelési technikánkban változást hoztak a honvédségtől kapott TZK-típusu binokuláris távcsövek /1960./. Ekkor tértünk át a horizontális koordinátarendszerben való észlelésre. Ilyenkor az észlelő egy ideig követte a holdat, majd leállva a távcsövel, a kronográf gombját abban a pillanatban nyomta meg, amikor a hold áthaladt a fonálkereszt középpontján. Ezalatt társa leolvasta és feljegyezte az osztott körök helyzetét, vagyis a hold pozícióját. Ezután az észlelő ismét igyekezett megkeresni a műholdat, amely időközben már elhagyta a távcső látómezejét, és kezdődött előlről az egész. A vázolt módszerrel két, jól összeszokott észlelő egy vonulás folyamán akár 5-10 pozíciót is mérhetett, ha az objektumok az egész látható iv mentén követhetők voltak.

Az első időkben a műholdak észlelése még szenzációszámba ment. Következésképpen bőven voltak vállalkozók, akik éjszakájuk egy részét az észlelésre áldozták. Később azonban egyre többször maradtam egyedül. Ekkor jutottam arra a gondolatra, hogy a TZK-nál a második észlelőt /aki a feljegyzéseket készítette/ egy fényképezőgéppel is lehetne pótolni. Abban az időben még műszerészünk sem volt, így elképzelésemet magamnak kellett megvalósítanom /1961./. Egy fényképezőgépet /később egy filmfelvevő kamerát/ szereltem a TZK-távcső mellé, és alkalmasan elhelyezett apró tükrökkel a két osztott kör képét az objektívbe vetítettem, a fényképezőgép szinkrokontaktusát pedig a kronográfhoz csatlakoztattam. Így az észlelőnek csak az lett a feladata, hogy megnyomjon egy gombot, amikor a hold áthalad a fonálkereszt metszéspontján, s ezzel kis /és ismert/ tehetetlenségű relék segítségével lefényképezte az osztott köröket, ill. rögzítette az észlelés időpillanatát. Ezzel a módszerrel egyetlen észlelő vonulásonként 36 pozíciót regisztrálhatott /filmfelvevőnél akárhányat!/, ami több mint amire szükség van. Gyakorlatilag ui. nem érdemes vonulásonként 10-15 pozíciónál többet észlelni. A mérések pontossága is javult, átlagosan 3'-6' volt. A módszer használhatóságát mutatja, hogy más állomások is átvették az alapötletet, t.i. az osztott körök fényképezését /pl. a budapesti, miskolci, a bautzeni állomások/.

Észlelési technikánkban alapvető változás állt be, amikor intézetünkben felállításra került egy AFU-75 típusu műholdkövető kamera /1968./. A kamera lehetővé teszi, hogy a filmet a felvétel alatt bizonyos ideig azzal a sebességgel mozgassuk, amellyel a hold képe a film síkjában mozog, vagyis így elérhető, hogy a hold képe huzamosabb ideig essen a filmnek ugyanarra a pontjára. Ennek következtében az AFU-kamerával halvány holdak is fényképezhetők. Legfőbb előnye azonban az, hogy a felvételekkel elérhető pozíciós pontosság néhány ívmásodperc, tehát lényegesen jobb, mint a vizuális észleléseké. Ezzel szemben

meg kell említeni, hogy egy felvétel kimérése többórás munkát jelent, és a film költsége is jelentékeny. Éppen ezek az utóbbi szempontok készítettek bennünket más megoldás keresésére.

Ezt az új megoldást egy digitális-vizuális távcső /DVT/ kifejlesztése jelentette. Elvi működését sok tapasztalat alapján Horváth Andrással közösen terveztem meg, a műszert a Műszeripari Kutató Intézet készítette el, a költséget az MTA Interkozmosz Tanács Kozmikus Fizikai Szakbizottsága biztosította. Bár a műszer még nem a végleges formájában készült el, leírását a következőkben tudom megadni.

A DVT egy villás szerelésű, távcsővel felszerelt műszer, amely lehetővé teszi egy égi pont /objektum/ horizontális koordinátáinak megméréését. A koordinátákat szög-kódtárcsák adják meg $0,001^{\circ}$ pontossággal, digitális formában: részben kiírás útján papíron, részben lyukszalagon, ill. mágnesszalagon. Ezzel lehetővé válik a mérések gyors, számítógépi feldolgozása, adatok felesleges másolása nélkül.

Bár a műszerrel hagyományos módon is lehet észlelni, legfőbb előnye abban áll, hogy a saját időrendszere által vezérelt automatika az észlelő által nem észlelt, szabályos időközökben végzi a mérést. Éppen ezért ennél a megoldásnál az észlelő egyetlen feladata, hogy a távcső szabad mozgásával, vagy elektromotorok segítségével a megfigyelés alatt álló holdat lehetőleg állandóan a fonálkereszt metszéspontjában tartsa. Ily módon az észlelési hibák közül a legnagyobbat, a személyi hibát, gyakorlatilag ki lehet küszöbölni. A műszerrel már eddig is elért $0,01^{\circ}$ -os pontosság a légkörkutatói célokra teljesen megfelel.

Az észlelés a műszer végső változatánál lesz a legkönnyebb és legpontosabb. Ekkor ui. a távcső mozgását a két tengely körül egy mikroprocesszor vezérli, és az észlelőnek csak a fellépő kisebb eltéréseket kell korrigálnia. Várható, hogy ezzel a módszerrel az észlelés pontossága jobb lesz $1'$ -nél, ami légkörkutatói célokra ideális. Ugyanakkor a műszer lehetővé teszi a tömeges észlelést, miközben működtetése legalább százszor kevesebbe kerül, mint pl. egy fotokamerával való észlelés.

A fentiekben nagy vonalakban vázoltuk az észlelési technikának azt a fejlődését, amely nálunk az utóbbi 25 évben megvalósult, és amelynek mi magunk is részesei voltunk [82]. Azonban lényegében hasonló fejlődés történt világszerte is, a többi észlelőhelyeken /itt nem említem a geodéziai célokra történő észleléseket, amelyeknél a pontossági követelmények miatt a fejlődés egészen más irányú/.

A vázolt észlelési technika felhasználásával az évek folyamán világszerte felhalmozódtak olyan mérések százezrei, amelyeknek pontossága pozícióban kb. $0,1^{\circ}$, időben kb $0,1$ s nagyságrendbe esik. Ez a pontosság nagyon sok légkörkutató célra elegendő, kár lett volna tehát ezt a lehetőséget kihagyni. A következőkben azzal a kérdéssel foglalkozunk, hogy ezeket az észleléseket miként lehet a felsőlégkör vizsgálatára felhasználni.

3.2. Közelítő pálya meghatározása és javítása

Mint láttuk, műholdak vizuális észlelésekor a kapott pozíciók pontossága általában $0,1^{\circ}$ körül mozog. Ilyen esetben nincs értelme precíz pályameghatározást végezni, hanem ehelyett közelítő pályát számítanak, amelynek elemeit később a szükség és a lehetőség szerint meg kell javítani. Sok pályameghatározási módszer ismeretes, ezek közül Laplace-módszerét alakítottuk át a mi esetünkre. A módszert azért részesítettük előnyben, mert lehetővé teszi, hogy egyetlen észlelési helyen végzett, egyetlen észlelési adatsorból közelítő pályaelemeket határozzunk meg. Ezt a módszeremet [94]-ben publikáltam és részletesen ismertetem az 5.sz. FÜGGELÉK-ben, itt csak a gondolatmenetet vázoljuk.

Ha felírjuk egy $M(x_0, y_0, z_0)$ észlelőhely és egy műhold $P(x, y, z)$ geocentrikus koordinátáit, valamint a műhold M -hez kötött, topocentrikus rendszerbeli $P_0(x_0, y_0, z_0)$ koordinátái közötti vektoriális összefüggést, olyan kifejezéseket kapunk, amelyekben a $\Delta = MP$ /megfigyelő műhold/ vektor (l, m, n) iránykoszinuszait a hold észlelt (α_0, δ_0) koordinátáival lehet kifejezni:

$$l = \frac{x_0}{\Delta} = \cos \delta_0 \cdot \cos \alpha_0$$

$$m = \frac{y_0}{\Delta} = \cos \delta_0 \cdot \sin \alpha_0$$

$$n = \frac{z_0}{\Delta} = \sin \delta_0$$

Kétszeres deriválás és átrendezések után a hold mozgásegyenletei már csak az l, m, n iránykoszinuszokat és deriváltjaikat, valamint az r, Δ vektorokat tartalmazzák ismeretlenként. Az egyenletrendszerrel Danjon jól bevált iterációs módszerével célszerű megoldani [94] mert igen gyorsan konvergál és így kevés számolással kapjuk meg a hold x, y, z koordinátáit és $\dot{x}, \dot{y}, \dot{z}$ sebességkomponenseit.

Ezzel a feladatot tkp. meg is oldottuk a kéttestprobléma keretében, hiszen ott egy pozíció és a sebesség együttesen és egyértelműen meghatározza a /kepleri/ pályát. Mivel azonban legtöbbször klasszikus pályaelemekkel szokás számolni, az 5. sz. FÜGGELÉK-ben megmutatjuk, hogy azok a kapott adatokból hogyan szá-

mithatók ki.

Az eddigieket úgy összegezzük, hogy a műhold megfigyelt pozícióiból viszonylag egyszerű módon meghatározhatók a pályaelemek. A kapott pályaelemek pontossága függ az észlelés módjától és egyéb körülményektől. Az első pályameghatározást, függetlenül az elért pontosságtól, mindig közelítőnek szokás tekinteni, és a továbbiakban meg szokták kísérelni a pályaelemek javítását. Az alábbiakban a pályajavítás módszerével foglalkozunk.

Teljes általánosságban elfogadhatjuk, hogy a megfigyelések során mértünk egy olyan W mennyiséget, amely a hold pozíciójától és sebességétől függ /a hold mozgáselméletével összefüggő, és az észlelési technikával kapcsolatos paramétereket ismertnek tekintjük/. A műhold pozícióját és sebességét megadó minden egyes összetartozó érték egy oszkulációs pályaelem-rendszert reprezentál, így a W mennyiség az oszkulációs pályaelemek /és a t idő/ valamilyen függvénye:

$$W = [a(t), e(t), I(t), \Omega(t), \omega(t), M(t), t].$$

Nevezzük "közepes"-nek azt a pályaelemrendszert, amely a műhold szóbanforgó vonulására vonatkozó megfigyeléseket a legjobban reprezentálná, akkor mondhatjuk, hogy W a közepes pályaelemeknek is /egy másik!/ függvénye:

$$W = g(a_0, e_0, I_0, \Omega_0, \omega_0, M_0, t)$$

A közelítő pályameghatározásnál a pályaelemek egy közelítő sorozatát kaptuk meg: $a_1, e_1, I_1, \Omega_1, \omega_1, M_1$. Ezek mindegyikéhez egy bizonyos $\delta a, \delta e, \dots, \delta M$ korrekciót kellene hozzáadnunk, hogy a valódi /közepes/ a_0, e_0, \dots, M_0 pályaelemeket megkapjuk, vagyis fennáll a következő reláció:

$$a_0 = a_1 + \delta a, \quad e_0 = e_1 + \delta e, \dots, M_0 = M_1 + \delta M \quad (3.1)$$

A pályajavítás célja éppen ezeknek a $\delta a, \delta e, \dots, \delta M$ korrekcióknak a meghatározása. Ehhez álljon rendelkezésünkre N számú megfigyelés, így N db., az alábbiakban ismertetett típusu egyenletet írhatunk fel:

$$W_1 = g(a_1 + \delta a, e_1 + \delta e, \dots, M_1 + \delta M, t) \quad (3.2)$$

Célszerű a W_1 -ket Taylor-sorba fejteni. Feltételezve, hogy az $a_1,$

e_1, \dots, M_1 közelítő pályaelemek eléggé jók, vagyis a $\delta a, \delta e, \dots, \delta M$ korrekciók elég kicsinyek, a növekményekhez képest másodrendű tagok elhanyagolhatók, és így N db. alábbi típusú feltételi egyenlethez jutunk:

$$W_i = W(a_1, e_1, \dots, M_1, t_i) + \delta a \frac{\partial W_i}{\partial a_1} + \delta e \frac{\partial W_i}{\partial e_1} + \dots + \delta M \frac{\partial W_i}{\partial M_1} \quad (1 \leq i \leq N) \quad (3.3)$$

Az egyenletekben mindig a t_i -re vonatkozó deriváltakat kell venni. Ilyen, (3.3) típusú egyenleteket kaphatunk a megfigyelésekből, ezért ezekre a W_0 jelölést alkalmazzuk. Könnyen belátható, hogy ha egy tökéletes elmélet alapján számítanánk a W_i -ket, akkor semmiféle korrekció nem szerepelne, vagyis:

$$W_i = W(a_1, e_1, \dots, M_1, t_i) + 0 = W_C \quad (3.4)$$

lenne, és ezt W_C -vel jelöljük. Így egy újabb egyenlet-sorozatot kapunk:

$$W_C - W_0 = \delta a \frac{\partial W_i}{\partial a_1} + \delta e \frac{\partial W_i}{\partial e_1} + \dots + \delta M \frac{\partial W_i}{\partial M_1} \quad (3.5)$$

A pályajavítás folyamatában a (3.5) egyenlet az alapvető. Az elmélet és a megfigyelés szolgáltatja a $W_C - W_0$ -kat, míg a $\partial W_i / \partial \sigma$ parciális deriváltak az együtthatók szerepét játsszák (egy tetszőleges pályaelem). Ha valamilyen módon kiszámítjuk e deriváltak értékét, akkor (3.5) egy N számú lineáris egyenletből álló rendszert alkot, ahol a 6 ismeretlen $\delta a, \delta e, \dots, \delta M$ értékét a legkisebb négyzetek módszerével határozzuk meg.

Megállapítható tehát, hogy a pályajavításnál az alapvető probléma tkp. a $\partial W_i / \partial \sigma$ deriváltak kiszámítása, amit vagy numerikus, vagy analitikus módszerekkel lehet elvégezni.

A numerikus eljárást, amely a derivált definícióján alapszik a "növekmények módszeré"-nek szokták nevezni. Lényegét megérthetjük egy konkrét példán, pl. $\partial W_i / \partial a_1$ kiszámítása kapcsán.

Számítsuk ki W_i értékét az $(a_1 + \Delta a, e_1, I_1, \Omega_1, \omega_1, M_1)$ pályaelemek felhasználásával, amikor Δa egy ismert, kicsiny, önkényesen felvett növekmény. Ekkor az új W_i -vel kapcsolatban nyilván felírhatjuk a következő összefüggést:

$$W_i(a_1 + \Delta a, e, \dots, M_1, t_i) = W_i(a_1, e_1, \dots, M_1, t_i) + \Delta a \frac{\partial W_i}{\partial a_1} \quad (3.6)$$

és ebből:

$$\frac{\partial W_i}{\partial a} = \frac{W_i(a_1 + \Delta a, e_1, \dots, M_1, t_i) - W_i(a_1, e_1, \dots, M_1, t_i)}{\Delta a} \quad (3.7)$$

Mínt hogy minden t_i megfigyelési időpontra kiszámíthatjuk (3.7) értékét, végül is N db. $\partial W_i / \partial a_1$ parciális deriváltat kapunk.

Analóg módon megkapható a többi derivált is, és így megoldhatjuk a (3.5) egyenletrendszer, hogy megkapjuk a keresett δa , δe , \dots , δM értékeket. Ezzel befejeződik egy iterációs folyamat első szakasza. Természetesen, ezt a megoldást nem lehet legjobbnak, tehát véglegesnek tekinteni, hiszen pl. a növekményeknél elhanyagoltuk a másodrendű tagokat, és a deriváltak számításánál kerekítési hibák is fellépnek. Éppen ezért az első megoldásnál kapott $a_1 + \delta a$, $e_1 + \delta e$, \dots , $M_1 + \delta M$ pályaelemrendszer szintén csak "közelítőnek" minősítjük, és újratezdjük az eljárást, mindaddig, amíg a megoldás nem stabilizálódik. E folyamatban általában nem szükséges a deriváltak minden ciklusban való újraszámolása, de mód nyílik olyan korrekciók figyelembevételére, amelyek a hold helyzetével kapcsolatosak /refrakció, aberráció, stb./.

Mint említettük, a parciális deriváltakat lehet analitikusan is meghatározni. Ez az eljárás azonban még legegyszerűbb formájában is eléggé terjedelmes, ezért azt csak a 6. sz. FÜGGELÉK-ben ismertetem.

3.3. Vizuális észlelések feldolgozási módszerei

A szocialista országokban a műholdmegfigyelő állomásokat azzal a céllal hozták létre, hogy azok megfelelő adatbázissal lássák el az előrejelző központokat. Más szavakkal: biztosítani kellett a műholdak folytonos nyomkövetését, nehogy azok "elvesszenek". Ez a tevékenység természetesen fontos volt, de nem elégitett ki mindenkit. Így jutottam én is arra a gondolatra, hogy a már rutinszerűen végrehajtott észleléseket más célok szolgálatába is lehetne állítani, pl. a felsőlégkör tanulmányozására. Ekkortájt folyóiratokban már olvasni lehetett arról, hogy egyes nyugati országok komoly apparátussal álltak neki ennek a kérdésnek, és számítógépeik ontották az eredményeket. Csakhamar kiderült, hogy a felsőlégkör "aer incognitus", amelyről még szinte semmit sem tudunk, mert az a sztatikus kép, amelyet az alsólégkör ismeretéből extrapolálva fel lehetett vázolni, teljesen hamis: a felsőlégkört elsősorban nagyamplitúdóú, dinamikus változásokkal lehet jellemezni.

Ilyen körülmények között kezdtem neki a légkörkutatók kérdéseinek tanulmányozásához. Hamarosan /1960!/ kiderült, hogy számítógépek hiánya miatt szóba sem jöhet az amerikai módszerek átvétele, utánzása. Nekünk teljesen más, sokkal korlátozottabb technikai lehetőségekre támaszkodó utat kellett választanunk. Hosszas megfontolás után jutottam arra a felismerésre, hogy a földmérésnél használt trianguláció elvének térbeli változata lehetővé teszi a műhold pályaelemeinek meghatározását [76], és azok változásaiból megkaphatjuk a légsűrűséget. Azonban e módszer alkalmazása több helyről történő szinkron észleléseket kíván. Ugyanakkor a műholdak többszáz km-es repülési magassága miatt csak hasonló nagyságrendű bázisonál jöhet számításba, vagyis nemzetközi összefogásra volt szükség. Így érthető, hogy a fenti célkitűzéssel általam 1961-ben megszervezett kooperációnak az INTEROBS-program elnevezést adtam /az INTERnational OBServation szavakból/. Megjegyzem, hogy a szocialista országokban az INTEROBS-program volt az első kezdeményezés, amely célul tűzte ki és meg is valósította a műholdészlelések geofizikai célra történő felhasználását.

Az INTEROBS-hálózat létrehozása jelentékeny szervező munkát igényelt, de végülis 27 megfigyelőállomás csatlakozott a programhoz a következő országokból: Bulgária, Csehszlovákia, Finnország, Franciaország, Hollandia, Lengyelország, NDK, Olaszország, Románia, Svédország, Szovjetunió /és természetesen Magyarország/. Legelőször kidolgoztam az észlelési módszert, és azt nemzetközi konferenciákon és körlevelekben ismerttettem, majd évente 6-8 alkalommal ún. kooperációs heteket szerveztem, amikor a résztvevők meghatározott terv szerint egyes objektumok észlelésére koncentráltak. Utólagis megállapítható, hogy az észlelési kampányok igen sikeresek voltak: 1962-68. között több, mint 100.000 pozíciómérést kaptam a résztvevőktől. A terjedelmes adatsorokból kiválasztottuk a szimultán vonulásokat, és azokat az évek folyamán 7 kötetben publikáltam [77], hogy azokat mások is felhasználhassák. Az első hazai felsőlégköri kutatások elsősorban ezekre az INTEROBS-észlelésekre támaszkodtak, és a rákövetkező években 3 kandidátusi disszertáció született e témakörrel kapcsolatban.

Az INTEROBS-módszer alap gondolata az [76, 77], hogy egy adott pillanatban 2 földi pont és egy műhold olyan háromszöget alkot, amelynek egyik oldala /a két észlelőhely távolsága/ ismert, és annak végpontjaiból végzett szögmérések /a hold magassági szöge/ lehetővé teszik a háromszög megoldását. Ha a két megfigyelőhely geocentrikus koordinátái ismertek, akkor egyúttal meghatározható a hold geocentrikus rádiuszvektora is. Ezek után már csak azt kellett tisztáznom, hogy néhány rádiuszvektorból hogyan lehet meghatározni a hold pá-

lyaelemrendszerét ill. milyen módon lehet legpontosabban megkapni a periódust és annak változásait.

A módszer tehát kizárólag szinkron észlelésekből, vagyis egy t időpillanatban legalább két különböző helyről ugyanarra a műholdra végzett iránymérésekből tud kiindulni. A szinkronészlelések megvalósítása messze túl volt az akkori technikai lehetőségeken, ezért bevezettem a kváziszinkron észlelések fogalmát. Lényegében arról van szó, hogy a mérések 0,1 s-os pontossága mellett megengedhető, hogy nem-szinkron észlelésekből jól megválasztott interpolációs eljárással szinkron-párokat vezessünk le. Ennek feltételeit úgy biztosítottuk, hogy a megfelelő technikai felszereltségű állomások ún. bázisméréseket végeztek, vagyis a hold látható pályáivét oly sűrűn fedték le észlelésekkel, hogy az észlelés időtartamának bármely pillanatára kellő pontosságú pozíciókat lehessen levezetni /ez a hold látszólagos sebességének függvényében percenként 10-20 pozíciómérést jelent/. Ezekből a bázismérésekből a más állomások által végzett sporadikus mérések időpontjaihoz tartozó "szinkron" pozíciókat interpolációval lehet megkapni. Az ilyen, két vagy több helyről végzett, de ugyanarra az időpillanatra redukált topocentrikus pozíció-párokat neveztük kváziszinkronnak. Az INTEROBS-módszernél tehát ilyen értelemben vett kváziszinkron észleléseket használtunk.

A kváziszinkron pozíciópárok meghatározására a közönséges interpoláció a mérések /időnként/ tekintélyes szórása miatt nem bizonyult jónak. Több próbálkozás után kiderült, hogy az adatok grafikus kiegyenlítése gyors és eredményes eljárás. Később, amikor már számítógéppel is dolgozhattunk, az észleléseket harmadfokú polinommal közelítettük [9], és annak segítségével határoztuk meg a szinkron-pozíciót:

$$\alpha = A_0 + A_1 (t-t_1) + A_2(t-t_1)^2 + A_3(t-t_1)^3$$

$$\delta = D_0 + D_1 (t-t_1) + D_2(t-t_1)^2 + D_3(t-t_1)^3$$

A szinkronpárok meghatározásánál rendszerint a legkisebb négyzetek módszerét használtuk.

Ezután már semmi akadálya a pályameghatározásnak. A számítások első szakaszában megkapjuk a kváziszinkron időpillanathoz tartozó rádiuszvektort, és a szubszatellitapont geocentrikus koordinátáit /a rádiuszvektor irányával együtt/. A számítás menete a 7. sz. FÜGGELÉK-ben található, itt csak annyit említünk meg, hogy a kváziszinkron azimutokkal és az állomások ismert koordinátaival gömbi háromszögeket oldunk meg, minek eredményeként megkapjuk a

szubszatellitapont geocentrikus szélességét és hosszúságát. A vizuális észlelések pontossága mellett a feladat gömb felszínén teljesértékűen megoldható. Ezután a magassági szögek felhasználásával /ujabb háromszögből/ kiszámítható a hold rádiuszvektora. Mindezeket az adatokat 2 megfigyelési hely esetén 2-2 különböző háromszögből lehet kiszámítani, ami jó ellenőrzési lehetőséget biztosít. Azonban gyakran szerepel 3-as, 4-es szinkronitás, ami már a számítások pontosságát is képes javítani.

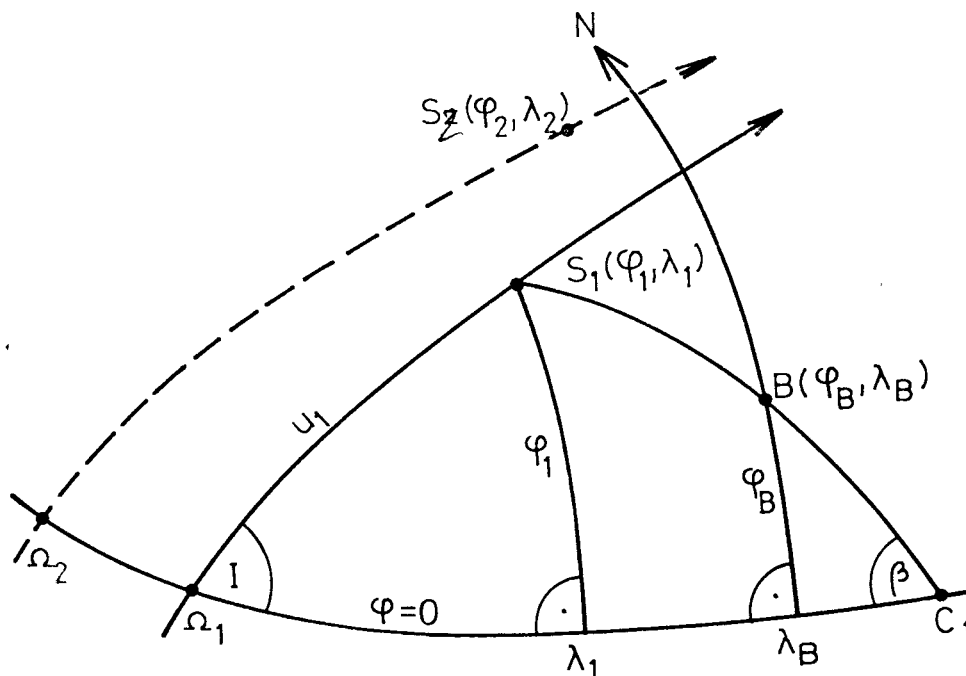
Amennyiben a hold pályaelemeit akarjuk meghatározni, hosszabb számítások következnek. A műholdnak egy kiszemelt égi körön való áthaladásának konzekutív időpillanatai segítségével, bizonyos megfontolások alapján /1. képsőbb/ kiszámítható a hold kvázidrakonikus vagy sziderikus keringésideje, ill. a pálya fél nagytengelye, továbbá a pálya inklinációja, precessziója és a felszálló csomó rektaszczenziója. Három /vagy legalább két/ rádiuszvektor hosszából megkapjuk a valódi anomáliát, majd ennek segítségével a numerikus excentricitást. Ezek után már nem okoz problémát a perigeum argumentumának és a perigeumon való áthaladás időpontjának meghatározása sem. Ezzel be is fejeződött a pályaelemeknek az INTEROBS-módszer szerinti meghatározása. A számítás részletes menetét a 7. sz. FÜGGELÉK-ben mutatjuk be.

Bár eddig az általam kidolgozott INTEROBS-módszert ismer~~tem~~^{tem}, nem akarom elhallgatni, hogy természetszerűleg más intézetek is bekapcsolódtak az észlelési anyag feldolgozásába, és ennek eredményeként újabb és újabb feldolgozási módszerek születtek. Így pl. Usztyinov által a kozmikus triangulációra levezetett formuláknak [215] kváziszinkron észlelések feldolgozására való felhasználását Illés és Almár javasolta [108], ekvatoriális koordinátarendszerben végzett megfigyelések esetére. Hasonlóan, voltak akik ekvatoriális koordináták esetén alkalmazták Zsongolovics módszerét, amely~~ek~~^{ek} kozmikus geodéziai célokra vezetett le. Azonban a korrekt /egyszerűsítő feltevések nélküli/ tárgyalás miatt ennél a módszernél pl. 3-as szinkronpárok esetén végül 27 normálegyenletből álló rendszert kell megoldani, ami számítógép nélkül rendkívül nehézkes. A módszerekre vonatkozó felsorolást nem folytatom, az megtalálható Almár disszertációjában [7]. Összefoglalóan azonban megállapíthatjuk, hogy bár egész sor módszert javasoltak a feldolgozásra, azok rendszerint számítógépek felhasználását igényelték, ami a hatvanas évek közepén a résztvevők többségénél komoly akadályt jelentett. A továbbiakban mi is inkább azokat a módszereket vagy eljárásokat tárgyaljuk, amelyek számunkra is járható utat jelentettek, és amelyeket éppen ezért a gyakorlatban is használtunk.

Az INTEROBS-programban kapott kváziszinkron észlelések feldolgozása folyamán nyertük azt a tapasztalatot, hogy különböző okoknál fogva az észlelések jelentékeny része /30-50%-a/ nem volt kváziszinkron, vagyis egy-egy vonulást az adott földrajzi körzet egyetlen megfigyelőhelyén észlelték csupán. Így tehát nagyon sok észlelés elveszett a feldolgozás számára, mivel azokból nem tudtunk meghatározni szubszatellitapontokat, amelyek a további feldolgozás alapját képezték az INTEROBS-módszernél. Ezért az ilyen nem-kváziszinkron észlelések hasznosítására dolgoztam ki az alábbi, SUBSAT elnevezésű módszert [86].

A alapgondolata az, hogy bár az előrejelzések céljaira használt, és a számítóközpontok által rendszeresen publikált pályaelemek nem túl pontosak, azért ezek közül az I inklináció, a felszálló csomó Ω hossza és az $\dot{\Omega}$ precesszió pontossága lényegesen jobb, mint a vizuális észleléseké. Éppen ezért a felsorolt pályaelemek a vizuális észlelések feldolgozása szempontjából kielégítő pontosságúak, és a feldolgozás során ismert pályaelemként használhatók. A SUBSAT-módszernél tehát az I , Ω , $\dot{\Omega}$ pályaelemeket, vagyis a pályasík helyzetét, ismertnek tekintjük, és segítségével meghatározzuk a szubszatellita pontok koordinátáit az alábbi gondolatmenet alapján.

Egyetlen megfigyelőhelyen végzett, tehát nem kváziszinkron észlelés t_1 időpontja és A_1 azimutja lehetővé teszi a szubszatellita pont koordinátáinak kiszámítását. A 3.1 ábra gömbre vetítve mutatja a holdpálya $\Omega_1 S_1$ nyomvonalát



3.1 ábra

a t_1 időpillanatban. Mivel az állomás koordinátái ismertek a $BC_1\lambda_B$ gömbháromszögből φ_B és A_1 ismeretében meghatározhatjuk a $\Delta\lambda_1 = \lambda_B C_1$ befogót és a β szöget. Ezután az $\Omega_1 S_1 C_1$ háromszögből meghatározzuk az $u_1 = \Omega_1 S_1$ befogót, hiszen ismert az I , β , és $\Omega_1 C_1 = \Delta\lambda_1 + \Omega_1 \lambda_B$. Utóbbit Ω és $\dot{\Omega}$ segítségével lehet kiszámítani. Végül az $\Omega_1 S_1 \lambda_1$ háromszögből u_1 és I ismeretében megkapjuk a szubszatellitapont φ_{1,λ_1} koordinátáit.

Ha most a második észlelés t_2 , A_2 méréseiből egy második szubszatellitapont koordinátáit akarjuk kiszámítani, nyilván figyelembe kell venni, hogy a $t_2 - t_1$ idő alatt a csomó helyzete megváltozott. A csomópont eltolódását a Föld rotációja, keringése és a holdpálya precessziója okozza, és mértékét a következő közelítő formula adja meg elegendő pontossággal:

$$\Omega_i - \Omega_1 = [0;250684 + \dot{\Omega} \cdot (t_i - t_1)] \quad (i = 2, 3, \dots)$$

Ha a csomópont Ω_2 helyzetét ismerjük, a számítás a kialakult új háromszögekkel ugyanolyan sorrendben elvégezhető, mint előző esetben. Így tehát az észlelés minden egyes pozíciójából egy-egy szubszatellitapontot kapunk, és ezek egyenértékűek a kváziszinkron észlelésekből kapottakkal, mivel a SUBSAT-módszer is ugyanúgy, mint az INTEROBS-módszer, mintegy 1' pontossággal adja meg a szubszatellitapontok koordinátáit. A SUBSAT-módszer eredményes kipróbálása után levezettem egy grafikus eljárást is, amely ezt a feladatot egy gnomonikus vetület segítségével ugyanolyan pontosan oldja meg /a csomópont helyzetét itt is számítással kell meghatározni/. Ez a grafikus módszer számítógép hiányában lehetővé tette nagymennyiségű adat igen gyors feldolgozását.

A SUBSAT-módszer jelentősége azért volt nagy, mert lehetővé tette, hogy bármely megfigyelőhelyen, egyedül a saját észlelésekre támaszkodva határozzanak meg légsűrűségértékeket, még pedig igen egyszerű módszerekkel. Ennek következménye az lett, hogy a viszonylag sok szervező munkát igénylő, kváziszinkron észleléseket hasznosító, INTEROBS-program befejeződött /1968./. Később, a SUBSAT-módszer hatékonysága arra készítette Horváth Andrást, hogy kidolgozza e módszer térbeli variánsát SPACECOOR néven [73, 74]. Elfogadva a SUBSAT-nál tett feltevést, hogy I , Ω és $\dot{\Omega}$ révén ismert a pályasík helyzete. Horváth meghatározza az észlelés irányvektorának a pályasíkkal közös pontját, majd abból kiszámítja a perigeumáthaladás időpontját. A módszer tehát csak kiindulásában azonos a SUBSAT-tal. A módszert fotografikus észlelésekre alkalmazva, Horváth a perigeumáthaladás időpontjait általában néhány század mp. pontossággal tudta meghatározni.

Összegezve az eddigieket megállapítjuk, hogy akár kváziszinkron, akár közösleges észlelésekből szubszatellitapontokat lehet meghatározni. Ezekből pályaelemek is meghatározhatók, de ez nem feltétlenül mindig szükséges, mert a számítóközpontok pályaelemeinek a pontossága általában kielégítő ahhoz, hogy a sűrűség kiszámításánál felhasználjuk őket [83]. Egyedül a periódus az, amit mindenképpen /saját/ észlelésekből célszerű meghatározni, a lehető legnagyobb pontossággal. A mi esetünkben a klasszikus módszerek nem adnának jó eredményeket, új utakat kellett tehát keresni.

Nyilvánvaló, hogy a kvázidraconikus periódust igen könnyen meg lehet határozni, ha ismertek azok az időpillanatok, amikor egy hold konszekutív vonulások folyamán egy kiválasztott szélességi körön áthaladt. Ha egy vonulásnál a kiszemelt égi kör két oldalán ismerünk két szubszatellitapontot, interpolációval megkaphatjuk, hogy mely pillanatban metszette a hold a kört. Két ilyen metszési idő meghatározza a hold drakonikus keringésidejét, vagy annak többszörösét.

Szerencsére, egy adott vonulásnál általában a szubszatellita pontok egész sorát tudjuk kiszámítani, így érdemes olyan módszert keresni, amely az égi körön való áthaladás pillanatát pontosabban adja meg, mint a sima interpoláció. Elvileg jó az a megoldás, hogy a szubszatellita pontokhoz tartozó időpillanatokot mint a geocentrikus szélesség vagy hosszúság függvényeit írjuk fel, pl. harmadfoku polinom alakjában, és a legkisebb négyzetek módszere szerint megkapjuk a keresett metszési időpontot [9]. Ekkor azonban nem használjuk ki eléggé azt a tényt, hogy nagyszámu, a szükségesnél jóval több /akár 5-10-szer annyi!/ észleléssel van dolgunk, és azt, hogy a kiszemelt égi kör közelébe eső pontoknak nem ugyanaz a súlya, mint a távolabbiaknak.

Ezt a hiányt küszöböli ki Zsongolovics módszere [231], amelyet az INTEROBS-észlelések feldolgozására javasolt. Szerinte célszerű a szélességi kör metszésének időpontját minden egyes pontból kiindulva külön-külön kiszámítani, és a kapott időpontok középértékét, mint legvalószínűbbet elfogadni. A javasolt eljárás igen egyszerű:

$$\begin{aligned}
 T_{\varphi} &= \Sigma T_i / n & (i=2,3,4,\dots,n) \\
 T_i &= t_i + \Delta t_i \\
 \Delta t_i &= \frac{\bar{R}^2}{K\sqrt{a(1-e^2)}} (\mu_0 - \mu_{\varphi}) & (3.8)
 \end{aligned}$$

ahol: a, e, I = a hold pályaelemei,

$$K = 631,35 \text{ km}^{3/2} \text{ s}^{-1}$$

\bar{R} = a hold közepes rádiuszvektora a $0^\circ - \varphi$ intervallumban

μ_φ = a szubszatellita-nyomvonal 0° -tól φ -ig terjedő hossza.

A (3.8) formula levezetésének csak a gondolatmenetét közölte a szerző, ezért a 8. sz. FÜGGELÉK-ben saját levezetésem alapján bemutatom a formula helyességét. Zsongolovics módszerének nagy jelentősége abban volt, hogy ráirányította a figyelmet arra a tényre, hogy a számítást minden egyes szubszatellita pontból külön-külön elvégezve, a metszési időpont meghatározásának pontossága jelentékenyen megnövekedhet.

Szinte teljesen új lehetőségre hívta fel a figyelmet Lozinszki [161], aki azt javasolta, hogy célszerű a holdnak a topocentrikus égi egyenlítőn való áthaladását észlelni, mivel ilyen észlelésekből egyszerűen adódik a drakonikus keringésidő. Tehát ennél az eljárásnál, ugyanugy mint a SUBSAT-nál, nem volt szükség kváziszinkron észlelésekre, vagyis egyetlen állomás a saját méréseiből meghatározhatja a keringésidőt, majd a légsűrűséget. Az égi egyenlítőn való áthaladás pillanatát itt is minél pontosabban kell meghatározni, erre Almár javasolta a következő formulát [5]:

$$\Delta t = \frac{r}{v} \frac{Q_1 \sin^2 \delta \pm \sin \delta \sqrt{Q_1^2 \sin^2 \delta + 4P^2 Q_0}}{2P^2} \quad (3.9)$$

ahol Δt jelenti azt az időintervallumot, amely a holdnak az egyenlítőn és a /elég kicsinek feltételezett/ δ deklináción való áthaladása között eltelik. A formulában szereplő P, Q_0, Q_1, r, v a hold pályaelemei, ill. azok kombinációiból számíthatók.

Említett nagy előnye mellett a Lozinszki-módszer nem vált általánossá, mert csak speciális esetben alkalmazható. Visszamenőleg átvizsgálva több év észlelési anyagát, annak csupán harmada volt ilyen módon feldolgozható, és a gondosan megtervezett későbbi észleléseknél is csak a vonulásoknak mintegy a fele metszette az égi egyenlítőt. Ehhez járult, hogy az árnyékviszonyok miatt egy-egy hold akár hetekig nem volt észlelhető az egyenlítő környékén. Így egyedül erre a módszerre támaszkodva nem lehetett tudományos programot építeni.

Uj utakat keresve, számba kellett vennünk azokat a fogyatékoságokat, amelyeknek kiküszöbölése célszerűnek látszott.

Az INTEROBS-észleléseknek ~~X~~ Zsongolovics módszerével történő feldolgozása folyamán észrevettük, hogy a közepes inklinációjú holdak nagy családjánál ($I \approx 49^\circ$) az állomások földrajzi helyzete miatt nagyon sok észlelés esik a pálya apexének közelébe. Ilyenkor a szubszatellita nyomvonal igen kis szöget zár be a szélességi körrel, következésképpen a metszési időpont meghatározása csak viszonylag nagy hibával lehetséges. Ezért kezdtem el foglalkozni azzal a kérdéssel, hogy miként lehetne kiküszöbölni az alapvetően jó módszernek ezt a fogyatékoságát.

Nyilvánvaló, hogy a szubszatellita nyomvonalnak azon a szakaszán, ahol a pontok geocentrikus szélessége lassan változik, gyorsan változik a hosszúság. Így kínálkozik megoldásként, hogy felcseréljük a két égitör, vagyis ilyen esetben célszerű a holdnak egy kiszemelt hosszúsági körön való áthaladását kiszámítani [89]. Emre az esetre az alábbi formulát vezettem le:

$$t_2 - t_1 = \frac{\bar{R}^2}{KVa(1-e^2)} (u_2 - u_1) \quad (3.10)$$

ahol: $\text{ctg } u_1 = \cos I \cdot \text{ctg } (\alpha_1 - \Omega)$

$$\text{ctg } u_2 = \cos I \cdot \text{ctg } (\alpha_2 - \Omega)$$

A formula levezetését a 9. sz. FÜGGELÉK-ben közlöm.

Ilymódon, a (3.10) formulával kiterjesztettem Zsongolovics módszerét hosszúsági körök metszési pontjaira, de ezzel együtt szükséges azt is tisztázni, hogy mikor melyik referenciakörrel célszerű használni. A felelet igen egyszerű: ha egyéb szempontok nem merülnek fel, azokat a koordinátákat érdemes választani, amelyek gyorsabban változnak. Vagyis a meridiánon való áthaladás időpontját akkor célszerű meghatározni, ha $d\lambda/dt > d\varphi/dt$.

Mivel:

$$\frac{d\lambda}{dt} = \frac{\cos \varphi \cdot du}{\cos^2 \varphi dt} \quad \text{és} \quad \frac{d\varphi}{dt} = \frac{\sqrt{\sin^2 I - \sin^2 \varphi}}{\cos \varphi} \frac{du}{dt}$$

egyszerű átalakításokkal az adódik, hogy előnyösebb a meridiánmetszés választása, ha:

$$\cos^2 \varphi_0 = \frac{\cos^2 I + \sqrt{\cos^4 I + 4 \cdot \cos^2 I}}{2} \quad (3.11)$$

A (3.11) formula levezetését a 10. sz. FÜGGELÉK-ben közlöm. A kapott összefüggésekből következik, hogy az $I = 49^\circ$ inklinációjú holdak esetében minden $\varphi_0 \geq 19^\circ$ esetre előnyösebb a meridiánmetszés, mint a szélességi körön való áthaladás időpontjának meghatározása. De még az $I = 65^\circ$ -os holdaknál is ezzel az eljárással kapunk kisebb hibát, ha a szubszatellitapontok szélessége $\varphi_0 \geq 44^\circ$. A kérdést úgy lehet lezárni, hogy mivel a szubszatellitapontok mindkét koordinátája rendelkezésre áll, legjobb mindkét eljárást alkalmazni, de célszerű a $d\lambda/dt$ és $d\varphi/dt$ sebességeket súlyozásra használni.

Áttekintve az eddigieket, megállapítható, hogy a (3.8), (3.9) és (3.10) formulák esetében pályaelemeket kell használni a metszési időpont kiszámításához. Bár a pályaelemek pontossága itt nem játszik domináns szerepet, elvileg idegenkedni kell attól, hogy a formulák éppen a meghatározandó keringésidőt ismertnek tekintik. Köztudott, hogy a keringésidő irreguláris és nagyamplitudójú fluktuációkat mutat, ezért egy adott pályaelemrendszer használata ugyanolyan szisztematikus hibát vihet a feldolgozásba, mint pl. az időszolgálat hibája. Bár nem akarom ezt az elvi hibát eltulozni, mégis kialakult bennem a törekvés, hogy a feldolgozásnál a pályaelemek használatát mellőzzem. Az említett indokhoz még az is hozzájárult, hogy azokban az időkben néha csak hónapokig tartó levelezés útján lehetett megszerezni a megfelelő epochához tartozó pályaelemeket /főleg szovjet holdak esetén/. Fenti szempontok alapján dolgoztam ki az alábbi eljárást, amely akár szélességi, akár hosszúsági körök esetén alkalmazható /bemutatását szélességi körrel kapcsolatban végzem/ [89, 84].

Tegyük fel, hogy rendelkezésre áll a következő szubszatellita pontsor:

$$S_1(\varphi_1, \lambda_1, t_1), \quad S_2(\varphi_2, \lambda_2, t_2), \quad \dots, \quad S_i(\varphi_i, \lambda_i, t_i)$$

és ezek között nem szerepel $S(\varphi_0, \lambda_0, t_0)$ ahol $\varphi_1 \leq \varphi_0 \leq \varphi_i$. Keressük azt az időpillanatot, amikor a szubszatellitapont koordinátái éppen (φ_0, λ_0) . Az alábbiakban csak a φ_0 szélességi körön való áthaladásra szorítkozunk.

Először azt vizsgáljuk, hogyan változik a szubszatellitapont átlagos sebessége, az 1. pontból kiinduló és folyamatosan növekvő ívhossz függvényében, vagyis a $\varphi_1 - \varphi_2, \varphi_2 - \varphi_3, \dots, \varphi_1 - \varphi_i$ intervallumokban.

Nyilván általánosságban felírható:

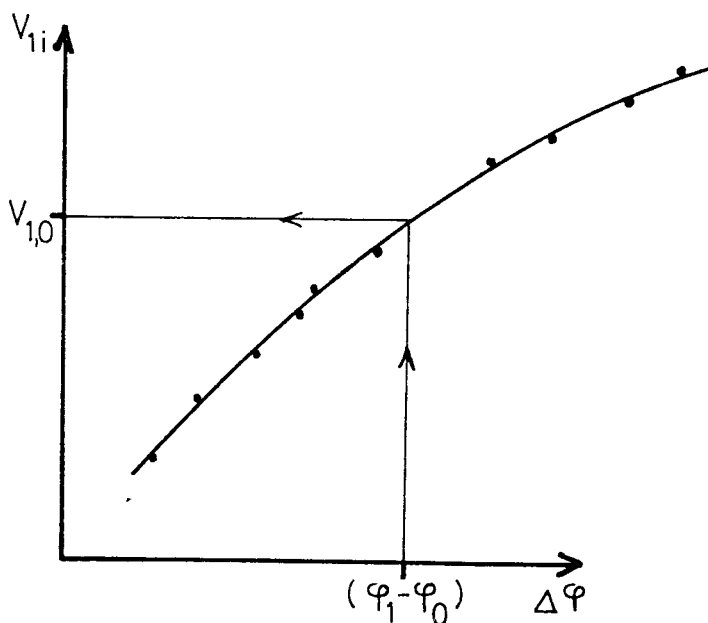
$$v_{1,2} = \frac{|\varphi_1 - \varphi_2|}{|t_1 - t_2|}, \quad v_{1,3} = \frac{|\varphi_1 - \varphi_3|}{|t_1 - t_3|}, \quad \dots, \quad v_{1,i} = \frac{|\varphi_1 - \varphi_i|}{|t_1 - t_i|}$$

Ezekből az átlagsebességekből kívánjuk meghatározni azt a $v_{1,0}$ sebességet, amely éppen a $\varphi_1 - \varphi_0$ intervallumhoz tartozik. Ez történhet úgy, hogy pl. az átlagsebességet kifejezzük, mint 2. vagy 3. fokú polinomot:

$$V = V_0 + V_1(\varphi_k - \varphi_1) + V_2(\varphi_k - \varphi_1)^2 + V_3(\varphi_k - \varphi_1)^3$$

$$(k = 2, 3, \dots, i)$$

és a legkisebb négyzetek módszerével megkapjuk az együtthatókat, amelyek lehetővé teszik a keresett $v_{1,0}$ sebesség meghatározását. Ez az eljárás a nagyszámu adat mellett csak számítógéppel jelent járható utat, ezért az első időkben az alábbi, jól bevált grafikus eljárást alkalmaztuk [84]:



3.2 ábra

A fentebb kapott $v_{1,i}$ sebességeket a $\Delta\varphi = \varphi_1 - \varphi_i$ szélességi intervallum függvényében is lehet ábrázolni. A pontokat görbével egyenlítettük ki, majd erről a görbéről olvassuk le a $\Delta\varphi = \varphi_1 - \varphi_0$ abszcisszához tartozó $v_{1,0}$ sebességet. Tekintve, hogy a szubszatlitapontok átlagsebessége a szélességi intervallum függvényében igen lassan változik, ezzel az eljárással is igen pontos eredményeket lehet kapni, ha a pontok száma elég nagy ($n > 10$).

A vázolt eljárást elvileg minden egyes szubszatellitapontból kiindulva megismételhetjük, és így a $v_{i,0}$ sebességek sorozatát kapjuk, amelyek mindegyikével külön-külön meghatározható a szélességi körön való áthaladás pillanata:

$$T_0 = t_i + \Delta t_i \quad \text{ahol: } \Delta t_i = (\varphi_i - \varphi_0) / v_{i,0}$$

Az így kapott T_0 -értékek súlyozott közepét tekintjük a metszés legvalószínűbb időpontjának. Most ismeretettett interpolációs eljárásom a tesztelesek folyamán kivétel nélkül mindig lényegesen kisebb hibával adta meg a metszési időpontokat, mint ha a Zsongolovics-módszert alkalmaztuk ugyanazokra az adatsorokra. Mivel ez az interpolációs eljárás független a választott koordinátarendszertől, minden más, hasonló esetben is alkalmazható, pl. az észleléseknek a Lozinszki-módszer szerinti [161] feldolgozásánál is.

Tudomásul kell azonban vennünk a módszer két fő fogyatékoságát is. Extrapoláció esetén a pontosság kedvezőtlen esetben gyorsan csökken. Ezt főleg apexkörnyéki észleléseknél kell figyelembe venni, ahol csak rövid extrapolációs ivекnél ($\Delta\varphi \leq 4^\circ$) várható megfelelő pontosság. A másik fogyatékoság az, hogy a módszer nem fedi fel az észlelések esetleges szisztematikus hibáit, pl. a távcsőszintezésből adódó pozíciós hibákat, vagy az időszolgálat nem is ritkán előforduló hibáit. Éppen azért célszerű elfogadni azt a jól bevált elvet, hogy mivel minden módszernek megvannak a maga szinguláris esetei, a feldolgozásnál egyidejűleg 2-3 különböző módszert alkalmazunk, a maximális pontosság biztosítására és a hibák kiszűrésére. Erre jó példa Almár I. doktori értekezésében [7] részletesen ismertetett PERLO-program /195. old./ . Ugyanott oly részletesen kerül ismertetésre a periódusmeghatározás is, hogy teljesen feleslegesnek látszik jelen értekezésben e kérdésre kitérni. Csupán a teljesség kedvéért említem meg, hogy az ott leírt O-C-módszernek.[109] egy ott meg nem említett variánsát én is kidolgoztam és publikáltam [80].

De nem szeretném említés nélkül hagyni azt sem, hogy a még oly primitívnek tűnő grafikus módszerek is igen jól beváltak a keringésidő és változásainak meghatározásánál. Legegyszerűbb az az eljárás, amikor a fentebb ismertetett módszerek valamelyikével meghatározott két-két metszési időpont által meghatározott időintervallumokat elosztjuk az időközben történt keringések n számával, és az így kapott P periódusokat az intervallum közepéhez rendelve, az n függvényében ábrázoljuk. A pontokat grafikusán kiegyenlítve, a görbéről pl.

egyenlő időközökben leolvasható a periódus megváltozása [131].

Lehet úgy is eljárni [9], hogy a T metszési időket, vagy azoknak egy hipotetikus P_0 periódus n-szeresével redukált értékeit ábrázoljuk a t idő vagy az n fordulatszám függvényében. Ilyenkor a keresett periódust a görbéről pl. 10 keringésenként leolvasott T-értékekkel kapjuk:

$$P = P_0 + (T_{1+10} - T_1)/10$$

Hangsúlyozni szeretném, hogy az utóbb vázolt grafikus módszereket csak a saját idejükben betöltött szerepük miatt említettem. Ma a számítógépek sokkal elegánsabb, és részben pontosabb módszereket tesznek lehetővé. Ezekre azonban fentiek értelmében nem térek ki.

4. §. A FELSŐLÉGKÖRBEN FELISMERT VÁLTOZÁSOK

Ebben a fejezetben foglaljuk össze azokat a főbb eredményeket, amelyekkel a szaktudomány a felsőlégré vonatkozóan az elmúlt 25 év alatt gazdagodott. Természetesen, az értekezés nem térhet ki minden kérdésre /terjedelmi okoknál fogva sem/, ezért főleg azokat az effektusokat és felismeréseket részletezzük, amelyekhez saját munkásságunk is kapcsolódott. Mint látni fogjuk, az eredmények elsősorban a fékeződéses módszerhez fűződnek, de az egyéb módszerek szerepe az utóbbi években olymértékben megnövekedett, hogy csonka és félrevezető képet kapnánk, ha a tárgyalásnál kizárólag a fékeződéses módszerrel elért eredményekre támaszkodnánk.

Először egy vázlatos képet adunk a felsőlégré általános jellemzőiről. Ezután az egyes felsőlégréi effektusokról, lényegében a sűrűség, a hőmérséklet és egyéb paraméterek időbeli változásairól számolunk be. A fejezet befejező részében foglalkozunk a felsőlégrében tapasztalható aszimmetriával, a skálamagasság változásaival és a felsőlégréi szelekkel.

felfűtés, amely a naptevékenység mértékétől függően 200-500 km magasságban fejeződik be. Az efeletti magasságokban, az exoszférában, a felsőlégkör hőmérséklete gyakorlatilag független a magasságtól, és elsősorban a naptevékenységtől függ. Az itteni, a magasságtól független hőmérsékletet nevezik exoszférikusnak, vagy aszimptotikusnak. Az exoszférikus hőmérséklet alacsony naptevékenység esetén 500-600 K, erős naptevékenység-nél 1000-1500 K, de pl. geomágneses vihar esetén elérheti a 2000 K értéket is. Amint látni fogjuk, az exoszférikus hőmérséklet, amelynek fogalmát Nicolet vezette be [180, 181], a sűrűség mellett a felsőlégkör legalapvetőbb paramétere. Segítségével a felsőlégköri jelenségek tekintélyes része leírható.

Amint láttuk, a felsőlégkör elsősorban a vertikális hőmérsékleti profil alapján választható el könnyen az alsóbb légkörtől. De ugyanakkor mélyebb összefüggések is ehhez a szétválasztáshoz vezetnek. Ismeretes, hogy tengersizten a levegő összetétele, ha a nedvességtartalomtól elvonatkoztatunk, az intenzív turbulens keveredés következtében nagy pontossággal állandónak mutatkozik. Térfogatszázalékban a levegő összetevői: 78,10% N_2 , 20,95% O_2 , 0,93% Ar. A maradék 0,02%-ot a nyomelemek és szennyeződések teszik ki. A közepes molekulaszám 28,96. A magasság növekedésével a levegő összetétele változatlan marad mintegy 90 km magasságig. Ennek oka az, hogy ebben a tartományban a légkör sűrűsége még elég nagy ahhoz, hogy a részecskék gyakori ütközései következtében állandó turbulens keveredés lépjen fel. Ezért a légkör alsó 90 km-ét a fentebb ismertetett elnevezés mellett még homoszférának is nevezik, mivel itt az összetétel nagymértékben homogén.

90 km felett ez a homogenitás megbomlik, mégpedig az oxigéndisszociáció és a diffúzió következtében. Az O_2 molekulák ui. erőteljesen elnyelik a 100-200 nm hullámhosszúságú, ún. Schumann-Runge-sávot. Ezért abban a magasságban, ahol a levegő már elég ritka ahhoz, hogy a sugárzást átengedje, az O_2 molekulák azt abszorbeálják, és ennek folytán energiájuk annyira megnövekszik, hogy képesek O-atomokra disszociálni. A kis sűrűség miatt a rekombinációk száma meglehetősen alacsony, így az O/ O_2 arány 90 km magasságban eléri a 0,02 értéket, de 10 km-rel feljebb az értéke megtízszereződik: 100 km magasságban már 0,22.

Itt, kb. 100 km magasságban, a sűrűséggel együtt a részecskék közötti ütközések gyakorisága is olyan mértékben csökken, hogy már nem beszélhetünk állandó turbulens **keveredésről**, mint az alsóbb rétegeknél, hanem egyre inkább a gravitációs hatások jutnak tulsúlyba. Ez azt jelenti, hogy megkezdődik a felsőlégkör egyes komponenseinek gravitációs szeparálódása, ami azt eredményezi, hogy a felsőlégkör alján helyezkednek el a nehezebb részecskék, a könnyebbek pedig feljebb szorúlnak, keveredve a nehezebbekkel. Az egyes komponensek mint különálló gázok viselkednek, amelyek a gravitációs vonzás következtében egymásba diffundáltak, és mindegyik komponensre érvényes a barometrikus formula, a hidrosztatikai törvény és a diffúziós egyenlet. Ezt az állapotot nevezzük diffúziós egyensúlyi állapotnak, és ez jellemző a 90 km feletti rétegekre, vagyis a felsőlégkörre.

A diffúziós egyensúlyi állapotban az egyes komponensek koncentrációja a magassággal csökken ugyan, de - azonos hőmérsékleti viszonyok mellett - a koncentrációcsökkenés mértéke arányos a gázzészecske tömegével. Ez azt jelenti, hogy pl. a 40-es tömegszámú argon koncentrációja tizszer gyorsabban csökken a magassággal, mint a 4-es tömegszámú héliumé. Könnyen érthető tehát, hogy most már a légkör összetétele nem homogén, hanem igen nagy mértékben függ a magasságtól. Azt a réteget, ahol ez a döntő átmenet történik, homopauzának nevezik, és ez kb. 100 km magasságban helyezkedik el. A légkörnek e fölötti részét joggal nevezik heteroszféranak, hiszen minden magasságban más és más a domináló légköri komponens. Pl. 600 K^o exoszférikus hőmérséklet mellett 110 km magasságban már több az atomi O, mint a molekuláris O₂. Ugyanakkor az O-nál nehezebb N₂ koncentrációja a magassággal gyorsabban csökken, minnek következtében 160 km-nél már több az O, mint a N₂, és 350 km-nél már kimondottan uralkodó komponenssé lép elő az O, hiszen térfogatszázalékban ott már 90%-ot tesz ki. A hélium, amely a homoszférában még csak 0,0005 %-kal képviselteti magát, 450 km-től kezdve domináló komponenssé válik. Végül, 700 km-től kezdve /az exoszférikus hőmérséklet növekedésével a megadott magasságok jelentékenyen feljebb tolódnak!/ legnagyobb a koncentrációja a hidrogénnek, amely azonban nincs diffúziós egyensúlyi állapotban. A vizgőz disszociációja ui. állandóan pótolja az ürbe elszökő hidrogénatomokat, így a koncentráció nagyon függ az exoszférikus hőmérséklettől. Ez utóbbin, természetesen, a részecskék kinetikus hőmérsékletét kell érteni, és a már említett magas hőmérséklet nyilván igen nagy szabad uthosszakat is jelent. Míg egy légköri részecske

szabad uthossza tengerszinten 10^{-8} m rendű, addig 100 km magasságban 0,15 m, 250 km magasságban km nagyságrendű, 500 km-nél már 100 km, és 1000 km magasságban a részecske szabad uthossza már összehasonlítható a földsugárral. Ezért az sem ritka eset, hogy egy-egy részecske felgyorsul a szökési sebességre, és elhagyja a Föld vonzási körét.

Az eddigiekben vázolt általános leírásról tulmenően ma már részletekbe menő ismereteink vannak a felsőlégkörben lejátszódó változásokról. Tudjuk, hogy ezek egy része a naptevékenységgel, ill. az EUV-abszorpcióval függ össze, és 11 éves, 27 napos, valamint egynapos periodicitást mutat. Ismerünk ezen felül egy kb. féléves periódussal történő globális sűrűség-ingadozást is, amelynek eredete még nem kellően tisztázott. A Nap korpuszkuláris sugárzására vezethető vissza az ún. geomágneses effektus, de ennek mechanizmusát szintén nem ismerjük kellő részletességgel. Végül megemlítünk az évszaktól és szélességtől függő, kisebb jelentőségű változásokat, mint pl. az a jelenség, hogy a mindenkori téli pólus felett a könnyebb gázok /a hélium, az atomi oxigén/ koncentrációja nagyobb, mint a nyári pólus felett. Értekezésünk a további paragrafusokban a felsorolt effektusokat tárgyalja kisebb-nagyobb részletességgel.

4.2. Naptevékenységi hatások a felsőlégkörben

Először Jacchia és Briggs mutatott ki naptevékenységi hatást a felsőlégkörben [111], amikor 1958-ban megállapította, hogy a megfigyelt, rejtélyes, kb. 27 napos periódusu sűrűségváltozások szoros korrelációt mutatnak a naptevékenységgel. Ez a ma már természetesnek tűnő felfedezés akkoriiban nagy feltűnést keltett, s egyuttal felvetett egész sor érdekes kérdést: vajon a felsőlégköri változásokhoz szükséges energia tényleg a Nap elektromágneses sugárzásából származik-e, vagy pedig korpuszkuláris eredetű? Höl történik az abszorpció? Melyek az energiát adó főbb vonalak, ill. szinképi tartományok? Elegendő-e az így felszabaduló energia a felsőlégkör felfűtésére, vagy pedig más energiaforrások is szerepet játszanak?

Mindezekkel a kérdésekkel kapcsolatban intenzív kutatások kezdődtek, amelyeknek eredményei külön értekezést érdemelnének. Itt csak annyit jegyzünk meg, hogy végeredményben pozitív válaszok születtek, de nem szabad eltitkolnunk, hogy még ma sem tudjuk kvantitativ leírni azt a mechanizmust, amit a szakirodalom "EUV-fűtés" kifejezéssel jelöl. Az eddigi vizsgálatok annyit azonban kétségtelenül bebizonyítottak, hogy a Napból származó elektro-

mágneses energia domináns szerepet játszik a felsőlégkör felfűtésében, de nem lehet kizárni más energiaforrások létezését és hozzájárulását sem [70].

A légkör felfűtésében szerepet játszó sugárzás hullámhossza az un. extrém-ultraibolya tartományba esik /a továbbiakban : EUV/. Banks és Kockarts szerint [11] a számításba jöhető szinképi tartományok közül első a Lyman kontinuum /91,0-79,6 nm/, amelyet elsősorban az O_2 és O nyel el. Jelentős szerepe van az F-rétegben, az N_2 , O és O_2 által abszorbeált 79,6-27,5 nm közötti sugárzásnak is. Az eddig számításba vett szinképi tartomány maximummalisan $2,13 \text{ erg} \cdot \text{cm}^{-2} \cdot \text{s}^{-1}$ energiát biztosíthat, ami aeronómiai számítások szerint bőségesen fedezné a felsőlégkör hőháztartásához szükséges energiát. Bizonyos azonban, hogy a 27,5-15,0 nm közötti sáv is, legalább bizonyos mértékig abszorbeálódik, ami újabb $2 \text{ erg} \cdot \text{cm}^{-2} \cdot \text{s}^{-1}$ energiát jelent [149]. Az elméleti megfontolások tehát azt mutatják, hogy amennyiben az abszorpció effektivitása nem túl kicsiny, akkor egyedül az EUV-tartományból származó energia is elegendő a megfigyelt felsőlégköri változások biztosítására.

Az említett EUV-sugárzás azonban emisszió szempontjából két komponensre bontható. A sugárzás egy része a teljes napkorongról emittálódik, másik része azonban csak az aktív területekből származik. Előbbi elsősorban kevésbé, utóbbi azonban igen erősen ionizált atomok vonalaiból tevődik össze. A korong-komponens jellemzője, hogy intenzitása csak lassan változik, míg az aktívítási komponens változásainak karakterisztikus ideje 1 nap.

Tekintve, hogy az EUV-sugárzás a Föld felszínén nem észlelhető, és annak légkörön kívüli folyamatos észlelését még nem sikerült megvalósítani, olyan fizikai paramétert kellett keresni, amely alkalmas az EUV-sugárzás változásainak kvantitatív indikálására. Erre legalkalmasabbnak bizonyult a Nap 2800 MHz-es $\lambda = 10,7 \text{ cm}$ sugárzása, amely az EUV-sugárzáshoz hasonlóan korong-komponensből és aktív göcökből származó komponensből áll. Bár a korong-komponens nem választható le egyszerűen a teljes fluxusból, Jacchia kimutatta [124], hogy az gyakorlatilag jól indukálható a napi $F_{10,7}$ fluxusnak több naprotációra vett átlagértékével, $\bar{F}_{10,7}$ -gal. /A továbbiakban, a gépelési munka egyszerűsítésére, a 10,7 cm-es rádiófluxus rövidített jelzésére, a szokásos $F_{10,7}$ jelölés helyett, egyszerűen az F , ill. \bar{F} jelölést fogjuk alkalmazni, amiért a tisztelt olvasó elnézését kérjük. Ugyanakkor F mellett általában nem tüntetjük fel annak mértékegységét, mert azt mindenütt a szokásos $10^{-22} \text{ W m}^{-2} \text{ Hz}^{-1}$ egységekben fogjuk megadni/.

Hamarosan kialakult az a gyakorlat, hogy a felsőlégköri számításokban az EUV-sugárzás hatására bekövetkező hőmérsékletváltozásokat az F és \bar{F} változásai alapján számítják ki. Nem győzzük azonban eléggé hangsúlyozni, hogy még pontos F és \bar{F} értékek birtokában is csak abban az esetben várhatók jó eredmények, ha e fluxusváltozás hőmérsékleti egyenértékét kellő pontossággal ismerjük. Az effektus modellezésének ez a legalapvetőbb problémája /egyéb tényezőkkel később foglalkozunk/.

Az első néhány év fékeződési adatainak feldolgozása után kialakult az a szemlélet, amely a modell készítésénél egy éjszakai minimális hőmérsékletből indul ki, és erre szuperponálódik a többi effektus hatása. A kezdeti modellek /az EUV-fűtés domináns szerepét elfogadva/ a következő alakú összefüggést feltételezték az éjszakai minimális hőmérséklet és az F -fluxus között:

$$T_{\min} = T_0 + a \cdot \bar{F} + b \cdot (F - \bar{F}) \quad (4.1)$$

Vagyis az un. éjszakai minimális hőmérséklet egyrészt \bar{F} -től, vagyis a naptevékenység hosszuperiódusu /11 éves/ komponensétől, másrészt a pillanatnyi naptevékenység 27 napos komponensétől függ.

A 60-as években előtérbe került 3 legismertebb modell összehangban volt egymással, bár különböző módszerekkel, és nem teljesen azonos észlelési anyag alapján készültek. Konstansaikat a következő táblázatban adjuk meg:

M O D E L L	T_{\min}	a	b
Harris-Priester [60], ill. Roemer által javas.vált.[193]	465°	3,46	1,9
CIRA-65 [232]	460°	3,40	1,9
Jacchia-65 [113]	418°	3,60	1,8

Megállapítható, hogy a naptevékenységi effektust a modellek 6%-nál kisebb egymástól való eltéréssel írják le /a számításba vehető paraméterértékek mellett/.

Mindegyik modell szerint a korong-komponens hatása majdnem kétszer akkora, mint az aktív göcökhöz tartozó komponensé. Ugyanakkor hallgatólag kimondják a modellek azt is, hogy az éjszakai minimális hőmérséklet sosem lehet kevesebb 670 K° -nál /figyelembe véve, hogy \bar{F} az elmúlt 25 év folyamán sohasem csökkent $\bar{F} = 70$ alá/.

Ha feltételezzük, hogy az elnyelődő szinképi tartományokban a szinképi vonalak relativ intenzitása nem marad változatlan pl. egy 11 éves naptevékenységi ciklus folyamán, várható, hogy más összefüggést kapunk az EUV-intenzitás és a légköri fűtés között, ha azegyszer pl. egy 27 napos rotációs periódusra, máskor pedig a teljes 11 éves ciklusra kiterjedő anyagból vezetjük le. ^{Ugyan} Ilyen jelenséget már a 60-as évek elején tapasztalt Jacchia [112]. Először egy ^{nap} rotációra terjedő anyagból a fluxusváltozás hőmérsékleti egyenértéke /vagyis az egységnyi fluxusváltozásra bekövetkező hőmérsékletváltozás/ $\Delta T_1 = 2,5^{\circ}$ -nak adódott, míg egy több évre terjedő anyagból, ugyanazon módszerrel $\Delta T_1 = 4,5^{\circ}$ éjszakai, és $\Delta T_1 = 6,0^{\circ}$ nappali értéket vezetett le, azzal a kiegészítéssel, hogy nagy F-értékek mellett a hőmérséklet a lineárisnál gyorsabban növekszik. Ugyanebben a publikációban azt is közli, hogy legfrissebb, 1 rotációra terjedő anyagból éjszakára $\Delta T_1 = 1,9^{\circ}$ -ot, nappalra pedig $\Delta T_1 = 2,4^{\circ}$ -ot kapott, ami az előzőknek csupán mintegy 40%-a! Ez a magyarázata annak, hogy a J-65 modellben [113] a szerző szerint bizonyos jelek arra utalnak, hogy a $b = 1,8$ koefficiens a naptevékenységgel együtt változik. Minden magyarázat nélkül kijelenti, hogy minimum táján $b = 1,5$ lehetséges, míg maximumkor b megnövekedhet $b = 2,4$ -re is. Ez azonban azt jelenti, hogy b -nél 60%-os ingadozást enged meg, anélkül, hogy ennek kihatásaival is foglalkoznák.

Ennek a feltételezett ingadozásnak hatását a 27-napos komponens esetében egy konkrét példán felmérhetjük. Így pl. $(F - \bar{F}) / \bar{F} = 80$ esetében b két szélső értéke $\Delta T_{27} = 120^{\circ}$ -ot, ill. $\Delta T_{27} = 192^{\circ}$ -ot eredményez. Ez teljesen átlagos, $T = 900\text{ K}^{\circ}$ exoszférikus hőmérséklet mellett, $z = 600\text{ km}$ magasságban azt jelenti, hogy az első esetben a sűrűségváltozás kétszeres, míg a másodikban kb. 3,6-szeres. Könnyű belátni, hogy ekkora eltérés szükségessé tesz egy részletesebb vizsgálatot.

Pedig időközben kiderült, hogy Jacchia sem tartotta megfelelőnek saját modelljét: újabbakat publikált. Így pl. az 1970-ben közzétett modelljében [119] nem változtatta meg b értékét, de megnövelte a T_0 bázishőmérsékletet és csökkentette a 11 éves effektus együttthatóját:

$$T_{\min} = 383^{\circ} + 3,32 \cdot \bar{F} + 1,8 \cdot (F - \bar{F}) \quad (4.2)$$

Már a következő esztendőben, a J-71 modellben [122], amely azonosnak tekinthető a CIRA-72-ben szereplő, 110-2000 km-ig terjedő modellel [35], ismét lényeges változásokat találunk:

$$T_{\min} = 379^{\circ} + 3,24 \cdot \bar{F} + 1,3 \cdot (F - \bar{F}) \quad (4.3)$$

Szembetűnő a nagy változás b értékében: 1,8-ről 1,3-ra csökkent. Jacchia ezt a lépést azzal indokolta, hogy a korábbi elemzéseket eltorzította az a később észrevett tény, hogy a geomágneses effektus és a 27 napos effektus maximumai gyakran igen közel esnek egymáshoz, így az előbbi leválasztása az utóbbiról nem mindig sikerült megfelelően, és ez torzította el az együtt-ható értékét.

Mindezek a megmutatózó nagy bizonytalanságok a naptevékenységi effektus modellezésében minket is arra készítettek, hogy foglalkozunk a kérdéssel. Még az utoljára említett két modell publikálása előtt felfigyeltünk arra, hogy több publikációban, ahol a szerzők a sűrűségadatokkal a J-65 modell segítségével eliminálták a 27 napos effektust, olyan maximumok jelentkeztek, amelyek egybeesni látszottak az F görbék megfelelő maximumaival. A sejtés igazolására - számítógép hiányában francia kollégákkal közösen - elvégeztünk egy Fourier-analizist, amely egyértelműen igazolta, hogy az adatsorokban jelentékeny amplitudóval szerepel a 27, 54 és 81 napos periódus, mégpedig F -fel azonos fázisban [13]. Ez az eredmény arra utalt, hogy a 27 napos effektus konstansa (b) a modellben nem megfelelő értékkel szerepel. Az indirekt bizonyítás után a saját birtokunkban lévő észlelési anyagot is elemezni kezdtük. Nagyobb megfigyelési anyagunk volt 1961-62-ből, vagyis csökkenő naptevékenységi fázis mellett ($\bar{F} \sim 100$). Mivel a keresett hiba nagy ($F - \bar{F}$) mellett feltűnőbb, kiválasztottunk 13 olyan intervallumot, amelyben F egymást követő maximumai legalább az $F = 100$ értéket elérték. Kiderült, hogy a 13 eset közül 12-ben az észlelt sűrűségérték, 750 km magasságban legalább 50%-kal volt nagyobb a J-65 által megadott értéknél [95], ugyanakkor 1200 km magasságban ez az arány már 2,5-re növekedett, ami világosan mutatta, hogy a J-65 modell nagyobb magasságokban egyáltalán nem használható.

Következő kérdés volt, hogy vajon a J-65 modell mindig alábecsüli-e a naptevékenységi effektust, ill. annak 27 napos komponensét? Célszerűnek látszott a vizsgálatot más naptevékenységi fázisban végezni. Az elsősorban francia kollégáktól kapott gazdag észlelési anyag az 1967-69-es évekre vonatkozott, amikor növekvő naptevékenység mellett $\bar{F} \sim 150$ volt. A 19 hold fékeződési adatai a 200-1000 km-es intervallumot teljesen átfogták. Kiválasztottunk 12 olyan időintervallumot, amelyben F maximuma meghaladta az $F = 180$ -at.

Az adatok elemzése egyértelműen kimutatta, hogy a vizsgált időintervallumokban a modell minden egyes maximumhoz a megfigyeltnél lényegesen nagyobb hőmérsékletet, ill. sűrűséget ir elő. Az is megállapítható volt, hogy ez a hiba /a sűrűség tulbecsülése/ magasságfüggő: 200 km-nél még csak kb. 30%-ot tesz ki, de 1000 km-nél már eléri a 100%-ot [95].

Az eddigi eredmények egyértelművé tették, hogy b időbeli változást mutat, mégpedig - kiegészítő vizsgálatok szerint - ez a változás sem az idővel, sem \bar{F} -fel nem arányos. Éppen ezért szükségesnek mutatkozott a kérdés tüzetesebb vizsgálata, amit a 19 hold gazdag anyaga lehetővé is tett. Erre a célra a következő gondolatmenetet alkalmaztuk [91, 158].

Az észlelt sűrűség, a hozzátartozó magasság ismeretében, egy T_{obs} hőmérséklettel ekvivalens, amit a J-65 modell szerint a következő komponensekkel állíthatunk elő:

$$T_{obs} = 357^{\circ} + 3,6 \cdot \bar{F} + \Delta T_1 + b \cdot (F - \bar{F}) + C + \Delta T_2 \quad (4.4)$$

ahol: ΔT_1 : a 11 éves komponens együtthatójának (3,6) hibáját és változásait reprezentálja
 b : a 27 napos komponens meghatározandó hőmérsékleti egyenértéke
 C : a modell által adott napszakos, féléves és geomágneses effektusok összege
 ΔT_2 : C hibája és időbeli változásai

A modell és az észlelt T_{obs} segítségével azonban nyilván kiszámítható a következő kifejezés:

$$\Delta T = T_{obs} - 3,6 \cdot \bar{F} - C \quad (4.5)$$

Ezután a $T_{\min} = 357 + \Delta T_1 + \Delta T_2$ jelölés felhasználásával fenti összefüggés a következő alakban írható:

$$\Delta T = T_{\min} + b \cdot (F - \bar{F}) \quad (4.6)$$

Ez az összefüggés lehetővé tette annak vizsgálatát, hogy vajon T_{\min} és b értéke állandó-e. A modell segítségével kapott T értékeket $(F - \bar{F})$ függvényében ábrázolva ui. olyan egyenest kapunk /a legkisebb négyzetek módszerével/, amelynek iránytangense b , tengelymetszete pedig T_{\min} .

A kapott eredmények szerint az időrendi sorrendben következő pontok valóban egyenesen helyezkednek el, de ennek mind hajlásszöge, mind tengelymetszete az év folyamán jelentékeny változásokat mutat, amint azt várni is lehetett /az előzők alapján/. E változásokból megállapítható volt, hogy T_{\min} változásai az év folyamán egy 150-200^o-os amplitudót határoztak meg, és nyáron a hőmérséklet a legalacsonyabb. Mivel a három év adatait vegyesen /keverve/ ábrázolva a hőmérséklet változását egyetlen görbével lehet leírni, az a következtetés adódik, hogy a változások évi menete mindegyik esztendőben hasonló volt. Ennek ellenére nehéz T_{\min} változásaiból hasznos következtetést levonni, hiszen azok nemcsak T_0 hosszuperiódusu változásait, de a modellnek C-ben összegyűjtött hibáit is tartalmazzák. Még akkor is, ha feltételezzük, hogy $\Delta T_2 = 0$, nem tudunk egyértelmű magyarázatot adni a tapasztalt változásokra: azok éppugy lehetnek tényleges változások az exoszférikus hőmérsékletben, mint ahogy származhatnak a 120 km magasságban felvett határfeltételekben bekövetkezett évi változásokból.

A b szinuszhoz hasonló változásokat mutat az év folyamán, maximummal március-áprilisban és októberben. A 3 év anyaga itt már nagyobb szórást mutat, de azért az összes adat egy mintegy $\Delta b \sim 1$ szélességű sávban helyezkedik el, és e szalag középvonala $b \sim 1,5$. A szalag közepe maximum táján $b \sim 2,0$, míg a minimum környékén $b \sim 0,5$. Ez a sok holdnak több évre terjedő anyagán alapuló elemzés tehát kimutatta, hogy b változásai az év folyamán /mialatt a naptevékenység alig változott/ lényegesen nagyobbak, mint a Jacchia által feltételezett, a naptevékenységgel párhuzamosan bekövetkező változások.

A b változásaival kapcsolatban 4 hipotézis is felmerülhet:

- a/ A szoláris EUV-fluxus spektrális összetétele az év folyamán változik /ezt az OSO-holdak mérései azóta már igazolták/. Amennyiben F változásai ezt nem követik ugyanolyan mértékben, ez feltétlenül maga után vonja b értékének megváltozását.
- b/ Több szerző vizsgálatai szerint [140, 233] irreguláris napsiklusok idején kimutatható, hogy F változásai nem arányosak a légköri fűtéssel. Ez azonban akkor is igaz lehet, amikor a cilus szabályossága miatt az nem mutatható ki egyszerű eszközökkel [234].
- c/ A C-tagban összefoglalt modellbeli effektusok nem eléggé pontosak, és a hibák összegének van éves menete.
- d/ Lehetnek még olyan évszaktól független effektusok, amelyeket a modell nem vett számításba.

Nehéz eldönteni, hogy az említett lehetőségek milyen mértékben felelősek a tapasztalt változásokért. Biztos, hogy a féléves effektus modellbeli hibája jelentékeny, sőt maga az effektus is több problémát vet fel /1. később/. De ugyanúgy a többi effektus is hozzájárulhat a maga hibájával. Ennek ellenére a modell szerzője, de mások is feltételezték, hogy a mintegy $150-200^\circ$ -os amplitudó nem írható egyedül a modell rovására. Másrészt bizonyosodott, hogy a fűtési mechanizmus változik azzal a magassággal, ahol az abszorpció történik, és függ az abszorbeáló közeg kémiai összetételétől is, ami szintén a magasság függvénye. Sajnos azonban, mind a mai napig nincs kvantitatív képünk arról, hogy a fűtési mechanizmus hogyan zajlik le a valóságban.

Közben természetesen, mások is foglalkoztak a naptevékenység hatásával. Érdekes módon Jacchia J-71 modelljében észrevétlenül elejti azt a korábbi megállapítását, hogy nagyobb \bar{F} -nál a hőmérséklet a lineárisnál gyorsabban nő, helyette bemutatja, hogy az összefüggés a szóba jöhető teljes tartományban $\bar{F} = 250$ -ig! lineáris [122]. Ezen túlmenően ugyanabban az évben Waldteufel inkoheres szóródási mérésekből kimutatja, hogy [224] az exoszférikus hőmérséklet növekedése $\bar{F} = 130$ -tól kezdve elmarad a linearitástól.

Az általunk tapasztalt eltérések a J-65 modelltől végeredményben a modellt kritizálták, és meg kell vallani, hogy ebben kezdeményezők voltunk.

Kiderült azonban, hogy velünk egyidőben, inkohereus szóródási mérésekből, más kutatók szintén jelentékeny eltéréseket kaptak a J-65-hez képest. Így Schwartz [209] általában alacsonyabb exoszférikus hőmérsékleteket kapott, és az eltérések átlagosan elérték a 200 K^o-ot /1. a mi fentebbi eredményeinket/. A szerzők az eltérések okát abban látták, hogy 120-150 km között a hőmérsékleti gradiens nagy változásokat szenved el [48]. Ez a magasság a fékeződési módszer számára akkor még szinte hozzáférhetetlen volt, így nem állt módunkban az állítást ellenőrizni.

1973-ban már maga Jacchia is beszámol \bar{b} változásairól [124]. Egy 10 holdra kiterjedő, 30.000 fékezési adatot tartalmazó anyag alapján a napszakos effektust az előzőktől eltérő módon adja meg. Mivel vizsgálatai szerint a hőmérséklet napi szélsőértékei a magasságtól is függnék, azok szám-tani közepe azonban nem, így a $T_{1/2} = (T_0 + T_M)/2$ középhőmérsékletet a követ-kező formulával fejezi ki:

$$T_{1/2} = c_1 + c_2 \cdot \bar{F} + c_3 \cdot (F - \bar{F}) + c_4 \cdot \bar{F}^2 + c_5 \cdot (F - \bar{F})^2 \quad (4.7)$$

és az együtthatók:

$$\begin{aligned} c_1 &= 350,9 \quad \pm 4,8 \\ c_2 &= 5,163 \quad \pm 0,081 \\ c_3 &= 1,954 \quad \pm 0,036 \\ c_4 &= -0,00492 \pm 0,00032 \\ c_5 &= -0,00783 \pm 0,00098 \end{aligned}$$

Látható, hogy a korábbi jelölés szerinti \bar{b} -nek most c_3 felel meg. Ennek azonban Jacchia kimutatja napszakos változásait:

$$\begin{aligned} 2 \text{ h } 20 \text{ m} \quad \text{táján} \quad c_3 &= 1,776 \\ 8 \text{ h } 20 \text{ m} \quad \text{"} \quad c_3 &= 1,970 \\ 14 \text{ h } 20 \text{ m} \quad \text{"} \quad c_3 &= 1,802 \\ 20 \text{ h } 20 \text{ m} \quad \text{"} \quad c_3 &= 1,884 \end{aligned}$$

Az itt közölt napi változás nem indokolja, hogy a modellbeli középérték miatt éppen $c_3 = 1,954$. Megjegyezzük, c_3 -nak az itt közölteknél lényegesen nagyobb napi változásairól számol be más kutató is [199]. Figyelemreméltó az is, hogy most már a négyzetes tagok szignifikánsak és negatívak: itt Jacchia már figyelembe vette az inkohereus szóródási mérésekből kapott hő-mérsékleteket is [225].

A fenti formula nem volt hosszú életű. Jacchia következő, J-77 modelljében [128] ismét a régi szerkezetű összefüggést javasolja, más kitévővel:

$$T_{1/2} = 5,48 \cdot \bar{F}^{0,8} + 101,8 \cdot F^{0,4} \quad (4.8)$$

ahol \bar{F} a 3 napotációra, vagyis 71 napra átlagolt F-érték, amelynek kiszámítására javasolja a következő összefüggést:

$$\bar{F} = \frac{\sum w \cdot F}{\sum w} \quad \text{és itt:} \quad w = \exp \left[-\left(\frac{t-t_0}{71} \right)^2 \right] \quad (4.9)$$

Ugy véljük, az eddigiek megmutatták, hogy végeredményben a 70-es években minden modell lényegében az effektus kifejezésében szereplő együtthatókat igyekezett megjavítani. A legtöbb modell szerzője a naptevékenységi hőmérsékletváltozásra a következő formulát tartja célszerűnek:

$$T = \text{konst.} + a \cdot \bar{F} + b \cdot (F - \bar{F}) + c \cdot (F - \bar{F})^2 \quad (4.10)$$

A részletek mellőzésével alábbi táblázatunkban összevetjük néhány modell együtthatóit:

M O D E L L	a	b	c
Harris-Priester-Roemer [193], 1963.	3,46	1,9	0
CIRA-65 [232], 1965.	3,40	1,9	0
Jacchia-65 [113], 1965.	3,60	1,8	0
Jacchia-71 = CIRA-72 [35], 1971.	3,24	1,3	0
Jacchia-73 [124], 1973.	1,954	5,163	-0,0078
Salah et al. [202], 1974.	2,8	1,4	0
Hedin et al. [61], 1974.	2,935	1,185	-0,0056
Hedin et al. [62], 1975.	3,328	1,247	-0,0056
Thuillier et al. [211], 1976.	2,726	1,486	-0,0092
Thuillier et al. [212], 1977.	2,531	1,325	-0,0056

Az időrendi felsorolás világosan mutatja, hogy bár nagy vonásokban egyezés van a modellek között, a részletekben mutatkozó eltérések még jelentékenyek. Mivel az experimentális modellek a méréstől függően más és másfajta hőmérsékletet mérnek, az azokból levezetett exoszférikus hőmérsékletek nem is mutathatnak teljes egyezést. Nagyságrendi javulás csak a fűtési mechanizmus elméleti tisztázása után várható.

A kérdés lezárására még megemlítjük a naptevékenységi effektus egyik lényeges kérdését. Nem tisztázott ui., hogy a sűrűség /hőmérséklet/ változás mekkora késéssel követi az F változásait. Mivel ezt a jelenséget csak kiterjedt anyagon lehet vizsgálni, viszonylag kevés szerző publikált erre vonatkozó adatokat.

Már a CIRA-65 publikálása idején ismertek voltak a kérdésre vonatkozó adatok [25, 112]: a vizsgálatok szerint a késés $0,5^d$ és $2,1^d$ között változik ($+0,3^d$). Jacchia ezt az eredményt $1,0^d \pm 0,12^d$ -ra finomította [122]. Hasonló eredményt kapott Roemer is: $1,06^d \pm 0,12^d$. Később Jacchia et al. [124, 125] egy részletes vizsgálatban kimutatta, hogy a késés értéke függ a napszaktól a következő formula szerint:

$$\Delta t = 1,26^d + 0,37^d \cdot \sin(H-92^\circ) \quad (4.11)$$

$\pm 0,12 \quad \pm 0,17 \quad \pm 25^\circ$

ahol H a Nap óraszöge, vagyis $H = LST + 12h$.

Szintén egy részletes analízis alapján Paul et al. [186] a késésre a következő formulát adja meg:

$$\Delta t = 1,26^d \cdot \cos H + 1,74^d \quad (4.12)$$

Jacchia szerint a két formula összhangban van egymással. Valójában a két összefüggésnél csak a fázis egyezik meg. Míg a (4.11)-nél a késés maximális értéke $1,63^d$, minimális értéke $0,89^d$, addig a (4.12) alapján $2,0^d$ maximális és $1,48^d$ minimális késést kapunk. Így tehát az eltérések a kisebb értékre vonatkoztatva kitesznek 25% ill. 60%-ot, ami már semmiképpen nem mondható jó egyezésnek. Azonban sajnos tudomásul kell vennünk, hogy ennél nagyobb pontosságot még egyetlen más analízisnél sem tudtak elérni.

Ennek ellenére megállapítható az eredményekből, hogy a légkör napsütötte oldala kitüntetett helyzetben van, mint ahogy annak lennie is kell, hiszen a fűtés alapvető folyamata, az EUV-abszorpció, csak ott következhet be. A késés mért szélső értékei közötti különbség vi-szont az energia terjedési sebességéről adnak képet, ami egy majdani elméleti modell számára lesz igen fontos adat.

4.3. A napszakos effektus

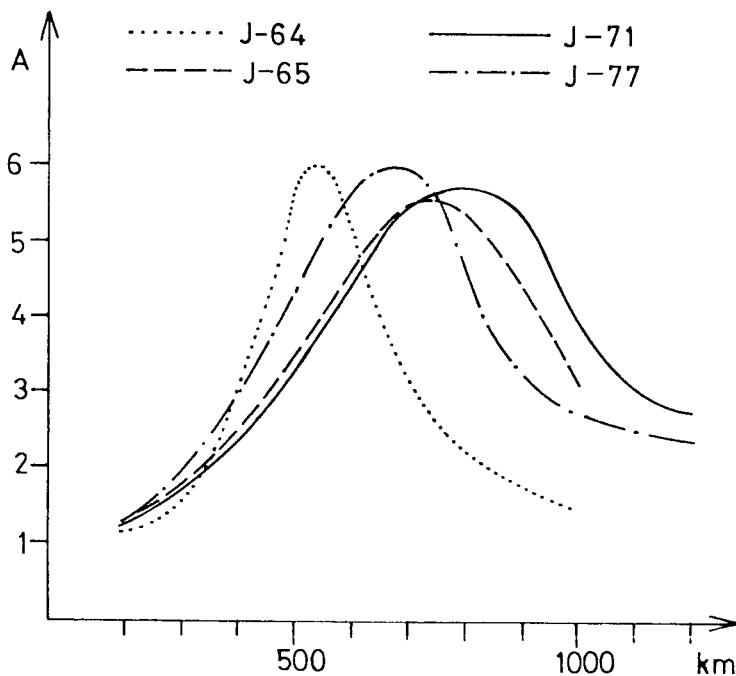
Már a legelső, fékeződésből meghatározott sűrűségadatok elemzése világosan mutatta, hogy egy adott magasságban az éjszakai sűrűségértékek mindig alacsonyabbak, mint a nappaliak. Elméleti megfontolások alapján ekkor már bizonyosnak tűnt /és később teljes mértékben igazolódott/, hogy diffúziós egyensúlyi állapot mellett a termoszféra aljától kezdve a nagyobb sűrűség egyuttal magasabb hőmérsékletet is jelent. Így tehát kínálkozott az a magyarázat, hogy a felsőlégkör napi hőmérsékletváltozások kísérik, és ezt a jelenséget nevezték el napszakos effektusnak. Elfogadva a Nap hőmérsékletet meghatározó szerepét /EUV abszorpció/, a napszakos effektus leírásánál a legmegfelelőbb fizikai paraméter a helyi szoláris idő /LST/.

A napszakos effektus a felsőlégkör egyszerűnek tűnő, de mindmáig nem kielégítő módon ismert jelensége. Áttekintésénél induljunk ki abból a felismerésből, hogy a sűrűség napi változásainak menetében a hajnali órákban, 4h LST körül találjuk a legkisebb sűrűségértéket, míg a legnagyobbat kora délután, 14h LST táján. Hamar nyilvánvalóvá vált az is, hogy az effektus A sűrűségi amplitúdója ($A = \rho_{\max} / \rho_{\min}$) változik a magassággal és függ a naptevékenységtől is. Priester et al. [188] szerint 1958-ban /naptevékenységi maximumkor/ az amplitudó 200 km magasságban mintegy $A=1,15$ volt, de a következő évben 562 km magasságban már $A=5$, míg 660 km magasságban $A=8$ értéket figyeltek meg. Ha ezt összevetjük azzal, hogy az ECHO-1 fékeződéséből 1960-61-ben, 1200 km magasságra $A=4$ adódott [194], azt lehet mondani, hogy az A sűrűségi amplitudó a magassággal növekszik ugyan, de valahol 600-800 km táján eléri maximumát, majd ismét csökken.

Számos mérés mutatta azt is, hogy A függ a naptevékenységtől. King-Hele szerint [136] 200 km magasságban a fenti $A=1,15$ a naptevékenységi minimum táján /1963-ban/ már $A=1,7$ -re növekedett, sőt Marov 5 Kozmosz-hold fékeződéséből erre a magasságra $A=1,9$ értéket vezetett le [165, 166].

Ezekkel összhangban Slowey kimutatta [204], hogy az 1958-59-ben 270 km-re kapott $A=1,5$ amplitudó a naptevékenység jelentős csökkenése mellett 1963-ban már $A=2,1$ -re növekedett. Így ellentmondásnak tűnt Cook megállapítása [39], amely szerint 1200 km magasságban az amplitudó a naptevékenységgel párhuzamosan csökkenő tendenciát mutatott: az 1960-61-ben mért $A=2$ -re csökkent!

Mindezeket a megállapításokat, természetesen, a modelleknek is tükrözniük kellene. Mivel azonban a modellek a napszakos effektus amplitudóját nem adják meg explicit formában, érdemes megtekinteni a 4.1. ábrát,



4.1. ábra

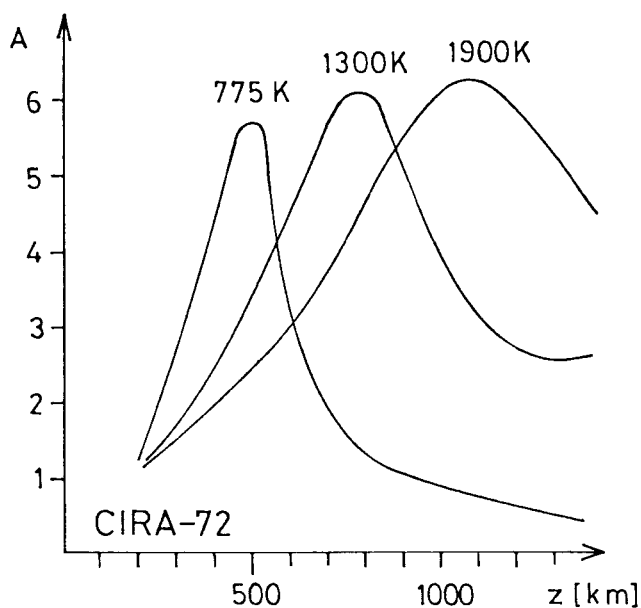
A sűrűségi amplitudó magasságfüggése különböző modellekben

E modellek alapján csak annyit mondhatunk, hogy valahol 500-800 km között, vagyis a helium-övezetnél, az amplitudó csökkenni kezd. A jelenség magyarázatát azonban a modell szerzője nem adja meg.

A napszakos effektus amplitudójával kapcsolatos kérdések azért is bonyolultak, mert az nemcsak a magasságnak, de az exoszférikus hőmérsékletnek, vagyis a naptevékenységnek is függvénye. A 4.2. ábrán a CIRA-72 modell napszakos effektusának magasságfüggését mutatjuk be $775 K^{\circ}$, $1300 K^{\circ}$ és $1900 K^{\circ}$ nappali maximális hőmérséklet mellett. Mindegyik görbe közös vonása, hogy az amplitudó eleinte a magassággal nő, majd egy maximális érték után csök-

amelyen azt mutatjuk be, hogy Jacchia 4 modelljében hogyan változik az amplitudó magasságfüggése /gyenge naptevékenység mellett/ az újabb és újabb észlelések és felismerések hatására. Látható, hogy a maximális amplitudó valamivel kisebb az észleltnél. Ugyanakkor feltűnő, hogy még a két utolsó modell /J-71 és J-77/ közötti különbség is jelentékeny, főleg abból kifolyólag, hogy nem tudni biztosan, mely magasságnál maximális a sűrűségi amplitudó.

ken. Az amplitudó maximális értéke alig függ a naptevékenységtől, és nem éri el az idézett legnagyobb megfigyelt értékeket. Lényeges, hogy növekvő hőmérséklet mellett az amplitudó egyre nagyobb magasságoknál éri el maximális értékét. Ez a jelenség okozza azt, hogy míg pl. 500 km magasságban a gyenge naptevékenységhez tartozó $A=5,7$ amplitudó magasabb exoszférikus hőmérséklet mellett *lecsökken* a felére, addig pl. 1000 km magasságban az $A=1$ amplitudó a naptevékenység erősödésével *megnövekszik* a hatszorosára.



4.2. ábra

Az amplitudó függése a naptevékenységtől

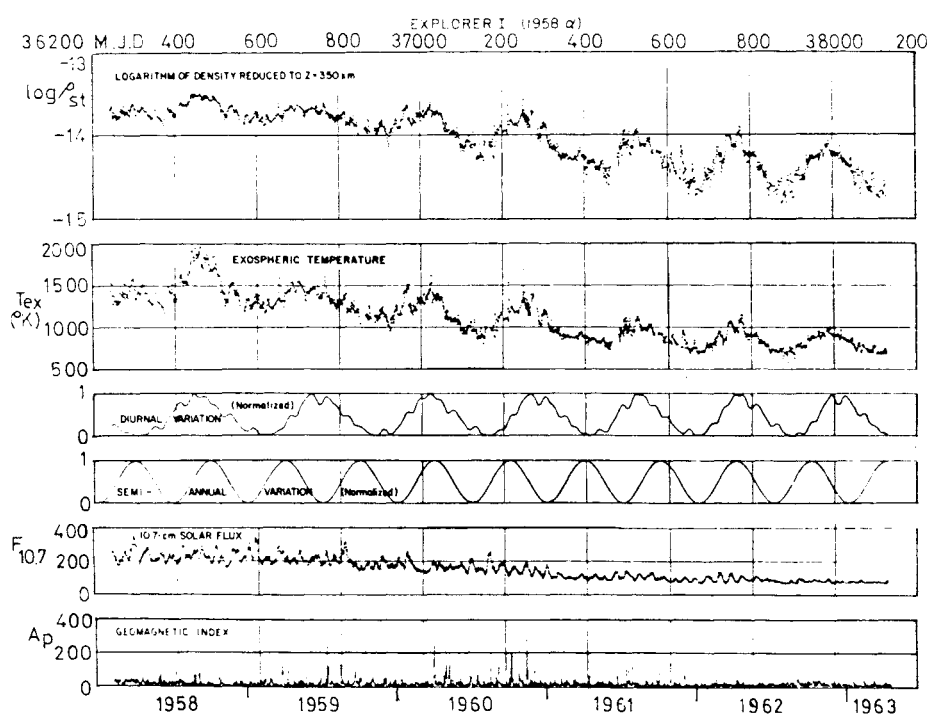
domináns komponens. Így pl. 200 km felett a domináns komponens az atomi oxigén, feljebb a hélium, majd még feljebb a hidrogén. Adott hőmérsékleten, növekvő magasság mellett, az oxigén koncentrációja gyorsabban csökken, mint a héliumé, ezért bizonyos magasságban a két komponens koncentrációja már egyenlő, sőt ennél nagyobb magasságokban már a hélium a domináns komponens. Ezért nagyon érdekes, hogy az a magasság, ahol a két koncentráció már kb. egyenlő, pontosan megegyezik a 4.2. ábrán látható amplitudó-görbék maximumainak helyével. Így tehát a napszakos effektus tanulmányozása még azt is elárulja, hogy mely magasságban vált szerepet az oxigén és a hélium. A görbék maximum utáni szakaszai viszont azt is világosan mutatják, hogy az EUV-fűtés mechanizmusa a hélium esetében nem effektív.

Igy tehát Cook említett, ellentmondásnak tűnő megfigyelése nem téves, sőt nagyon is helyes!

A görbék azt is mutatják, hogy 200 km magasságban az amplitudó igen kevésbé függ a naptevékenységtől. Igen érdekes, hogy a görbék a felsőlégkör szerkezetének egyes vonásait is tükrözik. Mint említettük, a diffúz egyensúlyi állapot mellett, növekvő magassággal az egyes komponensek koncentrációja molekulaszámmal arányosan csökken. Ennek az a következménye, hogy a felsőlégkörben az egyes komponensek szinte "rétegszerűen" helyezkednek el, vagyis adott magasságon van egy

A 775 K° -hez tartozó görbe egy másik érdekességre is utal. Ismeretes, hogy a hőmérséklet növekedésével egy adott magasságon a légköri komponensek koncentrációja, és velük együtt a sűrűség is, növekszik. Ez alól kivétel az 500 km feletti magasságokon már szerepet játszó hidrogén, amelynek koncentrációja a hőmérséklet növekedésével csökken. Ennek az a következménye, hogy bizonyos nagyobb magasságban, ahol a hidrogén hatása már érvényesülni tud, a sűrűség értéke a hőmérséklet növekedése ellenére csökken. Pl. 1000 km magasságban a CIRA-72 szerint a sűrűség $1,36 \cdot 10^{-15}$ -ről $1,04 \cdot 10^{-15}$ -re csökken, mialatt a hőmérséklet 600 K° -ról 700 K° -re emelkedik. Ez más szavakkal azt jelenti, hogy a "hidrogén-zónában" a napszakos effektus pont a fordítottja az eddig tárgyaltaknak: az amplitudó kisebb 1-nél. Ez a jelenség a 775 K° -es görbén szépen látszik /a többi görbénél ez természetesen szintén látható volna, de nagyobb magasságokon/.

Látjuk tehát, hogy a napszakos effektus sűrűségi amplitudójának változásai ilymódon formailag leírhatók egy modell keretében. Nyitott marad azonban pl. az a kérdés, hogy a 200-600 km-es magassági tartományban a hőmérséklet növekedésével az amplitudó miért csökken? Erre akkor kaptunk némi magyarázatot, amikor a napszakos effektusra vonatkozó vizsgálatainkat kiterjesztettük egy másik érdekes jelenségre is [107], amelyet a 4.3. ábra kapcsán tudunk megvilágítani. Az ábra Jacchia által az Explorer 1 hold fékeződéséből

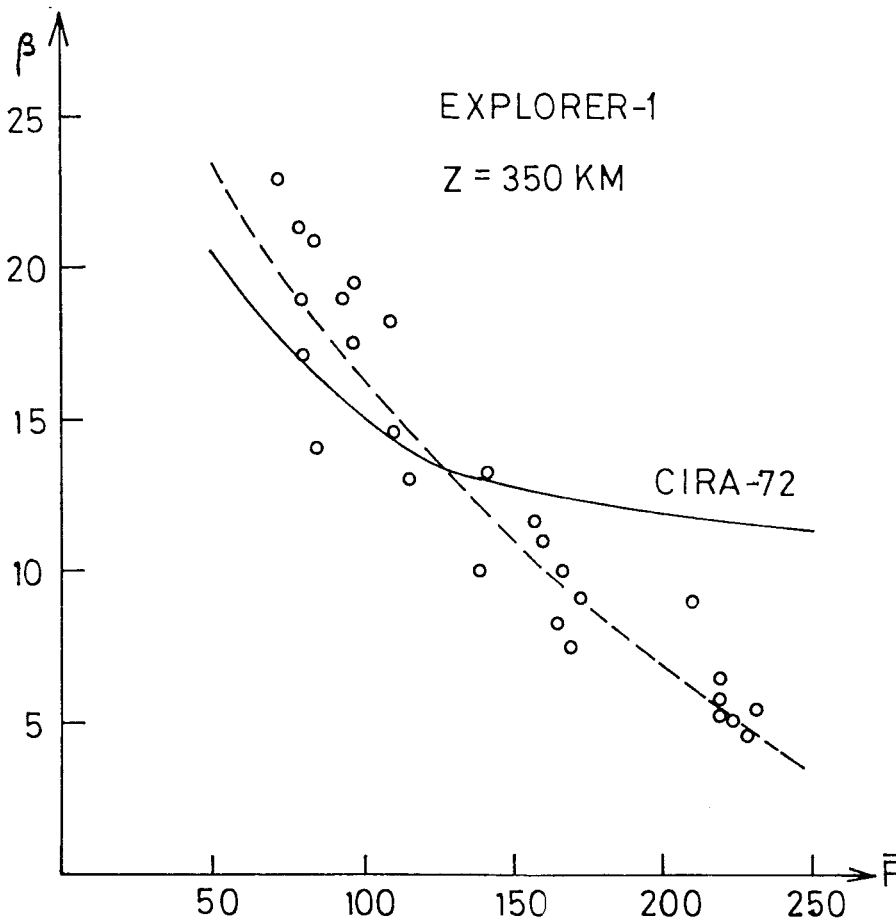


4.3. ábra

Az Explorer 1 fékeződéséből levezetett sűrűségváltozások

levezetett sűrűségváltozásokat mutat [121], amelyek az 1958-63-as évekre és 350 km magasságra vonatkoznak. Az ábrán található egyéb görbék mutatják a megfelelő hőmérsékletváltozásokat, a napszakos és a féléves effektust, valamint az F szoláris fluxus és az A_p geomágneses index változásait. A napszakos változások görbéjét a sűrűségváltozásokkal összehasonlítva könnyen megállapíthatjuk, hogy a sűrűség nagy oszcillációi valójában a napszakos effektust mutatják, és gyenge modulációként a sűrűségváltozásokban felismerhető a féléves effektus is.

A sűrűséggörbét elemezve rögtön feltűnik, hogy az egységnyi hőmérsékletváltozás hatására bekövetkező relatív sűrűségváltozás, vagyis a $\beta = \Delta \log \rho / \Delta T$ mennyiség, a 11 éves naptevékenységi ciklus folyamán nem állandó. Így pl. 1958-

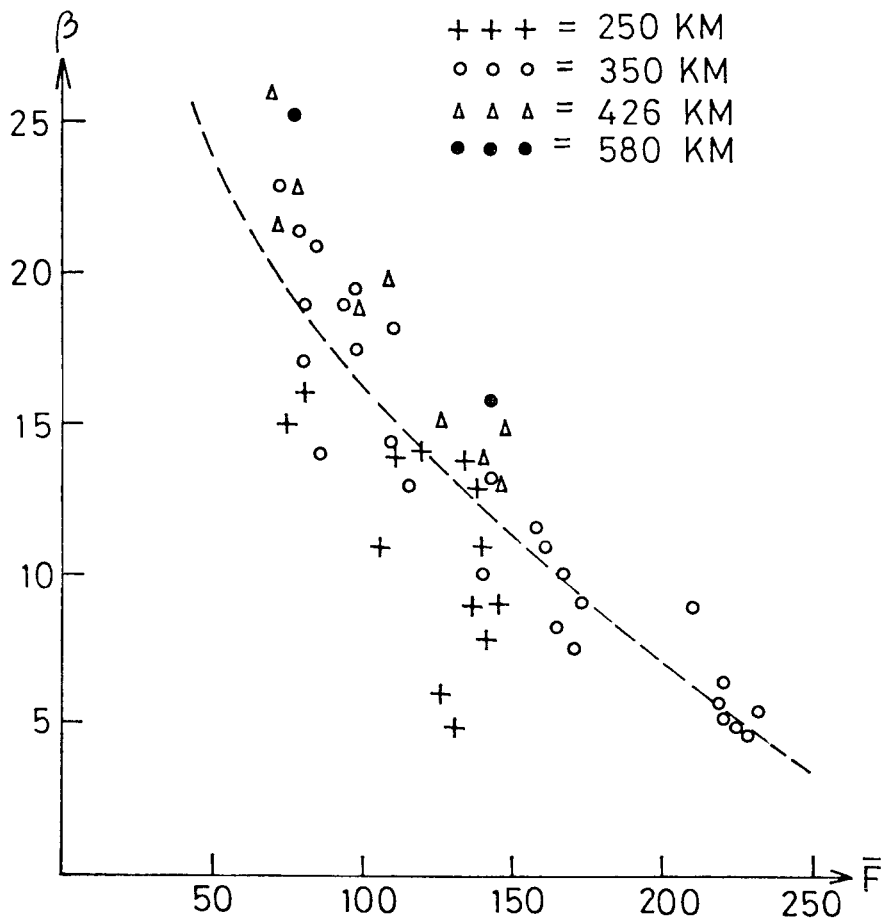


ban /naptevékenységi maximum/ mintegy 700 K hatására a sűrűség 2,2-szeresére nőtt, míg 1962-ben /közel a minimumhoz/ már 300 K hatására is 5-szörösére növekedett a sűrűség. Ez más szavakkal azt jelenti hogy β értéke a hőmérséklet csökkenése mellett jelentősen megnövekedett. A kérdést a SAO által publikált adatok [121,123] segítségével megvizsgáltuk, a kapott eredmények a 4.4. ábrán láthatók. Látható, hogy β valóban igen erősen függ a hőmérséklettől, és erősebb naptevékenység mellett a CIRA-72 erősen eltér a mérési eredményektől.

4.4. ábra

β változás a naptevékenység függvényében

A felsőlégkör szerkezetéről alkotott képünk alapján elképzelhetetlen, hogy ennek az effektusnak ne lenne magasságfüggése. Nehogy a várható eredményeket észlelési vagy redukálási hibának lehessen tulajdonítani, a kérdést ismét nem saját, hanem mások által publikált sűrűségadatokkal vizsgáltuk meg, 4 különböző magasságban keringő holddal [121, 123, 126, 195]. A felhasználásra kerülő sűrűségadatok ellenőrzése azt mutatta, hogy azok közepes minőségűek, így a kapott eredmények viszonylag nagy szórása miatt β magasságfüggésével kapcsolatban csak kvalitatív megállapításokat lehet tenni /4.5. ábra/. Ugy tűnik, hogy β értéke 250 km-en általában alacsonyabb, 426 km-en pedig magasabb, mint 350 km-en. Talán még azt is lehet állítani /2 pontból?/, hogy β értéke 580 km-en sem alacsonyabb, mint 350 km-en.



4.5. ábra

β magasságfüggése

E vizsgálataink folyamán az is kiderült, hogy β változása egy adott hőmérsékleten ugyanolyan menetet mutat, és maximumai is ugyanazoknál a magasságoknál lépnek fel, mint a 4.2. ábrán bemutatott amplitudóváltozásoknál. A görbék összevetése tehát arra utal, hogy a napszakos effektus sűrűségi amplitudója azért változik a magassággal, mert β értéke specifikus egy-egy gázra. Ahogy tehát változik a felsőlégkör összetétele a magassággal, úgy

változik az egységnyi hőmérsékletváltozás hatására bekövetkező sűrűségváltozás is.

Eddigi megállapításainkban az amplitudókat hallgatólag az egyenlítőre vonatkoztattuk. Nem lényegtelen azonban az sem, hogy a napszakos effektus hogyan függ a földrajzi szélességtől. Ennek leírása jól elvégezhető Jacchia geometriai megfogalmazásával [112], amely abból indul ki, hogy a napszakos effektus végeredményben egy maximális hőmérsékletű vagy sűrűségű ponttal /kidudorodással/ és azt körülvevő izotermikus vagy izopiknikus /azonos sűrűségű/ vonalakkal jellemezhető.

Jacchia modelljeiben a napszakos effektust, a sűrűség konvertálhatósága miatt, hőmérséklettel fejezi ki. Egy φ földrajzi szélességű pont feletti exoszférikus hőmérsékletet a következő összefüggés adja meg:

$$T = T_0(1+R \cdot \sin^m \theta) \cdot \left(1+R \frac{\cos^m \eta - \sin^m \theta}{1+R \cdot \sin^m \theta} \cos^n \frac{1}{2}\tau\right) \quad (4.13)$$

ahol: $\eta = \frac{1}{2}|\varphi - \delta_\odot|$; $\theta = \frac{1}{2}|\varphi + \delta_\odot|$; $\tau = H + \omega + p \cdot \sin(H + \gamma)$

Ezekben az összefüggésekben T_0 az éjszakai minimális hőmérséklet, $R = (T_{\max} - T_0) / T_0$ az effektus relativ hőmérsékleti amplitudója, δ_\odot és H a Nap deklinációja és óraszöge. Az ω állandó határozza meg a hőmérsékleti maximum szögtávolságát /késését/ a Nap kulminációjához képest, míg p a görbe napi menetében egy olyan aszimmetriát biztosít, amelynek helye éppen γ . Az m és n paraméterek az izotermák észak-déli, ill. kelet-nyugati kiterjedését adják meg.

A megadott formalizmussal szinte tetszőleges hőmérsékleti eloszlás reprezentálható. Példaként megemlítjük a J-65 modell egyik hőmérsékleti eloszlását, amelyet a következő paraméterek határoznak meg:

$R = 0,28$; $m=n=2,5$; $\omega = -45^\circ$; $p = 12^\circ$; $\gamma = 45^\circ$ és az éjszakai minimális hőmérséklet $T_0 = 1000 \text{ K}$. Az eloszlás jellemzői: a maximum 14h LST táján van, míg a minimális hőmérséklet 4h LST-nél található, a maximum földrajzi szélessége megegyezik a szubszoláris pontéval, és az izotermák szélességi és hosszúsági kiterjedése azonos arányú.

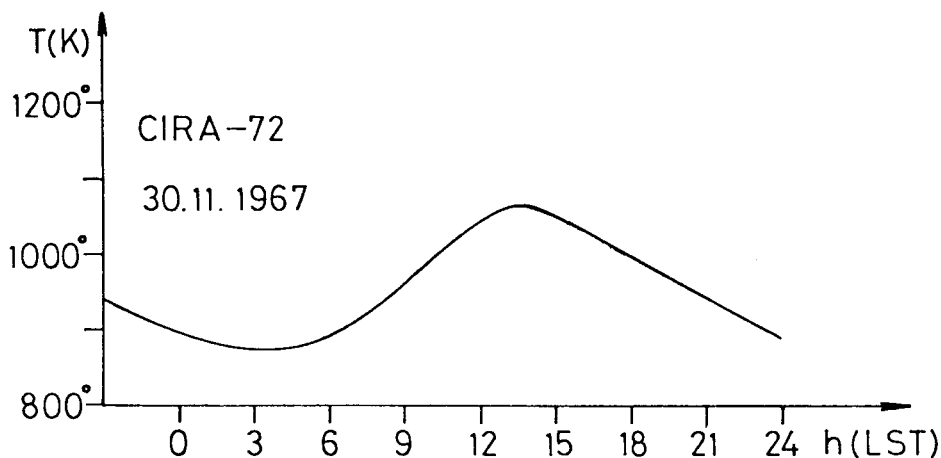
Jacchia a későbbi modellekben a javításokat elsősorban a paraméterek változtatásával próbálta elérni. Amikor pl. nagy inklinációjú holdak adatainak elemzéséből kiderült [114], hogy az izotermák észak-déli kiterjedése jóval nagyobb, mint a kelet-nyugati irányú, ezt a modellt az $m = 1,0$ és $n = 2,5$ paraméterekkel tudta kifejezésre juttatni.

A további elemzések előtt azonban meg kell említenünk, hogy fékeződési adatokkal a napszakos effektusnak csak hosszabb pályáivra "átlagolt", és szuperponálódott hatásoktól torzított változatát lehet tanulmányozni. Hiszen a kapott sűrűségadatok mindig csak a perigeum környezetére vonatkoznak, és átlagos műholdak esetében a perigeum 200-300 nap alatt fordul el 360° -ot, vagyis huszonnégy órányit. Így, ha pl. a hőmérséklet napi menetét ábrázoló görbe az év folyamán változó alakú lenne, azt fékeződéses adatokból nehezen lehetne részleteiben rekonstruálni, mivel a mért sűrűségek tartalmaznak egész sor egyéb változást is /szélességi, naptevékenységi, geomágneses effektusok/. Ennek ellenére érdemes áttekinteni azokat a fontosabb megállapításokat, amelyek az effektussal kapcsolatosak.

Mint fentebb bemutattuk, a sűrűségi amplitudó a magasság és a naptevékenység függvényében változik. Ezt most kiegészítjük azzal, hogy az R hőmérsékleti amplitudó első közelítésben állandó. A 60-as évek vége felé Jacchia feltételezte, hogy R a naptevékenységgel együtt, kb. 2 éves fáziskéséssel, változik [120]. E hipotézis azért feltűnő, mert a felsőléggöri fűtés korpuszkuláris komponensének létezését bizonyította volna. Részletes elemzések azonban nem igazolták ezt a feltevést.

Pontos vizsgálatok azt mutatják, hogy R kissé függ a magasságtól. Az $R = 0,3$ érték a 200-400 km-es tartományban érvényes, de 600 km magasságban csak akkor kapjuk a megfigyelt sűrűségváltozásokat, ha $R = 0,35$ /kissé csökkentett T_0 mellett/, míg 900 km magasságban már $R = 0,4$ ad helyes értékeket. Az 1100 km feletti magasságoknál már ismét $R = 0,3$ mellett kaphatók a megfelelő sűrűségváltozások. Ilyen átfogó vizsgálatok, sajnos, csak igen gazdag, és megfelelő eloszlású észlelési anyaggal végezhetőek. Ezért nem is csoda, hogy erre vonatkozóan szinte csak a Jacchia által publikált eredmények ismeretesek [122].

A napszakos effektussal kapcsolatban a legfőbb nehézségnek a maximum időpontja látszik. Mindaddig, amíg csak fékeződéses adatokból levezetett hőmérsékletek voltak ismeretesek, a közzelfogás elfogadta Jacchiának azt a többször megismételt megállapítását, hogy mind a sűrűség, mind a hőmérséklet 14h LST körül éri el maximális értékét a nap folyamán /bár pl. Marov publikált olyan méréseket [167, 168], amelyek szerint a sűrűség csak a késő délutáni órákban kulminál/. Szemléltetésként a 4.6. ábrán bemutatjuk a CIRA-72

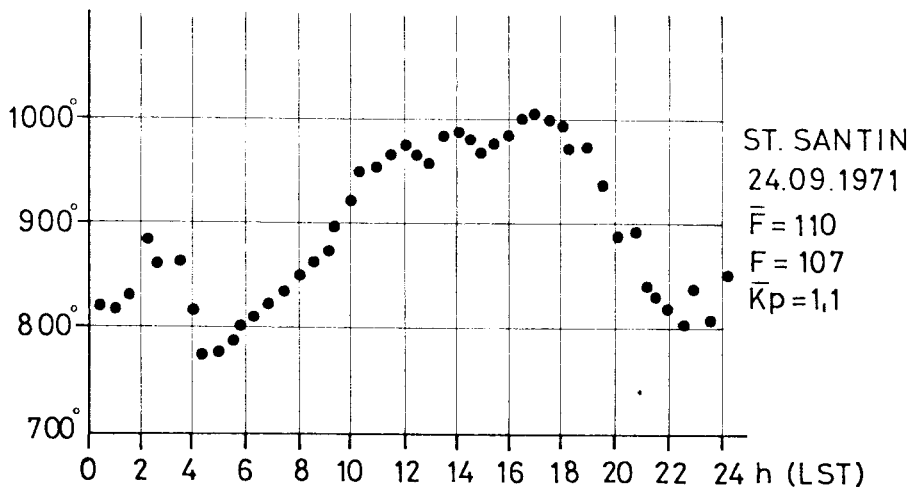
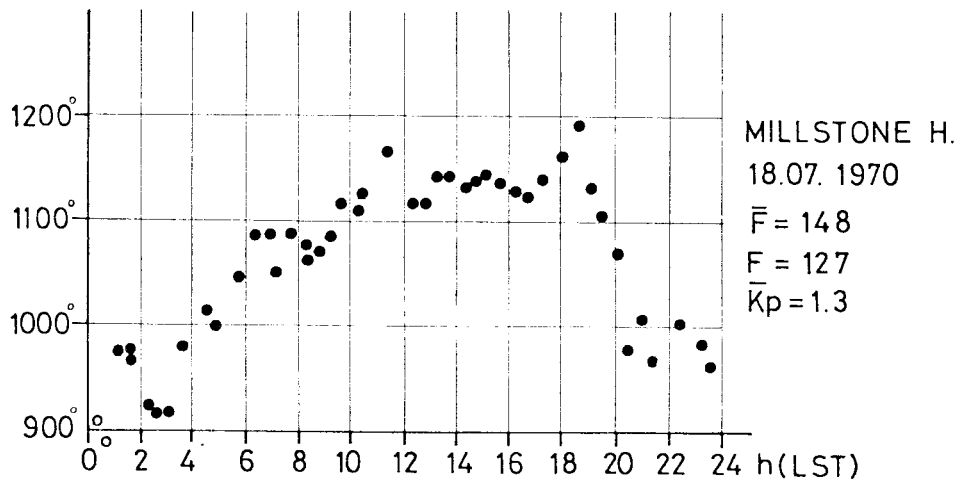
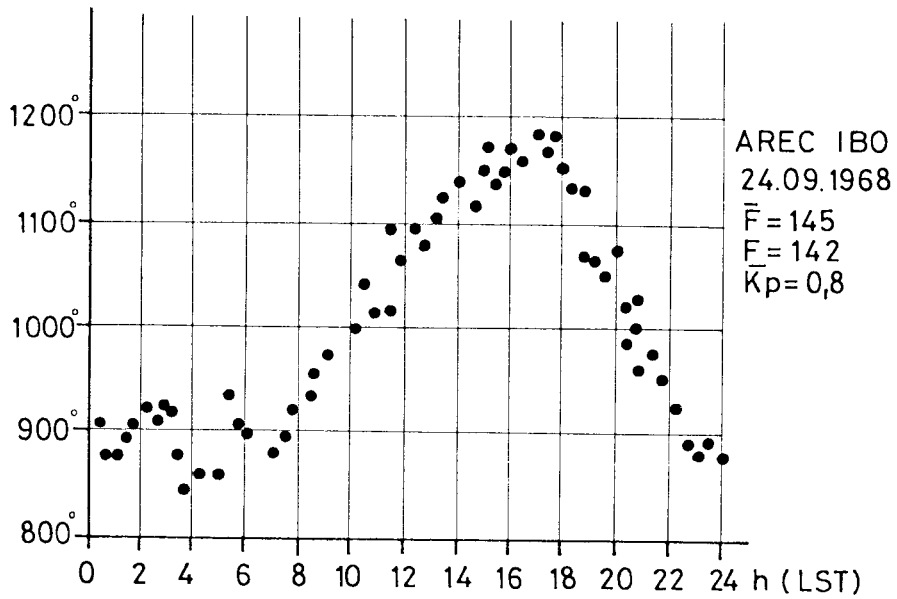


4.6. ábra *A hőmérséklet napi menete*

modell alapján a hőmérséklet napi menetét az egyenlítőn, $T_{\max} = 1300 \text{ K}^{\circ}$ mellett. A 14h LST körüli kulminációt Jacchia az effektus olyan jellegzetességének tartja, amely független a naptevékenységtől vagy az évszaktól.

Azonban a hatvanas évektől kezdve egyre több közvetett eljárást kezdtek el használni a felsőlégkör hőmérsékletének meghatározására, így pl. a Thomson-féle ún. inkohérens szóródást. Az egyre sokasodó publikációkból kiderült, hogy a hőmérséklet napi menetében a maximum igen gyakran eltolódik a későbbi órákra [28, 29, 57, 174, 178, 205, 210]. Ennek szemléltetésére a 4.7. ábrán bemutatunk olyan hőmérsékleti görbéket, amelyeket 3 különböző kuattócsoport nyert inkohérens szóródásból [61, 201, 224]. Mindegyik görbén jól látható, hogy a legnagyobb hőmérséklet 16-18h LST táján lép fel.

Amikor aztán a 70-es években az OGO-6 holddal kapcsolatban nyert N_2 -koncentrációkból, valamint Doppler-mérésekből levezetett hőmérsékletek ugyanugy a késő délutáni órákban mutatták a hőmérséklet kulminációját [63, 64], Jacchia is megkísérelte modelljének ezt a komoly fogyatékoságát kijavítani. Több, mint 30.000 újabb fékeződési adat elemzéséből /kezdeti feltételek megváltoztatása mellett/ a napszakos effektus hőmérsékleti maximuma 16,8h LST-re került, míg a hajnali minimum is eltolódott 5,4h LST-re.



4.7. ábra

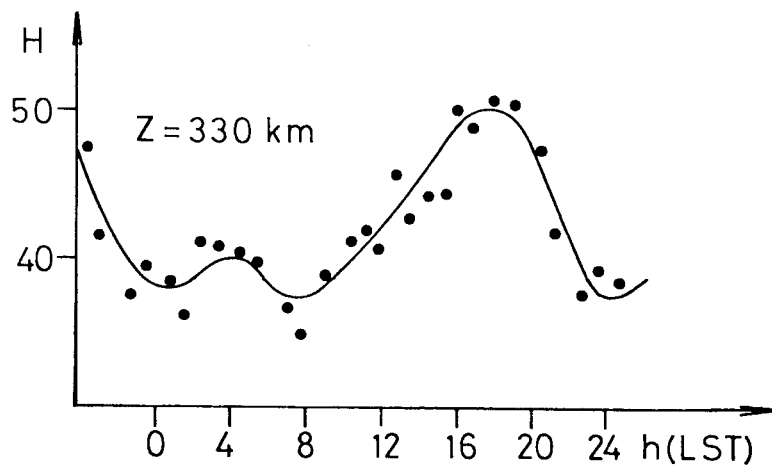
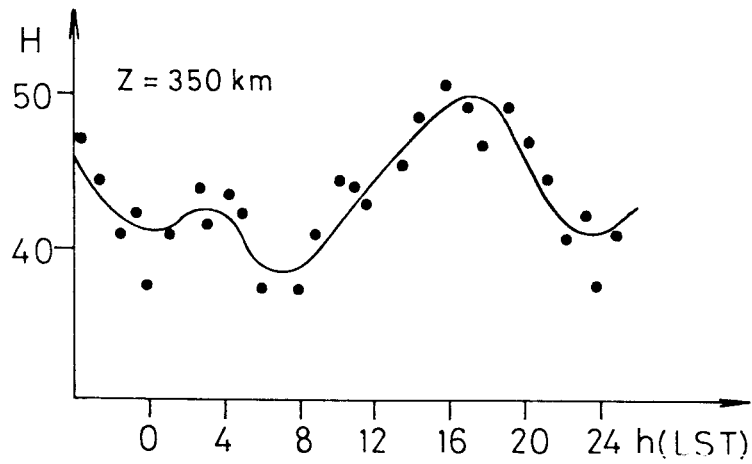
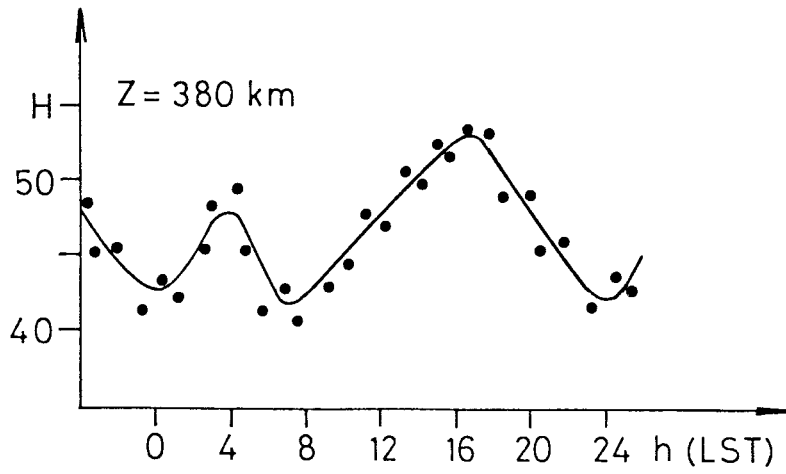
A hőmérséklet napi menete inkohereus szórásból

Sajnos a napszakos effektus modellezése még így sem mondható kielégítőnek. Jacchia ugyanis váltig hangoztatja, hogy a sűrűségi maximum időpontja még legutóbbi elemzése szerint is általában jóval korábban van, mint a hőmérsékletié. Így tehát egy olyan fáziseltérés jelentkezik, amelynek éppen a fordítottja lenne könnyebben magyarázható /megfelelő hőterjedési mechanizmussal/. De még így sem áthidalhatatlanok a ténylegesen tapasztalt fáziseltérésekből támadó nehézségek. Risberth szerint [191] felléphet a tapasztalt értelmű fáziskülönbség pl. egy horizontális szélrendszer eredményeként, ha ez a szél a növekvő EUV-abszorpció óráiban, tehát a délelőtti folyamán, levegőt szállít a termoszféra alacsonyabb régióiba. Ilyenkor ui. a sűrűség a termoszféra nagyobb magasságaiban még növekvőben van, de ez a tendencia a maximális hőmérséklet elérése előtt leáll, ill. megváltozik. A tendenciaváltozást a szél által elszállított légtömegek okozzák.

Tény, hogy már számos szerző tudott tekintélyes 100-200 m/s sebességű szeleket kimutatni 200-300 km magasságban [8, 31, 55, 98, 143, 152]. Abban, hogy az elvégzett szélszámításoknál milyen szélmező alakul ki, nagy szerepe van az ion-közegellenállásnak. Mindemellett a publikált eredmények szerint általában kelet-nyugati irányú szelek uralkodnak a délelőtti órákban, míg ellenkező irányúak az estiekben. Az elemzések szerint [23] egy ilyen szélrendszer létrehozhat ugyan fáziseltolódást a sűrűségi és hőmérsékleti maximum között, de a fáziskésés mértéke nem éri el a kívánt értéket, ugyanakkor a sűrűségváltozás napi menete ilyen körülmények között kissé eltér a megfigyelttől. Éppen ezért a feltételezett szélrendszer a fáziseltolódás magyarázatában betöltheti az egyik komponens szerepét, de mellette még más tényezőket is figyelembe kellene venni. A kérdés még további részletes vizsgálatokat igényel. Legegyszerűbb megoldás az volna, ha egy akcelerométeres holdon egyuttal olyan műszert is elhelyeznének, amely valamelyik ismert módszerrel lehetővé tenné a hőmérséklet közvetett mérését is. A szimultán végzett sűrűség- és hőmérsékletmérések egyszerű módon megoldanák ezt a sokakat foglalkoztató, nehéz problémát.

A végére hagytuk a hőmérséklet napszakos változásával kapcsolatos saját eredményeink megemlítését. Ismeretes, hogy nagy adatbázis nélkül ezt az effektust átfogóan nem lehet elemezni, legfeljebb egy-egy részletkérdés vizsgálatát lehet elvégezni.

A 4.8. pontban részletezendő skálamagassági vizsgálatunk [104, 105] során jöttünk rá, hogy a H skálamagasság révén képet kaphatunk a hőmérséklet napi menetéről is. Adott magasságban ui. a H skálamagasság változásai csak



4.8. ábra A H napi menete

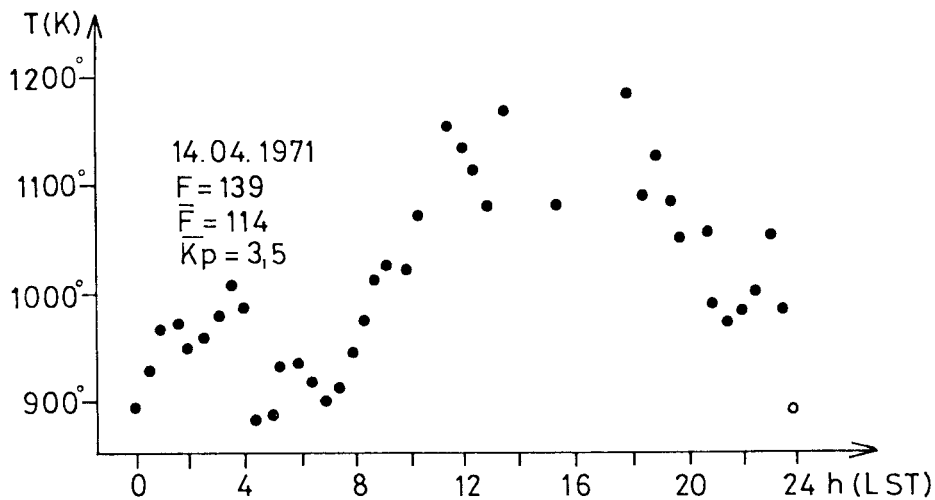
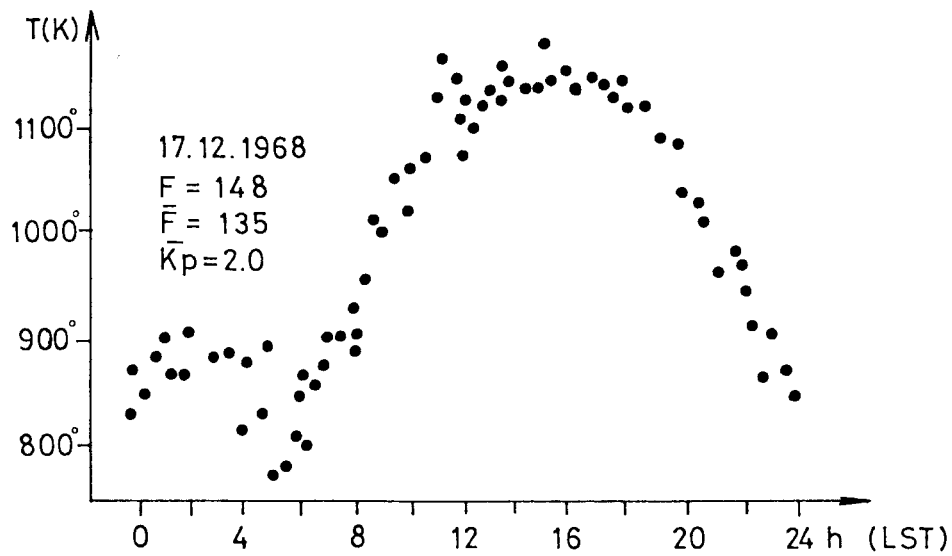
az M molekulaszűrő és a T hőmérséklet változásaiból adódnak. Mivel azonban T változásai a troposféra alsó rétegeiben egy nagyságrenddel nagyobbak, mint M-é, így H változásai elsősorban hőmérsékletváltozásokat reprezentálnak. Ez még fokozottabban érvényes, ha csak a relatív változásokat tekintjük.

A 4.8. ábrán bemutatjuk 3 különböző magasságra kapott görbéinket [104]. A görbék egyértelműen mutatják, hogy a maximum valóban a késő délutáni órákra tolódik, mint azt többen, más módszerekkel kimutatták.

Ennél azonban sokkal érdekesebb, hogy mindhárom görbén felismerhető egy másodlagos maximum a hajnali órákban. A mérések nagy szórása ellenére is úgy tűnik, hogy e másodlagos maximum amplitudója kissé függ a magasságtól. A másodlagos maximum mintegy 50-80 K hőmérsékletváltozásnak felel meg, vagyis a napi hőmérsékletváltozás mellett már nem hanyagolható el /annak 20%-ával egyenlő/.

Ez a másodlagos maximum eddig egyetlen modellben sem szerepel. Realitása joggal kétségbe vonható volna, ha csak saját analízisünkben lenne kimutatható. Szerencsére nem ez a helyzet. Már rövid keresés után kiderült, hogy több más szerző által publikált görbéken is szerepel a hajnali másodlagos maximum, anélkül azonban, hogy az illetők erre a szövegben utaltak volna, így pl. Carru és Waldteufel [29], Wachtel [223], Salah et al. [201], Hedin et al. [61, 62] publikációiban, sőt hivatkozunk fentebbi 4.7. ábrára, ahol az említett maximumok szintén kivehetők. Szemléltetésként a két utóbbi publikációból mutatunk be 1-1 görbét, amelyen szintén megtalálható a hajnali maximum /4.9. ábra/.

Mindezek alapján joggal állítjuk tehát, hogy a hőmérséklet napi menetében a hajnali órákban /időnként/ mutatkozik egy másodlagos maximum. Bár ezt több szerző görbéin ki lehet mutatni, sehol sem történik említés róla, és eddig még egyetlen modellbe sem építették be. Ennek oka nyilván az interpretáció nehézségében van. A jelenség magyarázata ui. megkívánja egy másodlagos, mégpedig éjszakai energiaforrás létezését. Ismeretes ugyan olyan hipotézis, amely más légköri jelenség kapcsán feltételez másodlagos energiaforrást [234], de a feltevés nincs még igazolva. A jelenség magyarázatánál a legnagyobb problémát az okozza, hogy nem ismeretesek eléggé azok a kölcsönhatások, amelyek révén az ionosféra biztosíthatná a szükséges energiát. A szakirodalom áttanulmányozása után feltételezzük, hogy a hajnali hőmérsékleti maximum kapcsolatban lehet azzal az ismert jelenséggel [20], hogy kb 200 km magasságban az atomi oxigén koncentrációja a hajnali órákban mutat egy másodlagos maximumot.



4.9. ábra A hőmérséklet napi menete

Az ezzel kapcsolatos sűrűsnövekedés nagyságrendben megfelelne egy olyan kisebb hőmérsékletemelkedésnek, amelyet görbéink mutatnak. Természetesen ezzel még mindig csak a jelenség realitásának alátámasztását adjuk, és nem az áhitott energetikai magyarázatot.

A napszakos effektussal kapcsolatos vizsgálatainkban foglalkoztunk a maximális sűrűségű pont helyzetével, ill. annak évi vándorlásával is. A Jacchia-modellekben, és a hozzá hasonló többi modellben is, a maximális sűrűségű pont földrajzi szélessége megegyezik a Nap deklinációjával, vagyis az év folyamán a helyzete $\varphi = \pm 23,5^\circ$ között vándorol. A napszakos effektus

kulminációjával kapcsolatos nehézségek megszüntetésére Jacchia kénytelen volt bizonyos átalakításokat végezni modelljében, de ezek azt is eredményezték, hogy a J-77 modellben a maximális sűrűségű pont mér lényegesen nagyobb intervallumban, kb. $\varphi = \pm 50^\circ$ között vándorol az év folyamán. Ezzel szemben francia kollegákkal írt közös cikkünkben [14] már 1972-ben felhívtuk a figyelmet arra, hogy 12.000 sűrűségadat gondos elemzése alapján a maximális sűrűségű pont szélességi mozgásának amplitudója biztosan kisebb, mint a szubszonális ponté, amellet pedig elhelyezkedése az egyenlítőhöz képest határozottan aszimmetrikus. Ugyanakkor a minimális sűrűségű pont évi vándorlása legalább kétszer akkora amplitudóju, mint a modellben. Ennek kapcsán azt is kimutattuk, hogy a maximális sűrűségű vidék /egy adott magasságban/ sokkal kiterjedtebb /laposabb/, mint azt a J-77 modell alóirja.

Igy tehát azt kell mondani, hogy a J-77 modell a napszakos effektus vonatkozásában nem jelent komoly javítást. Igaz, az általunk említett eltérések abszolút értékben nem nagyok /10%/, de szignifikánsak. Egy-egy mérésnek a modellel való összehasonlításakor nem lehetne az eltéréseket kimutatni. Mégis fontosnak tartjuk ezeket a megállapításokat, mert a jelenség lényegét érintik. Csak szerkezetének, térbeli kiterjedésének jobb megismerésével juthatunk el odáig, hogy helyesen, a fizikai folyamatok figyelembevételével írassuk le a napszakos effektust. Ehhez azonban még az ilyen kis-amplitudóju jelenségeket is fel kell tárni.

4.4. A féléves effektus

Az első holdak fékeződési adatainak elemzéséből Paetzold és Tschörner 1960-ban kimutatta, hogy a napszakos, a 11 éves és a 27 napos periódusu sűrűségváltozás mellett fellép egy kb. féléves periódusu sűrűségingadozás is [184, 185]. Ezt a jelenséget a szakirodalom mint féléves effektust tartja nyilván, bár már az első elemzések alapján könnyű volt felismerni, hogy valójában egy egyéves, és egy nála nagyobb amplitudóju féléves komponens szuperponálásáról van szó. A megfigyelések szerint ui. az év folyamán október folyamán jelentkező maximum általában magasabb az áprilisinál, míg a juliusi minimum mélyebb a januárinál.

A féléves effektus megismerésével kapcsolatban először azt vizsgálták, hogy az milyen magasságokban lép fel. Hamarosan kiderült, hogy az effektus minden eddig vizsgált magasságban kisebb-nagyobb amplitudóval kimutatható. Ebben az az érdekes, hogy nemcsak a tipikus műholdtartományban 200-1200 km között, de annál kisebb és nagyobb magasságokban is megerősítették az effektus létezését. Így pl. King-Hele és Hingston [138] a Secor-6 fékeződéséből 190 km

magasságban, King-Hele és Walker [141] a 68-059-001 adataiból 150 km magasságban mutatta ki az effektust, míg Cook [42] rakétás mérésekre hivatkozva állította, hogy még 90 km magasságban is mintegy 30%-os amplitudóval jelentkezik a féléves periódusu sűrűségváltozás. Utóbbi megállapítás azért is érdekes, mert ebben a magasságban egyéb sűrűségváltozások nemigen mutathatók ki, vagyis ott /a turbopauza határán/ egy csaknem izopiknikus réteg helyezkedik el. Más szerzők viszont igen nagy magasságokban mutatták ki a féléves effektus létezését, így pl. Rousseau [200] a 63-30-004 hold adatainak elemzéséből azt kapta, hogy a féléves effektus 2300 km magasságban is jelentkezik, és itt a maximális sűrűség a minimálisnak 4-5-szöröse.

A vizsgálatok összegezéséből adódik az a következtetés is, hogy a féléves effektus a szó legtágabb értelmében globális jelenség: a maximális és minimális sűrűségértékek a földrajzi szélességtől függetlenül, minden magasságban szimultán jelennek meg. Éppen ezért úgy tűnt, hogy a féléves effektus könnyen modellezhető a többi effektus mintájára, vagyis a sűrűségváltozás kifejezhető az exoszférikus hőmérsékletnek egy adekvát változásával. Így pl. a CIRA-65 modell a féléves effektust a következő hőmérsékleti korrekcióval fejezi ki:

$$\Delta T = \left\{ \left[0,39 + 0,15 \cdot \sin\left(2\pi \frac{d-172}{365}\right) \right] \cdot \sin\left(4\pi \frac{d-80}{365}\right) - 0,30 \right\} \cdot \bar{F} \quad (4.14)$$

ahol d jelenti a nap sorszámát az év folyamán.

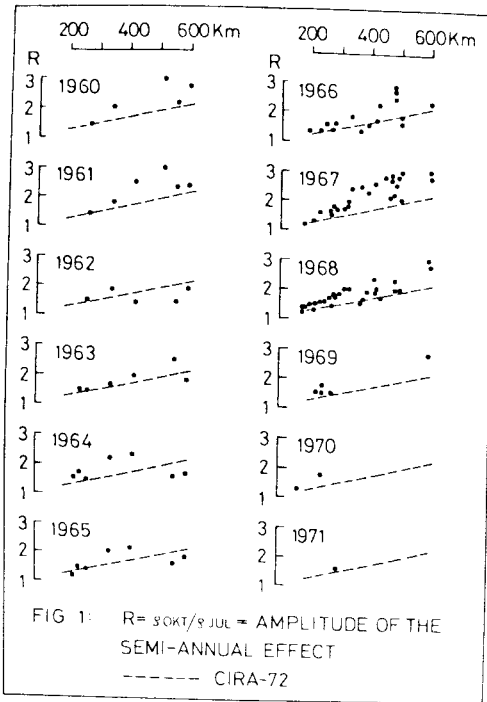
A J-65, J-70 modellekben az effektust azonos szerkezetű formula írja le, csupán az amplitudók és fázis tagok mutatnak kisebb eltéréseket. Ennek kapcsán kínálkozik két megállapítás. Az egyik az, hogy a modellek az effektus amplitudóját \bar{F} -fel, tehát az exoszférikus hőmérséklettel arányosnak tekintik. Mivel azonban az EUV-sugárzásnak nincs féléves periódusu komponense, a modellek a sűrűség féléves változását végeredményben egy ismeretlen /de a naptevékenységgel kapcsolatos/ energiaforrás ill. fűtési mechanizmus számlájára írják /erre a kérdésre később visszatérünk/.

A másik megállapítás az, hogy a modellek szerint a féléves effektus egy tiszta szinuszos változás. Nyilvánvaló, hogy ennek nagy jelentősége lehet az effektus eredetének magyarázatában, éppen ezért fontosnak tartottuk a kérdés megvizsgálását. Erre a célra előbb 2 holdnak saját feldolgozásból származó

adatait, majd több szerzőnek különböző magasságokban keringő 14 holdra vonatkozó sűrűségértékeit használtuk. Ezek részletes elemzésével és korrelációs számításokkal sikerült egyértelműen kimutatnunk, hogy a féléves effektus tavaszi maximumát minden vizsgált évben /1959., 1960., 1966., 1967., 1968./ un. szekunder minimumok csipkézik /a számítógépi munkákat francia kollégákkal közösen végeztük/[12, 92]. E minimumok mélysége 100-200 K-nek felel meg, ami oly nagy érték, hogy kizárja annak feltételezését, hogy a naptevékenységi effektus szokásos redukálásánál használt b koefficiens hibás értéke okozná a kimutatott szekunder minimumokat. Ugyanakkor figyelemreméltó az is, hogy a másodlagos minimumok a 350-650 km-es, ill. az 1000-1200 km-es magassági tartományban szimultán lépnek fel /más magasságokra vonatkozó adatok nem álltak rendelkezésre!/. A kapott eredmények fényében nyilvánvalóvá vált tehát, hogy a féléves effektus csak nagyon közelítőleg írható le valamely "sima" szinusz-függvénnyel, hiszen francia kollégákkal közösen feldolgozott, 85 // hold fékeződéséből levezetett 12.000 sűrűségadat alapján 1967-70-re kapott görbéink sem simák, hanem nagyon is csipkézettek [14]. A Cook [40] és King-Hele [138, 140] által publikált hasonló másodlagos minimumokat is figyelembe véve az derül ki, hogy a féléves effektus csipkézettsége minden évben ismétlődik. Bár ez a megállapítás a COSPAR-on tartott előadásunk idején némi megrökönyödést váltott ki, később Jacchia [116] és Walker szintén ugyanezt állította.

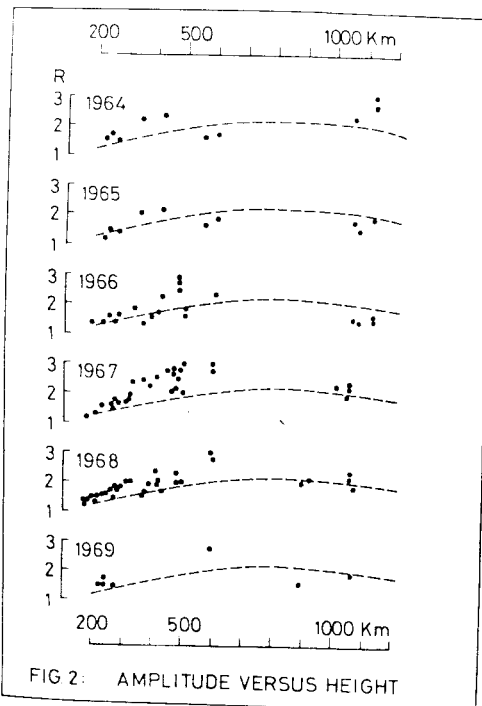
Az első évek fékeződési adatainak feldolgozása egyértelművé tette, hogy a féléves effektust leíró görbe alakja évről-évre, sőt néha holdról-holdra is változik. Így a féléves effektus megismerésében fontos kérdéssé vált, hogy mekkora annak amplitudója, az hogyan függ a magasságtól, és milyen időbeli változást mutat. (A szakirodalom amplitudónak értelmezi az októberi főmaximum és a júliusi főminimum idején mért sűrűségek arányát : $R = \rho_{\text{okt}} / \rho_{\text{jul}}$).

Az R amplitudó változásairól a publikált adatok alapján nem kapunk egyértelmű képet. Kezdetben tartotta magát az a modellekben tükrözött feltevés, hogy a féléves effektus R amplitudója \bar{F} -fel arányos [116, 118, 189]. De már 1969-ben Cook felfigyelt arra [43], hogy 1100 km magasságban az amplitudó $R = 2,5$ -ről /1964/ három év alatt $R = 1,8$ -ra csökkent /1966./, noha időközben a szoláris fluxus $\bar{F} = 70$ -ről $\bar{F} = 120$ -ra növekedett. Emellett különböző szerzők eredményei lényegesen eltértek egymástól R magasságfüggésére vonatkozóan. Ezért a kérdés tüzetesebb vizsgálatára összegyűjtöttük és közös elemzésnek vetettük alá [235] a legfontosabb publikált adatokat.



4.10. ábra

R változásai a magasság és idő függvényében 200-600 km között



4.11. ábra

R változásai a magasság és idő függvényében 200-1200 km között

Ezek 65 holdra és a 200-1200 km-es magassági tartományra, valamint az 1960-71. évekre vonatkoznak [26, 27, 39-45, 50, 116, 136, 138-142, 164-169, 175, 198, 218, 226-228]. Feltételezve, hogy *R* időben változik, és hogy van magasságfüggése is, az észlelt amplitudókat évenként külön-külön ábráztuk a magasság függvényében /4.10. ábra/.

A görbék egyszerű szemrevételezése is mutatja, hogy a pontok szórása igen nagy. Ennek két fő oka van. Az általában 15-20%-os hibával terhelt sűrűségadatokból készült, meglehetősen nagy alapzaju görbékről sokszor igen nehéz megállapítani, hogy mely érték tekinthető maximumnak vagy minimumnak. Ehhez a bizonytalansághoz jelentékenyen hozzájárul még az a redukáló eljárás is, amelyet általában alkalmaznak a féléves effektus láthatóvá tételére: a bruttó sűrűségértékekből levonják az összes ismert effektusnak valamely modell felhasználásával számított sűrűségjárulékát, és a maradékot tekintik a féléves effektusnak, noha az magában foglalja a modell hibáit és az egyéb szisztematikus hibák összegét is. Mindez jelentékenyen meghamisíthatja a féléves effektust reprezentáló görbét, hiszen pl. a tekintélyes amplitudóval számításba vett napszakos effektus év közbeni változásai kevéssé ismertek, de nem lehet tökéletesnek tekinteni a többi effektus modellezését sem, érthető tehát az időnként zavaróan nagy szórás, ha figyelembe vesszük, hogy nem minden szerző használta ugyanazt a modellt a redukálásnál.

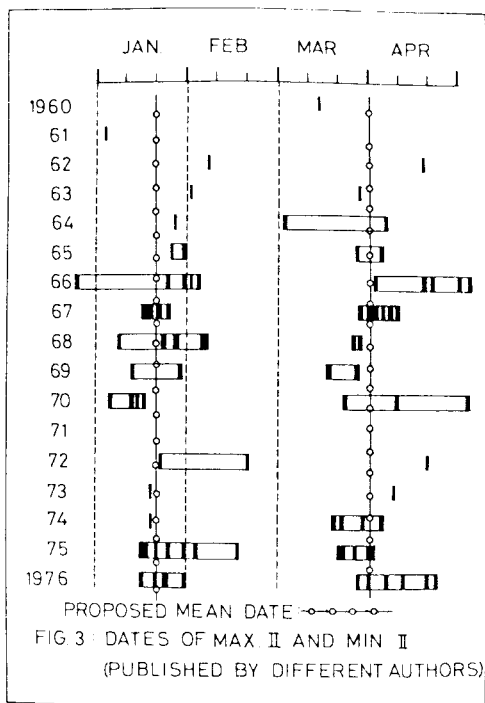
A 4.10. ábra görbéiről megállapítható, hogy az 1962-65. években a CIRA-72 elfogadhatóan jól adja vissza a megfigyeléseket. Azonban 1960-61-ben és az 1966-69. években az észlelt értékek általában a CIRA-72 görbéje felett

helyezkednek el. Részletesebb elemzés szerint R évi változása a 200-300 km-es tartományban kisebb 10%-nál, és a vizsgált 12 év folyamán mindvégig elfogadható 200 km-en az $R = 1,4 \pm 0,1$ és 250 km-en az $R = 1,6 \pm 0,1$ érték. Azonban a 300 km-nél nagyobb magasságokra csak azt állíthatjuk, hogy ott az amplitudó általában nagyobb, mint a CIRA-72 által adott érték.

Ha vizsgálatunkat nagyobb magasságokra is kiterjesztjük /4.12. ábra/, szembetűnő, hogy 600-1200 km között alig van információnk. Az is látható, hogy 1966-68-ban, amikor 500 km-en a megfigyelt értékek lényegesen nagyobbak, ugyanakkor 1100 km-en valamivel kisebbek, mint a CIRA-72 által adott amplitudók. Figyelembe véve, hogy a naptevékenységnek 1958-ban volt maximuma, 1964-ben pedig minimuma a 4.10. ábrának 1960-64-hez tartozó görbéi a feltételezett, \bar{F} -fel való arányosságnak nem mondanak ellen /a 600 km-ig terjedő tartományban/. Azonban az 1968-as amplitudók visszaesése 1967-hez képest már nem hozható kapcsolatba az időközben megnövekedett naptevékenységgel. Még inkább el kell vetni a naptevékenységgel való összefüggést, ha a 4.11. ábrán az 1100 km-hez tartozó amplitudók változását tekintjük: éppen 1964-ben találjuk a legnagyobb értékeket. Mindezeket összegezve megállapítható, hogy az észlelt amplitudóváltozások nincsenek korrelációban a naptevékenységgel. De a megfigyelések hosszabb távon nem igazolják King-Helenek azt a feltevését sem [140], hogy az effektus amplitudója mintegy 3 éves /33 hónapos/ periodicitással változik.

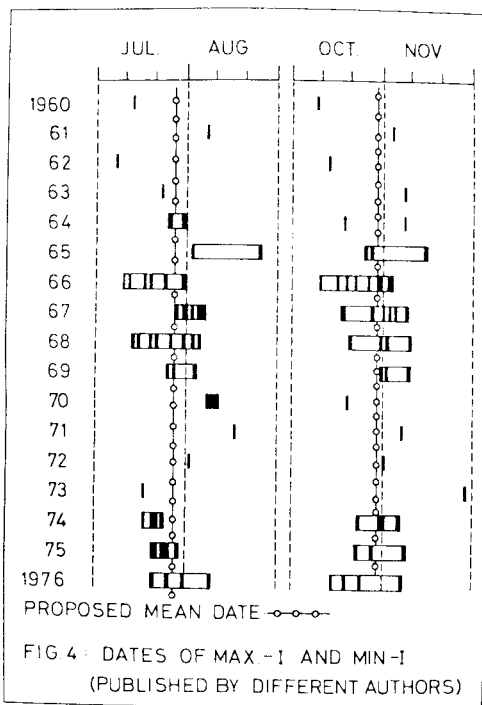
A publikált adatok szerint a féléves effektusnak nemcsak az amplitudója de a fázisa is változó: az extrémumok nem mindig ugyanarra a naptári napra esnek. Az egyik legjelentősebb munkában [116] a szerzők megállapítják, hogy az 1958-66 közötti időszakban volt olyan év, amikor az ún. januári minimum már december 17-én bekövetkezett, de volt olyan is, hogy február 7-re esett, vagyis a fázis 52 napos ingadozást mutatott. Hasonlóan, ugyanabban az időszakban, az áprilisi maximum ingadozása 45 nap volt, a júliusi minimumé 23 nap, az októberi maximumé pedig 30 nap. Nem jobb a kép akkor sem, ha más szerzők eredményeit tekintjük.

A dolog lényegére utal, hogy némely szerző ugyanannak a maximumnak vagy minimumnak az időpontjára 10-15 napos eltéréseket kap, különböző holdak fékeződési adataiból. Ez nyilván összefügg azzal a ténnyel, hogy az adatok időfelbontása hasonló nagyságrendű, így nem is várható ennél jobb eredmény.



4.12. ábra

A féléves effektus másodlagos extrémumainak időpontjai



4.13. ábra

A féléves effektus extrémumainak időpontjai

Szerettük volna megállapítani, hogy a féléves effektus extrémumainak időpontjai hogyan változnak az évek folyamán. Ezért készítettük el a 4.12. és 4.13. ábrákat, amelyeken az extrémumoknak különböző szerzők által publikált időpontjait mutatjuk be, évek szerinti bontásban, hogy az egy-egy extrémumra vonatkozó adatoknak milyen nagy a szórása /1964. előtt csak 1-1 adat állt rendelkezésre/. A publikált adatok alapján nehéz volna megadni azt a szabályt, amely szerint az időpontok évről-évre változnak. De, figyelembe véve a publikált időpontok nyilvánvalóan nagy bizonytalanságát, nem kell feltétlenül elfogadnunk azt az elterjedt felfogást, hogy a féléves effektus fázisa évről-évre változik. Ebben az esetben a publikált adatok alapján a négy extrémum átlagos időpontjaként elfogadhatók a következő dátumok:

- Min.-II : január 20 \pm 8
- Max.-II : március 31 \pm 8
- Min.- I : július 26 \pm 8
- Max.- I : október 28 \pm 8

Megjegyezzük, hogy az időpontok néhány napos ingadozása tékeződések adatokból a legtöbb esetben nem volna kimutatható, a kis időbeli felbontás és a jelentékeny alapzaj miatt. Ha azonban az extrémumok időpontjainak állandósága tényleg reális, akkor ez támpontot adhat olyan hipotézisnek, amely a féléves effektust kapcsolatba kívánja hozni a Föld keringésével. Azonban ekkor is számolni lehet bizonyos nehézségekkel. A megadott dátumok ui. nincsenek azonos fázisban a földpálya nevezetes pontjaihoz /napéjgyenlőségekhez és napfordulókhoz/ képest. Így tehát ez esetben a fellépő aszimmetriát is meg kellene magyarázni.

A féléves effektus formai elemzése után, most térjünk ismét vissza a modellezés kérdéséhez. Mint említettük, az első modellekben /1970-ig/ a féléves effektus, a többi effektushoz hasonlóan, mint hőmérsékletváltozás szerepel. A hatvanas években rendelkezésre álló, a 250-650 km-es tartományra vonatkozó adatok reprezentálására ez a felfogás meg is felelt. Nehézségek csak akkor támadtak, amikor Cook [39, 44] 1000 km feletti magasságokban elemezte a féléves effektust, még pedig gyenge naptevékenység, azaz alacsony exoszférikus hőmérséklet mellett. Ekkor ui. a modellek szerint, ebben a magasságban, egy adott hőmérsékletváltozásnak csak jelentéktelen sűrűségváltozás felel meg, mivel a hélium és a hidrogén koncentrációja ellenkező értelemben reagál, vagyis egymás hatását nagyrészt kompenzálják. Így pl. a CIRA-65 ill. a J-65 modell ilyen körülmények között az effektus sűrűségi amplitudójára $R = 1,1$ maximális értéket ad meg, ugyanakkor a megfigyelések $R = 2$ és $R = 3$ értékek közé estek. Ilyen nagy sűrűségváltozást a modell szerint csak egy valószínűtlenül nagy, 300-500 K-es hőmérsékletváltozás tudna létrehozni.

Kritikussá vált a helyzet, amikor /főleg King-Hele munkássága nyomán/ nyilvánvalóvá vált, hogy a 200 km alatti tartományban is nagyobb az effektus sűrűségi amplitudója, mint amit bármely modell pl. a J-65 megad. Jacchia feltételezte, hogy a 120 km-nél felvett, és állandónak feltételezett határfeltételeken múlik a dolog. Ezért a J-70 modellben a konstans határfeltételeket 90 km-nél vette fel, miáltal a paramétereknek 120 km-nél már volt bizonyos változási lehetősége. Azonban a modell még így is túl kis amplitudókat adott a kérdéses magasságokon, ezért Jacchia feladta addigi koncepcióját és a J-71-ben a féléves effektust már sűrűségváltozásként adta meg [122]:

$$\Delta \log \rho = f(z) \cdot g(t)$$

Ahol $g(t)$ írja le az egységnyi amplitudóju változás éves menetét, és $f(z)$ adja meg az amplitudó magasságfüggését. Ezt a megoldást találjuk Jacchia minden további modelljében, a függvények kisebb formai változásával. Így pl. a J-77-ben [128] szereplő függvények:

$$f(z) = [0,04 (z/200)^2 + 0,05] \exp (-0,0025 \cdot z)$$

és

$$g(t) = 0,0284 + 0,382 [1 + 0,467 \cdot \sin(2\pi t + 4,14) \cdot \sin(4\pi t + 4,26)]$$

ahol

$$\tau = \phi + 0,0954 \{ [0,5 + 0,5 \cdot \sin(2\pi\phi + 6,04)]^{1,65} - 0,5 \}$$

és

$$\phi = 0,00274 \cdot t \quad (t = \text{a nap sorszáma az év folyamán})$$

Ezzel a formalizmussal az említett problémák megoldódtak, hiszen pl. 1100 km magasságban a sűrűségi amplitudó akkora, mint 540 km-en / $R = 2,1$ / és a modell még 150 km-en is $R = 1,25$ amplitudót ad. Figyelemreméltó, hogy a modellben az extrémumok időpontjai nem mutatnak éves ingadozást, hasonlóan a mi fentebbi megállapításainkhoz.

A féléves effektus eredetét sokan próbálták kvalitatív hipotézisekkel megmagyarázni. Ezek egyikét sem fogadta el a tudományos közvélemény. Mégis említésre méltónak tartjuk Volland et al., valamint Marov és Alperov elképzeléseit. Volland társaival együtt részletesen elemezte a féléves effektust, feltételezve, hogy az 2 komponensből áll [222]. Analízisük szerint az egyéves komponens szinte független a magasságtól, amiből következik, hogy az effektus magasságfüggése teljes egészében a féléves komponensnek tulajdonítandó. Volland a féléves effektus magyarázatát erre alapozza [219, 220]. Feltételez egy hőforrást, amely szerinte a termoszféra legalján helyezkedik el: az abszorbeált szoláris fluxus az ózonrétegben olyan termikusan gerjesztett hullámokat idéz elő, amelyeknek energiája a termoszféra alsóbb rétegeiben disszipálódik. A földpálya excentricitása miatt változó szoláris fluxus ezen a mechanizmuson keresztül biztosítaná az éves komponenset. Ez a magyarázat azonban kvantitatíve nem fogadható el. Bár a Földet érő változó szoláris fluxust mások is megemlítik /Ching és Chiu [33] és Walker [227]/, nem szabad figyelmen kívül hagyni, hogy a januári és júliusi fluxus közti különbség csak 7%, ami a termoszféra alsó rétegeiben kb. ugyanekkora százalékos sűrűségváltozást okoz. Már pedig sokéves tapasztalat szerint a januári minimum idején a sűrűség általában 20-30%-kal magasabb, mint a júliusi minimumkor. A változó fluxus tehát az éves komponensnek csak egy /állandó/ összetevője lehet. Megemlítem, hogy francia kollégákkal közösen végzett elemzésünk szerint [14] az 1967-70 években a januári minimum sekélyebb volt a megszokottnál /és a J-71-ben adottnál/, és a júliusi minimum pedig mélyebb volt. Ez is megerősíti azta feltételezésünket, hogy az éves komponensnek van változó része is.

Az effektus féléves komponensének magyarázatára Volland feltételezi, hogy az alsóbb légkörből érkező árapályhullámok energiájának disszipációja és a Joule-fűtés együttesen biztosítja a szükséges energiát. Ugy véli, de nem bizonyítja, hogy ennek az energiatermelő folyamatnak féléves periodicitása van. A modell szerint a mechanizmus hatására létrejövő sűrűség-hullámok amplitudója egy ideig a magassággal növekszik.

Cook megállapítja [45], hogy ezzel a hipotézissel meg lehet ugyan magyarázni a 150 km feletti termoszférában megfigyelt jelenségeket, de ez a mechanizmus egyedül nem eredményezheti az exoszférában tapasztalt nagy amplitudókat. Szerinte utóbbiak akkor magyarázhatók meg, ha a fentiekén kívül feltételezzük, hogy a turbopauza magassága is változik féléves periódussal. Ezt arra alapítja, hogy Kockarts és Nicolet szerint a hélium rendkívül érzékenyen reagál a turbopauza magasságának változásaira. Ha pl. a turbopauza magassága 5 km-rel csökken, akkor ennek hatására az exoszférában a hélium koncentrációja a kétszeresére növekszik. Mivel ebben a tartományban a hélium a légkör domináns komponense, a jelenség megmagyarázhatja a tapasztalt nagy amplitudókat.

Sajnos sem ez, sem a többi hipotézis nem képes kvantitatív magyarázatot adni a féléves effektussal kapcsolatban tapasztalt minden egyes jelenségre. Pedig ma már nyilvánvaló, hogy elegendő, ha a hipotézis egyrészt olyan fizikai folyamatokat tud megjelölni, amelyek hatására kb. 90 km magasságban a határfeltételek a kívánt mértékben, féléves periodicitással változnak, másrészt olyan energiaátadással jár, amely a termoszférát egy tekintélyes magasságig felfűti. Az a tény, hogy a féléves effektus minden magasságban egyidejűleg jelentkezik, olyan /lehetőleg egyetlen/ mechanizmust igényel, amelynél mindegy, hogy a légkörben a molekuláris nitrogén, az atomi oxigén, vagy pedig a hélium a domináló komponens. Ezért tűnik előnyösnek minden olyan hipotézis, amely globális cirkulációra, 50-200 km közötti szélrendszerekre támaszkodik. Ugyanakkor természetesnek tűnik, ha feltételezzük, hogy az alsóbb légkörben lejátszódó makroszkópikus folyamatok hatással vannak a sokkal ritkább felsőlégkörre is, pl. légköri cirkuláció útján. Éppen ezért figyelemre méltó Marov és Alpherov [169] feltételezése, amely szerint a féléves effektus magyarázata a légkör alsóbb részeiben fellépő, évszakos, meridionális szélrendszerrel kapcsolatos /elképzelésüket Almár doktori disszertációjában részletesen ismerteti [7]/.

4.5. A geomágneses effektus

Almár Iván "A felsőlégköri geomágneses effektus összintenzitásának vizsgálata" című, a közelmúltban megvédett értekezésében a lehető legnagyobb részletességgel elemezte és foglalta össze az effektussal kapcsolatos tudnivalókat. Mivel megállapításai teljesen helytállóak, és azóta az effektussal kapcsolatban lényeges, újabb eredmények nem váltak ismertté, nem látjuk értelmét, hogy jelen értekezésben a geomágneses effektust átfogó részletességgel tárgyaljuk. Az alábbiakban tehát csak a teljesség kedvéért térünk ki az effektussal kapcsolatos jelenségek vázlatos ismertetésére. Ennek keretében mutatjuk be, hogy a 4.8. paragrafusban ismertetendő skálamagassági vizsgálatunk még a geomágneses effektus tanulmányozására is sikeresen használhatók.

Jacchia 1959-ben, a Szputnyik-3 fékeződési adatainak elemzése során vette észre, hogy a sűrűség két, hirtelen megnövekedése egybeesik egy-egy nagyobb geomágneses vihar kezdetével, és a kétfajta zavar időtartama is megegyezik. Azóta ezt a párhuzamot már minden kutató tapasztalhatta, és ez a jelenség kapta a geomágneses effektus elnevezést.

Nagyon hamar kiderült, hogy a geomágneses zavarok idején fellépő sűrűsénövekedés amplitudója a magasság függvénye. Az amplitudó, hasonlóan az EUV-fűtéssel kapcsolatos szoláris effektusoknál tapasztaltakhoz, valahol 500-800 km magasságban /erre vonatkozóan a kutatások nem adnak egyértelmű képet! / eléri maximumát, de még 1200 km magasságban is kimutatható marad. Ebből Jacchia arra következtetett, hogy a két effektus energiaforrásának hasonló magasságban kell lennie.

A geomágneses effektus vizsgálatát nehezíti, hogy erős naptevékenység esetén az F szoláris fluxus ingadozásait kísérő sűrűségváltozások ugyanakkorák, vagy nagyobbak, mint a geomágneses effektus következtében fellépők. Ezért ilyenkor csak a nagyobb viharokat kísérő sűrűségfluktuációk mutathatók ki, ill. azok, amelyek nem esnek valamely F-csucs közelébe. Naptevékenységi minimum idején viszont még kisebb mágneses zavarokat kísérő sűrűségfluktuációk is jól kimutathatók.

Az effektus intenzitásának vizsgálatánál a különböző magasságokhoz tartozó reakciók könnyebb összehasonlítására a sűrűségváltozásokat /valamely légköri modell segítségével/ gyakran hőmérsékletváltozásokká alakítják, és azokat elemzik. Eleinte úgy tűnt, hogy a felsőlégkörnek a geomágneses zavar idején tapasztalt felmelegedése az a_p geomágneses indexszel arányos, de terjedelmesebb vizsgálatok után a legtöbb szerző általában jobb eredményt kapott

a $\Delta T \sim K_p$ feltételezéssel, így 1966-ban Jacchia et al. [115] már a következő formulát javasolja:

$$\Delta T = 28^\circ \cdot K_p + 0,03 \cdot \exp(K_p).$$

A szerzők a formulát 55° -nál kisebb szélességekre tartják érvényesnek, mivel aurorális-poláris vidékeken általában lényegesen nagyobb hőmérséklet-növekedéseket tapasztaltak, de ennek modellezéséhez nem volt elegendő adatuk. Ilyen értelemben előrelépésnek számított Roemernek 1971-ben publikált formulája [236], amely már némi szélességfüggéssel számol az effektus kapcsán:

$$\Delta T = (21,4 \cdot \sin\phi + 17,9) \cdot \bar{K}_p + 0,03 \cdot \exp(\bar{K}_p)$$

ahol \bar{K}_p az index 0,4 napos átlagértékét jelenti.

A képlet alapján a sarkvidéken egy erős ($K_p = 8$) geomágneses vihar több, mint 400° felmelegedést okoz, de még az egyenlítőn is mintegy 230° -os hatás jelentkezik /tehát a hőmérsékletváltozások aránya kisebb 2-nél!/. Ez úgy is kifejezhető, hogy a fajlagos fűtés a sarkokon $\Delta T/\Delta K_p = 50$, de még az egyenlítőn is eléri a $\Delta T/\Delta K_p = 29$ értéket. Bár még ma sem kellően tisztázott a geomágneses effektus hatásmechanizmusa, már kezdetben is az volt az általános vélemény, hogy a Nap korpuszkuláris sugárzásával függ össze, mint a vele párhuzamosan lezajló geomágneses vihar. Ezért feltételezték, hogy a felsőlégkör egy, a pólusok környékén ható energiaátadási folyamat révén nyeri azt az energiát, amely a megfigyelt hőmérsékletnövekedéshez szükséges. Az is valószínűnek látszott, hogy ilymódon egy globális cirkulációnak is döntő szerepe lehet abban, hogy a geomágneses effektus még az egyenlítői vidékeken is kimutatható. Az ismeretlen hatásmechanizmus tisztázása szempontjából rendkívül fontosnak látszott annak vizsgálata, hogy a felsőlégköri jelenségek mekkora késéssel követik az indexekkel kifejezett geomágneses tevékenységet. Így érthető, hogy már 1964-ben megjelent az első olyan publikáció, amely az effektus késéséről számolt be. A fékeződési adatok gyenge időfelbontása azonban óvatosságra készítette a szerzőket, így sem a CIRA-65, sem a J-65 modell még nem foglalkozik a késés problematikájával. Később ők is, mások is, egyre terjedelmesebb anyagon és különböző módszerekkel igyekeztek meghatározni ezt az igen fontos adatot, így a szakirodalomban számos, nem-egybehangzó eredmény található. Vázlatos ismertetésében legcélszerűbbnek látszik az idevonatkozó fontosabb eredmények időrendben való feláorolása /a táblázat időadatai órában értendők!/:

1964. Jacchia, Slowey	[237]	5,2	óra
1966. Roemer	[195]	5,3	"
1967. Jacchia, Slowey, Verniani	[115]	6,7	"
1969. Lew	[238]	7,2-12	"
1969. Carru, Waldteufel	[29]	4,5	"
1969. Carter et al.	[240]	6	"
1969. Hays et al.	[241]	3	"
1970. Broglio	[239]	6-9	"
1972. De Vries	[242]	7,5	"
1972. CIRA-72	[35]	6,7	"
1973. Roemer	[236]	5,5	"
1973. Anderson	[243]	3	"
1975. Trinks et al.	[214]	4	"
1977. Nisbet	[183]	1-3	"
1977. Jacchia	[128]	2,4	"
1977. Thuillier	[212]	3	"

A felsorolásból kiderül, hogy néhány órás késésről van szó, de annak pontos értékét nem ismerjük. A táblázat adatait néhány megjegyzéssel szeretnénk kiegészíteni. Jacchia et al. 1967-ben már azt találta, hogy az effektus időbeli késése függ a szélességtől, az alábbi összefüggés szerint:

$$\Delta t = 0,308 - 0,00066|\varphi| \quad (\text{nap}).$$

Eszerint a sarkokon a késés 6 óra, és ez az egyenlítőn már 7,4 órára növekszik. Ez más szavakkal azt is jelenti, hogy a felsőlégköri effektus olyan transzportmechanizmussal van kapcsolatban, amely rövid idő alatt igen nagy távolságokat képes áthidalni.

Carru és Waldteufel eredményénél megjegyzendő, hogy az nem a sűrűségváltozásokra, hanem a légköri felmelegedésre vonatkozik. Broglio adatai közül a kisebbik a pólus környékére, a nagyobb az egyenlítő vidékére vonatkozik. De Vries adata az egyenlítőre vonatkozik, és gradiense igen tekintélyes: 0,1 óra/fok /szélesség/, így az aurorális vidéken a légköri jelenség késése a geomágneses viharhoz képest már csupán 1 óra körüli érték! A CIRA-72 adata is tartalmaz szélességi függést: 25°-nál a késés 7,2 óra, és ez 65°-nál már 5,8 órára csökken. Nisbet adatai közül is a nagyobbik az egyenlítői késést jelenti, a kisebbik a poláris vidékre vonatkozik. A J-77 modellbeli 2,4 óra a sarkvidékre

vonatkozik, az egyenlitői vidékekre 8 órát ad meg.

Látjuk tehát, hogy mintegy az adatok felénél az időbeli késés szélességfüggőnek mutatkozott, és ahol ezt ki tudták mutatni, mindenütt a sarki érték a kisebb, az egyenlitői érték pedig néhány órával nagyobb. Ez az alapvető megállapítás megerősíti a kezdeti felfogást a légköri geomágneses effektus keletkezésének helyére és terjedési irányára vonatkozóan. De a későbbi in situ mérések azt mutatják [183], hogy még a legjobbnak vélt modellekben is túl kicsi az időbeli késés szélességfüggése, és a felmelegedés mértéke az egyenlitői vidékeken. Nem kívánjuk végigkísérni a modellezés nehézségeit, de megemlítjük, hogy főleg Almár munkássága révén [7] az is ismertté vált, hogy a 60-as évek modelljei lényegesen alábecsülik a geomágneses effektus 200 km alatti amplitudóit. E jelenség alapján valószínűnek látszik, hogy geomágneses vihar idején a hőmérsékleti profil a járulékos fűtés hatására oly módon deformálódik, hogy az egységnyi hőmérsékletváltozásnak megfelelő sűrűségváltozás nagyobb a modellben adottnál. Ezért Jacchia a J-71-ben már ún. hibridformulát javasol, vagyis a ΔT hőmérsékletváltozás mellett egy járulékos sűrűségváltozást is feltételez, amivel kompenzálni akarja a geomágneses vihar folyamán fellépő hőmérsékleti profilváltozást. Sajnos, modellje még így sem képes minden geomágneses vihar reakcióját kielégítő módon leírni.

A geomágneses effektus számos kutatót foglalkoztatott már, és a jelenség oly komplexnek tűnik, hogy nem minden esetben vagyunk képesek megmagyarázni a megfigyelteket. Néha még a véletlen is szerephez jut, mint ahogy az kiderül Trinks et al. [214] az ESRO-4 segítségével végzett megfigyelései kapcsán. Egy geomágneses vihar esetében a megszokott aurorális zavarok mellett, azoktól teljesen elkülönült N_2 , O, Ar koncentrációváltozásokat figyeltek meg közepes szélességeken is. Felmerült a kérdés, hogy a zavarok előidézéséhez szükséges tekintélyes energia vajon a közepes szélességű vidékeken adódott-e le, vagy pedig valamely transzportmechanizmus szállította azt az aurorális vidékről a kis-közepes szélességű helyek fölé? A kérdés azért is lényeges, mert pillanatnyilag nem ismerünk olyan fizikai folyamatot, amely közepes szélességeken ilyen nagy mennyiségű energiát tudna átadni a légkörnek. Szerencsés véletlen folytán egy földi állomás /Brisbane/ ionoszféra-megfigyelései révén pontosan meg lehetett állapítani, hogy ott mikor kezdődött annak a viharnek légköri reakciója. Így kiderült, hogy az energia transzportnak az egyenlitő felé irányuló sebességkomponense 100 m/s nagyságrendű volt. Ez a sebesség az általában feltételezett transzportmechanizmusok

bármelyikénél /szelek, gravitációs hullámok, ciklonzavarok vándorlása/ normális értéknek számít.

Jó volna, ha kvantitatív magyarázatot tudnánk adni a felsőlégköri geomágneses effektus megfigyelt jelenségeire. Kézenfekvőnek tűnik, hogy a jelenségek energetikai magyarázatánál alapvető szerepe van a Nap korpuszkuláris sugárzásának, amely a geomágneses vihart is előidézi. Az is bizonyos, hogy a napszél olyan energiaforrás, amely a légkör felfűtéséhez szükségesnél jóval több energiát tartalmaz. Csupán azt nem tudjuk még ma sem, hogy pontosan milyen fizikai folyamatok révén alakulnak ki azok a jelenségek, amelyeknek összességét nevezzük geomágneses effektusnak.

Van azonban néhány olyan megállapítás, amit igazoltnak takinthatunk. Az utóbbi évek *in situ* mérései alapján például már bizonyosra vehető, hogy geomágneses viharok idején nemcsak a légkör hőmérséklete és sűrűsége emelkedik meg tekintélyes mértékben, hanem igen nagy amplitudójú, makroszkópikus anyagáramlások is történnek. Számos szerző megegyezik abban [65, 173, 187], hogy a legtöbb geomágneses viharnál az aurorális zónában növekszik a N_2 és az O_2 koncentrációja, de a héliumé és az atomi oxigéné csökken. Ugyanakkor kisebb szélességeknél minden komponens koncentrációja lényegesen kisebb amplitudóval ugyan, de bizonyos mértékig növekszik. Az is egybehangzó tapasztalat, hogy a hőmérsékletnövekedés a poláris vidékeken a legnagyobb, és az egyenlítő felé csökken. Sajnos a melegedés mértéke már igen eltérő adatokat mutat: 200 K^0 -tól több, mint 1000 K^0 -ig.

Mindezek a jelenségek azt sugallják, hogy az effektussal kapcsolatos energialeadás egy meglehetősen körülhatárolt sarki sávban történik, és valamilyen /egy vagy több/ mechanizmus révén adódik át a kisebb szélességű helyekre, de feltétlenül nagy sebességgel. Különböző szerzők szerint a számításba jövő mechanizmusok közül nem hagyható ki a Joule-fűtés, amely Cole szerint [36] a jelenségek nagy részénél játszhat szerepet. Hines [69] és Klostermeyer [155] feltételezi, hogy gravitációs hullámok disszipációja az aurorális zónában egy jelentékeny energiaforrás. Prölls és V. Zahn [190] az ESRO-4 méréseinek elemzésénél talált is ezer km nagyságrendű hullámokat egyes geomágneses viharok idején. Volland [219, 220] szerint a magnetohidrodinamikai hullámok szerepe sem elhanyagolható. A legtöbb szerző azonban valamelyik fenti mechanizmus mellett döntő szerepet juttat az aurorális zónából felfelé és meridionálisan az egyenlítő felé irányuló szeleknek. A megfigyelt koncentrációváltozások km/s nagyságrendű, vagy ennél kisebb szélességekkel megmagyarázhatók.

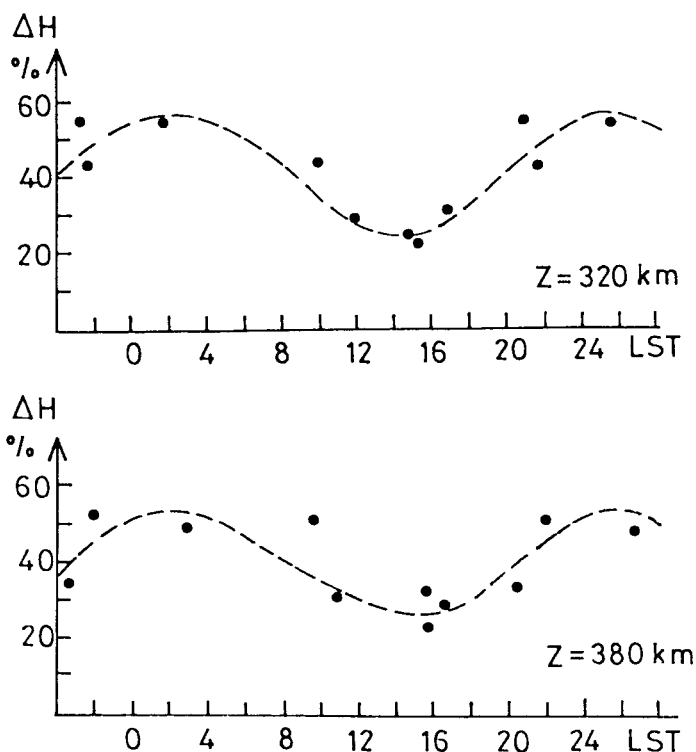
Amint láttuk, számos hipotetikus lehetőség közül kellene választani, ha a geomágneses effektust meg akarnánk magyarázni. Meg kell azonban mondanunk, hogy ma még nem ismerünk olyan egységes elméletet, amely a meglehetősen komplex jelenségcsoport valamennyi vonását kvantitatíve meg tudná magyarázni.

Bár a geomágneses effektussal kapcsolatban feltételezett bármelyik transzportmechanizmus elvileg lehetővé tenné, hogy a jelenség az egyenlítőn is kimutatható legyen, a szerzők tekintélyes része /főleg fékeződéses adatok alapján/ úgy véli, hogy az egyenlítői vidékeken a geomágneses effektus hatására bekövetkező hőmérsékletemelkedés már elhanyagolhatóan kicsi. Erre eklatáns példa a szakterület első számú tekintélye, Jacchia, aki még legutóbbi, J-77 modelljében is a geomágneses effektussal kapcsolatos felmelegedést $\sin^m \varphi$ -vel tartja arányosnak /ahol $m = 3$ vagy $m = 4$ értéket javasolja/, vagyis szerinte az egyenlítőn nincs is felmelegedés, de a környékén is csak igen csekély.

Az alábbiakban e kérdéssel kapcsolatos saját eredményünket kívánjuk bemutatni. A 4.8. paragrafusban részletezendő skálamagassági vizsgálataink melléktermékeként ugyanis sikerült kimutatnunk, hogy nagyobb geomágneses viharok az egyenlítőhöz közeli vidékeken is nagy hőmérsékletváltozásokkal járnak együtt.

Kiválasztottunk 1975-76 folyamán történt 8 nagyobb geomágneses vihart, és megvizsgáltuk, hogy azok a sűrűségi skálamagasság változásaiban kimutathatók-e. Vizsgálatainkat szimultán végeztük 300, 320, 340, 360 és 380 km magassághoz tartozó adatokon. A mintavétel a viharok idején a 18° - 29° szélességi intervallumban, tehát kimondottan kis szélességeken történt. Amplitudónak a tiszta csuszóközepeléssel kapott simított görbéhez képest mért maximális értékeket tekintettük. Csak azokat az amplitudókat fogadtuk el, amelyek a vizsgált 5 magassági tartomány közül legalább 4-ben az alapzajnál ~ 5 km, ami kb. 10%-nak felel meg/ lényegesen nagyobbak voltak. E feltételnek mind a 8 vihar esetében kapott amplitudók eleget tettek. Első eredményeink szerint minden erősebb geomágneses vihar ($K_p \geq 5$) az egyenlítői vidékeken a skálamagasság ugrásszerű megnövekedését eredményezi, és ezek a fenti értelemben vett amplitudók a középgörbén felvett értékeknél 25-60%-kal nagyobbak.

Tüzetesen megvizsgáltuk azt is, hogy kisebb viharok esetén mekkora amplitudó lép fel. Összegező megállapításunk az, hogy ha kisebb viharoknál ($K_p \leq 4$)



4.12. ábra

Skálamagasság változása geomágneses vihar idején

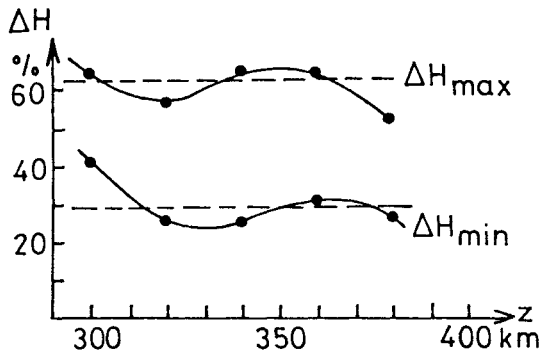
het mondani, hogy a geomágneses vihar idején a légkör reagálása maximális hajnali 2 óra felé, és minimális 15-16 óra helyi idő táján.

Ez az eredményünk teljes összhangban van Roemernek 1970-ben publikált megállapításaival [197]. Szerinte ui. 6 hold anyagának finomított módszerekkel történt elemzéséből az következik, hogy a fajlagos fűtés függ a helyi időtől: a 20-8 óra közötti, vagyis éjszakai $\Delta T/\Delta K_p$ értékek mintegy 30%-kal magasabbak a nappaliaknál. Más szerzők ezt a jelenséget nem tudták kimutatni, és ez modellekben nem is szerepel. Ennek ellenére meg kell állapítanunk, hogy saját, most ismertetett eredményeink pontosan ugyanezt igazolják, hiszen /mint később bemutatjuk/ a skálamagasság változásai az adott körülmények között elsősorban /és legalább 85%-ban/ hőmérsékleti változásokat tükröznek.

A 4.12. ábra vett szélsőértékek némi magasságfüggést mutatnak, de az nem feltétlenül reális /4.13. -bra/. Inkább azt lehetne mondani, hogy a vizsgált magassági tartományban a sűrűségi skálamagasság a geomágneses viharra nappal átlagosan 25-30 %-os, éjjel átlagban 50-60 %-os, ugrásszerű növekedéssel reagál.

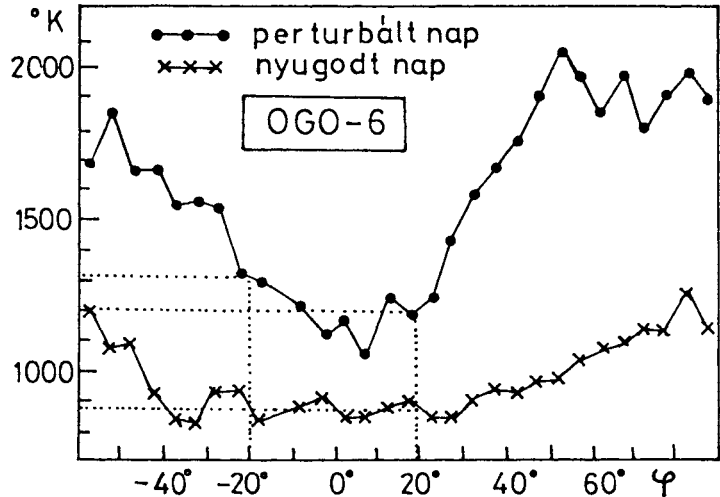
van is reakció az egyenlítői vidékeken, annak amplitudója legfeljebb olyan nagyságrendű, mint az alapzaj.

A nagyobb viharoknál kapott amplitudók meglehetősen nagy szórása /azonos K_p mellett is/ arra készítetett, hogy azokat tovább vizsgáljuk. Magfelelő adatsoportositás után egyértelműen kiderült, hogy az éjszakai amplitudók nagyobbak mint a nappaliak: éjjel a skálamagasság változása átlagosan kb. 50%-ot tesz ki, nappal ennek csak a fele. Ugy tűnik, hogy az adatokon keresztül egy szinuszhoz hasonló görbe fektethető /4.12. ábra/. Amennyiben a görbét reálisnak tekintjük, azt le-



4.13. ábra

A H szélsőértékei a magasság függvényében



4.14. ábra

A hőmérséklet változása a földrajzi szélesség függvényében

Kiséreljük meg egy nappali, pl. 35-40%-os skálamagasság-növekedés interpretálását! Ehhez a J-77 modell adataiból indulunk ki, mivel annak koncentrációit Jacchia in situ mérések figyelembevételével javította /az előzőkhöz képest/.

A fentebb analizált skálamagassági értékeket akcelerométeres sűrűségadatokból számítottuk [103, 104] Az átfogott indőintervallumban az exoszférikus hőmérséklet általában 750-850 K^o között változott /gyenge naptevékenység mellett, ezért megfontolásainkban a T = 800 K^o nyugalmi hőmérsékletet vesszük alapul. Ehhez z = 350 km magasságban a J-77 szerint a következő értékek tartoznak: a sűrűség $3,38 \cdot 10^{-12} \text{kg} \cdot \text{m}^{-3}$, a skálamagasság H = 44,2 km, és a közepes molekulasúly $\bar{M} = 16,10$. Így a feltételezett növekedés mellett kerekén H = 60 értéket kell kapnunk. Ez azonban a J-77 szerint ebben a magasságban csak T = 1250 K^o, azaz $\Delta T = 450 \text{ K}^o$ hőmérsékletnövekedés mellett következne be! Megjegyezzük, hogy közönséges melegítés, pl. EUV-fűtés mellett a skálamagasság azért nő ilyen lassan, mert fix magasság esetén a hőmérséklet növekedését a velejáró molekulasúly-növekedés részben kompenzálja /a melegítés hatására ui. a légkör tágul, és így alulról nagyobb molekulasúlyú levegő kerül a kiszemelt magasságra/.

Tekintve, hogy adataink egyenlitői vidékekre vonatkoznak, a $\Delta T = 450 \text{ K}^o$ túlzottnak tűnik. A szakirodalomban igen kevés idevágó mérési adatot lehet találni, de Roemer [236] holdak fékeződéséből levezetett fajlagos fűtési értékei az egyenlitői zónában elérik a 40-45 értéket, ami erős geomágneses vihar esetén egyenértékű 300-350 K^o felmelegedéssel. Hasonló értékek adtak az

OGO-6 méréseiből, a 630 nm-es airglow-spektrumból levezetett hőmérséklet-változások is. A 4.14. ábrán a nyugodt, ill. az erősen zavart napokhoz tartozó görbék menetéből 20° szélességnél 300 K , ill. 400 K hőmérséklet-növekedés adódott. Az adatok elemzése alapján Nisbet [183] fajlagos fűtési értékeket is levezetett, és ezek a mi esetünkben elérik a 45 értéket. Mindezek alapján további elemzésünkénél a $\Delta T = 350\text{ K}$ felmelegedést, mint reális értéket fogadjuk el. Ez azonban a J-77 szerint a skálamagasságot csak $H = 57\text{ km}$ -re, a sűrűséget pedig $\rho = 1,23 \cdot 10^{-11}$ értékre emeli. Így a sűrűség a nyugalmi értéknek csupán 3,6-szeresére növekedett, noha az eredeti akcelerométeres mérések szerint ezeknél a viharoknál a sűrűség 350 km magasságban általában legalább a 4-szeresére növekedett.

Amint látjuk, egyszerű "felfűtéssel" nem magyarázhatók a megfigyelt értékek. Megoldódik a probléma akkor, ha feltételezzük, hogy meridionális szelek révén az atomi oxigén koncentrációja kissé megnövekszik /az oxigén ebben a magasságban már dominál, tehát egy cirkuláció bizonyosan érintené/. A szakirodalom adatai szerint [173, 187, 214] racionálisnak, de semmiképpen nem eltulzottnak tűnik egy csekély, 20%-os koncentráció-növekedés. Ez azonban azt eredményezi a J-77 szerint, hogy a sűrűség $1,41 \cdot 10^{-11}$ -re azaz a nyugalmi érték 4,2-szeresére növekszik, vele együtt a molekulaszúly $M = 17,41$ -ről $M = 17,22$ -re csökken, és ennek eredményeként a skálamagasság $59,9\text{ km}$ -re növekszik, vagyis pontosan a várt értékre.

Mindezeket tehát úgy foglalhatjuk össze, hogy erős geomágneses vihar esetén még az egyenlítői zónában is tapasztalható a sűrűségi skálamagasság ugrásszerű megnövekedése. E növekedés átlagos értéke egy mintegy 350 K -es hőmérséklet-növekedés és egy 20%-os oxigén koncentráció-növekedés együttes hatásaként kvantitativ is értelmezhető. Eredményeink szépen bizonyítják, hogy a skálamagasság tanulmányozása igen előnyös lehet olyan részletkérdések elemzésénél, amelyek egyedül sűrűségadatokkal nem volnának elvégezhetőek.

4.6. Egyéb felsőlégköri effektusok

Az eddigiekben tárgyalt effektusok többé-kevésbé jól modellezhetőnek mutatkoztak, de összességükben sem elegendőek a megfigyelt változások leírására. Ha ui. a megfigyelt sűrűségértékekből az ismert effektusoknak megfelelő sűrűségértékeket levonjuk, nem maradhatnának sűrűségváltozások az idő függvényében ábrázolt görbéken. Már pedig már a hatvanas években azt tapasztalták, hogy az év folyamán kisebb-nagyobb amplitudóval jelentkeznek olyan légköri változások, amelyeket a modellek nem foglalnak magukban. Ezek a járulékos effektusok többnyire nemcsak az évszaktól, de a földrajzi szélességtől is függnak, ily módon a felsőlégkörnek aszimmetrikus vonásokat kölcsönöznek.

A 4.3. §-ban tárgyalt napszakos effektusnál már említettük, hogy a maximális hőmérsékletü /sűrűségü/ pont földrajzi szélessége az év folyamán változik. Ideális esetben ez a pont a tavaszi napéj-egyenlőség idején éppen az egyenlítőn helyezkedik el, majd lassan észak felé vándorol, s a nyári napforduló után ismét dél felé tolódik el, stb. Ennek hatására egy adott földrajzi szélességű hely fölött az exoszférikus hőmérséklet /és vele a sűrűség is/ konstans helyi idő mellett is változik az év folyamán. Ez egyúttal azt is jelenti, hogy - elsősorban a skálamagasság változása révén - egy adott magasságban a légkör kémiai összetétele is megváltozik. Ezeket az említett változásokat a 70-es évek modelljei, pl. a J-77, a napszakos effektus éves komponenseként tartalmazzák. Azonban, ha ezt az évszakos-szélességi effektust, a többi ismert effektussal egyetemben levonjuk az észlelt sűrűségértékekből, esetenként még tekintélyes sűrűségváltozások jelentkeznek. Ezt a jelenséget elsősorban a héliummal kapcsolatban észlelték, amikor megállapították, hogy a téli pólus felett a hélium sűrűsége a modellben adottnak többszöröse.

Azóta sokan vizsgáltak már évszakos-szélességi jelenségeket a felsőlégkörben, de a kapott eredmények eléggé heterogének. Ennek egyik oka, hogy a valóságos szélességi-évszakos változások nehezen választhatók le a napszakos effektusról. Láttuk azonban, hogy még a napszakos effektus modellezése sem tekinthető tökéletesnek, így ennek hibái kihatnak az évszakos-szélességi effektusok vizsgálatára. Az is nehezíti a munkát, hogy csak poláris pályán és hosszabb ideig keringő holdak anyaga használható eredményesen. A továbbiakban nem vállalkozunk arra, hogy az összes idevágó kutatásról beszámoljunk, inkább néhány jellegzetes problémát és eredményt ismertetünk, közben bemutatva saját munkásságunkat e kérdéssel kapcsolatban.

Már 1967-ben számolt be Jacchia, Keating és Prior arról, hogy az Explorer 19 és 24 holdak fékeződéséből levezetett sűrűségértékek a nagyobb szélességeken igen nagy eltérést mutatnak a J-65 modellhez képest. A jelenség elemzéséből az derült ki, hogy itt a hélium koncentrációjának egy nagy amplitudóju, évszakos változásáról van szó. A holdak perigeuma ui. a vizsgált időszakban 550-650 km között volt, és naptevékenységi minimum táján ebben a tartományban a hélium erősen domináló komponens. A számszerű eredmények végülis azt mutatták, hogy a téli pólus felett a hélium sűrűsége ötször akkora volt, mint a modellbeli érték! A később évek anyagának elemzése azt is mutatta, hogy a naptevékenység csökkenésével ez a maximális amplitudó csökken, de még mindig legalább háromszorosa a modellbeli értéknek.

Keating az első mérések interpretálása után a héliumtöbblet leírására $\Delta \log n(\text{He}) = -0,4 \cdot \phi \cdot \delta_0$ formulát javasolta, amely a téli és a nyári pólusok feletti héliumkoncentráció arányára 3,3-at adott. Jacchia a CIRA-72-ben szintén ad egy formulát, amely kb. 4,5-szeres arányt ad. Mindkét formula az addig rendelkezésre álló észlelések durva közelítésének tekinthető, amely nem veszi figyelembe, hogy az említett amplitudók évről évre változnak.

Nem szabad azt hinni, hogy a héliumnak ez az évszakos-aszimmetrikus viselkedése csupán a fékeződéses adatokban jelentkezett. A Minnesota-i egyetem rakétáin elhelyezett spektrométerek mérései is azt mutatták, hogy 1966. telén a hélium koncentrációja 2-3-szor akkora volt a poláris vidékeken, mint a modellbeli értékek. Ezek a rakétás mérések azt is mutatták, hogy nyáron a héliumkoncentráció kisebb a modellben adottnál. Más rakétás mérések /Fort Churchill/ 1966. telén ötszörös értékeket mértek. Ugyanakkor az Explorer 32 spektrométeres mérései szerint 1966. májusában a hélium koncentrációja az egyenlítőn négyszer akkora volt, mint 60° szélességnél.

Az ESRO-4 hold fedélzetén elhelyezett gázanalizátor adatainak felhasználásával Jacchia et al. [127] vizsgálta az Ar, N₂, O és He koncentrációk évszakos szélességi változásait 280 km magasságban. Az észlelt koncentrációkból /a J-77 alapján/ levonták az összes ismert effektust és a kapott maradványértékekkel egyenlítette ki a

$$\log n_i = c_i + A_i \frac{\delta_0}{\epsilon} \sin \phi = c_i + A_i \cdot s$$

alakú egyenletet, külön-külön mind a négy komponensre. Itt δ_0 a Nap deklinációját, ϵ az ekliptikai hajlásszögét, és ϕ a földrajzi szélességet jelenti.

Bár az Ar és N₂ esetében kapott A_i amplitudók jelentéktelenek, a He és O esetében az amplitudó tekintélyes maximumot eredményez a téli pólus felett.

Ezek után Jacchia 7 hold 27236 fékeződési adatának elemzéséből is levezette a He és az O éves változásának amplitudóját, majd a kétféle módon kapott eredményeket összegezve arra a megállapításra jutott, hogy az A amplitudó monoton függvénye a légköri komponens \underline{m} molekulasúlyának, és a kettő közötti kapcsolat az

$$A_i = 0,07 - 1,18 \exp(-0,1 \cdot m_i)$$

formulával fejezhető ki. Eszerint az amplitudó a kis molekulasúlyu héliumnál jelentkező nagy negatív értékből kiindulva igen gyorsan csökken. Az O esetében még számottevő, de a 28-as molekulasúlyu N₂-nél már gyakorlatilag nincs amplitudó és a görbe csaknem az m_i tengellyel párhuzamosan halad tovább.

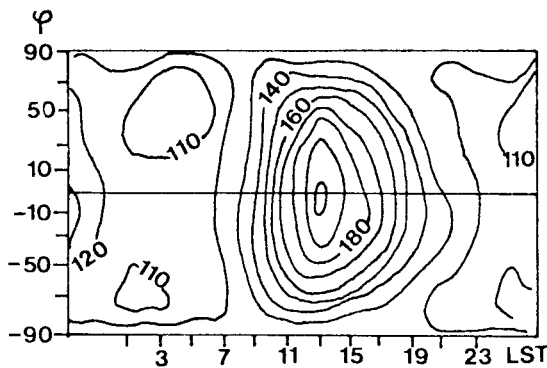
Az így kapott amplitudók azt jelentik, hogy a maximális téli és minimális nyári koncentrációk aránya elérheti az 1:38 értéket hélium esetében, és még oxigénnél is eléri az 1:2 arányt. N₂ és Ar esetében az amplitudó jelentéktelen. Érdekes módon Köhnlein et al. [244], szintén az ESRO-4 adatainak elemzéséből, nem azonos eredményeket vezettek le. Bár a héliumnál szerintünk is 1:40 arány adódik, N₂-nél 5:1, és Ar-nál is kb. 8:1 arányt kaptak.

Már az eddigiekből is látható, hogy sok nehézség adódik az eredmények interpretálásánál, főleg, ha a szporadikus eredményeket is figyelembe vesszük. Azt azonban mindenképpen el kell fogadnunk, hogy vannak a felsőlégkörben is évszakos jelenségek, amelyek a modellekben feltételezettnél sokkal nagyobb aszimmetriákat eredményeznek. A továbbiakban ilyen aszimmetriára utaló tényeket fogunk tárgyalni.

Berger és Barlier [21] akcelerométeres sűrűségi adatok részletes statisztikai elemzése során azt találta, hogy geomágneses viharok esetében bekövetkező sűrűségnövekedés ($\Delta \log \rho / \Delta K_p$) nem mindig és mindenütt azonos. Legnagyobb a sűrűségnövekedés az északi féltekén, a téli időszakban, és éjjel. Itt tehát olyan aszimmetriáról van szó, amelynek van szezonális és napszakos komponense is. A jelenség interpretálása messze vezet. Ha ui. abból az általánosan elfogadott feltételezésből indulunk ki, hogy geomágneses viharoknál a globális cirkuláció domináns szerepet játszik, akkor fenti aszimmetria azt jelenti, hogy éjszakai transzekvatoriális szelek fújnak az északi félteke felé. Megjegyezzük, hogy ilyen szelek létezését saját szélszámításaink alapján kimutattuk 1975-ben [98] /erre a kérdésre a 4.7. §-ban visszatérünk/.

Fenti következtetés azonban azt is jelenti, hogy a déli féltekén a felsőlégkör több energiát vesz fel, mint az északon. Ettől teljesen függetlenül ugyanerre a következtetésre jutott Mayr és Trinks is [247], amikor az ESRO-4 bizonyos mérési eredményeit kellett értelmezniük.

Saját vizsgálataink révén több oldalról is sikerült az észak-déli aszimmetria létezését kimutatnunk. Az első bizonyítékot már korábban említett elemzésünk szolgáltatotta [14], amikor 79 hold 12.000 sűrűségadatának felhasználásával állapítottuk meg a sűrűség globális eloszlását, pl. ekvinokciumkor. Ekkor a főbb



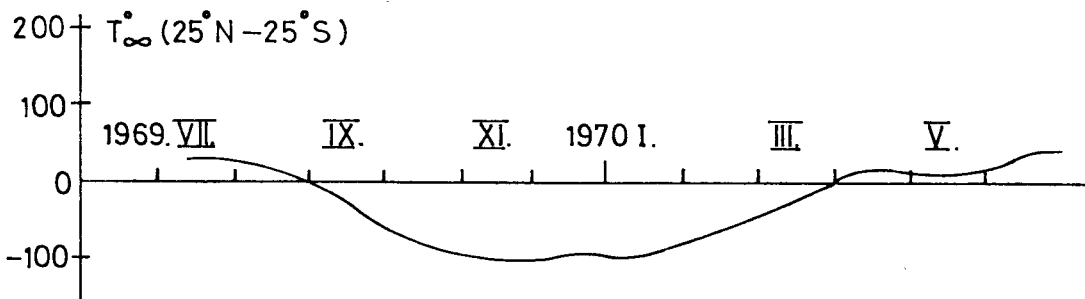
4.16. ábra

Globális sűrűségeloszlás ekvinokciumkor

modellek /J-71, CIRA-72/ szerint ui. a globális sűrűségeloszlásnak az egyenlítőre vonatkozóan szimmetrikusnak kell lennie, vagyis a maximális és minimális sűrűségű pontoknak pontosan az egyenlítő felett kell lenniük. Ezzel szemben méréseink szerint a maximális sűrűségű pont szignifikánsan déli szélességek felett, kb. -10° -nál helyezkedett el. Részletes elemzés szerint is az adódott, hogy a déli félteke egy kiválasztott szélességén a sűrűség nagyobb, mint az azonos északi szélességen. Diffuz egyensúlyi állapot feltételezése mellett ez

azt is jelenti, hogy a déli félteke napéj-egyenlőség idején melegebb, mint az északi. A pólusokon mért /modellhez képesti/ sűrűségeltérések is aszimmetriát mutatnak: a téli O-C értékek mindkét póluson ugyanakkorák, de a nyári O-C értékek négyszer akkorák az északi póluson, mint a délin [14]!

A sűrűségeloszlás elemzése tehát azt mutatja, hogy a déli féltekének melegebbnek kell lennie, mint az északon. Ez azonban közvetlenül hőmérsékleti adatokból is kimutatható, pl. az OGO-6 interferométeres méréseiből Blamont és Luton által levezetett exoszférikus hőmérsékletek elemzéséből [22]. Ha ui.



4.17. ábra

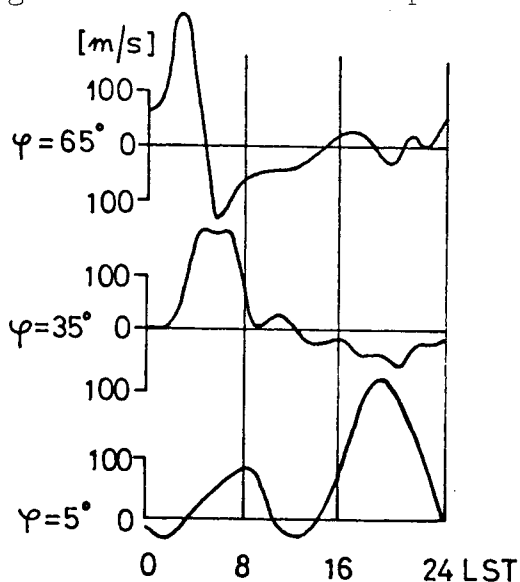
Termikus aszimmetria 1969-1970. folyamán

képezzük az év folyamán a 25°N és 25°S szélességekhez tartozó hőmérsékletek különbségét, akkor ezekben az adatokban már nem tükröződnek olyan globális jelenségek, mint a szoláris fluxus és a geomágneses effektus termikus hatásai. Nyilvánvaló, hogy amennyiben a felsőlégkörben is létezik egy évszakai effektus, akkor a hőmérsékletkülönbségek az év folyamán egy szinuszhoz hasonló görbét adnak, és ha a két félteke termikus egyensúlyban van, akkor a görbe tengelye éppen 0°C magasságában helyezkedik el. A 4.17. ábrán látható görbe tengelyének eltolódása világosan mutatja a termikus aszimmetriát: az évszakai hőmérsékletingadozás amplitudója a déli félteke javára tolódott el. Így tehát a hőmérsékleti adatokkal éves szinten sikerült kimutatni, hogy a déli félteke melegebb az északinál, amit a sűrűségeloszlásból csak speciális esetben /ekvinokciumkor/ tudunk bebizonyítani.

Itt visszatérünk Keating et al. korábban említett eredményeire. Ők ui. nemcsak kimutatták a helium-bulge létezését, de a későbbiekben 4 ballonhold adatait összesítve tk. erős aszimmetriát mutattak ki a héliumeloszlásban. Megállapították, hogy míg a déli tél folyamán a hélium koncentrációja kb. ugyanolyan mértékben változik, mint az északi tél folyamán, addig a déli féltekén sokkal nagyobb az évszakai változás, és ennek következtében a déli féltekén nyáron sokkal kisebbek a koncentrációk, mint az északi félteke nyarán [132].

Hasonló eredményt adott francia kutatók vizsgálata is [20], amely szerint az atomi oxigén eloszlása 200 km magasságban nincs egyensúlyban a két féltekén. A déli féltekén mért oxigénkoncentrációk általában nagyobbak, de nem kisebbek, mint az északi féltekén mértek.

A felsőlégkörben előforduló aszimmetrikus jelenségek között megemlítjük a 4.7.8-ban részletezendő szélszámításaink idevonatkozó részét [98]. A számításokban kapott szélmező határozott észak-déli aszimmetriát mutat 300 km magasságban. Ennek elemzésére képeztük az azonos északi és déli szélességeken



kapott szélességek különbségét ekvinokciumkor. Kiderült, hogy a mutatkozó erős aszimmetriát főleg a meridionális komponens okozza.

4.18. ábra

A meridionális szélkomponens aszimmetriája

A 4.18. ábrán 3 különböző szélességen mutatjuk be az aszimmetriát, még pedig a helyi idő függvényében, mivel az aszimmetria a nap folyamán változó jelleget mutat (v_N = észak felé, v_S = dél felé fújó szél). Mindezek az eredmények arra készítettek bennünket, hogy megkíséreljük az észak-déli aszimmetria létezésének kimutatását, közvetlenül a sűrűségadatokkal is. Ezt elvileg úgy lehetne elérni, ha azonos évszakhoz tartozó, azonos magasságból, és a két félteke azonos szélességéről származó adatokat hasonlítanánk össze. Érthető, hogy ilyen speciális feltételeknek eleget tevő pályákon keringő holdpárok szinte nem is léteznek, megfelelő adatok tehát nem álltak rendelkezésünkre. Éppen ezért módosítottuk célkitűzésünket: egy viszonylag szimmetrikus modellhez képest fellépő aszimmetriákat kerestünk. Választásunk a J-71 modellre esett, és elemzéseinknél a Smithsonian Astrophysical Observatory által publikált, fotografikus észlelésekből levezetett sűrűségértékeket használtuk /saját észlelési anyag használata esetén ki lettünk volna téve annak a feltételezésnek, hogy egy esetleges effektus az észlelések helytelen redukálásának a következménye/.

Módszerünk abban állt, hogy az egyik féltekéről származó sűrűségértékeknek a modelltől való eltéréseit, a másik félteke azonos évszakából származó sűrűségeinek modelltől való eltéréseivel hasonlítottuk össze. Így tehát a két féltekéről származó adatok epochája között mindig féléves eltérés volt. A kapott O-C értékek abszolút értékét természetesen csak a nagyságrend erejéig szabadott komolyan venni, de a relatív változások tanulmányozására a módszer megfelelő volt. Több ezer adat szisztematikus elemzése azt mutatta [101], [102], hogy a modelltől való O-C eltérések egyrészt erősen függenek a szélességtől, másrészt erős észak-déli aszimmetriáról tanuskoznak. Mínt hogy a szakirodalomban gyakran vitatott kérdés, hogy 200 km feletti magasságokban van-e évszakos-szélességi effektus, érdemes megjegyezni, hogy megállapításaink a 300-1200 km közötti teljes tartományra, és mind a négy évszakra vonatkoznak. Elemzésünk azt is kimutatta, hogy az aszimmetria mértéke nem minden évben ugyanakkora, és az év folyamán is változik. Ez egyuttal nagyon megnehezíti az effektus majdani modellezését is.

E paragrafus lezárása előtt még ki kell térnünk két olyan jelenségre, amelyet nem kívánunk részletezni. Az egyik a termoszféra alsó határánál fellépő változások, amelyek a hőmérsékletet, sűrűséget és a koncentrációt egyaránt, de nem egyenlő mértékben értik. E változásokról már régóta tudunk, de az erre vonatkozó adatok érthető okoknál fogva csak nagyon szporadikusak. Szakmai körökben nyilvánvalónak tűnik, hogy itt a mezoszféra és a termoszféra közötti csatolásról van szó, és ezért csak az a modellezés lehet sikeres, amely a mezoszférát és a termoszférát együttesen tárgyalja.

Az ezzel kapcsolatos számos nehézség miatt azonban ma még ilyen modell nem létezik. Az említett változásokat a legtöbb modell csak durva közelítésben írja le. Különösebb probléma azért nem adódik ebből, mivel a változások amplitudója 100 km felett rohamosan csökken, és a 150 km feletti magasságokban már nyoma sincs /ma legalábbis ezt hisszük!/.

A másik kérdés a hidrogén koncentrációja a légkörben. Mivel biztosan nincs diffúz egyensúlyi állapotban, rá mindazok a megfontolások, amelyeket a többi komponensre alkalmaztunk, nem érvényesek. Szerencsére, szerepe csak jóval 1000 km feletti magasságokban válik jelentőssé, tehát a klasszikus műhold-tartományál magasabban. Bár történtek kísérletek a hidrogénkoncentráció experimentális modellezésére, mégis általában a Kockarts-Nicolet elméleti modell alapján levezetett hidrogénkoncentrációkat használják, vagy azoknak az éppen felmerült szempontok szerinti módosított értékeit. Értekezésünkben ezt a kérdést azért sem kívánjuk részletezni, mert saját munkáságunk nem terjedt ki e területre.

4.7. Felsőléggöri szelek

Ma már bizonyított tény, hogy a felsőléggörben is léteznek szelek, sőt, ezek a földfelszíni szelekhez képest jóval nagyobb sebességűek, és ahogy a geomágneses effektus tárgyalásánál is láttuk, esetenként lényeges szerepet is játszanak a felsőléggör szerkezetében. Azonban ezekhez a felismerésekhez még csak a legutóbbi néhány évtizedben jutottunk el. Így pl. a II. világháború után rendszeresen végzett rakétás mérésekből vált először nyilvánvalóvá, hogy a mezoszférában, még 80-90 km magasságban is, nagy sebességű szelek lépnek fel. Ez a tény azt sugallta, hogy nagyobb magasságokban is, a termoszférában, ahol a légnyomás szintén erős ingadozásokat mutat, valószínűleg ugyanugy megtalálhatók a magaslégköri szelek, mint a mezoszférában. Később, rakétákkal, 220 km magasságban tényleg ki lehetett mutatni változó irányú, 100 m/s nagyságrendű sebességű szeleket. Ugyanakkor sarki fényjelenségek tanulmányozása és ionoszférikus módszerekkel elért eredmények [8, 134] szintén erős, több száz m/s sebességű szelek jelenlétére utaltak.

A felsőléggöri szelekkel kapcsolatos elméleti megfontolások, éppen hiányos légköri ismereteink miatt, egymással egybevetve sokszor ellentmondásokhoz vezettek. Azonban már kezdettől fogva elfogadott volt az a nézet, hogy 200-500 km magasságban a szeleket fenntartó erő a légköri nyomás gradienséből származik,

amit a kb. 15 h helyi idő táján fellépő, erős sűrűségi és nyomás~~x~~ maximum okoz. Következésképpen ez a gradiens~~x~~erő a szélirány alakulásában egy napszakos effektust eredményezhet, ami - bizonyos megfontolások szerint - abban nyilvánul meg, hogy kisebb szélességeken a reggeli órákban egy kelet-nyugati, az esti órákban pedig egy ellenkező irányú szélrendszer alakul ki [10, 34]. Az is valószínűnek látszott, hogy az esti szelek erősebbek, mivel az ionkoncentráció, amely a széllal szemben ható közegellenállást okoz, kisebb éjjel, mint nappal [134]. Az elméletileg várható szélesebség értékekre a különböző szerzők nagyon eltérő adatokat fogadtak el, vagy tartottak valószínűnek.

A 200 km-nél nagyobb magasságokra vonatkozó rakétás mérések száma viszonylag kevés, de ezek nincsenek ellentmondásban fenti feltevésekkel. Így pl. 3 különböző helyen végzett 8 rakétafellevésből a reggeli órákban 30-120 m/s-os, kelet-nyugat irányú szeleket tudtak levezetni. Másik 8 fellevésből az esti órákban hasonló nagyságrendű, de ellenkező irányú szelet kaptak. Későbbi rakétás mérések is hasonló eredményeket szolgáltatottak. Mégis kialakult az a vélemény, hogy rakétás mérésekből nem kaptunk helyes képet a felsőlégköri szelekről, a mérések szporadikus jellege miatt. Ilyenkor ui. olyan pillanatképet kapunk a szelekről, amely lokális jelenségeket is tartalmaz, és ez megnehezíti az általános jellegzetességek felismerését.

Az előzőek miatt nagy jelentőségű King-Hele-nek az a felismerése, amely lehetővé tette az uralkodó felsőlégköri szélesebség meghatározását. Ő ui. észrevette, hogy egy-egy műhold inklinációja a hold élettartama folyamán nagyobb mértékben csökken, mint azt az elmélet szerint várni lehetne /a csökkenés a hold teljes élettartama folyamán mindössze néhány század fokot tesz ki!/. Szerinte ezt a rendellenes inklináció csökkenést egy felsőlégköri szélből származó, a hold pályasíkjára merőleges erőkomponens okozza. Feltevése tehát azt jelenti, hogy a légkör nem a Földdel együtt, hanem annál gyorsabban vagy lassabban rotál. A két rotáció arányát λ -val jelölve, nyugat-kelet irányú szél esetén $\lambda > 1$, és fordítva.

Először Cook és Plimer [246] alkalmazta az inklináció rendhagyó csökkenését szélesebség meghatározására, gömbszimmetrikus légkör feltételezése mellett. Később King-Hele [135], majd ő és Walker együttesen aprólékosan kidolgozta az elméletet lapult légkörre, változó skálamagasság mellett, és a napszakos effektus figyelembevételével [144, 145], sőt, még nagy excentricitású pályák esetére is [146]. Ez az általánosított elmélet tehát lehetővé teszi a hold perigeumának magasságában uralkodó szél kelet-nyugat irányú, azaz zonális komponensének meghatározását, bizonyos fenntartások mellett [68].

A módszer bemutatására kis excentricitású elliptikus pálya esetére közöljük King-Hele-nek azt a formuláját, amely kapcsolatot létesít az inklináció és a periódus változása, valamint a szélességet jellemző λ között [135]:

$$\frac{\Delta i}{\Delta P} = \frac{\lambda \sin i}{3\sqrt{F}} \left[\frac{H}{ae} + (1-4e-2 \frac{H}{ae}) \cos^2 \omega + 0(e, \frac{H^2}{a^2 e^2}) \right]$$

ahol λ a légkör szögsebességének és a Föld rotációs sebességének aránya, F egy a pályától függő konstans, és P, a, e, i, ω pályaelemek, H a sűrűségi skálamagasság.

Számszerű elemzések azt mutatják, hogy a légköri rotáció inklináció csökkentő hatása akkor a legnagyobb, amikor a pálya perigeuma az egyenlítő közelében van, és csaknem nullára csökken a maximális szélességű helyeken. Így pl. a teljes inklináció-csökkenés 75%-a azalatt következik be, míg a perigeum szélessége $0,5 \cdot i$ -nél kisebb. Kívánatos tehát, hogy az ilyen vizsgálatokra kiszemelt hold inklinációja legyen minél nagyobb. Legjobb a poláris pályán keringő holdak, mivel az információszerezés így terjed ki a legnagyobb szélességi tartományra /még így is igaz, hogy a közepesnél nagyobb szélességekről ezzel a módszerrel nem kapunk információt a szélességekre vonatkozóan/.

A λ meghatározása gyakorlatilag úgy történik, hogy hosszabb időintervallumon keresztül többször meghatározzuk a pályaelemeket, köztük az inklinációt is. Ezután King-Hele elmélete alapján, numerikus integrálással, különböző λ értékek feltételezése mellett kiszámítjuk az i változásának menetét. A sorozatból azt a λ értéket fogadjuk el, amelyhez tartozó görbe legjobban reprezentálja a megfigyelt inklináció-változást. Egy reális kiválasztáshoz azonban a görbének elég hosszúnak kell lennie. A módszernek lényeges vonása tehát az, hogy csak hosszabb időintervallumra alkalmazható, s így csak az átlagos szélviszonyokra, pontosabban a szél átlagos zonális komponenséről ad felvilágosítást.

King-Hele sok hold inklináció-változásából vezetett le szélesség értékeket. Egy 28 hold adataiból készített összesítést mutatunk be a 4.19. ábrán. Amint látható, a λ -értékek nagy szórást mutatnak /a becsült belső pontosság $\pm 0,2!$ /, de ennek ellenére kivehető, hogy 200 km-től kezdve fokozatosan nő a szél sebessége. Feltűnő, hogy mindenütt $\lambda \geq 1$, vagyis az uralkodó szélirány nyugat-keleti. King-Hele a későbbiekben, pontosabb mérések

magasságban, egyenlítői vidékeken, ekvinokcium idején azt találta, hogy helyi éjféli táján észak felé irányuló meridionális szelek indulnak ki a déli féltekéről. Ezt az egyenlítőre vonatkozó aszimmetrikus viselkedést Harper is megerősítette [58].

Felkeltette figyelmünket, hogy e megfigyelésekkel szemben az ismerőbb modellek [24, 31, 54] ekvinokcium idején szigorúan szimmetrikusak az egyenlítőre, és nem ismernek transzekvatoriális szeleket. Ennek feltehetően az a magyarázata, hogy a modellek szerzői a hőmérséklet napi menetének számításánál olyan szimmetrikus sűrűségmodelleket használtak, amelyekben a hőmérsékletváltozások a sűrűségváltozásokkal fázisban történnek. Minthogy korábbi munkáinkból biztosak voltunk abban, hogy a sűrűségeloszlás még ekvinokciumkor is mutat észak-déli aszimmetriát [14, 101, 102], elhárítottuk egy szélmező kiszámítását, de nem modellbeli, hanem megfigyelt sűrűségértékek felhasználásával. Minthogy szélszámításokat egész sor szerző már előttünk is végzett [10, 30, 31, 34, 54], célszerűnek látszott az ő tapasztalataikat felhasználni. A mi esetünkben legcélszerűbbnek tűnt Challinor módszere [31], amelyet kissé módosított formában alkalmaztunk is.

A feladat lényegében a gyakran használt Navier-Stokes egyenlet alkalmazásával oldható meg:

$$\frac{\partial \bar{U}}{\partial t} + (\bar{U} \cdot \nabla) \bar{U} + 2\bar{\Omega} \times \bar{U} = \frac{\mu}{\rho} \nabla^2 \bar{U} + \frac{N_i}{N_n} v_{in} (\bar{V} - \bar{U}) - \frac{1}{\rho} \nabla \bar{p} + \bar{g}$$

ahol \bar{U} a semleges szél sebessége, t az idő, $\bar{\Omega}$ a Föld rotációs sebessége, μ a molekuláris viszkozitási koefficiens, ρ a semleges sűrűség, N_i az ionok és N_n a semleges részecskék koncentrációja, v_{in} a semleges-ion részecskék közötti ütközések frekvenciája, \bar{V} az ionsebesség, \bar{g} a gravitációs gyorsulás, \bar{p} a légköri nyomás.

Az egyenlet korrekt, elhanyagolások nélküli megoldása különböző nehézségeket támasztott volna. Ezért követtük a szerzők többségének eljárását [31, 54, 152, 191, 217] és az $(\bar{U} \cdot \nabla) \bar{U}$ inerciális tagot, valamint a viszkozitási közegellenállást elhanyagoltuk. Az idézett szerzők némelyike kiemelte, hogy ezek az elhanyagolások jogosak, mert ezek az erők a számításba vetteknek csak néhány százalékát teszik ki.

Számításainknál egy (R, θ, ϕ) geocentrikus szférikus koordinátarendszert használtunk, az origóval az északi sarkon, és déli ill. keleti tengelyirányítással. Ebben a rendszerben a két sebességkomponensre a következő egyenleteket kapjuk:

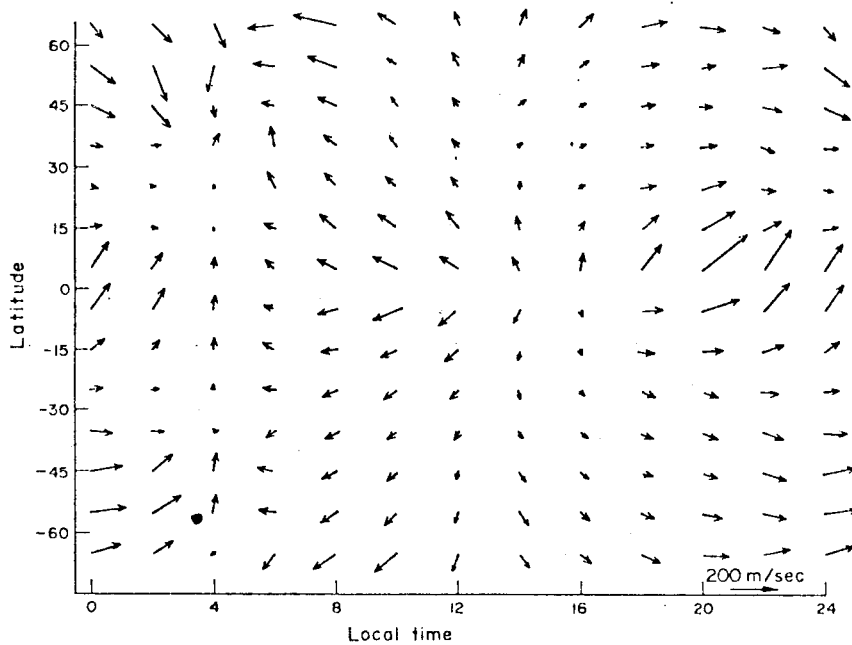
$$\Omega \frac{\partial U_{\theta}}{\partial \phi} = -\frac{1}{R} \frac{\partial p}{\partial \theta} + 2\Omega U_{\phi} \cos\theta - (U_{\theta} \sin^2 I - V_{\theta}) / \tau$$

$$\Omega \frac{\partial U_{\phi}}{\partial \phi} = -\frac{1}{R \sin\theta} \cdot \frac{\partial p}{\partial \phi} + 2\Omega U_{\theta} \cos\theta - (U_{\phi} - V_{\phi}) / \tau$$

ahol θ a pólustávolság, ϕ a hosszúság, U_{θ} és U_{ϕ} a szélesség meghatározandó komponensei, V_{θ} és V_{ϕ} az ionsebesség komponensei, R a geocentrikus távolság, I a mágneses lehajlás szöge, τ egy időkonstans, amelyet Stubbe alapján [208] a $\tau = 1,74 \cdot 10^9 / N_{\perp}$ összefüggés felhasználásával számítottunk, Nisbetnek a Penn State Ionospheric Modellben megadott elektronkoncentrációival [182]. A szükséges hőmérsékleti értékeket Waldteufel inkohereus szóródásból levezetett, tehát sűrűségi modelltől független modelljéből [225] vettük. Végül a szükséges sűrűségértékeket a megfigyelésből levezetett 12.000 saját adatunk közül választottuk ki [14].

Az egyenletrendszer megoldását egy kiválasztott szélességi kör mentén haladva végeztük, a Runge-Kutta-féle iterációs eljárással. A lépéshossz helyi időben 0,5 perc volt, és az első iterációk folyamán az $U = U = 0$ kezdőértékeket alkalmaztuk. Egy megoldást akkor tekintettük kielégítőnek, ha egy adott pontra kapott sebességértékek két egymásutáni iterációnál kevesebbel tértek el egymástól, mint 1%. Ezt általában 3-6 iteráció után értük el, ekkor áttértünk a következő szélességi körre. Ily módon $+65^{\circ}$ -tól 10° -onként haladva -65° -ig, vagyis 12 szélességi körre elvégezve a számításokat, egy globális szélmezőt nyertünk. A 65° -nál nagyobb szélességeket ki kellett hagynunk, mert sem az ionoszféra modell, sem a Waldteufel-féle hőmérsékleti modell nem érvényes nagyobb szélességeken, és a poláris vidékekhez tartozó sűrűségértékeink is pontatlanabbak. A 4.20. ábrán bemutatjuk a kapott szélmezőt, amelynek legjellemzőbb vonásait a következőkben részletezzük.

A szélességek éjjel általában nagyobbak, mint nappal. A legnagyobb értékeket az egyenlítő közelében 19-24h helyi idő között, és a nagyobb szélességeken az éjszaka második felében találjuk, 250 m/s maximális értékekkel.



4.20. ábra

Szélmező ekvinokciumkor, 300 km magasságban

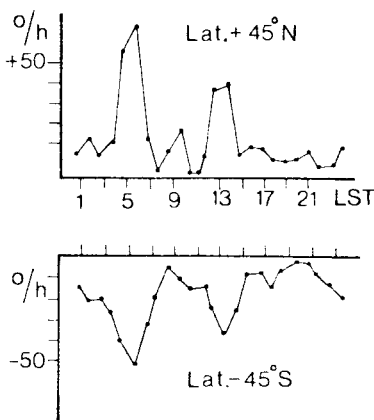
Ezzel szemben a legkisebb sebességeket a kisebb szélességeken találjuk, mégpedig az éjszaka második felében és 13-15h között.

A zonális komponens érdekes tulajdonsága, hogy minden szélességi körön naponta kétszer előjelet vált. Így általában 4h és 13h között a zonális komponens iránya kelet-nyugati, a nap többi részében pedig fordított irányú. Ez részben magyarázhatja is, hogy King-Hele méréseiben mért teng túl a nyugat-kelet irányú szél.

A meridionális komponens viselkedését nem lehet egyszerűen jellemezni, de általánosságban igaz, hogy nappal /6h és 18h között/ mindegyik féltekén a saját pólusa felé irányul. Éjjel a kép bonyolultabb. Ekkor ui. a szél az északi féltekén a 2h - 5h és 35° - 40° N koordináták által meghatározott terület felé irányul, míg a déli féltekéről egy erős, észak felé irányuló, transzekvatoriális szél jelentkezik, 150 m/s-ig terjedő sebességgel. Ez egyuttal az előző paragrafusban tárgyalt aszimmetria egyik jellegzetes megnyilvánulása. A szélmező még több, más vonatkozásban is aszimmetrikus. Így pl. kereshetjük azokat a szélességeket, ahol a szél eltűnik (sebessége 0 m/s). Azt találjuk, hogy ez az északi féltekén 20° -nál, míg a délin 35° -nál következik be /kb. 4h-nál/, ami 15° -os szélességi aszimmetriát jelent.

Nagyfoku aszimmetriát mutatnak az azonos északi és déli szélességeken kapott szélességek is, ami nyilván valamelyik, vagy mindkét komponens aszimmetriájának következménye. A komponensek viselkedését külön-külön tanulmányozva azt kaptuk, hogy 45° szélességig a zonális komponens /egy 20h körül mutatkozó csekély aszimmetriától eltekintve/ mindvégig szimmetrikus, tehát az aszimmetria ebben a szélességi tartományban a meridionális komponenstől származik. Nagyobb szélességeken az aszimmetria elsősorban az éjszaka második felében jelentkezik, de akkor mindkét komponensben jól kimutatható.

A nap folyamán a szélvektor iránya egy adott szélességen nem állandó. A szélvektor az északi féltekén /általában/ az óramutató járásával megegyező irányban rotál, a déli féltekén fordítva. Tipikus esetként a 4.21. ábrán bemutatjuk a 45° -hoz tartozó rotációs sebesség alakulását a nap folyamán.



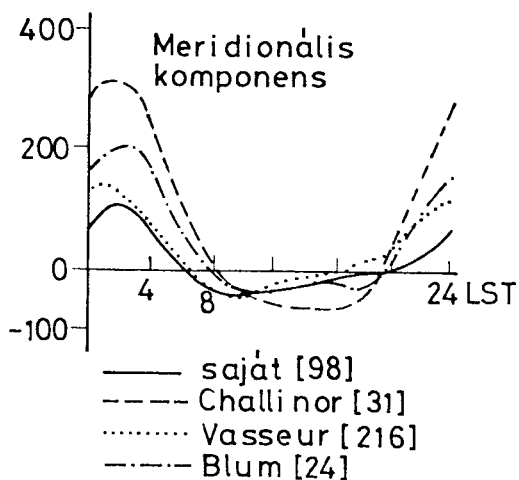
4.21. ábra

A szélvektor rotációs sebessége

Érdekes, hogy a szélvektor átlagos rotációs sebessége $10^\circ/h$, de éppen kis szélességek idején /napfelkelte és napnyugta előtt/ a vektor mintegy ötször gyorsabban rotál. Megjegyezzük, hogy kisebb északi szélességeken zavarok mutatkoznak a rotáció irányában : 0h - 9h között a rotációs sebesség abszolút értéke normális ugyan, de iránya az óramutató járásával ellentétes. Erre sem magyarázatot, sem az aszimmetriával összefüggő korrelációt nem találtunk.

Szélmezők jellegzetességeinek ismertetése után eredményeinket más szerzőkével hasonlítjuk össze. Lényegesnek tartjuk, hogy a kapott szélirányok megfelelnek az elméletileg várhatóknak.

Meridionális komponensünk pregnáns aszimmetriája teljes összhangban van Thuillier megfigyeléseivel: szélmezők konvergencia pontjának koordinátái / $20^\circ N$ és $4h$ / megegyeznek a megfigyelttel [245]. Így tehát szélmezők az első egyike, amely transzekvatoriális szelek kimutatásával egyezésbe került az egyenlítő környéki megfigyelésekkel. Eredményeinket megerősíti Harper megfigyelése is [58], amely szerint az éjszaka második felében a szélrendszer aszimmetrikus.



4.22. ábra

A meridionális komponens napi menete

A szélességek abszolút értékeinek összehasonlítása már sokkal nehezebb, mivel a módszertől függő elhanyagolások, szisztematikus hibák inkább az abszolút értékeket érintik, és nem az irányokat. Így tehát az összehasonlításnál gyakorlatilag csak nagyságrendi egyezések várhatók. De további nehézséget jelent az is, hogy nem ismertek nagy számban, vagy kiterjedten végzett megfigyelések, amelyek hasonló feltételek mellett történtek volna /ekvinokcium, 300 km/. Ennek ellenére megállapíthattuk, hogy számított szélességeink jó összhangban vannak Vasseur méréseivel [216, 217].

Modellekkel való összehasonlításnak természetesen nincs akadálya, ezért a 4.22. ábrán példaképpen bemutatjuk a meridionális komponens napi menetét saját számításaink és 3 másik modell alapján. Látható, hogy eredményeink elfogadható összhangban vannak más modellekkel. Eltérés főleg az éjszakai órákban mutatkozik, mint ahogy az fentiekből következik is. Az éjszakai eltérések egyik magyarázata kereshető a használt elektron-sűrűség modellben is. Az eddigi megfigyelések alapján azonban nehezen lehetne eldönteni, hogy a kisebb vagy a nagyobb éjszakai értékek a helyesebbek-e.

Az eddig végzett szélszámítások azt mutatják, hogy a felsőlégköri szelek igen jelentékenyek, azokat a felsőlégkör dinamikájánál feltétlenül figyelembe kell venni. Sajnos, ezideig csak kevés, és főleg csak szporadikus megfigyelési anyag áll rendelkezésre, ami illuzórikussá teszi a modellezési kísérleteket. Újabb szélmező számítások elvégzésének akkor lesz értelme, ha már bőségesen állnak rendelkezésre megfigyelt, és összehasonlításra alkalmas adatok. Sajnos ma ettől még elég messze vagyunk.

4.8. A sűrűségi skálamagasság

Láttuk a korábbiakban, hogy a felsőlégkör egyik alapvető paramétere a H sűrűségi skálamagasság. A légkör fizikai tulajdonságait nem lehet ki-elégítően leírni a skálamagasság nélkül. Számos formulában szerepel, mint el nem hanyagolható paraméter.

Marov pl. nem értett egyet azzal a széles körben elterjedt gyakorlat-
tal, hogy a sűrűségnek megfigyelt fékeződésből való meghatározásánál olyan
formula kerüljön használatra, amely az ismeretlen H skálamagasságot is tar-
talmazza. Ő ehelyett inkább Lidov egyszerűsített formulájával dolgozott [167],
amely ρ helyett annak \sqrt{H} -szorosát adja meg:

$$\rho\sqrt{H} = - \frac{2}{3H} \frac{1-e}{1+e} \sqrt{\frac{e}{2\pi r_p (1+e)}} \frac{1}{P} \frac{dP}{dN}$$

ahol a korábban alkalmazott jelölések szerepelnek. A kapott $\rho\sqrt{H}$ értékeket
Marov a helyi idő függvényében ábrázolta és a perigeumcsökkenésből, valamint
a napszakos effektus maximális és minimális sűrűségének arányából meghatároz-
ta H értékét:

$$H = \frac{\Delta h}{\rho_1\sqrt{H}/\rho_2\sqrt{H}}$$

A módszer kissé nehézkes és pontatlan, nem is terjedt el. Bár az is igaz,
hogy eddig nagyon kevés publikáció foglalkozott H meghatározásával, ami bi-
zonyára összefügg az ezzel kapcsolatos nehézségekkel [53].

Hosszu éveken keresztül H meghatározása szinte kizárólag King-Hele
és Walker [248] formulája alapján történt [170]. Ők ui. levezették, hogy
a légköri fékeződés hatására bekövetkező perigeumcsökkenés a következő
alakban írható fel:

$$\dot{Q} = - \frac{H_1}{3e} \cdot \frac{\dot{n}}{n} (1-2e + \frac{H_1}{4ae} - \frac{0,0067}{e} \sin^2 i \cos \cdot 2\omega)$$

ahol $Q = a(1-e)$ a perigeum rádiuszvektora, és $a, e, i, \omega, n, \dot{n}$ pályaelemek.
 H_1 a sűrűségi skálamagasság, amely azonban nem a perigeum magasságára,
hanem a $z = h_p + 1,5 H_p$ magasságra vonatkozik. Itt h_p a perigeummagasság,
és H_p a hozzá tartozó skálamagasság értéke.

King-Hele gyakran használta ezt a formulát H-értékek meghatározására, de módszerét nem publikálta, csupán felhívta a figyelmet arra, hogy a megadott összefüggés kizárólag a közegellenállás hatására bekövetkező perigeumcsökkenést tartalmazza, tehát a geopotenciál zonális harmonikusainak hatását és a luniszoláris perturbációkat Q-ból először redukálni kell. A fenti formula alapján H meghatározására kifejlesztett saját módszerünk [97] a következőkből áll. Kifejezve a meghatározandó H_1 -et, a következő összefüggést kapjuk:

$$H_1 = P \pm \sqrt{P^2 - D}$$

$$\text{ahol: } P = 2ae \left(2e + \frac{0,0067}{e} \sin^2 i \cdot \cos 2\omega - 1 \right)$$

$$D = 12 ae^2 r \frac{n}{n}$$

A feladat megoldása nyilván a pályaelemek meghatározásával kezdődik, majd az említett perturbációk redukálásával folytatódik /numerikus integrálással/. A perturbációk a pályától függően 5-15 km-t is kitehetnek, tehát általában nem hanyagolhatók el.

Probléma jelentkezik Q kiszámításánál, hiszen azt kénytelenek vagyunk mint differenciányadost meghatározni. Mivel azonban Q meghatározásának pontossága a pályától és a megfigyelésektől függően km nagyságrendű, a differenciányadost olyan nagy időintervallumból kell kiszámítani, amely alatt a perigeum magassága legalább néhány km-t változott. Ez gyakorlatilag átlagosan több hetes intervallumokat jelenthet. Ezalatt azonban a többi pályaelem is jelentékenyen változik, ezért célszerű a pályaelemeknek a szóbanforgó intervallumhoz tartozó közepes értékeit venni, és ezeket az intervallum közepéhez, mint epochához rendelni.

Az eddig vázolt eljárással tehát általában néhány H értéket kapunk egy hosszabb időintervallum alatt. Még meghatározandó az a z magasság, amelyhez az egyes értékek tartoznak. Általánosságban:

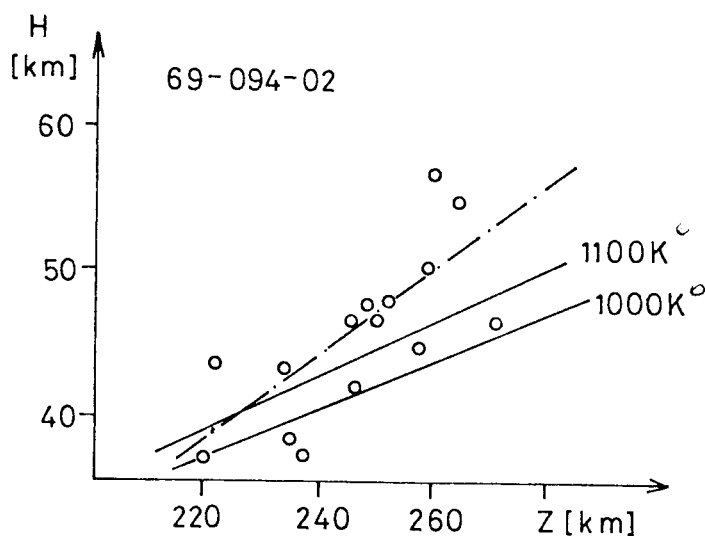
$$z = h_p + 1,5 \cdot H_p$$

ahol H_p értékét nem ismerjük. Fennáll azonban: $H_1 = (1 + 1,5 \cdot dH/dz)$. Feltételezve, hogy legalább két H értékünk van a sorozatban, az ismeretlen dH/dz gradiens helyett az ismert dH/dQ -val kapunk kezdőértéket H_p -re, amellyel egy második iterációban, most már dH/dz értékkel számolva, megkapjuk a

H_1 -hez tartozó z értéket. Megjegyezzük, hogy dH/dz átlagos viszonyok mellett 0,05-0,25 km/km és kvázilineárisan változik a magassággal, ugyanakkor időben is csak lassan változik /a naptevékenység 11 éves komponensével/. Így egy sorozat feldolgozása során nem minden esetben kell külön-külön dH/dz értékeket meghatározni.

Az eddigiekből nyilvánvaló, hogy a perigeummagasság csökkenéséből meghatározott H értékek hosszabb időintervallumok középértékének tekinthetők. Segítségükkel képet kaphatunk a skálamagasság magasságfüggéséről, de időbeli változások csak hosszabb távon vezethetők le. Ennek ellenére King-Hele és csoportja, minden olyan esetben, amikor az lehetséges volt, a perigeumcsökkenésből H értékeket vezettek le, és így tettünk mi magunk is.

Szemléltetésként a 4.23. ábrán bemutatjuk a 69-094-02 hold fékeződési adataiból általunk levezetett skálamagasságokat [104]. A többhónapos intervallumot átfogó anyagból



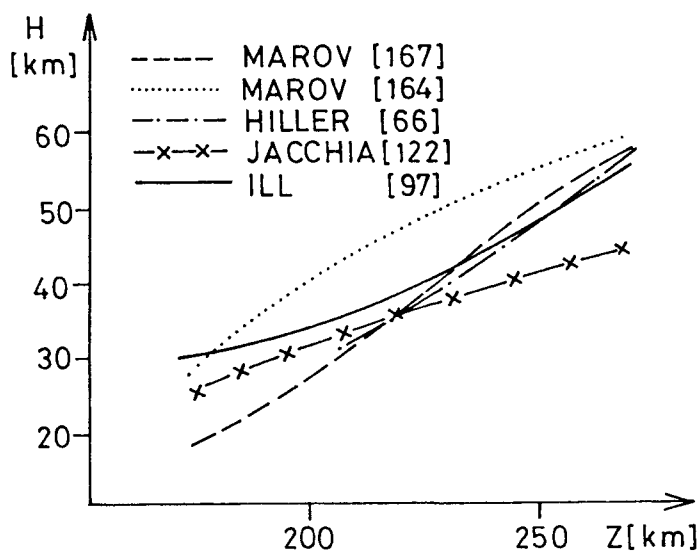
4.23. ábra

A skálamagasság magasságfüggése

összesen 15 skálamagasságot sikerült kiszámítanunk. Ez alatt az exoszférikus hőmérséklet 1000-1200 K között ingadozott. Összehasonlításképpen e két hőmérséklethez tartozó, a J-71 modell által adott magasságfüggést is bemutatjuk. Kapott pontjainkat a legkisebb négyzetek módszerére szerint egyenlítettük ki. Látható, hogy az adatok szórása az egyeneshez képest általában kisebb 10%-nál / két kivétellel/. Ugy tűnik, hogy a J-71-től való eltérés 200-240

km között elfogadható. Azonban, míg a modellbeli gradiens $dH/dz = 0,19$, addig saját méréseinkből 0,26 adódik, s ennek következtében pl. 300 km-nél az eltérések már tekintélyesek.

Éppen emiatt több, különböző magasságban keringő hold fékeződési adatai alapján előállítottuk H magassági profilját a 160-300 km-es tartományban, és a kapott eredményeket más szerzők adataival hasonlítottuk össze /4.24. ábra/ Jól látható, hogy míg saját méréseink kisebb magasságban jó összhangban vannak



4.24. ábra
H magassági profilja

a J-71 modellel, addig 230 km-től felfelé ismét jelentkezik a modellbelinél lényegesen nagyobb gradiens, ezuttal azonban Hiller [66] és Marov [167] eredményei is a mi megállapításunkat igazolják. Ezek alapján várható, hogy 300-400 km között a megfigyelésekből számítandó skálamagasságok esetleg komoly mértékben el fognak térni a modelltől. Még megjegyezzük, hogy Marov egyik görbéje 1958-ból [164], a másik 1962-64-ből származik, így a jól észrevehető különbség egyik oka minden bizonnyal a megváltozott naptevékenység ($H = kT/Mg$ alapján).

Páratlan, és alapjaiban más lehetőség adódott számunkra, amikor a francia C.E.R.G.A. lehetővé tette, hogy a D-5B francia műhold fedélzetén elhelyezett CACTUS akcelerométer méréseiből kapott sokszázezer sűrűségadatot elemezzem, ill. megkíséreljem azokból sűrűségi skálamagasságok számítását. Minthogy a fedélzeti mérések 2,8 s-ként történtek, az akcelerométeres adatoknak igen jó az időbeli és térbeli felbontása, így már eleve tudni lehetett, hogy az anyag kiválóan alkalmas időbeli változások tanulmányozására.

Pontossági megfontolások alapján célszerűnek látszott, hogy az elemzéseknél a perigeum /kb. 270 km/ és 400 km közötti magassági intervallumhoz tartozó adatokat használjuk. A sűrűségi adatok pontossága ui. a magassággal csökken, de 400 km-nél még jobb 3%-nál [17].

Természetesen itt teljesen más volt a helyzet, mint a fékezéskor kapott adatoknál, hiszen itt nem iránymérésekből, hanem sűrűségekből /és hozzájuk tartozó pályaelemekből/ kellett kiindulni, vagyis teljesen új eljárást kellett kidolgoznom. Bizonyos megfontolások alapján kínálkozott a lehetőség, hogy H egyik definíciója szolgáljon értékének meghatározására:

$$H = -(z_1 - z_2) / \ln(\rho_1 / \rho_2)$$

vagyis elvileg két magasságból és a hozzátartozó sűrűségekből meghatározható H értéke. Az új módszer kialakításánál figyelembe kellett venni, hogy az egyes adatoknak időnként jelentékeny szórása is lehet, és a kiválasztott két adat ellentétes értelmű szórása igen kedvezőtlenül hathat H értékére. Ezért egyrészt a gép a relatív hiba korlátozására a majd részletezendő számítást csak akkor végezte el, ha a $|z_1 - z_2| > 8$ km és a $|\rho_1 - \rho_2| > 0,4 \cdot \rho_1$ feltételek teljesültek. Másrészt célszerűnek látszott olyan eljárást kidolgozni, a mely a végleges számítás előtt /a szórás csökkentésére/ kissé simítja az adatokat egy iterációs eljárás folyamán. Végül, a módszer kialakításánál azt is figyelembe kellett venni, hogy H a magassággal változik, így egyetlen H érték kiszámítása nem történhet túl nagy magassági intervallumból származó adatokkal. Mindezek alapján a CDC-7600 gépre készült programunk a feladatot a következőképpen oldja meg [103]. Álljon rendelkezésünkre a mikroakcelerométer által mért $\rho_1, \rho_2, \dots, \rho_j$ adatsor, a hozzátartozó z_1, z_2, \dots, z_j magasságokkal. A kiválasztott intervallumban a hold egy átlagos vonulásánál $j > 100$. Az első hat adatból meghatározzuk H-nak a $z_1 - z_2, z_1 - z_3, \dots, z_1 - z_6$ intervallumokhoz tartozó kezdőértékeit. Ezek még viszonylag pontatlanok, és mivel a $z_1 - z_6$ intervallum elég kicsiny, megelégszünk a kapott skálamagasságok átlagértékével. Ezt azonban az esetleges nagyobb szórás miatt nem számtani középként, hanem a legkisebb négyzetek módszerével határozzuk meg, a $\Delta z = H(1) \cdot (\ln \rho_1 / \rho_2)$ összefüggés kiegyenlítésével, az egyenes iránytangenseként.

Az így kapott H(1) segítségével, a megfigyelt ρ_1 sűrűség és a z_1, z_2, \dots, z_6 magasságok felhasználásával "elméleti" sűrűségértékeket számíthatunk. A szereplő kis magassági intervallumban a legegyszerűbb, szférikus légköri modell teljesen megfelel, ekkor a következő formula használható:

$$\rho(1)_i = \rho_1 \cdot \exp(z_1 - z_i) / H(1) \quad (i = 1, \dots, 6)$$

Ha a számításnál használt skálamagasság jó lett volna, akkor az észlelt sűrűségértékeket kellett volna visszakapnunk /a szórástól eltekintve/. Így azonban az észleléshez képest O-C-különbségek lépnek fel:

$$\Delta \rho(1)_1 = \rho_1 - \rho(1)_1, \quad \Delta \rho(1)_2 = \rho_2 - \rho(1)_2, \quad \dots, \quad \Delta \rho(1)_6 = \rho_6 - \rho(1)_6.$$

Ezeke az O-C-értékeket egy egyenessel kiegyenlítjük /bár a programban

megtörténik a másodfoku görbével való kiegyenlítés is, de a gép kivétel nélkül mindig az elsőfoku kiegyenlítést választotta, mint jobbat/. A kiegyenlítésből olyan, viszonylag kicsiny $\Delta\rho(2)_i$ korrekciókat nyerünk, amelyeket az eredeti ρ_i sűrűségértékekhez adunk. Az így javított $\rho(2)_i$ sűrűségértékekkel minden $z_1-z_2, z_1-z_3, \dots, z_1-z_6$ intervallumhoz új skálamagasságot számítunk: $H(2)_1, H(2)_2, \dots, H(2)_5$. Ezeket már nem közepeljük a teljes intervallumon, hanem értéküket egy lineáris kiegyenlítéssel finomítjuk, majd ellenőrzésképpen az így nyert $H(3)_i$ értékekkel ismét kiszámítjuk az "elméleti" sűrűségértékeket: $\rho(3)_1, \rho(3)_2, \dots, \rho(3)_6$. Ha a kapott $\rho(3)_i$ értékek eltérése az eredeti ρ_i sűrűségértékektől kisebb 1%-nál, akkor az utoljára kapott $H(3)_i$ skálamagasságokat elfogadjuk. Amennyiben az eltérés nagyobb, a skálamagasságokat még javítani kell. Ez úgy történik, hogy a $\rho(3)_i - \rho_i$ különbségeket lineárisan kiegyenlítjük és a kapott /általában igem csekély/ korrekciók figyelembevételével számítjuk ki a végső $H(4)_i$ értékeket. Ellenőrzésképpen természetesen a $H(4)_i$ értékekkel is kiszámítjuk a sűrűségeket, bár a második iteráció után az esetek 99,5%-ában ezek a $\rho(4)_i$ sűrűségek 1%-nál kevesebbel tértek el az észlelt ρ_i sűrűségektől. Ezért a programot úgy készítettük, hogy itt befejezettnek tekintjük az első 6 adatból történt számítást.

A továbbiakban elhagyjuk az első 2 sűrűség /+magasság/ adatot, és a soronkövetkezőkből hozzáveszünk 2 újabbat, majd előlről kezdjük a számítás menetét. Ily módon vonulásonként a 290-400 km-es intervallumban általában 80-120 skálamagassági értéket kaphatunk. Modellbeli értékekkel végzett számításaink azt mutatják, hogy egy-egy H-érték a kiszámításánál szereplő magassági intervallum közepéhez rendelhető /0,5 km-nél kisebb hibával/.

Mivel a sokezer vonulásból számítható H-értékek egyedileg elég nehezen kezelhetők, a kapott skálamagasságokból vonulásonként egy-egy vertikális profilt készítettünk. Gyakorlati okok miatt profiljaink 290 km-nél kezdődnek és 5 km-ként megadott 21 értékkel 390 km-en végződnek. Azonban, ha profiljainkat a leírt módon számítottuk volna, úgy azok csak pszeudo-vertikális profilok lennének, ami használhatóságukat kedvezőtlenül befolyásolná. A műhold ui. mérés közben nemcsak magasságát változtatta, de minden egyen mérés más-más helyi idejű pontról származik. Két mérési pont közötti helyi idő-különbség csak 1-2 percet tesz ki, ami a sűrűségértékeket általában csak tized százalékkal változtatja meg. Azonban olyan esetekben, amikor a napszakos effektus

hőmérsékleti gradiense nagy /délelőtt, és főleg délután/, az eltérés több százalékot is kitehet.

Eppen ezért, fenti számítások elvégzése előtt egy-egy vonulás minden sűrűségadatát a 340 km-hez /a profil közepéhez/ tartozó helyi időre redukáltuk a CIRA-72 modell felhasználásával /a korrekció oly csekély, hogy bármely modell megfelelt volna/. A sűrűség korrekciója nyilván legnagyobb a profil két végénél /290 km-nél és 390 km-nél/, és a közepéhez közeledve egyre kisebbé válik. Maga a korrekció inkább elvi, mint gyakorlati jelentőségű, segítségével azonban elértük, hogy profiljaink valóban vertikális profiloknak tekinthetők.

A fentiekben vázolt módon feldolgoztuk a D-5B teljes anyagát, amely 1975. nyarától 1978. tavaszáig terjed. Mivel félévenként általában kb. 2000 profilt készítettünk, így összesen mintegy 10.000 skálamagassági profil áll rendelkezésünkre. Elemzésünk megkönnyítésére minden profilt a számítógéppel fel is rajzoltattunk, feltüntetve a DIM-modell által [16] ugyanazokra a viszonyokra adott "elméleti" profilt is. Ezek a profilok az adott viszonyok között /geomágneses szempontból nyugodt napokon/ kvázi-egyenesek, igen csekély görbülettel. Statisztikai vizsgálataink szerint a nyugodt napokon kapott profiljainknak mintegy 30%-ánál az elméleti profiloktól való eltérés kisebb volt 10%-nál. Ezen kívül gyakran kaptunk olyan profilokat is, amelyek az elméletihez hasonló "görbitett-egyenesszakasz"-alakot mutatták ugyan, de hajlásszögük az elméletinél kisebb, vagy nagyobb volt. A laposabb profil fizikai szempontból azt jelenti, hogy a felsőléggör izopiknikus rétegei sűrűbben /egymáshoz közelebb/ helyezkednek el, mint ahogy azt a modell előírná; a meredekebb profil az ellenkezőjét jelenti. Az ilyen profilok viszonylag ritkán figyelhetők meg két egymásutáni vonulás folyamán, így valószínűleg nem túl stabil képződmények. Általában az alább részletezendő profildeformációk "bevezetéseként" jelentkeznek ezek az eltérő hajlásszögű, de még normális alakul profilok /1. a 4.25. ábra legelső profilját/.

Kétségtelen, hogy skálamagassági profiljaink egyik legfőbb értéke a kiváló időbeli felbontás. A számításoknál használt közepelési eljárás következtében a felbontás romlott ugyan, de még így is a profil egy adott pontjának időfelbontása kb. perpendü, vagyis mintegy 1000-szer jobb, mint a peri-

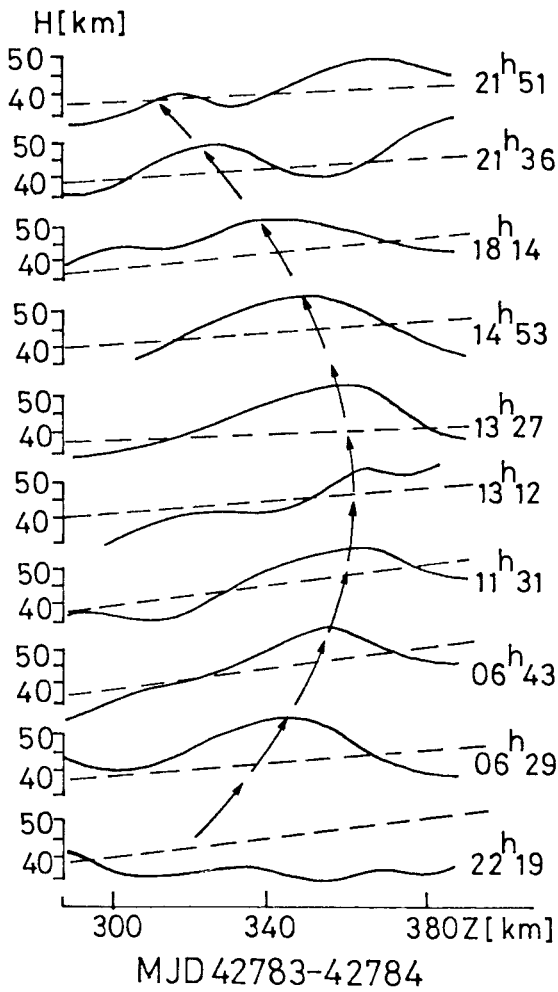
geomcsökkenésből levezetett adatoknál. Így tehát profiljaink kiválóan alkalmasak a skálamagasság időbeli változásainak tanulmányozására is.

Legtöbb profilunknak érdekes vonása, hogy lényegesen eltér a modellbeli "egyenes"-től: helyi maximumok és minimumok jelentkeznek, amelyeket profildeformációknak fogunk nevezni [103], igen gyakori eset, hogy a profildeformációk több egymásutáni vonulás profiljain felismerhetők, követhetők. Ebből következik, hogy lényegében globális jelenségről van szó, hiszen az egymást követő vonulások mérései mindig más és más földrajzi hosszúság fölött történtek; ha tehát a jelenség több hosszúságon is mutatkozik, akkor kiterjedt, globális. A profildeformációk általában vándorolnak a profil mentén, vagyis a zavarok magassága időben változik. Néha azonban egy adott profildeformáció hosszabb időn keresztül /10-20 óra hosszatt!/ megmarad, ugyanabban a magasságban, lassan növekvő, majd az eltűnésig csökkenő amplitudóval.

A 4.25. ábrán bemutatunk egy példát a lefelé terjedő profildeformációkra /szaggatott vonallal adjuk meg a DIM-modell segítségével ugyanazokra a körülményekre számított profilt/. Amint látjuk /legalul/, 22h tájban profilunk csaknem egyenes, enyhe hullámzással, de feltűnő, hogy meredeksége lényegesen kisebb, mint a modellbeli profilé. Következő reggel fél hét tájban már van egy lokális maximumunk, kb. 335 km magasságban. Ez a maximum lassan eltolódik a nagyobb magasságok felé, 13h tájban már 355 km magasságban van, ahonnan lassan elkezd lefelé vándorolni, mialatt amplitudója fokozatosan csökken. Este fél tízkor már 320 km-en van, fél óra múlva pedig már szinte nyoma veszett.

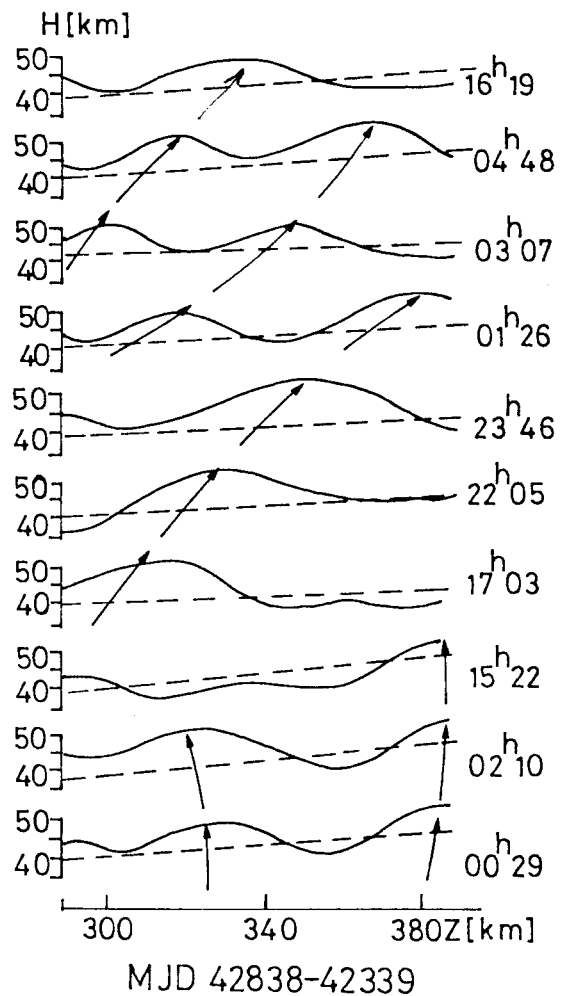
Egy másik példát mutatunk be a 4.26. ábrán, ahol az első profilokon /az éjfél utáni órákban/ 330 km és 385 km magasságban látunk egy-egy deformációt. Ezek azonban a délutáni órákra eltűnnek, de 17 órakor feltűnik 310 km-en egy újabb deformáció, amely fokozatosan vándorol a nagyobb magasságok felé: hajnal felé már magasabban lehet, mint profiljaink határa /390 km/. De ezzel párhuzamosan újabb és újabb profildeformációk lépnek fel, amelyek szintén lefelé terjednek.

A profildeformációk létezésének realizálását igazolja az a tény is, hogy minden egyes profil független az összes többitől /a számítás módját is figyelembe véve/, és ennek ellenére profilok egymásutáni sorozatán megtalálhatók a deformációk. Ha figyelembe vesszük, hogy a deformációk nem a bemutatott két esetben, hanem profilok ezerein /!/ jelentkeznek, akkor a profildeformációkat



4.25. ábra

Lefelé terjedő profildeformáció

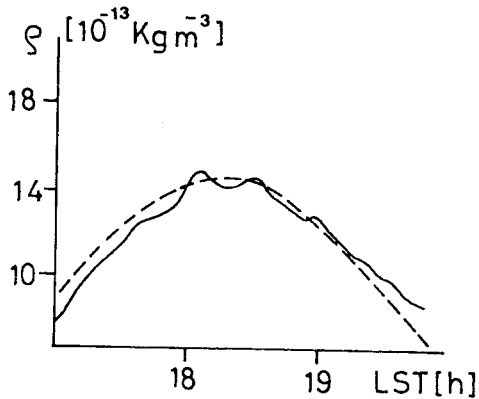


4.26. ábra

Felfelé terjedő profildeformáció

a felsőlégkör jellegzetes vonásának kell tartanunk. Ugy is lehetne mondani, hogy a pontosabb mérésekkel /pl. akcelerométerekkel/ többizben kimutatott légköri perturbációk, a "gravity waves" skálamagassági megfelelőjéről van szó [162, 163].

Megemlítjük, hogy tőlünk függetlenül egy francia kutató is felfigyelt arra, hogy a nagy pontosságú akcelerométeres sűrűség-adatsoroknak gyakran van hullámzó jellege. Villian [249] számos példája közül a 4.27. ábrán bemutatunk egyet /szaggatott vonal jelzi a sűrűség menetét a DTM-modell szerint/. Jól látható az is, hogy a sűrűségi görbe meredeksége hol nagyobb, hol kisebb a modellbelinél, ahogy ezt a profiljainkkal kapcsolatban is jeleztük.



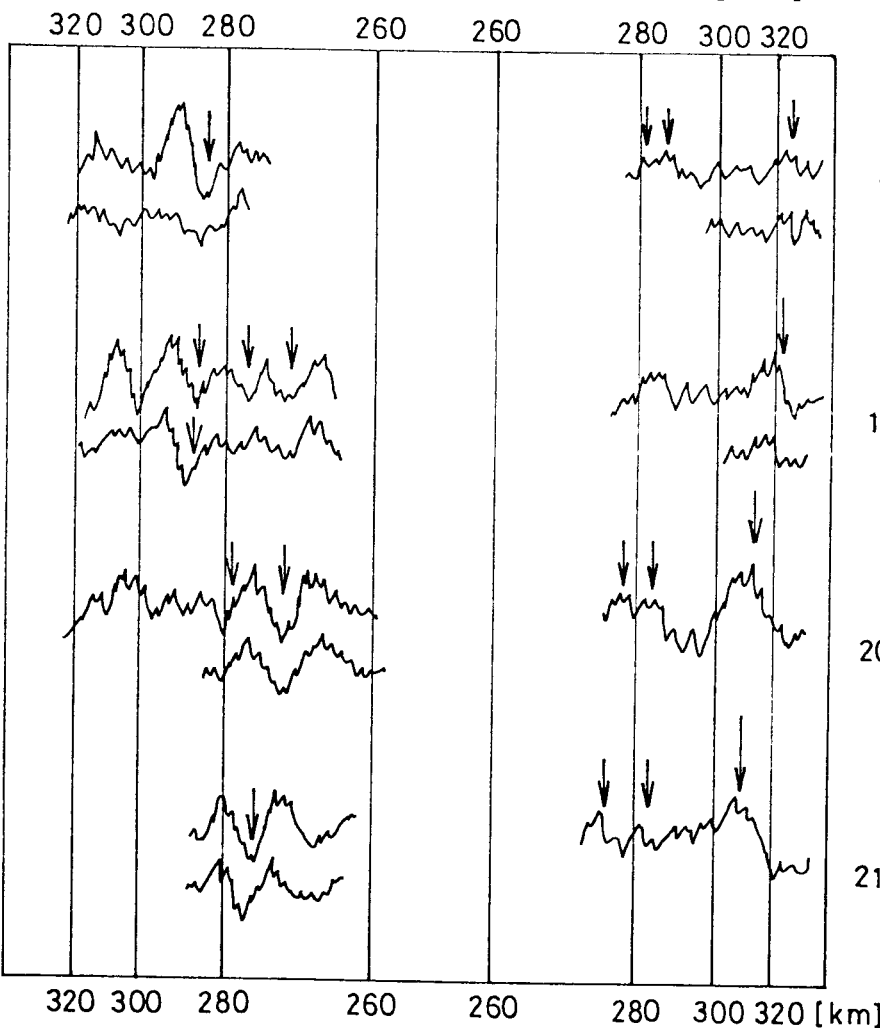
4.27. ábra

A sűrűség hullámszerű változása

Sajnos, szerzők ritkán közölnek hosszabb adatsorokat, amelyből az általunk bemutatotthoz hasonló légköri jelenségek kimutathatók volnának. Mégis sikerült egy kétségbenvonhatatlan esetet találnom Prölls és von Zahn egyik adatsorában [250]. Az ESRO-4 in situ méréseinél (N_2, O) olyan helyi maximumok-minimumok jelentkeznek, amelyek az egymásutáni vonulások folyamán magasságban vándorolnak, és amelyeket a szerzők is mint "travelling atmospheric disturbances"

azonosítanak. A 4.28. ábrán fentről le-

felé haladva következnek 4 egymásutáni vonulás mérési eredményei /a felső görbe mindig N_2 , az alsó O /. Az eltolódás megállapításának megkönnyítésére



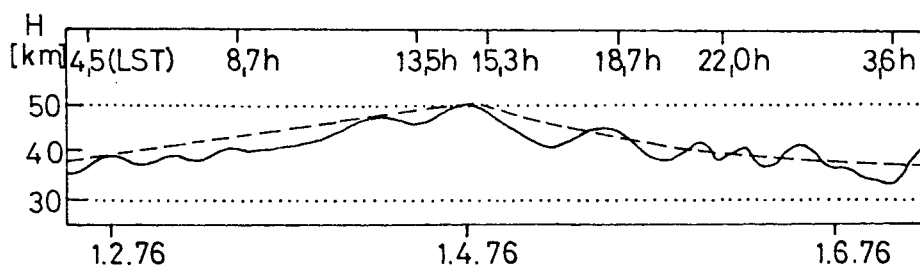
az ábrán végig meghúztuk a magassági vonalakat, és nyilakkal jeleztük azokat az alakzatokat, amelyeknek eltolódása felismerhető.

4.28. ábra

Magasságban eltolódó légköri perturbációk

Ugy véljük, hogy az általunk kimutatott profildeformációk azért is lényegesek, mert hozzájárulnak a modellek által sugallt stacionárius kép megváltoztatásához, ugyanugy, mint a geomágneses effektus kapcsán a globális cirkulációhoz kapcsolódó jelenségek.

A gazdag skálamagassági anyagunk lehetővé tette azt is, hogy vizsgáljuk a H időbeli változásait egy kiválasztott magasságban [105]. Az azonos vonások felderítése érdekében szimultán öt különböző magasságban végeztük vizsgálatainkat. Szemléltetésként bemutatjuk H változását 320 km magasságban kb. egy fél év folyamán, ami helyi időben mintegy 24 órának felelt meg /4.29. ábra/. Az ábrán a mért értékek 20 ponton át csuszó közepeléssel kapott görbéit mutatjuk be a CIRA-72 modellel való összehasonlíthatóság érdekében.

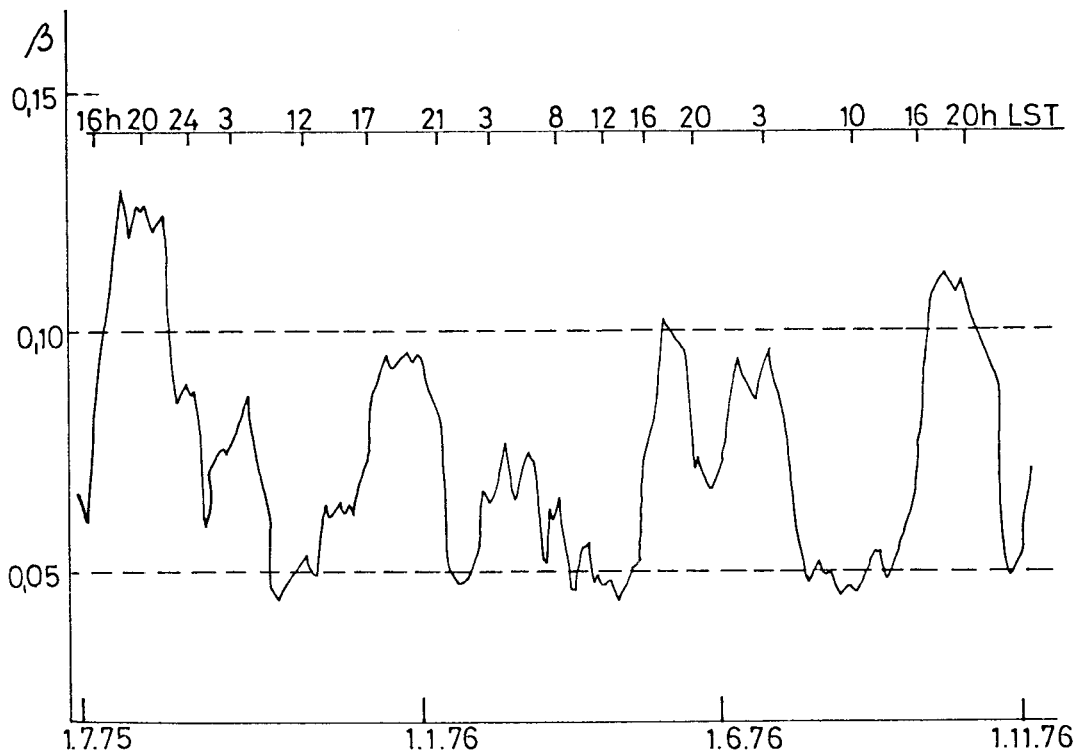


4.29. ábra

A H változása a helyi idő függvényében

Általánosságban megállapítható, hogy meglehetősen jó a modellel való egyezés. Az eltérések általában nem haladják meg a 20%-ot. A görbék legjellemzőbb vonása egy hosszuperiódusú változás, amely könnyen azonosítható a napszakos effektussal. A görbéken a maximum/minimum arányok 1,28-1,52 között változnak, vagyis mintegy 15%-kal magasabbak a modellbelieknél. Jellegzetessége a görbéknek az is, hogy naplemente táján kezdődik egy erős unduláció, amely csak éjfél után ér véget. Ehhez járul még hozzá az az éjszakai másodlagos maximum is, amelyet a napszakos effektussal kapcsolatban már említettünk. Sajnos jelenlegi modelljeink az energiaviszonyok éjszakai alakulásáról /geomágneses nyugodt időszakban!// szinte semmit sem mondanak, így az említett jelenségek magyarázatával is még várnunk kell. Mindezek a vizsgálatok azonban kétségtelenné teszik, hogy az EUV-sugárzás nem lehet az egyetlen energiaforrás, amelyből a felsőlégkör táplálkozik.

Az eddigi vizsgálatokból nyilvánvalóvá vált, hogy a sűrűségi skálamagasság nagy mértékben változó. Éppen ezért érdekes és főleg hasznos volna gradienseinek viselkedését ismerni. Sajnos, erre vonatkozó irodalom szinte nem is létezik. A $\beta = dH/dz$ tanulmányozása akkor lenne könnyű, ha volna analitikus kifejezésünk a hőmérséklet vertikális eloszlására a termoszférában. Ennek hiányában a gradienst mint differenciahányadost vizsgáltuk. A 340 km magasságra kapott eredményeinket a 4.30. ábrán mutatjuk be.



4.30. ábra *A skálamagassági gradiens változásai*

Mások elméleti számításai szerint [11, 148] csak annyit tudtunk megállapítani, hogy a mi adott viszonyaink között a gradiens átlagos értéke 0,05-0,09 és a nappali értékek nagyobbak az éjszakaiaknál.

Az ábránkról megállapítható, hogy a helyzet ennél komplikáltabb. Bár a modellbeli átlagérték tényleg jó egyezésben van a megfigyelttel, a napi változás távolról sem adható meg egy szinuszos görbével. Amint látható, 17-21 h helyi idő között mindig található egy fő-maximum, míg a főminimum 10-14 óra között jelentkezik. Szélsőértékek szempontjából β tehát éppen ellenkezőleg viselkedik, mint ahogy a modell szerint kellene. Érdekes, hogy 3 h tájban mindig jelentkezik egy másodlagos maximum is.

Skálamagassági vizsgálataink lezárásaképpen még megemlítjük, hogy ezzel a paraméterrel kiterjedten lehet hőmérsékletváltozásokat is vizsgálni /mint ahogy mi is tettük/, és a geomágneses effektus jelenségei is elemezhetők vele. Az sem utolsó szempont, hogy a számos formulában szereplő H skálamagasság értékét éppen az ilyen vizsgálatokkal lehet pontosítani.

5. §. A TERMOSZFÉRA UJABB MODELLJEI

Értekezésünk befejező részében szeretnénk azzal a kérdéssel foglalkozni, hogy a felsőlégköri kutatások eredményei hogyan tükröződnek az utóbbi évek modelljeiben. Egy évtizeddel ezelőtt könnyű lett volna egy részletes helyzetképet rajzolni, hiszen a 70-es évekig - egy kis tulzással - a Jacchia-modellek hierarchiájáról lehetett beszélni, főleg, ha figyelembe vesszük, hogy végeredményben a CIRA-modellek /és bizonyos fokig az U.S. Standard Atmosphere modellek is/ nagyrészt az ő eredményeit és koncepcióját tükrözték.

Azóta megváltozott a helyzet. A felsőlégkör, ezen belül főleg a termoszféra kutatása nagyon fellendült azáltal, hogy a holdak fékeződési adatai mellett nagy mennyiségben váltak hozzáférhetővé a legkülönbözőbb technikával végzett in situ mérések eredményei és az inkohereus szóródásból nyert /elsősorban hőmérsékleti/ adatok. Ugyanakkor a számítástechnika már annyira kifejlődött és elterjedt, hogy még kisebb kutatóhelyeken is kialakultak a nagytömegű adatfeldolgozáshoz szükséges feltételek. Mindez azt eredményezte, hogy ma már a termoszféra modelljeinek részletes ismertetése külön tanulmányt igényelne. Így értekezésünkben terjedelmi okok miatt sem vállalkozhatunk minden modell ismertetésére, és csupán az utolsó évtizednek azokkal a modelljeivel foglalkozunk, amelyek alkalmasak az eredmények és problémák jelenlegi helyzetének bemutatására.

A ma létező modellek számáról és jellegéről legkönnyebben egy táblázatos felsorolás keretében kaphatunk képet. A Jacchia-típusu modelleket nagy részletességgel ismertette Almár Iván a doktori disszertációjában [7], így azokat - noha ma is használatban vannak - nem vesszük be a felsorolásba. Felsorolásunkban /egy kivétellel/ olyan modelleket szerepeltetünk, amelyeknél a modellezéshez azonos matematikai apparátust, szférikus harmonikusok sorozatát használták /a módszert később ismertetjük/. A szereplő modellek másik jellegzetessége, hogy általában ~~nem~~, vagy nem csupán fékeződéses adatokat használtak készítésükénél. Ez utóbbi szempont miatt kapott helyet a J-77 modell is, noha nem gömbfüggvényeket használ.

Az in situ méréseket az alábbi holdakon elhelyezett műszerekkel nyerték: OGO-6, ESRO-4, San-Marco-3, Aeros-A, Aeros-B, AE-B, AE-C, AE-E, Ariel-3. A modellekhez használt inkoherens szóródási méréseket 4 földi állomáson végezték: Arecibo, Jicamarca, Millstone Hill, St. Santin. E mérésekre történő utalásoknál az IS rövidítést használjuk, fékeződéses adatoknál: DR, interferométeres méréseknél: IF. A táblázatban a T_{ex} rövidítés mellett zárójelben jelezzük, hogy az exoszférikus hőmérsékletet mely légköri komponens profiljából, vagy milyen technikával határozták meg. Minden modellnél csak az elsőnek feltüntetett szerző nevét adjuk meg, a publikálás évével és saját irodalmi jegyzékünk hivatkozási számával. Ezen kívül utalunk rá, hogy milyen eredetű paramétereiből kiindulva, a modell milyen paramétereket ad meg, vagy hogy a modell milyen változást tartalmaz egy korábbi modellhez képest.

Fentiek alapján az alábbi modelleket kívánjuk megemlíteni:

1. OGO-6 modell Hedin et al., 1974, [61] semleges tömegspektrométeres adatokból: $T_{ex}(N_2)$, N_2 , O, He
2. J-77 modell /Jacchia, 1977, [128]/ holdak fékeződéséből és spektrométeres adatokból: $T_{ex}(DR)$, Ar, N_2 , O_2 , O, N, He, H. Hosszusági effektus bevezetése a geomágneses effektusnál.
3. MSIS modell Hedin et al., 1977, [63] semleges és ion tömegspektrométeres adatokból, IS-mérésekből: $T_{ex}(N_2)$, $T_{ex}(IS)$, Ar, N_2 , O_2 , O, He, H.
4. M-1 modell Thuillier et al., 1977, [212] fedélzeti Fabry-Perot interferométeres mérésekből: $T_{ex}(IF)$
5. M-2 modell Thuillier et al., 1977, [211] az M-1-nél használt adatokat IS-mérésekkel kombinálva: $T_{ex}(IS,IF)$.
6. ESRO-4 modell von Zahn et al., 1977, [230] fedélzeti gázanalizátor adataiból: $T_{ex}(Ar)$, $T_{ex}(N_2)$, Ar, N_2 , O, He.
7. DTM modell Barlier et al., 1978, [18] holdak fékeződési adatait az M-2 hőmérsékleteivel és MSIS H-koncentrációival kombinálva: $T_{ex}(DR)$, N_2 , O, He.
8. TO-TE modell Blum et al., 1978, [251] tömegspektrométeres koncentrációváltozásokból: T_{ex} és a turbopauza magasságának változásait adja meg.
9. MSIS-2 modell Hedin et al., 1979, [252] az MSIS-nél használt adatokból de földrajzi szélességektől-hosszuságoktól függő tagok hozzáadásával.

10. AEROS modell Köhnlein et al., 1979, [253] semleges és ion tömegspektrométeres adatokból $T_{ex}(N_2)$, Ar, N_2 , O, N, He (4h és 16h helyi időre)
11. ESRO-4/2 modell Laux et al., 1979, [254] az ESRO-4-nél használt adatokból, de földrajzi szélességtől/hosszuságtól függő korrekciós tagok beiktatásával.
12. M-3 modell Thuillier et al., 1979, [255] az M-2-nél használt adatok, de hosszúsági effektus bevezetésével a geomágneses effektusnál.
13. C modell Köhnlein, 1980, [256] semleges és ion tömegspektrométeres adatokból, interferométeres mérésekből, IS-adatokból: T_{ex} , Ar, O_2 , N_2 , O, He, H.
14. OGO-6/2 modell Stehle et al., 1982, [257] az OGO-6 adataival, de mágneses effektus finomításával.

Ismételten szeretnénk hangsúlyozni, hogy felsorolásunk csak a fontosabb, bizonyos tudományos visszhangot elért modelleket tartalmazza. A még így is bőséges felsorolás indokolja eklektikus szempontjaink érvényesülését.

Ugy véljük, további tárgyalásunkat célszerű lesz két részre bontani. A csak fékeződéssel alapuló modellekben a hőmérséklet még csupán egy formális paraméter szerepét töltötte be, viszont ma már a modellek egyik legfontosabb, teljes értékű fizikai változója. Ezért külön foglalkozunk majd a hőmérsékleti modellekkel. Nagy számuk miatt egyet részletesen ismertetünk, majd ennek eredményeit más modellbeli adatokkal összehasonlítva igyekszünk megfelelő következtetéseket levonni.

Ezután a totális /semleges/ sűrűség, ill. egyes légköri komponensek globális eloszlásáról és változásairól adunk képet, amikor összehasonlítjuk, hogy ugyanazt az effektust milyenek írja le egy-egy modell. Végül, az összehasonlításokból nyert tapasztalatok alapján összefoglaljuk, hogy véleményünk szerint hol tart a felsőlégkör kutatás, és milyen irányban lenne azt célszerű folytatni.

5.1. Hőmérsékleti modellek

Ma már sokféle hőmérsékleti modellt ismerünk. Ezeket lehet ugyan teoretikus, empirikus vagy szemipirikus modelleknek nevezni, de az első két esetben az elnevezés formális. Hiszen, mint ahogy nem létezik tisztán elméleti

modell, ugyanugy az empirikus modellek sem nélkülözhetnek bizonyos elméleti részeket. Így tehát a legtöbb modell a szemempirikus csoportba tartozik.

Még az utóbbi évtizedben született hőmérsékleti modellek jelentékeny része is valójában Jacchia módszerén alapul. Ő ui. bizonyos, /a turbopauza környékén felvett/ alsó határfeltételekből kiindulva /próbálgatással/ megkereste azt a hőmérsékleti profilt, amelynek hőmérsékleti adatait sűrűségértékek kiszámítására használva, optimálisan tudta reprodukálni a megfigyelt /fékeződésből levezetett/ sűrűségeket. Ezt a módszert alkalmazták többen az in situ méréseknél a légkör egyes komponenseire külön-külön kapott parciális sűrűségekre.

A módszer alkalmazása nyilván csak olyan légköri komponens esetében lehet sikeres, amelynek alsó határfeltételei jól ismertek. Ezt az általunk kevésbé ismert dinamikai folyamatokra nagyon érzékeny O és He esetében nem állíthatjuk, de többen használták a hőmérséklet indikátorául az N_2 parciális sűrűségét, néhányan pedig az Ar-ét /1. a modellek felsorolásánál!/. Kiderült, hogy főleg az N_2 horizontális és vertikális eloszlása jobban tükrözi a hőmérséklet globális eloszlásait, mint a semleges totális sűrűség. Bár az N_2 és az Ar izopiknikus görbéi nagyon hasonlítanak egymásra, von Zahn kimutatta [230], hogy az Ar-ból levezetett exoszférikus hőmérsékletek szisztematikusan magasabbak, a hőmérsékleti gradiensek pedig kisebbek, mint az N_2 esetében. Hasonló eredményeket kapott Keating is, amikor az ESRO-4 gázanalizátorának Ar, N_2 és O koncentrációit használta. A kapott exoszférikus hőmérsékletek rendre $1029K^{\circ}$, $754K^{\circ}$ és $730K^{\circ}$. Az ellenőrzésképpen a skálamagasságból számított hőmérsékletek N_2 és O esetében hasonló értékeket adtak / $780K^{\circ}$ és $685K^{\circ}$ /.

Nagyobb megbízhatósággal, jó elméleti megalapozottsággal lehet meghatározni a termoszféra hőmérsékletét un. radar módszerekkel. Nagy teljesítményű, földi radarberendezések, amelyek az 0,1-1 m-es sávban működnek, képesek arra, hogy detektálják azokat a kisamplitudójú fluktuációkat, amelyek az ionoszférában észlelhetők, az elektronok és ionok véletlenszerű termikus mozgása következtében. Ez a hullámvisszaverődési jelenség kapta az "inkoherens szóródás" vagy "Thomson-szóródás" elnevezést. A módszert az alapozta meg, hogy sikerült tisztázni, hogy milyen a spektruma egy plazma elektronjai által szórt elektromágneses hullámcsomagnak. Gyakorlatilag a kívánt magasságban történő szóródást úgy lehet vizsgálni, hogy az előre kiszámított késéssel jelentkező visszaverődéseket kapuzzák /mivel a terjedési sebesség ismert/. A vett visszavert teljesítmény az elektronok koncentrációjától függ, míg a visszavert jelek Doppler-kiszélesedése az elektronok hőmérsékletén múlik. A reflektált

jelspektrum egyéb tényezői mind az elektronhőmérséklettől, mind az ionhőmérséklettől és az alapvető ionok relatív gyakoriságától függ. Fenti paraméterekből, jól megalapozott elméleti feltevésekkel a semleges hőmérséklet is meghatározható.

Ilyen, inkohereus szóródásból származó adatokkal többen készítettek hőmérsékleti modellt. Így pl. Waldteufel és Cogger 1971-ben [224], Swartz et al., [209] 1972-ben. Bár az e módszerrel kapott semleges ill. exoszférikus hőmérsékleteket megbízhatónak tartják, szigorúan véve azok csak arra a szélességi tartományra vonatkoznak, ahol a mérőállomások elhelyezkednek. Mivel ilyen méréseket eddig csak egy nagyobb északi és kisebb déli szélességi sávban végeztek /50N és 12S között/, az ezekből levezetett modellek egyrészt szimmetrikusak az egyenlítőre, másrészt kevésbé pontosak nagyobb szélességeken. Ennek ellenére, értéküket bizonyítja, hogy pl. Hedin et al., Thuillier et al., a radarszórás mérésekkel kombinálta az in situ mérésekkel kapott adatokat, hogy hőmérsékleti modelljüket javítsák.

Több felsőlégköri hőmérsékleti modell esetében szoktak "közvetlen" mérésekről beszélni. Ezt természetesen fenntartással kell fogadni, hiszen itt is csak arról van szó, hogy olyan jelenségeket mérnek, amelyek nem áttételesen, hanem közvetlenül hozhatók kapcsolatba a hőmérséklettel. Így pl. meghatározható a semleges hőmérséklet az N_2 molekulák sebességeloszlásából /Spencer/ vagy különböző atomok vonalainak Doppler-kiszélesedéséből; ezt a módszert többen is használták /Chanin, Biondi, Blamont etc./. E modellek sorában talán a "legközvetlenebb" az amelyet Thuillier et al., [212] a 630 nm hullámhosszúságú vonal spektrális profiljának kiméréséből kapott hőmérsékletek alapján készítettek. Ezt a modellt és készítésének módját az alábbiakban kissé részletesebben ismertetjük

Hedin et al. [61] vezette be elsőnek a modellkészítésben azt a módszert, hogy a szóbanforgó paraméter, pl. az exoszférikus hőmérséklet, a sűrűség stb. globális eloszlásának leírására egy olyan $G(L)$ függvényt használ, amely az összes feltételezhető változásnak az asszociált Legendre-féle polinomok egy sorozatával biztosít helyet a készítendő modellben. Ilvmódon a modell elkészítése az a matematikai eljárás, amelynek során a rendelkezésre álló mérési adatokból, alkalmasan választott hipotézisek mellett, meghatározzuk a polinomokhoz tartozó elvitthatók /harmonikusok/ értékét. Empirikus modellek készítésénél különösen előnyös, hogy ennél az eljárásnál elvileg a legfinomabb

részletek is beépíthetők a modellbe, pusztán a harmonikusok számának növelésével. További előny, hogy a gömbfüggvények könnyen kezelhetők és tulajdonságaik jól ismertek. Viszont az is igaz, hogy ezzel a módszerrel csak előre feltételezett effektusok mintázhatók meg, és figyelembe nem vett /de létező/ jelenségek eltorzíthatják a számításba vett hatásokkal kapcsolatos koeficiensek értékét. A módszert egy lehetséges hőmérsékleti modell elkészítésének felvázolásával ismertetjük.

Legegyszerűbb esetben a hőmérsékletet a következő alakban állítjuk elő:

$$T_{\text{ex}} = A_1 \cdot G(L)$$

ahol

A_1 = konstans, a $G(L)$ pedig tartalmazni fogja mindazokat a változó paramétereket, amelyek feltételezésünk szerint közrejátszanak a hőmérséklet kialakításában, a termoszféra egy tetszőlegesen kiválasztott pontjában. Eddigi tapasztalataink szerint a kialakuló exoszférikus hőmérséklet függvénye a szoláris fluxusnak, a geomágneses tevékenységnek, a földrajzi szélességnek, a helyi időnek, és az évszaknak. Sajnos, nem tudjuk, hogy ezen kívül milyen egyéb paraméterek befolyásolják a hőmérsékletet, így a modell készítésénél el kell fogadnunk, hogy fenti paraméterek egyértelműen meg is határozzák a hőmérsékletet. Ezért a modell készítésénél a következő változókat fogjuk használni: helyi idő (t), pólustávolság (θ), időpont az év folyamán (d), a szoláris fluxus előző napi értéke (F), a szoláris fluxus 3 napotációra átlagolt értéke (\bar{F}), valamint geomágneses index (K_p).

A $G(L)$ függvény teljes általánosságban a következő alakban írható fel:

$$G(L) = F_1 + \sum_{q=1}^{\infty} a_{q0}(\theta) + (1+F_1) \sum_{p=1}^{\infty} b_{p0}(\theta) \cdot \cos p\Omega(d-\phi_p) + \\ + (1+F_1) \cdot \left\{ \sum_{n=1}^{\infty} \sum_{m=1}^n c_{nm} \cdot P_{nm}(\theta) \cdot \cos m\omega t + d_{nm} \cdot P_{nm}(\theta) \cdot \sin m\omega t \right\}$$

A szereplő szférikus függvények értékét a következő összefüggés adja meg:

$$P_{nm}(x) = \frac{1}{2^n \cdot n!} (1-x^2)^{m/2} \frac{d^{n+m}}{dx^{n+m}} (x^2-1)^n ; \quad x = \cos\theta = \sin(90^\circ-\phi)$$

ezen kívül: $\Omega = 2\pi/365 \text{ nap}^{-1}$
 $\omega = 2\pi/24 \text{ h}^{-1}$

Pontossági megfontolások azt mutatják, hogy a szóbjöhető effektusok leírásához esetenként az első néhány harmonikus elegendő. A sorbafejtés a mi esetünkben pl. a következő tagokat tartalmazhatja:

a/ Időtől független tagok:

$$1 + A_2 P_{20} + A_3 P_{40}$$

ahol:

$$P_{20} = \frac{1}{2}(3\sin^2\phi - 1)$$

$$P_{40} = \frac{1}{8}(35\sin^4\phi - 30\sin^2\phi + 3) \text{ és } \phi \text{ a földrajzi szélesség.}$$

b/ A hőmérséklet kialakulásában és eloszlásában, valamint időbeli változásaiban lényeges szerep jut a szoláris fluxusnak. Hatásának figyelembevételénél megengedünk egy lineáristól való eltérést, és egy /tapasztalatok alapján sejtett/ "telítési" effektust:

$$F_1 = A_4(\bar{F} - \bar{F}) + A_5(\bar{F} - \bar{F})^2 + A_6(\bar{F} - 150)$$

c/ A geomágneses effektust tekinthetjük pl. szélességtől függő, de az egyenlítőre szimmetrikus jelenségnek, és indikálására pl. a K_p indexet használhatjuk /vagy bármely másikat/:

$$M = (A_7 + A_8 P_{20}) K_p$$

d/ A hőmérséklet az év folyamán változik. Feltételezésünk szerint e változásnak van legalább egy egyéves és egy féléves komponense, és mindegyiknél megengedünk az egyenlítőre vonatkoztatott aszimmetriát is. Mindegyik komponens F_1 -en keresztül kapcsolatban van a naptevékenységgel is. Ekkor az egyéves szimmetrikus komponens a következő alakú lehet:

$$AN1 = (1 + F_1) \cdot (A_9 + A_{10} P_{20}) \cdot \cos\Omega(d - A_{11})$$

e/ A szimmetrikus féléves komponens:

$$SAN1 = (1+F_1) \cdot (A_{12} + A_{13} P_{20}) \cdot \cos 2\Omega(d-A_{14})$$

f/ Az egyéves aszimmetrikus komponens:

$$AN2 = (1+F_1) \cdot (A_{15} P_{10} + A_{16} P_{30} + A_{17} P_{50}) \cdot \cos\Omega(d-A_{18})$$

ahol:

$$P_{10} = \sin \phi$$

$$P_{30} = \frac{1}{2}(5\sin^2\phi - 3)\sin\phi$$

$$P_{50} = \frac{1}{8}(63\sin^4\phi - 70\sin^2\phi + 15)\sin\phi$$

g/ A féléves aszimmetrikus komponens:

$$SAN2 = (1+F_1) \cdot A_{19} P_{10} \cdot \cos 2\Omega(d-A_{20})$$

Amint látható, modellünkben megengedjük, hogy a szimmetrikus és aszimmetrikus komponensek mindegyike különböző fázisu legyen.

h/ A hőmérséklet napi változásánál az árapályhatást figyelembe véve fél- és harmadnapos komponens is célszerű a modellbe építeni. Az egynapos periódusu komponensnek is viszonylag összetettnek kell lennie:

$$DI = (1+F_1) \{ [A_{21} P_{11} + A_{22} P_{31} + A_{23} P_{51} + (A_{24} P_{11} + A_{25} P_{21}) \cdot \cos\Omega(d-A_{18})] \cos\omega t + [A_{26} P_{11} + A_{27} P_{31} + A_{28} P_{51} + (A_{29} P_{11} + A_{30} P_{21}) \cdot \cos\Omega(d-A_{18})] \cdot \sin\omega t \}$$

ahol:

$$P_{11} = \cos\phi$$

$$P_{21} = \frac{3}{2} \sin 2\phi$$

$$P_{31} = \frac{3}{2} (5\sin^2\phi - 1)\cos\phi$$

$$P_{51} = \frac{1}{8}(315\sin^4\phi - 210\sin^2\phi + 15)\cos\phi$$

Látható, hogy a napszakos effektus tartalmaz a szélesség; előjelétől független, tehát szimmetrikus komponens (P₁₁, P₃₁, P₅₁). Ugyanakkor egyik komponense /d miatt/ az év folyamán változó mértékben járul hozzá a hőmérsékletéhez; és ennek egyik része független a szélesség előjelétől (P₁₁), másik része azonban aszimmetrikus az egyenlítőre nézve.

i/ A félnapos tag:

$$D2 = (1+F_1) \{ [A_{31}P_{22} + A_{32}P_{32} \cdot \cos\Omega(d-A_{18})] \cdot \cos 2\omega t + [A_{33}P_{22} + A_{34}P_{32} \cdot \cos\Omega(d-A_{18})] \cdot \sin 2\omega t \}$$

ahol: $P_{22} = 3 \cos^2\phi$ és
 $P_{32} = 15 \cdot \sin\phi \cos^2\phi$

j/ A harmadnapos tag:

$$D3 = (1+F_1) \cdot (A_{35}P_{33} \cdot \cos 3\omega t + A_{36}P_{33} \cdot \sin 3\omega t)$$

ahol: $P = 15 \cdot \cos^3\phi$

Ha más effektusokat nem kívánunk szerepeltetni a modellben, akkor a modell elkészítése fentiek szerint 36 db. A_i koefficiens meghatározását jelenti. A modell elkészülése után az exoszférikus hőmérséklet mindössze egyszerű összegezéssel kapható meg:

$$T_{ex} = A_1 \cdot (\text{konst.} + F_1 + M + AN1 + SAN1 + AN2 + SAN2 + D1 + D2 + D3)$$

Thuillier és társai ezt a fentebb vázolt modellt készítették el. A méréseket az OGO-6 holdon elhelyezett Fabry-Perot-féle interferométerrel, 15 hónapon keresztül nyert adatsor szolgáltatotta. Igen alapos hibaelemzéssel állapították meg azokat a kritériumokat, amelyeknek teljesülése szavatolta a mérések használhatóságát. Így a modell készítésénél végülis a rendelkezésre álló adatoknak csupán mintegy 20%-át /47.331 adatot!/ használták fel, és ezek a 240-290 km-es magassági tartományra vonatkoztak. Külön gondot fordítottak arra, hogy a felhasznált adatok a hőmérséklet kialakításában szereplő valamennyi paraméter szerint lehetőleg egyenletes eloszlást mutassanak.

Az így kiválasztott adatok segítségével a modell 36 db. A_1 koefficiensét a legkisebb négyzetek módszerének egyik változatával határozták meg. Modelljük főbb vonásait elemezve néhány megállapítást lehet tenni.

A modell által adott hosszuperiódusu változásokat IS-hőmérsékletekkel összehasonlítva általában jó egyezés adódik. Így pl. 45° szélességen egy hosszabb időintervallumban a modell az IS-hőmérsékleteket $\pm 20 \text{ K}^\circ$ maximális eltéréssel tudta reprodukálni [212].

Globálisan a modell hőmérséklete átlagosan $40-100 \text{ K}^\circ$ -nel alacsonyabb mint az ESRO-4 megfelelő adatai, ugyanakkor a pólusokra kapott hőmérsékletek $100-140 \text{ K}^\circ$ -nel magasabbak, mint a J-71-ben. Ehhez járul még egy erős észak-déli aszimmetria. Ennek egyik karakterisztikus vonása, hogy a napszagos dudor /bulge/ hőmérséklete 35 K° -nel magasabb, ha a déli félteke felett van /összhangban az észak-déli aszimmetriával kapcsolatos saját, fentebb említett eredményeinkkel!/. Az is érdekes, hogy az aszimmetria a szélességgel nő: 60° -nál már $83\text{K}!$.

A napszagos effektus maximuma a modellben 17-18 h LST között változik az év folyamán. Ez lényeges eltérés pl. a J-71 modellhez képest, de teljes összhangban van az IS-mérésekből kapott időpontokkal. Bár az összehasonlítások szerint a napszagos effektus modellezése jól sikerült, az IS-mérésekhez képest szisztematikus eltérések jelentkeztek. Egyrészt az effektus $A = T_{\max}/T_{\min}$ amplitudója szisztematikusán kisebb, és az eltérés a szélességgel nő a maximális kb. 10 % értékig. Ezek az eltérések a J-71-hez és az ESRO-4-hez képest is fennállnak. Másrészt, a decemberi napforduló idején a napi maximális hőmérséklet, valamint a helyi nyár idején a reggeli hőmérséklet is kb. 50 K° -nel kisebb, mint az IS-méréseknél.

Ezek a szisztematikus eltérések késztették a szerzőket arra, hogy egy újabb, javított modellt készítsenek [211]. Az új modell /M-2/ készítésénél az eredetileg használt 47.331 IF-adatot kiegészítették 11.339 IS-méréssel, mivel ezek időbeli felbontása helyi időben lényegesen jobb. Az új modellben tényleg sikerült megnövelni a T_{\max}/T_{\min} amplitudót, ha nem is a kívánt mértékben, és az említett hőmérsékleti eltérések is lényegesen csökkentek.

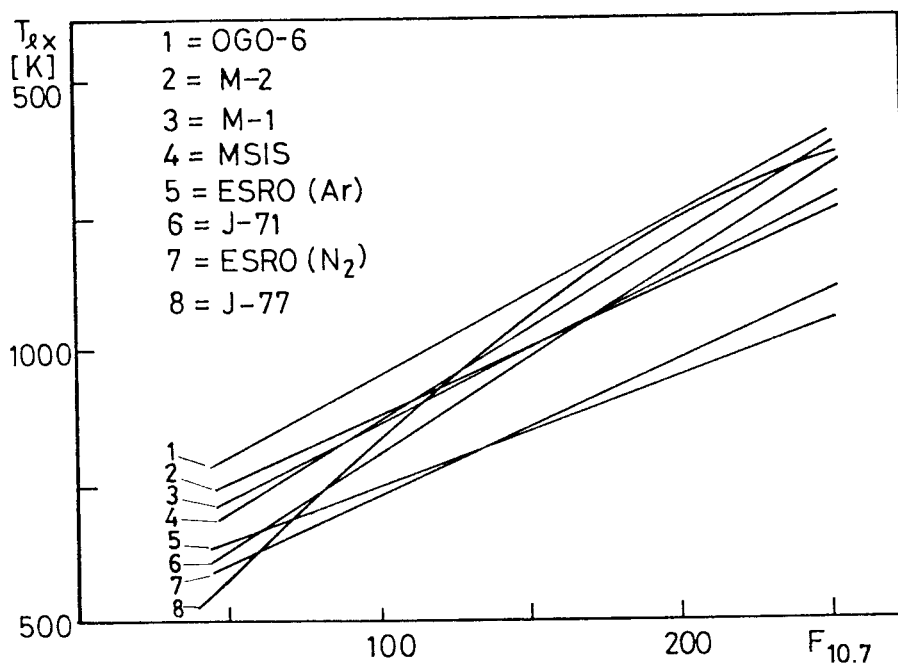
A továbbiakban már nem foglalkozunk a modellszítéssel, hiszen a bemutatott matematikai apparátus használata esetén lényegében ugyanazok a lehetőségek és nehézségek adódnak, mint a bemutatott esetben. Érdekes azonban néhány modell eredményét összehasonlítani. Tekintve, hogy jelenlegi ismereteink szerint az exoszférikus hőmérséklet legfőbb meghatározója a

szoláris EUV-sugárzás, igen fontos annak vizsgálata, hogy az egyes hőmérsékleti modellek szerint miképpen függ a T_{ex} exoszférikus hőmérséklet a /jobb híján/egységese indikátorként használt F deciméteres fluxustól. Ezt a relációt mutatjuk be az 5.1. ábrán, egyenlitői vidékre, $F=\bar{F}$ és $K_p = 2$ esetre. Ekkor a $G(L)$ függvény idevonatkozó tagjai közül:

$$1 + A_2 P_{20} + A_3 P_{40} + A_4 (F-\bar{F}) + A_5 (F-\bar{F})^2 + A_6 (\bar{F}-150)$$

szerepel elvileg, de a 4. és 5. /valamint $\bar{F} = 150$ esetén a 6. tag is/ nullázódik.

Első megállapításunk, hogy a J-77 lényegesen eltér az összes többitől: jóval nagyobb a görbe kezdeti meredeksége, amely \bar{F} növekedésével csökken /a többi modell a négyzetes tag 10^{-3} rendű/. Mivel nincs objektív



5.1. ábra

Az exoszférikus hőmérséklet \bar{F} függvényében, különböző modellek szerint

kritériumunk valamely modell preferálására, célszerű azt vizsgálni, hogy legkedvezőtlenebb esetben két modell mekkora maximális eltéréssel adja meg a T_{ex} exoszférikus hőmérsékletet. Az ábráról leolvasható, hogy $\bar{F} = 50$ esetén az (1) és (8) modell

közötti különbség 200 K° , de $\bar{F} = 250$ -nél ez már 300 K° -re növekszik! Lényegesen javul a helyzet, ha az ESRO-4 méréseiből az Ar és N_2 profilok alapján levezetett hőmérsékletektől eltekintünk. Ekkor két modell között, $\bar{F} \geq 80$ esetén, a maximális eltérés kb. 120 K° . Bár ez már szépnek tűnő eredmény, kénytelenek vagyunk

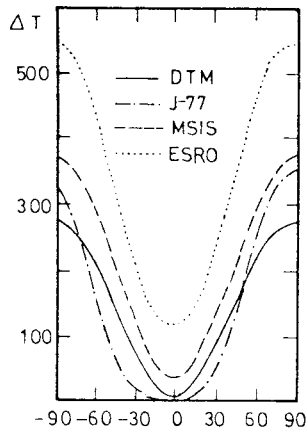
rámutatni, hogy ez a pontosság még nem tekinthető kielégítőnek. Ha ui. pl. a CIRA-72 modell alapján az átlagosnak tekinthető $T_{ex} = 800 K$ -ből indulunk ki, akkor a $\Delta T = 100 K$ hőmérsékletnövekedés 300 km, 500 km, 700 km magasságban rendre 44%, 112%, 108% sűrűségnövekedést eredményezne, vagyis a hőmérsékleti modellek közötti eltérések ekkora bizonytalanságot adnának a sűrűségértékekben. Már pedig ismeretes, hogy pl. az akcelerométeres sűrűségértékek hibája kisebb 3%-nál, de még a fékeződésből levezetett sűrűségértékek is ma már általában 10%-ra pontosak.

Áttérve a legnagyobb amplitudóju változásra, a napszakos effektusra, a fentiekhez hasonló megállapításokat tehetünk. Az egyes modellek közötti eltérések 100-200 K körüli értékeket is elérnek. Ez érthető, ha figyelembe vesszük egyrészt a holdakkal /in situ mérések esetén is!/ elérhető gyenge felbontást helyi időben, másrészt azt a tényt, hogy a hőmérséklet napi menete az év folyamán jelentősen változik /utalunk a 4. fejezetben, a napszakos effektussal kapcsolatos ábráinkra!/. Meg kell azonban említenünk, hogy az in situ mérések segítségével sikerült először kimutatni a félnapos és a harmadnapos periódusu változások realitását, az első harmonikus 20%-át ill. 15%-át kitevő amplitudóval. Ugyanakkor kiderült az is, hogy a napszakos effektus fázisa szélességfüggő. Így pl. a "déli" hőmérsékleti maximum előbb jelentkezik nagyobb szélességeken, és csak 1 - 1,5 óra múlva az egyenlítőn. Sajnos, a minimális és maximális hőmérséklet időpontjában az egyes modellek eléggé eltérnek egymástól. Példaképpen megemlítjük, hogy a szeptemberi napéjegyenlőségkor, egyenlítői vidékeken az extrémális hőmérsékletek időpontja /órában, helyi időben/ a különböző modellek szerint az alábbiak szerint adódik:

	J-71	OGO-6	K-75	MSIS	J-77	M - 1
T_{min}	2,9	4,5	3,0	3,1	5,4	5,5
T_{max}	14,1	16,4	15,0	16,0	16,8	17,6

A bemutatott példán látható, hogy az extrémumok időpontjának megadásában legalább 2 óra bizonytalansággal kell számolnunk, és ez oly nagy érték, hogy a további részletezésnek nincs értelme.

Nagy hőmérsékletváltozások léphetnek fel geomágneses viharok kapcsán, ezért érdemes megvizsgálni, hogy ezt különböző modellek hogyan írják le. Az 5.2. ábrán bemutatjuk, hogy 4 jólismert modell szerint egy $\Delta K_p = 5$ -tel jellemezhető geomágneses vihar 400 km magasságban mekkora hőmérsékletváltozást eredményez különböző szélességeken, őszi ekvinokciumkor, ha $F = \bar{F} = 150$.

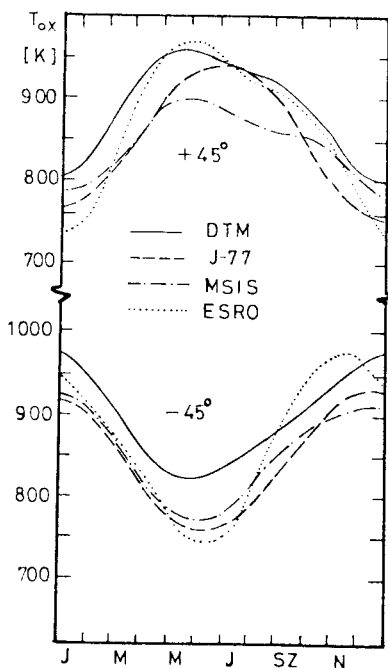


5.2. ábra

Geomágneses effektus a szélesség függvényében

Látható, hogy mindegyik modell szerint a felmelegedés mértéke erősen függ a szélességtől. Azonban, míg J-77 szerint az egyenlitői vidéken $\varphi = 20^\circ$ -ig nincs felmelegedés, addig a többi modell kisebb-nagyobb hőmérsékletnövekedést ad, ami az ESRO-4 szerint eléri a $160 K$ -t! Utóbbi modell "kilóg" a sorból, de ha csak a másik hármat tekintjük is, a szélső értékek között általában $100 K$ eltérés léphet fel, ami a sűrűségváltozások szempontjából igen nagy bizonytalansági tényező /mint fentebb bemutatottuk!/. Megjegyezzük még, hogy a hőmérsékleti geomágneses effektus a legtöbb modellnél mutat némi aszimmetriát, és a pólusok környékén egy "telitődést".

Befejezésül a napi átlaghőmérséklet éves menetét tekintjük, amely szintén a modell alapvető paramétereire közé sorolható. Jellemző példaként [19] alapján, az 5.3. ábrán ismét ugyanazon 4 modell görbéit mutatjuk be, átlagos körülményekre, vagyis $F = \bar{F} = 92$ és $K_p = 2$ esetre, 400 km magasságban, $+45^\circ$ és -45° szélességekre.



Érdekes megfigyelni, hogy a görbéken egy esetleges féléves komponens nyomai csak igen gyengén mutatkoznak, ami ismételten igazolja, hogy a sűrűségi féléves effektus nem magyarázható az exoszférikus hőmérséklet változásával. A meteorológiai /alsólégköri/ viszonyoktól való eltérést jelent, hogy az északi féltekén az évi maximális hőmérséklet április végén jelentkezik /csak J-77-nél van június végén/, míg a déli féltekén a napforduló táján. Az észak-déli aszimmetria további megnyilvánulása, hogy a $45^\circ N$ és $45^\circ S$ szélességekhez tartozó hőmérsékletek különbsége nagyobb a decemberi napfordulókör, mint a júniusi szolstícium idején. Ehhez járul, hogy az átlagos hőmérséklet

5.3. ábra A napi átlagos hőmérséklet évi menete

a napfordulók táján magasabb a déli féltekén, mint az északi félteke azonos szélességein /1. erre vonatkozó saját megállapításainkat/. Végül azt is meg lehet állapítani, hogy az 5.3. ábra tanúsága szerint az átlaghőmérséklet leírásánál a korábbinál nagyobb az összhang a modellek között, az eltérések általában nem nagyobbak 50 K° -nél.

Ugy véljük, hogy a legfontosabb paraméterek vonatkozásában áttekinthető képet adtunk a hőmérsékleti modellekről. Összefoglaló, kritikai-magyarító megjegyzéseinket a sűrűségi modellek hasonló ismertetése után tesszük meg.

5.2. A felsőlégkör komponenseinek modellezése

Mint fentebb már említettük, a felsőlégköri modellek készítésénél alapvető hipotézis, hogy kb. a turbopauzától kezdve a légköri komponensek diffúziós egyensúlyi állapotban vannak, így a hőmérséklet vertikális profilja meghatározza mind a totális /semleges/ sűrűséget, mind a légköri komponensek koncentrációját /sűrűségét/ egy adott magasságban. Ha tehát ismerjük azt az exoszférikus hőmérsékletet, amely ismert alsó határfeltételéből \downarrow kiinduló számításnál z magasságban az észlelt sűrűséget adja, akkor nemcsak a hőmérsékleti, de egyúttal a sűrűségi profilt is meghatároztuk. A most már fixált sűrűségadatokkal, szintén ismert határfeltételéből /koncentrációkból/ kiindulva az elfogadott hőmérsékleti profil megadja az egyes légköri komponensek koncentrációját, illetve azok vertikális profilját.

A fékezési adatokból készült modellek általában ^{1a} fenti eljárással készültek, és így elég sok hipotetikus elemet tartalmaznak. Biztos, hogy nagyobb magasságokban a légköri komponensek nagymértékben diffúziós egyensúlyi állapotban vannak, de kétséges, hogy ez minden komponensre pont a turbopauzától volna érvényes. Legtöbben egyetértenek abban, hogy 200 km-től kezdve ezek az aggályok nem indokoltak.

Az alsó határfeltételek megválasztásának is igen nagy jelentősége van. Tekintve, hogy 90-120 km magasságban, ahol a határfeltételeket fel szokták venni, műholdak tartósan nem keringhetnek, általában szporadikus mérésekkel vagy extrapolált adatokkal kell dolgozni. Bár IS-mérések arra utalnak, hogy pl. 120 km magasságban a hőmérséklet és gradiense is mutat kisebb évszakos változásokat, eddig kevés modell /pl. MSIS/ tért el a fix határfeltételek használatától.

Végül hipotetikusnak kell tekintenünk a modellhez a fentvázolt módon hozzárendelt hőmérsékleti profilt is, amely ideális feltételekre lenne érvényes. Azonban IS-mérésekből kapott hőmérsékletek szerint pl. a fékeződési adatokból kapott hőmérsékletek gyakran nem tekinthetők reálisnak. Ez azonban azt is jelenti, hogy a profil sem jó.

Kezdetben komoly eredménynek számított, hogy az említett bizonytalansági faktorok ellenére egyáltalán születtek légköri modellek, és ezek kisebb-nagyobb pontossággal képesek voltak leírni a felsőlégköri változásokat. Javulást eleinte úgy lehetett elérni, hogy a modelleket pontosabb, nagyobb mennyiségű és változatosabb geofizikai körülmények között gyűjtött adatokból szerkesztették meg. Azonban lényegi változás ~~még~~ csak akkor állt be, amikor a 70-es évek tömegspektrométeres mérései nem a totális sűrűséget, hanem az egyes légköri komponensek koncentrációit külön-külön is megadták. Ugyanakkor, mint az 5.1-ben láttuk, az IS-mérések más módszerektől független hőmérsékleti adatai felbecsülhetetlen szolgálatokat tettek mind a modellek hibáinak feltárásában, mind azok kijavításában.

A fejezet elején adott felsorolásban szereplő modellek tulnyomó többsége azzal az eljárással készült, amelyet az 5.1-ben részletezett hőmérsékleti modell kapcsán ismertettünk, ezért ezek készítési módjára nem térünk ki. Azonban érdemes foglalkoznunk a DTM-modell készítésével, mert a többitől eltérően a szerzők ennek készítésénél nem használtak in situ méréseket, de nem is fogadták el a többiek által alkalmazott eljárást az exoszférikus hőmérséklet meghatározására.

Modellszámításoknál meghonosodott az a szokás, hogy ha szükségünk van a z magassághoz tartozó /nem exoszférikus!/ hőmérsékletre, és el akarjuk kerülni a megfelelő egyenletek numerikus integrálását, akkor azt valamely bevált analitikus hőmérsékleti profil segítségével számítjuk ki. Többféle profil ismeretes, a DTM készítésénél az un. Walker-félét használták:

$$T(z) = T_{\text{ex}} - (T_{\text{ex}} - T_{120}) \cdot \exp(-S \cdot Z)$$

ahol: $S = s + (R + 120)^{-1}$

$$Z = (z - 120) \cdot (R + 120) / (R + z) \quad \text{és} \quad R = 6356,77 \text{ km}$$

Látható, hogy a profil használatához először is szükség van a T_{ex} exoszférikus hőmérsékletre. A DTM készítésének egyik ujszerű vonása éppen

az, hogy T_{ex} -et nem a fékeződéses adatokból vezették le, hanem az M-2 modell [211] hőmérsékleteit fogadták el.

Az alsó határfeltételként szereplő T_{120} az IS-mérések szerint az év folyamán 365 K° és 390 K° között, az s un. alakparaméter pedig $0,019$ és $0,025$ között változik. Ezek a változások azonban kevésbé ismertek, és elég kicsik, így a DIM a $T_{120} = 380\text{ K}^{\circ}$ és $s = 0,02$ fix határfeltételeket fogadta el a hőmérsékleti profilnál.

Amint láttuk, 3 adat segítségével tetszőleges $/120\text{ km-nél nagyobb/}$ magassághoz tartozó hőmérséklet kiszámítható. Azonban külön probléma az egyes komponensek részarányának megállapítása. Ezt a műveletet megkönnyítette az, hogy igen nagy adatbázis állt rendelkezésre a modell készítésénél: összesen több, mint 100 holdnak, 12 évre terjedő, mintegy 70.000 fékeződési adatából lehetett a mindenkori szempontok szerint válogatni. Erre a gazdag adathalmazra támaszkodva célul tűzték ki, hogy az ismertett módon, gömbfüggvények harmonikusainak sorozatával fejezzék ki nemcsak a teljes /semleges/ sűrűség időbeli és térbeli eloszlását, hanem a He, O, N_2 parciális sűrűségét is. Más szavakkal: a modell készítésénél 4×36 db. A_i együtthatót kell meghatározni.

Szellemes megoldás, hogy az iterációs folyamat kezdő értékeinek meghatározásánál a sok vonatkozásban jónak tartott MSIS-re, mint referenciamodellre támaszkodtak. Első lépésként a referenciamodell alapján választották ki az adatbázisból azokat a sűrűségértékeket, amelyeknél /a modell szerint/ a He teszi ki a teljes sűrűségnek legalább a 70%-át. E sűrűségadatokból levonták az O és N_2 MSIS szerinti parciális sűrűségeit, valamint az O_2 és H töredék-hozzájárulását, és az így kapott maradványsűrűségek képezték a He kezdőértékeit abban az iterációs folyamatban, amelyben a legkisebb négyzetek módszerével meghatározták az első 36 db. A_i együtthatót.

A heliumra így kapott első sorbafejtésből és az MSIS-ből vett N_2 -sűrűségekkel az adatbázisból most már azokat a sűrűségértékeket lehetett kiválogatni, amelyeknél az atomi O hozzájárulása a teljes sűrűséghez legalább 70%-ot tesz ki. Ezekből levonva a többi komponens modellbeli parciális sűrűségeit, a maradványsűrűségekből meghatározható az A_i együtthatók második, O-ra vonatkozó kezdőértékeinek sorozata. Hasonló eljárással kiválasztották azokat a sűrűségértékeket is, amelyekben az N_2 hozzájárulása legalább 50%-ot tesz ki, és így megkapták az annak megfelelő koefficienseket is.

Az ily módon meghatározott 3×36 db. A_1 koefficienssel, mint kezdő-értékkel azután elkezdtek egy - most már az MSIS-től független! - iterációs eljárást, amely 3 iteráció után stabilizálódott.

Az eljárás ismertetéséből nyilvánvaló, hogy a modell készítésénél minden egyes komponens esetében az adatoknak csak egy töredékét használták. Így pl. a He koefficiensének meghatározásánál 8.000 adatot használtak, az atomi O esetében 24.000-et, míg az N_2 -nél 4.000-et, vagyis összesen az adatbázisnak mintegy 50%-a került felhasználásra. Ez módot adott a készített modell pontosságának becslésére. A $\rho_{\text{obs}}/\rho_{\text{modell}}$ hányadosokat különböző paraméterek függvényében ábrázolva látszik, hogy azok 10%-nál kevesebbel térnek el az egységtől. Hasonlóan, a modell készítésénél használt 36.000 adatból képezve a hányadost, annak értéke 0,99, míg a teljes adatbázissal a hányados 0,975-re módosul. Az eredmény igen jónak mondható!

A modellt a későbbiekben más modellekkel fogjuk összehasonlítani, így most csak néhány jellegzetes vonását ismertetjük. Említésre méltó pl. a modell geomágneses effektusa. Közepes geomágneses vihar esetén ($\Delta K_p = 5$) mindhárom modellezett komponens igen erős, de egymástól eltérő szélességi effektust mutat. A N_2 koncentrációja egyenlitői vidékeken szinte nem is változik, de a szélességgel fokozatosan nő, és poláris vidéken már kétszerese a nyugalmi értéknek. Ugyanez a tendencia érvényesül nagyobb magasságban is, de 400 km-en a poláris érték már 10-szerese a nyugalminak, 600 km-en 13-szorosa, és 800 km-en több, mint 100-szorosa! Ezzel egyidőben az atomi O koncentrációja az egyenlitői vidéken 1,5-szeresére növekszik a vihar hatására, de ez a növekedés a szélességgel egyre csökken, és a póluson már csak a nyugalmi érték 0,4-szeresét kapjuk. Hasonló tendencia mellett 400 km-en a póluson a koncentráció éppen a nyugalmi értékre csökken, de ennél nagyobb magasságokban már megváltozik a kép: az O koncentrációja a szélességgel nő, és 600 km-en a póluson az arány 2,5, míg 800 km-en 5,8-szeres. A hélium viselkedése egyértelmű: az egyenlitői vidéken a magasságtól függetlenül 1,7-szeresére növekedett koncentráció minden magasságban a szélességgel csökken, pl. 200 km-en a póluson a nyugalmi érték 0,4-ére, 800 km-en a 0,7-ére.

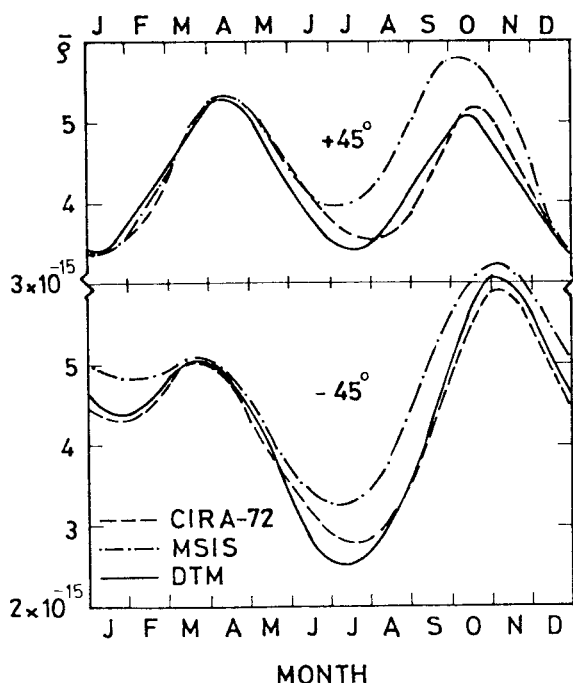
A fentieket úgy foglalhatjuk össze, hogy az N_2 koncentrációja minden magasságban a szélességgel erősen növekszik, a hélium viselkedése pont a fordítottja, bár kisebb amplitudóval, míg az O 500 km felett a N_2 -hez hasonlóan, 500 km alatt pedig a héliumhoz hasonlóan viselkedik.

Mindezek után igen érdekesnek mondható, hogy a totális sűrűségekben az eredő hatás sokkal mérsékeltebb: az egyenlitői vidéken tapasztalható egy néhányszor 10%-os sűrűségnövekedés, amely kis szélességfüggést mutatva a pólusokig még növekszik. A növekedés maximális 600 km-en ahol az arány eléri a 2,2 értéket.

Áttérve a napszakos effektusra, kétségtelenül a legfontosabb kérdés, hogy a sűrűség a nap folyamán mikor éri el maximális értékét. A totális sűrűség maximuma - ahogy ezt Jacchia mindig is állította! - 14 h körül következik be, függetlenül a magasságtól, kis eltérésekkel az év folyamán. Azonban a DTM szerint az egyes komponensek koncentrációja más-más időpontban kulminál, és az időpont a magasság függvénye is. Így pl. a N_2 maximuma az év folyamán 16-19 h LST körül van, az oxigéné 13-14 h táján, míg a héliumé 10 h körül jelentkezik /utóbbi két adat jól egyezik a J-77-tel, de ott N_2 maximuma 17 körül van/. Olyan magasságban, ahol pl. az atomi oxigén dominál, 400 km-en a totális sűrűség $\bar{F} = 150$ mellett 14 h körül éri el maximumát, és ez az időpont $\bar{F} = 92$ esetén eltolódik 15 h-ra. Ugyanakkor az N_2 kulminációja változatlanul marad 17 h táján, a héliumé is 10 h körül stagnál, de az oxigén maximuma 14 h-ról eltolódik 15 h-ra /ezt tükrözi a totális sűrűség is/. A napszakos effektus amplitudójában szépen megmutatkozik az exoszférikus hőmérséklet hatása is, ahogy azt a megfelelő helyen már említettük is /4.3-ban/. A DTM szerint 400 km magasságban, mialatt a \bar{F} fluxus 150-ről 92-re változott a totális sűrűség amplitudója 2,7-ről 3,1-re növekedett /míg a CIRA-72-ben 2,9-ről 4,0-ra/. Érdekes megjegyezni, hogy ebben a magasságban az N_2 amplitudója alig függ az exoszférikus hőmérséklettől, de igen nagy: kb. 5!

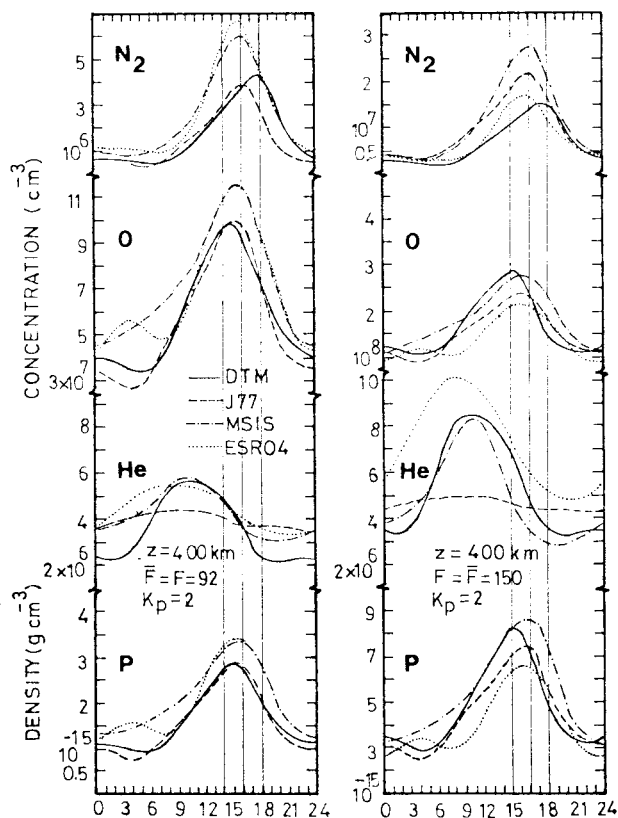
Végezetül érdemes megtekinteni, hogyan adja vissza a DTM a napi átlagos sűrűség éves menetét, pl. 400 km magasságban, a $45^\circ N$ és $45^\circ S$ szélességeken. Ezt az 5.4. ábrán mutatjuk be, az $F = \bar{F} = 150$ és $K_p = 2$ esetre. Összehasonlításként szerepeltetjük az MSIS és a CIRA-72 megfelelő görbéit is. Ezek segítségével rögtön meg is állapítható, hogy a DTM jó egyezést mutat a CIRA-72-vel, és az első félévben az MSIS-szel is. A második félévben fellépő eltérések feltűnőek ugyan, de általában 20% alatt maradnak, ami még éppen elfogadható.

Az is rögtön szembetűnik, hogy bár a féléves effektus mindkét szélességen pregnáns jelenség, a déli féltekén nagy eltérések mutatkoznak az északihoz képest. Ha figyelembe vesszük, hogy a görbéknek végeredményben az évszakos változásokat is tükrözniük kell /és azt, hogy nagyobb sűrűség magasabb hőmérsékletet jelent/, akkor a déli féltekén jobban érvényesülnek bizonyos földfelszíni évszakos jelenségek. Így pl. míg az északi féltekén nincs különbség a téli /jan./ és nyári /jul./ értékek között, addig a délin a nyári sűrűség /hőmér-



5.4. ábra

A napi átlagsűrűség éves menete



5.5. ábra

A napszakai effektus 4 modell szerint

séklet/ jóval nagyobb a nyárinál. De az észak-déli aszimmetria pl. abban is megmutatkozik, hogy a terület követő tavaszi felmelegedés a déli féltekén lényegesen nagyobb, mint az északin. Mindezek a jelenségek erőteljesen támasztják alá az aszimmetriával kapcsolatban /a 4.6-ban tárgyalt/ saját eredményeinket is.

A DTM modell néhány jellegzetességének bemutatása után azt vizsgáljuk, hogy néhány ismertebb modell hogyan ír le bizonyos légköri jelenségeket, és az összehasonlításokból igyekszünk következtetéseket levonni.

Az összehasonlításnál az ábrák zsufoltságának elkerülésére csak 4 modellt fogunk használni, de ezek a legismertebbek közül valók : DTM, ESRO-4, J-77 és MSIS. Az 5.5. ábrán bemutatjuk, hogy a modellek hogyan adják vissza a ρ , N_2 , O, He napszakai változásait, két különböző exoszférikus hőmérséklet mellett, egyenlítői vidéken, ekvinokciumkor.

A totális sűrűség változásánál a modellek közötti egyezés jónak mondható, főleg a kisebb hőmérsékletű esetben. A modellek közötti eltérések nappal kisebbek 20%-nál, éjjel azonban a legnagyobb érték a legkisebbnek kétszerese! Felmerül a kérdés, hogy az általunk kimutatott hajnali másodlagos maximum /l. 4.3-ban!/, amely igen jól látható az ESRO-4 görbében, miért nem mutatkozik a másik 3 modellben is?

A maximális sűrűség időpontjában mintegy 2 órás bizonytalanság mutatkozik. Az időpont egyedül a DIM-ben változik az exoszférikus hőmérséklettel.

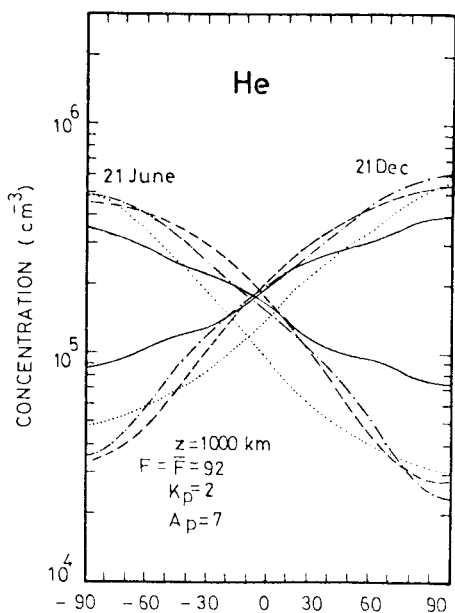
Feltűnő, hogy az ESRO-4 görbéi, az $\bar{F} = 150$ -nél általában szélső helyzetet foglalnak el. Ennek magyarázata lehet, hogy az ESRO-4 adatbázisa olyan időszakból származik, amikor $\bar{F} = 90$ volt, vagyis ilyen értelemben a jobboldali ábra ESRO-görbéi extrapoláltak. Általános tapasztalat /más modelleknél is/, hogy egy adott modell csak a készítéséhez használt adatok által reprezentált geofizikai paraméterek keretein belül képes megfelelő pontossággal leírni a légkör változásait, és extrapolációknál igen nagy hibák léphetnek fel.

Áttérve N_2 -re megállapítható, hogy a napszakos maximum időpontját illetően már 3 órás bizonytalanság mutatkozik a 4 modell között! Míg az éjszakai minimális sűrűsége minden egyes modell kb. ugyanazt az értéket adja, addig a maximális értékek nagyon eltérnek egymástól: a legnagyobb maximum a legkisebbnek 1,8-szerese. Ez a modellezés tehát még nem tekinthető kielégítőnek.

Fordított a helyzet az atomi O esetében, ahol éppen az éjszakai órákban nagy a bizonytalanság /egy 2,1-es faktor!/. Az éjszakai másodlagos maximum itt is /ugyanúgy, mint a totális sűrűségénél/ megjelenik, ami összhangban van azzal, hogy e magasságban az O domináns komponens.

Legrosszabb a modellek közti egyezés a He esetében, ahol a J-77 szerint szinte nincs is napszakos effektus, míg pl. a DIM és MSIS szerint ennek amplitudója 2,8. De nagy eltérések jelentkeznek a nap folyamán az egyes modellek között is, ami bizonyára azzal függ össze, hogy ebben a magasságban a He csekély koncentrációval szerepel, amit a spektrométerek eléggé pontatlanul mérnek. Ez lehet a magyarázata a He évszakos-szélességi változásainak leírásánál tapasztalható igen nagy eltéréseknek is, amit az 5.6. ábrán mutatunk be.

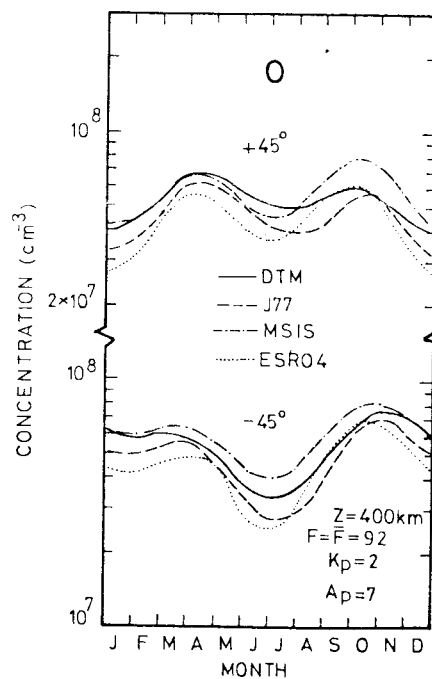
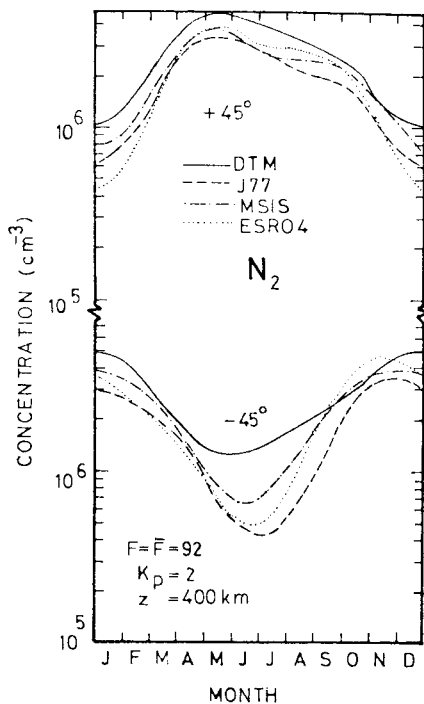
Jól látható, hogy egyenlítői vidéken a He koncentrációja télen és nyáron azonos, de a pólusokon télen sokkal nagyobb, mint nyáron. Sajnos, egy adott póluson a modellek igen nagy eltéréssel adják meg a koncentrációkat. A modellek által adott szélső értékek aránya az északi nyári póluson 5, a déli nyári póluson 3,5. De az un. téli hélium-bulge mértékére is nagyon különböző értéket adnak az egyes modellek. Így pl. míg az ESRO-4 szerint a déli féltekén a téli és nyári pólus koncentrációinak aránya 40:1, addig MSIS és J-77 szerint 15:1, és DIM szerint csupán 4:1; ugyanezek a számok az északi féltekénél 80:1, 25:1 és 6:1. Látjuk tehát, hogy a He évszakos-szélességi változásainak leírásánál a modellek közötti eltérések még nagyobbak, mint a napszakos effektusnál.



5.6. ábra

A helium évszakos szélességi változásai különböző modellek szerint

A modellek összehasonlításának lezárásaképpen az 5.7. ábrán bemutatjuk az N_2 és O napi átlagértékeinek évi menetét. A modellek közötti egyezés általában jobb 20%-nál, de a déli félteke telén az N_2 változásainak leírásában nagy eltérés van a modellek között / a szélső értékek aránya 2,8!/. Az O görbék évi menetében pregnánsan jelentkeznek a totális sűrűségnél már megismert féléves effektus, de az N_2 görbéken ennek csak a J-77 és az MSIS esetében látszik némi nyoma. Mindkét komponens feltűnő észak-déli aszimmetriát mutat. Kiemeljük, hogy míg a féléves effektus téli és nyári minimuma között az északi féltekén alig van különbség, addig az a délin egy 2-es faktort tesz ki. Ez a jelenség azzal jár, hogy a déli féltekén nagyobb az O cirkulációja, mint az északon.



5.7. ábra

Az N_2 és O napi átlagértékének évi menete

A modellek összehasonlítására bemutatott görbék elemzését még lehetne részletekbe menően folytatni, de azt terjedelmi okok miatt sem tehetjük. Azonban az eddigiek is lehetővé teszik néhány tanulság levonását, ha figyelembe vesszük, hogy más modellek összehasonlítása [151] ugyanazt a képet adja, mint amit a fentiekben bemutattunk: a nagy vonásokban mutatkozó igen jó egyezés mellett, a részletekben meghökkenítő és elfogadhatatlan eltérések jelentkeznek.

Egy tökéletes modellnek meg kell adnia a felsőlégkör minden fontosabb paraméterét, de nemcsak a múltban, vagy a jelenben, hanem a jövőben is. Ha figyelembe vesszük, hogy mindegyik modelltől a készítői azt állítják, hogy a ténylegesen megfigyelt adatokat reprodukálják "racionálisan elvárható pontossággal", akkor az összehasonlítások tükrében nyilvánvaló, hogy a mai szemi-empirikus modellek nem képesek a légkör kellő pontosságú leírására tetszőleges, a készítésükhöz használt adatoktól lényegesen eltérő geofizikai viszonyok között. Ezen nem is szabad csodálkoznunk, ha azt tekintjük, hogy egy mai modelltől megkapjuk a kívánt légköri paramétereket, ha 6 adatot fixálunk: F , K_p , a magasságot, a helyi időt, a földrajzi szélességet és a nap sorszámát az év folyamán. Azonban az utolsó 4 adat csak azt mutatja, hogy az első kettő által már meghatározott felsőlégköri szerkezet mely $t-r$ -idő pontjából kívánjuk a keresett paramétereket. Véleményünk szerint nagyon meglepő volna, ha összesen 2 geofizikai paraméter, a szoláris fluxus és a geomágneses tevékenység indexei kellő pontossággal meghatároznák a felsőlégkör szerkezetét, minden változásával egyetemben.

Modellek egymásközti összehasonlításánál, sajnos, csak eltéréseket tudunk megállapítani, de ezek alapján még nem választható ki a legjobb modell. Előfordulhat, hogy pl. 5 modell közül 4 nagyjából azonos értéket ad egy paraméterre, és mégis az attól lényegesen eltérő értéket adó ötödik modell jobb /erre volt már példa!/. Megfigyelt /mért/ értékekkel való összehasonlításnál is kellő körültekintés után lehet csak következtetést levonni. Szolgáljon erre példaként az alábbi eset [151]. Dickinson et al. rakétás mérésekből, optikai technikát alkalmazva /feltételezhetően!/ megbízható O-koncentrációkat határozott meg a 60-140 km-es magassági tartományban. Hasonlítsuk össze e nagyon fontos paraméternek 120 km magasságban mért adatait az egyes modellek megfelelő értékeivel /a koncentráció 10^{11}cm^{-3} -ben/!

IDŐPONT U.T.	1974.	1974.	1975.	1975.	1977.	1977.
	IV.1.	XI.29.	IX.8.	XI.28.	II.7.	II.11.
	22.37	11.53	23.55	12.56	23.09	13.59
Dickinson et al.	1,67	0,88	1,04	1,26	2,00	2,12
DIM	0,45	0,81	0,58	0,83	0,52	0,66
J-77	0,53	0,84	0,78	1,06	0,64	0,72
MSIS	0,73	0,92	0,77	0,87	0,83	0,77
ESRO-4	0,41	0,90	0,59	0,93	0,58	0,77
AEROS	0,53	1,12	0,72	1,25	0,68	0,79

Ha valaki véletlenül csak az 1974. XI.29-i adatokat hasonlította volna össze, joggal állapíthatta volna meg, hogy "jó egyezés mutatkozik a modellek által adott és a rakétával mért értékek között". Látjuk azonban, hogy éppen a fordítottja igaz: mai szemi-empirikus modelljeink fogyatékoságainak egyik forrása éppen abban van, hogy nincs megfelelő képünk az alsó határfel-télekről, amelyek azonban a felsőbb rétegek szerkezetét és változásait meghatározzák.

5.3. Befejezés

Elérkeztünk értekezésünk végére. Megakartuk mutatni saját, szerény eredményeinket, amelyekkel hozzájárultunk a felsőlégkör szerkezetének megismeréséhez, ezt azonban csak a szaktudomány megfelelő vonatkozásainak ismertetése mellett tehattük. Szeretnénk tehát hangsúlyozni, hogy nem törekedtünk egy tudományág teljes bemutatására, ami egy értekezés korlátolt terjedelme mellett, ilyen részletességgel nem is volna lehetséges. Reméljük azonban, hogy sikerült érzékeltetnünk azt a lényeges szerepet, amit a felsőlégkör megismerésében a szemi-empirikus modellek mind a mai napig betöltenek, másrészt azt, hogy e területen még mindig sok probléma és tennivaló akad.

A modellek készítésénél két fizikai jelenség kap alapvető szerepet: a szoláris EUV-fluxus és a geomágneses tevékenység. Eddig minden modell a 10,7 cm-es szoláris fluxus intenzitását használja az EUV-sugárzás indikálására. Azonban minden hozzáértő szakember egyetért abban, hogy ez csak jobb híján fogadható el, és lényeges javulás várható a felsőlégkör modellezésében, ha sikerül jobb naptevékenységi indexet találni. Hasonló megállapítás érvényes a széles körben használt K_p geomágneses indexre is: úgy tűnik, hogy pl. az AE-index

használata sok esetben jobban indikálja a megfigyelt sűrűségváltozásokat.

Fenti megállapítások végeredményben a felsőlégkör energiaháztartásának kérdését érintik. Sajnos, meg kell vallanunk, hogy e vonatkozásban a modellek, 25 évvel az első műhold fellövése után is, kizárólag empirikus adatokra támaszkodtak. Pedig, ha ismernénk a felsőlégkör energiaháztartását, tisztán elméleti modellek is képesek lennének kielégítő pontossággal leírni a felsőlégkör jelenségeit. Újabb vizsgálatok /Kockarts, Gordijec/ azt mutatják, hogy nyomelemek, mint pl. a NO, lényeges szerepet játszanak 120-200 km között mint /energianyelő/ hűtőközeg. Ez azt jelenti, hogy a jövőbeni modellekben a nyomelemek is szerephez jutnak majd. Ugyanakkor ma már egyre több jel utal arra, hogy a termoszféra és exoszféra energetikai szempontból egyáltalán nincs úgy elszigetelve a mezoszférától, mint ahogy azt korábban hittük. Figyelembe kell tehát majd venni a légkör egyes részei közötti csatolásokat, energiacsereket is. Így bizonyára megoldódnak azok a kérdések is, amelyek a mai modellekben mint "az alsó határfeltételek bizonytalanságai" jelentkeznek.

Végül megemlítjük, hogy véleményünk szerint a felsőlégköri dinamikai folyamatok a jövőbeni modellekben lényeges szerepet fognak kapni /ma még semmi szerepet nem kaptak!/. Eddig elsősorban a geomágneses effektus kapcsán voltunk kénytelenek észrevenni a meridionális-globális cirkuláció létezését és szerepét. Sok jel /pl. szélszámitások eredményei/ azonban arra utal, hogy a szelek figyelembe vétele nélkül modelljeink sosem lesznek eléggé pontosak.

Befejezésül azt szeretnénk megjegyezni, hogy bár a modellek javítása érdekében további és pontosabb mérésekre van szükség, azért meg kell őrizni /adatbankokban/ és a további modellek készítésénél is fel kell használni az űrkorszak első két évtizedében gyűjtött /elsősorban fékeződéscs/ mérőcsit, ugyanakkor megfelelő arányban továbbra is folytatni kell a műholdak fékeződésén alapuló sűrűségadatok gyűjtését.

FELHASZNÁLT IRODALOM

- [1] Abele, M.K., Ill, M. et al.: Iszpolzoványije optyiceszskich nabljugyényij I.Sz.Z. dljy celej geofiziki i geodezii. In: Po programme Interkozmosz, pp. 174-201, Moszkva, 1976.
- [2] Ackerman, M.: Mesospheric models and related experiments. p.149, Reidel Publ., Dordrecht, 1971.
- [3] Alcaydé, D.: An analitical static model of temperature and composition from 20 to 2000 km altitude. Ann.Géophys.Vol. 37, pp. 515-528, 1981.

- [4] Almár, I., Ill, M.: An international cooperation for determining some geophysical data by means of observations of artificial earth satellites. Nabl. I.Sz.Z.Vol. 1, pp. 46-51, 1962.
- [5] Almár, I.: Nyekotorúe problémü obrabotki vizualnúh nabljugyenyij I.Sz.Z. sz pomoscsu metoda A.M. Lozinszkogo. Nabl. I.Sz.Z. Vol. 7, pp. 111-115, 1967.
- [6] Almár, I., Illés-Almár, E.: An "Equivalent Duration" to characterire atmospheric disturbances connected with geomagnetic storms. Space Res. XI, pp. 975-979, 1971.
- [7] Almár, I.: A felsőlégköri geomágneses effektus összintenzitásának vizsgálata. Doktori értekezés, Budapest, 1979.
- [8] Ameyenc, P., Vasseur, G.: Neutral winds deduced from incoherent scatter observations and their theoretical interpretation. J. Atm. Terr. Phys., Vol. 34, pp. 351-364, 1972.
- [9] Amelin, V.M.: Vozmoshnaja metogyika obrabotki vizualnúh kvaziszinchronnúh nabljugyenyij I.Sz.Z. Nabl. I.Sz.Z. Vol.4, pp. 89-104, 1965.
- [10] Bailey, G.J., Moffett, R.J., Risbeth, H.: Solution of the coupled ion and neutral air equation of the mid-latitude ionospheric F₂ layer. J. Atm. Terr. Phys., Vol. 31, pp. 253-270, 1969.
- [11] Banks, P.M., Kockarts, G.: Aeronomy, Acad. Press, N.Y., 1973.
- [12] Barlier, F., Ill, M., Kohler, P.: Die Untersuchung der gegenüber Atmosphärenmodellen abweichenden Luftdichtewerte. Nabl. I.Sz.Z., Vol. 9, pp. 263-275, 1969.
- [13] Barlier, F., Ill, M., Lespes, J.P.: Analyse systematique des écarts des densités de la haute atmosphere par rapport á des modéls de référence. C.R. Acad. Sci., Paris, t. 268, pp. 437-440, 1969.
- [14] Barlier, F., Falin, J.K., Ill, M., Jacek, C.: Structure of the neutral atmosphere between 150 and 500 km. Space Res. XIII, pp. 349-355, 1972.
- [15] Barlier, F. et al.: North-south asymmetry in the thermosphere during the last maximum of the solar cycle. J. Geophys. Res., Vol. 79, pp. 5273-5285, 1974.
- [16] Barlier, F. et al.: A thermospheric model based on satellite drag data. Aeronomica Acta, A, No 185, 1977.
- [17] Barlier, F. et al.: Preliminary results obtained from the low-g accelerometer CACTUS. Space Res. XVII, pp. 341-345, 1977.
- [18] Barlier, F. et al.: A new three-dimensional thermospheric model based on satellite drag data. Space Res. XVIII, pp. 207-210, 1978.
- [19] Barlier, F. et al.: Comparisons between various semi-empirical thermospheric models of the terrestrial atmosphere. J. Atm. Terr. Phys., Vol. 41, pp. 527-542, 1979.
- [20] Berger, C.: Analyse et modélisation statistique de différents parametres de l'atmosphère neutre-Asymetries hémishériques. These de doctorat d'état, Paris, 1976.
- [21] Berger, V., Barlier, F.: Response of the equatorial thermosphere to magnetic activity analysed with accelerometer total density data. Asymmetrical structure. J. Atm. Terr. Phys. Vol. 43, pp. 121-134, 1981.

- [22] Blamont, J.E., Luton, J.M.: Geomagnetic effect on the neutral temperature of the F-region during the magnetic storm of September 1969. *J. Geophys. Res.* Vol. 77, pp. 3534-3548, 1969.
- [23] Blum, P., Harris, I., Priester, W.: The physics of the neutral upper atmosphere. In: CIRA-72, pp. 339-450, 1972.
- [24] Blum, P.W., Harris, I.: The global wind system in the thermosphere. *Space Res.* XIII., pp.369-382, 1973.
- [25] Bourdeau, R.E., Chandra, S., Neupert, W.M.: Time correlation of extreme ultraviolet radiation and thermospheric temperature. *J.Geophys.Res.*, Vol. 69, pp. 4531-4535, 1964.
- [26] Brookes, C.J., Moore, P.: Air density at heights near 300 km, from analysis of the orbit of China 2 rocket. *Planet.Space Sc.*, Vol.25, pp.1011-1020, 1977.
- [27] Brookes, C.J., Moore, P.: Air density at heights near 435 km from the orbit of Skylab-1. *Planet.Space Sc.*, Vol. 26, pp. 913-924, 1978.
- [28] Carru, H., Petit, M., Waldteufel, P.: On the diurnal variation of the thermopause temperature. *Planet.Space Sc.*, Vol.15, pp. 944-945, 1967.
- [29] Carru, H., Waldteufel, P.: Étude par diffusion de Thomson des variations de la température exosphérique. *Ann. Géophys.* Vol. 25, pp. 485-494, 1969.
- [30] Challinor, R.A.: The apparent rotation of the upper atmosphere. *Planet. Space Sc.*, Vol. 16, pp. 1557-1563, 1968.
- [31] Challinor, R.A.: Neutral winds in the F-region. *Planet.Space Sc.*, Vol. 18, pp. 1485-1493, 1970.
- [32] Chapman, S., Cowling, T.G.: *The mathematical Theory of non-uniform gases.* Cambridge, Univ.Press, London, 1970.
- [33] Ching, B.K., Chiu, Y.T.: Global distribution of thermospheric heat sources. *Planet. Space Sc.*, Vol. 21, pp. 1633-1646, 1973.
- [34] Cho, H.R., Jeh, K.I.: Neutral winds and the behaviour of the ionospheric F₂ region. *Radio Sc.*, Vol. 5, pp. 881-894, 1970.
- [35] CIRA-72 COSPAR International Reference Atmosphere 1972. Akademie Verlag, Berlin, 1972.
- [36] Cole, K.D.: Electrodynamical heating and movement of the thermosphere. *Planet. Space Sc.*, Vol. 19, pp. 59-75, 1971.
- [37] Cook, G.E.: Satellite drag coefficients. *Planet. Space Sc.*, Vol. 13, pp. 929-946, 1965.
- [38] Cook, G.E.: Drag coefficients of spherical satellites. *Ann.Géophys.*, Vol. 22, pp. 53-64, 1966.
- [39] Cook, G.E., Scott, D.W.: Exospheric densities near solar minimum from the orbit of ECHO-2. *Planet. Space Sc.*, Vol. 14, pp. 1149-1165, 1966.
- [40] Cook, G.E.: Variations in air density at heights near 500 km from 1965 to 1967. *Planet. Space Sc.*, Vol. 16, pp. 1161-1176, 1968.
- [41] Cook, G.E.: The semi-annual Variation in the upper atmosphere: a review. *Ann.Géophys.*, Vol. 25, pp. 451-468, 1969.
- [42] Cook, G.E.: Semi-annual variation in density at a height of 90 km. *Nature*, Vol. 222, pp. 969-972, 1969.
- [43] Cook, G.E., Scott, D.W.: The semi-annual variation in air density at a height of 1100 km from 1964. to 1967. *Planet.Space Sc.*, Vol.pp.107-119, 1969.

- [44] Cook, G.E.: Variations in exospheric density during 1967-68, as revealed by ECHO-2. Planet. Space Sc., Vol.18, pp.387-394, 1970.
- [45] Cook, G.E.: The semi-annual variation in the upper atmosphere during 1967 and 1968. Planet. Space Sc., Vol.18, pp. 1573-1584, 1970.
- [46] Cook, G.E.: Density variations in the exosphere from June 1968 to December 1970. Planet. Space Sc., Vol. 20, pp. 473-482, 1972.
- [47] Dickinson, R.R., Lagos, C.P., Newell, R.E.: Dynamics of the neutral gas in the thermosphere for small Rossby Numbers. J. Geophys.Res. Vol. 73, pp. 4299-4313, 1968.
- [48] Donahue, T.M., Carignan, G.R.: The temperature gradient between 100 and 120 km. J. Geophys.Res. Vol 80, 4565-4569, 1975.
- [49] Érdi, B.: Égimechanika, Tankönyvkiadó, Budapest, 1973.
- [50] Eisner, A., Yionoulis, S.M.: The semi-annual variation in the upper atmosphere /900-1200 km/ at solar minimum. Paper presented at the XX. COSPAR Meeting, 1977.
- [51] Friedman, M.P.: A three-dimensional model of the upper atmosphere. SAO Spec. Rep. No. 250, 1967.
- [52] Friedman, M.P.: Upper atmosphere dynamics.SAO Spec.Rep.No. 316, 1970.
- [53] Galperin, Yu.I., Temny, V.V.: Atmospheric scale height in the 200-400 km range according to radiation belt data. Paper presented at Florence, COSPAR Meeting, 1964.
- [54] Geisler, J.E.: Atmospheric winds in the middle latitude F-region. J.Atm.Terr.Phys., Vol. 28, pp. 703-720, 1966.
- [55] Geisler, J.E.: A numerical study of the wind system in the middle thermosphere. J.Atm.Terr.Phys.,Vol.29,pp.1469-1476, 1967.
- [56] Groves, G.V.: Effect of the Earth's equatorial bulge on the lifetime of artificial satellites.Nature, Vol.181, pp. 1055-1056, 1968.
- [57] Hall, L.A., Chagnon, C.W., Hinteregger, H.E.: Daytime variations in the composition of the upper atmosphere. J.Geophys.Res.,Vol.72. pp. 3425-3427, 1967.
- [58] Harper, R.M.: Night-time meridional neutral winds near 350 km at low to mid-latitudes.J.Atm.Terr.Phys., Vol.35,pp. 2023-2038, 1972.
- [59] Harris, I., Priester, W.: Time-dependent structure of the upper atmosphere. J.Atm.Sc., Vol. 19, pp. 286-301, 1962.
- [60] Harris, I., Priester, W.: Theoretical models for the solar cycle variation of the upper atmosphere. J.Geophys.Res.Vol.67, pp. 4585-4591, 1962.
- [61] Hedin, A.E. et al.: Empirical model of global thermospheric temperature and composition based on data from the OGO-6 quadrupole mass spectrometer. J.Geophys.Res.Vol. 79, pp. 215-225, 1974.
- [62] Hedin, A.E. et al.: Global model of thermosphere temperatures based on incoherent scatter and in-situ N₂ density measurements. AGU Winter Meeting. EOS 1030, 1975.
- [63] Hedin, A.E. et al.: A global thermospheric model based on mass spectrometer and incoherent scatter data. MSIS 1. J.Geophys.Res.Vol.82,pp.2139-2147,1977.

- [64] Hedin, A.E., et al.: A global thermospheric model based on mass spectrometer and incoherent scatter data. MSIS 2. Composition. J. Geophys. Res., Vol. 82, pp. 2148-2156, 1977.
- [65] Hedin, A.E.: Observations of neutral composition and related ionospheric variations during a magnetic storm in February 1974. J. Geophys. Res., Vol. 82, pp. 3183-3189, 1977.
- [66] Hiller, H.: The orbit of 1972-05B in its final phase, with geophysical inferences. Planet. Space Sc., Vol. 29, pp. 579-588, 1981.
- [67] Hiller, H.: Determination of the orbit of Cosmos 307 and its use in atmospheric research. Royal Aircr. Ast., Techn. Rep. 71151, 1971.
- [68] Hines, C.O.: Comments on "The rotational speed of the upper atmosphere etc." by D.G. King-Hele. Planet. Space Sc., Vol. 13, pp. 169-172, 1965.
- [69] Hines, C.O.: Dynamic heating of the upper atmosphere. J.G.R. Vol. 70, pp. 177-183, 1965.
- [70] Hines, C.O.: On the diurnal heat budget of the thermosphere. Planet. Space Sc., Vol. 21, p. 2238-2239, 1973.
- [71] Hirschfelder, J.O., Curtiss, C.F., Bird, R.B.: Molecular theory of gases and liquids. Wiley, p. 1249 N.Y., 1964.
- [72] Horváth, A., Ill, M. et al.: Vergleich von nach zwei verschiedenen Methoden berechneten Umlaufzeiten. Nabl. I. Sz. Z., Vol. 9, pp. 301-308, 1969.
- [73] Horváth, A.: Metodü opregyelényija kvazidrakonicseszkih periodov obrascsenyija I. Sz. Z. Kand. dissz., Moszkva, 1972.
- [74] Horváth, A.: Metodopregyelényija polozsenyija szputnyika dlja izsledovanyija ego perioda obrascsenyija. Nauchie Inform. Asztroszov. No 25, p. 30, 1972.
- [75] Höhne, W., Nitschmann, H.J.: Bestimmung v. Flughöhen künstlicher Erdsatelliten im Programm Interobs. Mitt. d. Sternwarte Bautzen, No. 1., 1963.
- [76] Ill, M.: Bahnbestimmung von künstlichen Erdsatelliten auf Grund visueller Beobachtungen. Mitt. d. Städtischen Sternwarte, Baja, No. 1, pp. 1-18, 1962.
- [77] Ill, M. /szerkesztő/: Ergebnisse d. im Rahmen d. Interobs. Programms abgehaltenen Kooperationswochen. Folge 1, 2, 3, 4, 5, 6, 7, Baja, 1963-1968.
- [78] Ill, M.: Opregyelényije plotnosztyi vozducha na osznovanyii izmenenyii elementov orbit I. Sz. Z. Nabl. I. Sz. Z., Vol. 2, pp. 58-64, 1963.
- [79] Ill, M.: Programma Interobs v 1964 godu. Nabl. I. Sz. Z. Vol. 3, pp. 91-99, 1965.
- [80] Ill, M.: K rascsetu izmenenyij perioda szputnyika iz odnovremennuh nabljugenyij. Nabl. I. Sz. Z., Vol. 4, pp. 104-112, 1965.
- [81] Ill, M., Almár, I.: Preliminary analysis of Interobs-programme observations In: Trajectories of artificial celestial bodies pp. 6-14, Springer, 1966.
- [82] Ill, M.: A magyarországi szputnyikmegfigyelő hálózat munkájáról. Magyar Tudomány, pp. 297-306, 1966.
- [83] Ill, M.: Opregyelényije kratkovremennuh i nyeperiogyicseszkih izmenenyij plotnosztyi vozducha. Kand. disszertáció, Leningrád, 1967.
- [84] Ill, M., Kaszimenko, T.V.: Opregyelényije szkorosztyi odnoj podszputnyikovej tocski. Nabl. I. Sz. Z., Vol. 7, pp. 87-96, 1967.
- [85] Ill, M.: O naucsnom primenyenyii rezultátov nabljugenyij. I. Sz. Z. Nab. I. Sz. Z., Vol. 6, pp. 14-22, 1967.

- [86] Ill, M.: Über die Möglichkeit einer Methode zur Bestimmung der Umlaufzeit eines Satelliten. Nabl.I.SZ.Z.Vol.8,pp.197-205, 1968.
- [87] Ill, M., Barlier, F., Jaeck, C.: Vergleich von zwei verschiedenen Methoden zur Luftdichtebestimmung. Nabl.I.SZ.Z.Vol.8.pp.207-219,1968.
- [88] Ill, M.: Opregyelényije kratkovremennüh izmenyenyij plotnosztyi atmosfëru iz kvaziszinchronnüh nablugyenyij I.Sz.Z.Bull.St.Opt. Nabl.No 53/1/, pp. 9-22, 1969.
- [89] Ill, M.: O vücsiszlényije momentov prohozsgyényija I.SZ.Z. cserez opregyelennüj nyebesznüj krug. Bull.St.Opt.Nabl.No 53/1/,pp.23-26,1969.
- [90] Ill, M.: Nyekotorüje problemü atmosfërnüh iszledoványij. Bull.St. Opt.Nabl. No 57, pp. 34-38, 1970.
- [91] Ill, M.: Nem-periódikus sűrűségváltozások 200-400 km között. Felsőfoku Földm.Tech.Tud.Közl.,Vol. 1, pp.64-77,1970.
- [92] Ill, M., Barlier, F., Kohler, P.: Remark on the semi-annual variation of air density. Space Res.,XI.,pp. 584-592, 1970.
- [93] Ill, M., Almár, I.: A felsőlégkör sűrűségének meghatározása az űrkutatás eszközeivel. Fizikai Szemle,No.2.,pp.46-52 és No.3,pp.70-77, 1970.
- [94] Ill, M.: Dynamique des satellites artificiels. Univ. de Besancon, p.370, 1971.
- [95] Ill, M. et al.: Bemerkungen über den Zusammenhang zwischen Dezimeterwellenstrahlung und Luftdichteänderun. Nabl.I.SZ.Z.Vol.10, pp.231-256,1971.
- [96] Ill, M.: A magaslégköri szelekről. Asztronaut.Tud.Ülésszak előad.pp.79-86, 1971. KASZ, Budapest.
- [97] Ill, M.: Opregyelényije odnorodnoj vüszotü atmosfëru. Nabl.I.SZ.Z. Vol. 14, pp. 403-412, 1974.
- [98] Ill, M., Clairemidi, J., Falin, I.L.: Neutral winds in the F-region. Planet.Space Sc., Vol. 23, pp, 401-408, 1975.
- [99] Ill, M.: A gravitációs erőtér meghatározása mesterséges holdakkal. In: Fizika '75, pp. 83-98, 1975, Budapest
- [100] Ill, M.: A pályameghatározás problémái mesterséges holdak megfigyelései alapján. Kozmikus geodéziai szemináriumok válogatott anyagai, pp,135-163, 1976, KASZ, Budapest.
- [101] Ill, M.: A felsőlégkör aszimmetriájáról. Ionoszfëra és magnetoszfëra fizika IV., pp. 9-16, 1977, KASZ, Budapest.
- [102] Ill, M.: Über die Nord-Süd Asymmetrie der hohen Atmosphäre. In: 3rd Int.Symp.:Geodesy and Physics of th Earth, pp.695-717,1977,Potsdam,Adw d.DDR
- [103] Ill, M.: Determination of density scale height profiles. Space Res. XIX, pp. 235-238, 1979.
- [104] Ill, M.: On the variation of density scale height.Nabl.I.SZ.Z.,Vol. 18, pp. 477-490, 1979.
- [105] Ill, M.: Variations of density scale height between 300 and 400 km. Adv.Space Res., Vol.1., pp. 227-230, 1981.
- [106] Ill, M.: Semleges felsőlégkör-kutatás hazánkban. A magyar űrkutatás 10 éve, pp, 19-27, 1981.Interkozmosz Tanács

- [107] Ill, M.: Density variations connected with the 11-year solar cycle. Publikálásra leadva: Nabl.I.SZ.Z. Vol.21.számára,1982.
- [108] Illés,E., Almár, I.: O vücsiszlényije elementov orbitü I.SZ.Z. po bazisznüm nablugyényijam.Nabl.I.SZ.Z.Vol.3,pp.104-109, 1965.
- [109] Illés-Almár, E., Almár, I.: Period changes of the satellite 1960 Epsilon 3 in 1963/64 as deduced from observations within the Interobs-programme. Mitt.Sternw.Ung.Akad.Wiss.,No.59, 1965, Budapest.
- [110] Izakov, M.N.: Comprisom of structure and dynamics of the Earth's Mars and Venus thermospheres. J.Atm.Terr.Phys.,Vol.38, pp.847-863,1976.
- [111] Jacchia, L.G., Briggs, R.E.: Orbital acceleration of satellite 1958 beta 2. SAO Spac.Rep. No 18, 1958.
- [112] Jacchia, J.G.: The temperature above the thermopause. SAO Spec.Rep. No 150, 1964.
- [113] Jacchia, L.G.: Static diffusion models of the upper atmosphere with empirical temperature profiles. SAO Spec. Rep. No 170, 1965.
- [114] Jacchia, L.G., Slowey, J.: The shape and location of the diurnal bulge in the upper atmosphere. SAO Spec.Rep., No 207, 1966.
- [115] Jacchia, L.G., Slowey, J., Verniani, F.: Geomagnetic perturbations and upper atmospheric heating. J.Geophys.Res.,Vol.72,pp.1423-1434,1967.
- [116] Jacchia, L.G., Slowey, J., Campbell, I.: Semi-annual density variations in the upper atmosphere, 1958 to 1966. SAO Spec.Rep. No 265, 1968.
- [117] Jacchia, L.G.: Recent advances in upper atmospheric structure. Space Res., Vol. X. pp. 367-388, 1970.
- [118] Jacchia, L.G.: New static models of the thermosphere and exosphere with empirical temperature profiles. SAO Spec.Rep. No 313, 1970./I./
- [119] Jacchia, L.G.: New static models of the thermosphere and exosphere with empirical temperature profiles. SAO Spec.Rep. No 313, 1970./II./
- [120] Jacchia, L.G.: Solar wind dependence of the diurnal temperature variation in the thermosphere. J.Geop.Res.Vol.75, pp.4347-4349, 1970.
- [121] Jacchia, L.G., Slowey, J.: Atmospheric densities from drag on five satellites. SAO Spec.Rep.No 326, 1970.
- [122] Jacchia, L.G.: Revised static models of the thermosphere and exosphere with empirical temperature profiles.SAO SPec.Rep. No 332, 1971.
- [123] Jacchia, L.G., Slowey, J.: A supplemental catalog of atmospheric densities from satellite drag analysis. SAO Spec.Rep. No 348, 1972.
- [124] Jacchia, L.G., Slowey, J., Campbell, I.G.: An analysis of the solar-activity effects in the upper atmosphere. Planet.Space Sc.,Vol.21,pp. 1835-1842, 1973.
- [125] Jacchia, L.G., Slowey, J.: A study of the variations in the thermosphere related to solar activity. Space Res.XIII.,pp.343-348,1973.
- [126] Jacchia, L.G., Slowey, J.: A catalog of atmospheric densitieec from the drag of five balloon satellites. SAO Spec.Rep.No 368, 1975.
- [127] Jacchia, L.G., Slowey, J., v.Zahn,I.: Thermospheric seasonal-latitudinal variation of four major atmospheric constituents from ESRO 4 gas-analyzer measurements. Paper presented at Tel Aviv, COSPAR Meeting, 1977.
- [128] Jacchia, L.G.: Thermospheric temperature, density, and composition: new models. SAO Spec.Rep.No 375, 1977.

- [129] Jaeck-Berger, C.: Modéle statistique de densité globale entre 150 et 500 km. *Ann.Geop.*, Vol. 29, pp. 547-552, 1973.
- [130] Johnson, F.S., Gottlieb, B.: Eddy mixing and circulation at ionospheric levels. *Planet Space Sc.* Vol. 18, pp. 1707-1718, 1970.
- [131] Kaszimenko, T.V., Szlovochotova, N.P.: Izmenényija drakonyicseszko periodo nyekotorüh szovjetszkih szputnyikov i kolebányija atmosfernoj plotnosztyi. *Nabl. I.SZ.Z.* Vol. 5, pp. 137-159, 1966.
- [132] Keating, G.M. et al.: North-asymmetry of the neutral atmosphere. *Space Res.XIII.*, pp.327-339, 1973.
- [133] Keating, G.M. et al.: A critifal evaluation of the OGO-6 helium model. Paper presented at Sao Paulo, COSPAR Meeting, 1974.
- [134] Kent, G.S., Wright, R.W.: Movements of ionospheric irregularities and atmospheric winds. *J.AtM.Terr.Phys.*, Vol. 30. pp, 657-691, 1968.
- [135] King-Hele, D.G.: Theory of satellite orbits in an atmosphere. Butterworths, London, 1964.
- [136] Kin-Hele, D.G., Quinn. E.: Air density at heights of 150-300 km in the years 1962-64. *Planet.Space Sc.*, Vol.13, pp. 693-705, 1965.
- [137] King-Hele, D.G.: Methods of determining air density from satellite orbits. *Ann.Geop.*, Vol.22, No 1. pp.40-52, 1966.
- [138] King-Hele, D.G., Hingston, J.: Air density at heights near 190 km in 1966-67, from the orbit of Secor-6. *Planet.Space Sc.*, Vol.16, pp.675-691, 1968.
- [139] King-Hele, D.G., Hingston, J.: Variations in air density at 480 km, from the orbit of Midas 2. *Planet.Space Sc.*, Vol. 16, pp.937-949, 1968.
- [140] King-Hele, D.G., Walker, M.C.: Air density at a height of 470 km between January 1967 and May 1968. *Planet.Space Sc.*, Vol.17, pp.197-215, 1969.
- [141] King-Hele, D.G., Walker, D.M.: Air density at heights of 140-180 km, from analysis of the orbit of 1968-59A. *Planet.Space Sc.*, Vol.17, pp.1539-1556, 1969.
- [142] King-Hele, D.G., Walker, D.M.: Air density at heights near 180 km in 1968 and 1969, from the orbit of 1967-31A. *Planet.Space Sc.* Vol.19, pp.297-311, 1971.
- [143] King-Hele, D.G.: Upper atmospheric zonal winds. *Nature*, Vol.237., pp. 451-452, 1972.
- [144] King-Hele, D.G., Walker, D.M.: The change in satellite orbital inclination by a rotating atmosphere with day-to-night variation. *Celest.Mech.*, Vol.5., pp. 41-54, 1972.
- [145] King-Hele, D.G., Walker, D.M.: Upper atmosphere zonal winds: variation with height and local time. *Planet.Sapce Sc.*, Vol.25, pp.313-336, 1977.
- [146] King-Hele, D.G., Walker, D.M.: The effect of atmospheric winds on satellites orbits of hight eccentricity. *Proc.R.Soc.London A*, Vol. 350, pp. 281-298, 1976.
- [147] King-Hele, D.G.: The value of photographic observations in improving the accuracy of satellite orbits. *J.Brit.Interplan.Soc.*, Vol.35, pp.355-362, 1982.
- [148] Kockarts, G.: Mean molecular mass and scale heights of the upper atmosphere *Ann.Géophys.* Vol.22, pp. 161-174, 1966.
- [149] Kockarts, G., Peetermans, W.: Atomic oxygen infrared emission in the Earth's upper atmosphere. *Planet.Space Sc.*, Vol.18, pp.271-285, 1970.

- [150] Kockarts, G.: Neutral atmosphere modelling. *Aeronomica Acta*, A No 137, pp. 1-15, 1974.
- [151] Kockarts, G.: Some recent advances in the thermospheric models. Paper C.3.3.2 at COSPAR-conference, Budapest, 1980.
- [152] Kohl, H., King, J.W.: Atmospheric winds between 100 and 700 km. *J. Atm. Terr. Phys.*, Vol. 29, pp. 1045-1058, 1967.
- [153] Kohl, H., King, J.W., Eccles, D.: Some effects of neutral air winds in the ionospheric F-layer. *J. Atm. Terr. Phys.* Vol. 30, pp. 1733-1744, 1968.
- [154] Kovalevsky, J.: *Introduction á la mécanique céleste*. Coll. A. Colin, No 370, Sect. Math., Paris, 1963.
- [155] Klostermeyer, J.: Thermospheric heating by atmospheric gravity waves. *J. Atm. Terr. Phys.* Vol. 35, pp. 2267-2275, 1973.
- [156] Lagos, C.P., Mahoney, J.R.: Numerical studies of seasonal and latitudinal variability in a model thermosphere. *J. Atm. Sci.* Vol. 24, pp. 88-94, 1967.
- [157] Landau, J.D., Lifshitz, E.M.: *Fluid mechanics*. Pergamon Press, Oxford, 1959.
- [158] Lespes, J.L., Falin, J.L., Ill, M.: Variation of density in the upper atmosphere correlated with the instantaneous solar flux during 1967-69. *Space Res. XI.*, pp. 659-963, 1971.
- [159] Levallois, J.J., Kovalevsky, J.: *Géodésie générale*, Tom 3,4. Eyrolles, Paris, 1971.
- [160] Lindzen, R.S., Blake, D.: Mean heating of the thermosphere by tides. *J. Geoph. Res.*, Vol. 75, pp. 6868-6871, 1970.
- [161] Lozinszki, A.M.: Metod opregyelényija bolsoj oszi orbitü I. SZ. Z. iz nyemnogich nabljugényij. *Bull. St. Opt. Nabl.* No 43, pp. 6-7, 1965.
- [162] Marcos, F.A. et al.: More accelerometer and orbital drag results from the Spades and Conon Ball 1 satellites. *Space Res. XI.*, pp. 940-948, 1971.
- [163] Marcos, F.A., Champion, K.S.W.: Gravity waves observed in high latitude neutral density profiles. *Space Res. XII.*, pp. 791-798, 1972.
- [164] Marov, M.Ya.: O plotnosztyi verchnyej atmosferü. *Koszm. Iszled.* Vol. 2, No 6, pp. 909-915, 1964.
- [165] Marov, M.Ya.: Density of the upper atmosphere from data of soviet satellite drag. *Space Res.* Vol. pp. 1140-1149, 1965.
- [166] Marov, M.Ya.: The density of the upper atmosphere. *Ann. Géophys.*, Vol. 22, pp. 65-74, 1966.
- [167] Marov, M.Ya.: O tyemperature i plotnosztyi termoszfery v period glubokogo minyimuma szolnyecsnoj aktyivnosztyi. *Koszmics. Istl.* Vol. 6, pp. 110-118, 1968.
- [168] Marov, M.Ya., Alpherov, A.M.: Density and temperature variations in the atmosphere at altitudes of 200-600 km. *Space Res. X.*, pp. 419-428, 1970.
- [169] Marov, M.Ya., Alpherov, A.M.: Semi-annual density variations of the atmosphere at heights of 200-300 km. *Space Res. XII.* pp. 803-810, 1972.
- [170] Mayr, B.R.: The estimation of atmospheric scale heights from the contraction of satellite orbits. *Planet. Space Sc.*, Vol. 11, pp. 633-637, 1963.
- [171] Mayr, H.G., Volland, H.: Magnetic storm effects in the neutral composition. *Planet. Space Sc.*, Vol. 20, pp. 379-393, 1972.
- [172] Mayr, H.G. et al.: Global characteristics in the diurnal variation of thermospheric temperature and composition. *J. Geop. Res.* Vol. 79, pp. 619-628, 1974.

- [173] Mayr, H.G., Hedin, A.E.: Significance of large-scale circulation in magnetic storm characteristics with application to AE-C neutral composition data. *J.Geop.Res.*, Vol.82, pp. 1227-1234, 1977.
- [174] McClure, J.P.: Diurnal variation of neutral and charged particle temperatures in the equatorial F-region. *J.Geop.Res.* Vol. 74, pp. 279-291, 1969.
- [175] Moore, P.: The effect of the diurnal variation in temperature on densities derived from near-circular satellite orbits. *Planet.Space Sc.*, Vol.27, pp. 1361-1370, 1979.
- [176] Nagel, E., Reigber, Ch.: Verwendung d. Atmosphärenmodelle CIRA-65 und CIRA-72 in d. Bahnbestimmung geodätischer Satelliten. BMFT-FB W 73-11, 1973, München.
- [177] Neupert, W.M., Behring, W.E., Lindsay, J.C.: The solar spectrum from 50 angströms to 400 angströms. *Space Res.* IV, pp.719-729, 1964.
- [178] Newton, G.P.: Resolution of the difference between atmospheric density measurements from Explorer 17 density gage and drag technique. *J.Geop. Res.*, Vol. 74, pp. 6409-6414, 1969.
- [179] Nicolet, M.: The Earth as planet, p. 644, Univ.Chicago Press 1954.
- [180] Nicolet, M.: Density of the heterosphere related to temperature. SAO Spec.Rep. No 75, 1961.
- [181] Nikolet, M.: Solar radio flux and temperature of the upper atmosphere. *J.Geophys.Res.* Vol.68, pp. 6121-6135, 1963.
- [182] Nisbet, J.S.: Tables from the Penn State Mark Ionospheric Model. *Ionospheric Res.Sc.Rep.* No 362 /E/.
- [183] Nisbet, J.S. et al.: Global exospheric temperatures and densities under active solar conditions. *Planet.Space Sc.*, Vol.25, pp.59-69, 1977.
- [184] Paetzold, H.K., Zschörner, H.: Bearings of Sputnik III and the Variable acceleration of satellites. *Space Res.* I., pp.24-36, 1960.
- [185] Paetzold, H.K., Zschörner, H.: The structure of the upper atmosphere and its variations after satellite observations. *Space Res.*, II, pp.958-973.
- [186] Paul, G., Volland, H., Roemer, M.: A study of the time lag between the 27-day variations of thermospheric density and 10,7 cm solar radiation. *Space Res.*, XIV, pp.189-193, 1974.
- [187] Potter, W.E., Kayser, D.C., Nier, A.O.: Thermospheric variation. *Space Res.* XIX, pp. 259-262, 1979.
- [188] Priestler, W., Martin, H.A., Kramp, K.: Diurnal and seasonal density variations in the upper atmosphere. *Nature*, Vol.188, pp.202-204, 1960.
- [189] Priestler, W., Roemer, M., Volland, H.: The physical behaviour of the upper atmosphere deduced from satellite drag data. *Space Sc.Rev.*, Vol.6 pp.707-780.
- [190] Prölss, G.W.: Magnetic storm associated perturbations of the upper atmosphere etc. *Rev.Geop.Space Phys.* Vol.18, pp.183-202, 1980.
- [191] Rieshbeth, H.: Thermospheric winds and the F-region. A review. *J.Atm.Terr. Phys.*, Vol. 34, pp.128, 1972.
- [192] Roble, G.R. et al.: Diurnal variation of the neutral thermospheric winds determined from incoherent scatter radar data. *J.Geop.Res.*, Vol.79, pp. 2868-2876, 1974.

- [193] Roemer, M.: Die Dichte der Hochatmosphäre und ihre Variationen während der Phase abklingender Sonnenaktivität 1958-1962. Veröff.Univ.Sternearte, Bonn, No 68, p.146, 1963.
- [194] Roemer, M.: Exospheric densities deduced from satellite drag data. Space Res.IV.pp.244-256, 1964.
- [195] Roemer, M.: Atmospheric densities and temperatures from precisely reduced observations of the Explorer IX satellite. SAO Spec.Rep.No 199, 1966.
- [196] Roemer, M.: Geomagnetic activity effect and 27-day variation: response time of the thermosphere and lower exosphere.Space Res.,VII.pp.1091-99,1966.
- [197] Roemer, M.: Geomagnetic activity effect in the 250 to 800 km altitude region. Paper presented at Leningrad, COSPAR Meeting, 1970.
- [198] Roemer, M.: Recent observational results on the thermosphere. In: CIRA-72, pp. 341-396, 1972.
- [199] Rohrbaugh, J.L., Swartz, W.E., Nisbet, J.: Comparison of the correlation of incoherent scatter and ionosond measurements. J.Geophys.Res.,Vol.78, pp. 281-287, 1973.
- [200] Rousseau, M.: Densities deduced from perturbations at high altitudes. Planet.Space Sc.,Vol.21, pp. 1705-1712, 1973.
- [201] Salah, J.E., Evans, J.V.: Measurements of thermospheric temperatures by incoherent scatter radar. Space.Res.XIII, pp. 267-286, 1973.
- [202] Salah, J.E., Evans, J.V., Wand, R.H.: Seasonal Variations in the thermosphere above Millstone Hill. Radio Sc., Vol. 9, pp. 231-238, 1974.
- [203] Sehnal, L.: The radial speed of the upper atmosphere determined from orbital inclinations of Interkosmos satellites.Bull.Astr.Inst.Czechoslovakia, Vol. 26, pp. 300-306, 1975.
- [204] Slowey, J.: Atmospheric densities and temperatures from the drag analysis of the Explorer 17 satellite. SAO Spec.Rep.No 157, 1964.
- [205] Spencer, N.W., Tausch, D.R., Carignan, G.A.: N₂ temperature and density data for the 150 to 300 km region and their implications. Ann.Géoph.,Vol. 22, pp. 151-160, 1966.
- [206] Sterne, T.E.: An atmospheric model and some remarks on the interference of the density from the orbit of a close earth satellite.Astr.J.Vol.63.pp. 81-87, 1958.
- [207] Sterne, T.E.: Formula for inferring atmospheric density from the motion of artificial earth satellites. Science, Vol. 127, p. 1245, 1958.
- [208] Stubbe, P.: Frictional forces and collision frequencies between moving ion and neutral gases. J.Atm.Terr.Phys.,Vol.30,pp.125-139, 1965.
- [209] Swartz, W.E., Nisbet, J.S.: Diurnal variation of the neutral temperature profile at Arecibo from incoherent scatter measurements. J.Geoph.Res., Vol, 76, pp. 185-196, 1971.
- [210] Tausch, D.R. et al.: Diurnal survey of the thermosphere:neutral particle results. Space Res.VIII, pp. 930-939, 1968.
- [211] Thuillier, G., Falin, J.L., Barlier, F.: Global exospheric model of the exospheric temperature using optical and incoherent scatter measurements. Service d' Aeronomie, No 65-A-76, pp. 1-25, 1976.
- [212] Thuillier, G., Falin, J.L., Wachtel, C.: Experimental global model of the exospheric temperature based on measurements from the Fabry-Perot interferometer on board of OGO-6. J.Atm.Terr.Phys., Vol. 39, pp. 399-414, 1977.
- [213] Trinks, H. et al.: Esro 4 gas analyzer results. 3./ Spatial and temporal structure during a geomagnetic storm. J.Geoph.Res.,Vol.80, pp. 4571-76,1975.

- [214] Trinks, H. et al.: Intercomparison of neutral composition measurements from the satellites ESRO 4, AEROS A, AEROS B and AE C.J. Geophys. Res., Vol. 82, pp. 1261-1265, 1977.
- [215] Usztyinov, G.A.: Uravnyiványie prostranstvennoj kozmiceszkoj trianguljacii. Nabl.I.SZ.Z.Vol. 2., pp. 19-25, 1963.
- [216] Vasseur, G.: Vents dans la thermosphere. Not Techn.C.N.E.T. - GRI/NTP/43 Issy les Moulineaux. $\sqrt{\quad}$
- [217] Vasseur, G.: La dynamique de l'atmosphere neutre. These de doctorat d'état Paris, 1971.
- [218] Voiskovsky, M.I. et al.: Some results of determination of diurnal and semi-annual variations in the upper atmosphere density. Paper presented at the COSPAR Meeting, Leningrad, 1970.
- [219] Volland, H.: A theory of thermospheric Dynamics-I: Diurnal and solar cycle variations. Planet. Space Sc., Vol. 17, pp. 1581-1635, 1969.
- [220] Volland, H.: A theory of thermospheric Dynamics - II: Geomagnetic activity effect, 27-day variation and semi-annual variation. Planet Space Sc., Vol. 17, pp. 1709-1735, 1969.
- [221] Volland, H., Mayr, H.G.: A theory of the diurnal variations in the thermosphere Ann. Géoph.Vol. 26, pp. 907-917, 1970.
- [222] Volland, H., Wulf-Mathies, C., Priestler, W.: On the semi-annual variations of thermospheric density. J. Atm. Terr. Phys., Vol. 34, pp. 1053-1062, 1972.
- [223] Wachtel, C.: Temperatures thermosphériques neutres déduites des mesures d'interferometrie de OGO-6. These de doctorat, 1975, Paris.
- [224] Waldteufel, P., Cogger, L.: Measurements of the neutral temperature at Arecibo. J.Geophys. Res., Vol. 76, pp. 5322-5336, 1971.
- [225] Waldteufel, P.: Exospheric temperatures from rockets and incoherent scatter measurements. J. Geophys.Res., Vol. 76, pp. 6990-6998, 1971.
- [226] Walker, D.M.C.: Air density at heights near 200 km from the orbit of 1969-20B Planet.Space Sc., Vol. 20, pp. 2165-2173, 1972.
- [227] Walker, D.M.C.: Variations in air density from January 1972 to April 1975 at heights near 200 km. Planet. Space Sc., Vol. 26, pp. 291-309, 1978.
- [228] Walker, D.M.C.: The last 14 days of SKYLAB 1: orbit determination and analysis. Royal Establ., Techn. Rep. 82067, June, 1982.
- [229] Wans, R.H., Perkins, F.W.: Radar Thomson scatter observations of temperature and ion-neutral collisions frequency in the E-region. J. Geophys.Res.Space Phys. Vol. 73, pp. 6370-6372, 1968.
- [230] Zahn, U. von, et al.: ESRO 4 model of global thermospheric composition and temperatures during times of low solar activity. Res. Letters, Vol. 4, pp. 33-36, 1977.
- [231] Zsongolovics, I.D.: Metod predvarityelnoj obrabotki, proizvodjascsihszja po programme INTEROBS. Nabl.I.SZ.Z. Vol. 4, pp. 77-88, 1965.
- [232] CIRA-65, North-Holland Publ. Co., Amsterdam, 1965.
- [233] Almár, I., Horváth, A., Illés, E.: Analysis of the atmospheric drag of the ECHO 1 satellite using the PERLO orbital determination programme. In: Dynamics of Satellites, Springer, Berlin, p. 244, 1970.
- [234] Illés, E.: Cosmic ray intensity as a new index of density variation in the upper atmosphere. Előadás a II. Nemzetközi Felsőléggör-kutatási Szemináriumon, Baja, 1981.

- [235] Ill, M.: A review of the semi-annual effect. Előadás a II. Nemzetközi Felsőléggör-kutatási Szemináriumon, Baja, 1981.
- [236] Roemer, M.: Dichteschwankungen der Hochatmosphäre während geomagnetischer Störungen im Höhenbereich 250 bis 800 km. Veröff. d. Astr. Inst., Bonn, No.85, 1972.
- [237] Jacchia, L.G., Slowey, J. : Atmospheric heating in the auroral zones: a preliminary analysis of the drag of Injun 3. J.Geph.Res., Vol.69, pp.905-910, '64.
- [238] Lew, S.K.: On the dynamic response of the thermosphere at low altitudes to geomagnetic disturbances. J.Geophys.Res., Vol.74., pp. 5093-5098, 1969.
- [239] Broglio, L.: Diurnal minimum and geomagnetic storm effect on the density of the equatorial atmosphere obtained from San Marco II. Space Res. X., pp. 493-489, 1970.
- [240] Carter, V.L. et al.: Atmospheric density above 158 km inferred from drag data from the satellite OVI-5. J.Geophys.Res., Vol. 74, pp. 5081-5091, 1969.
- [241] Hays, P.B. et al.: Interferometric measurements of the 630 nm Doppler temperature during a magnetic storm. J. Geophys. Res., Vol. 74., pp.4162-4168, 1969.
- [242] De Vries, L.L.: Analysis and interpretation of density data from the LOGACS-experiment. Space Res., XII., pp. 777, 1972.
- [243] Anderson, A.D.: The relation between low-latitude neutral density variations near 400 km and magnetic storm activity indices. Planet, Space Sc., Vol. 21., pp. 2049, 1973.
- [244] Köhnlein, W. et al.: A thermospheric model of N₂, O, Ar and He as derived from from the ESRO 4 gas analyzer. Paper presented at the COSPAR-conference, Varna, 1975.
- [245] Thuillier, G.: Thèse de doctorat d'état. Université Paris VI, 1973.
- [246] Cook, G.E., Plimmer, R.N.A.: Evaluation of di and dT changes in a spherical atmosphere. Proc.R.Soc. A 258, pp. 516-528, 1960.
- [247] Mayr, H.G., Volland, H.: Magnetic storm characteristics of the thermosphere J. Geophys.Res.Vol. 78, pp. 2251-2263, 1973.
- [248] King-Hele, D.G., Walker, D.M.C.: Air density at heights near 150 km in 1970, from the orbit of Cosmos 316. Planet. Space Sc., Vol. 19, pp. 1637-1651, 1971.
- [249] Villian, J.P.: Traitement des données brutes de l'accéléromètre CACTUS. Ann. Géophys., Vol. 36, pp. 41-47, 1980.
- [250] Pröller, G.W., von Zehn, U.: Large and small scale changes in the disturbed atmosphere. J.Atm.Terr.Phys., Vol. 38., pp. 655-659, 1976.
- [251] Blum, P.W. et al.: Semi-empirical models of the neutral atmosphere based on turbopause height and exospheric temperature variations. J.Atm.Terr. Phys., Vol. 40. pp. 1131-1136, 1978.
- [252] Hedin, A.E. et al.: Global model of longitude/UT variations in thermospheric composition and temperature based on mass spectrometer data. J. Geophys. Res., Vol. 84., pp. 1-18, 1979.
- [253] Köhnlein, W. et al.: A thermospheric model of the annual variations of He, N, O, N₂ and Ar from the Aeros data. J.Geophys.Res., Vol. 84., pp.4355-4363, 1979.

- [254] Laux, U., von Zahn, U.: Longitudinal variations in thermospheric composition under geomagnetically quiet conditions. J. Geophys. Res., Vol. 84, pp. 1942-1958, 1979.
- [255] Thuillier, G., Falin, J.L., Barlier, F.: Magnetic activity effect on the exospheric temperatures at high latitudes. J. Atm. Terr. Phys., Vol. 42., pp. 653-665, 1980.
- [256] Köhnlein, W.: A model of thermospheric temperature and composition. Planet. Space Sc., Vol. 27, pp. 225-238, 1980.
- [257] Stehle, C.G., Nisbet, J.S., Bleuer, E.: A global model of the neutral thermosphere in magnetic coordinates based on OGO 6 data. J. Geophys. Res., Vol. 87., pp. 1615-1623, 1982.

A GAUSS-FÉLE EGYENLETEK LEVEZETÉSEa/ Az alapvető formula

Induljunk ki a klasszikus, Kepler-féle mozgásból, vagyis feltételezzük, hogy az anyagi tömegpont kizárólag egy centrális erő hatására mozog. Ekkor a mozgásegyenletek igen egyszerűek:

$$\begin{aligned}\ddot{x} &= -\mu \frac{x}{r^3} \\ \ddot{y} &= -\mu \frac{y}{r^3} \quad \text{ahol} \quad \mu = k^2(m_a + m_b) \\ \ddot{z} &= -\mu \frac{z}{r^3}\end{aligned} \quad (1)$$

Tételezzük fel, hogy a mozgó testre a centrális erőn kívül hat még egy járulékos \vec{F} erő, amelynek komponensei F_x, F_y, F_z és amelyet a továbbiakban perturbáló erőnek nevezünk. Ez az erő legyen kicsi a centrális erőhöz képest, és függjön a tömegpont helyzetétől, sebességétől és az időtől. Ekkor a mozgásegyenletek a következő alakra módosulnak:

$$\ddot{x} = -\mu \frac{x}{r^3} + F_x(x, y, z, \dot{x}, \dot{y}, \dot{z}, t) \quad (2)$$

(a többi egyenlet hasonló alakú)

Kepler-mozgás esetén a klasszikus pályaelemek állandóak. Most, mivel a perturbáló erő a pozíció és a sebesség függvénye, a pályaelemek mindegyike az időnek és a többi pályaelemnek valamilyen függvénye lesz:

$$\begin{aligned}\frac{dx}{dt} &= F_a(a, e, I, \Omega, \omega, M, t) \\ &\vdots \\ \frac{dM}{dt} &= F_M(a, e, I, \Omega, \omega, M, t)\end{aligned} \quad (3)$$

Perturbált mozgás esetén tehát pillanatonként más és más pályaelem-rendszerrel van dolgunk, ezért azt pillanatnyi vagy oszkulációs pályaelem-rendszernek nevezzük. Oszkuláló pályaelemek esetén tehát azok epocháját is ismerni kell. Ha egy adott pillanatban a perturbáló erő megszűnik, a pályaelem-rendszer sem változik tovább, vagyis ismét a kéttest-probléma kereteiben vagyunk. Ilyankor a (3) egyenletek jobb oldala nullává válik, kivéve az

utolsót (amikor $dM/dt = n$ adódik). Általános esetben (3) megoldásai a következő alakban írhatók:

$$\begin{aligned} a &= a_0 + \delta a & e &= e_0 + \delta e & I &= I_0 + \delta I \\ \Omega &= \Omega_0 + \delta \Omega & \omega &= \omega_0 + \delta \omega & M &= M_0 + \delta M \end{aligned} \quad (4)$$

ahol $\delta a, \delta e, \dots, \delta M$ kis mennyiségek, mivel a perturbáló erőt is kicsinek feltételeztük. Ezeket a kis mennyiségeket nevezzük perturbációknak.

Tegyük fel, hogy egy \underline{t} pillanatban megszűnik a perturbáló erő. Ekkor a matematikai leírásban vagy a kéttest-probléma egyenleteit alkalmazhatjuk, vagy pedig a perturbált mozgás egyenleteit a \underline{t} pillanathoz tartozó oszkuláló pályaelemekkel. Tételezzük fel, hogy az első esetben létezik egy első integrál, amely a következő alakú:

$$f(x, y, z, \dot{x}, \dot{y}, \dot{z}) = \varphi(C_1, C_2, \dots, C_j) = \text{konstans} \quad (5)$$

ahol C_j jelenti a kepleri pályaelemeket.

Ez az összefüggés érvényes marad akkor is, ha a C_j pályaelemeket a \underline{t} pillanathoz tartozó oszkuláló pályaelemekkel helyettesítjük. Ekkor viszont képezhetjük azok idő szerinti deriváltjait is:

$$\sum_j \frac{\partial \varphi}{\partial C_j} \cdot \frac{dC_j}{dt} = \sum_{x, y, z} \left(\frac{\partial f}{\partial x} \dot{x} + \frac{\partial f}{\partial \dot{x}} \ddot{x} \right) \quad (6)$$

A (2) egyenletet ebbe helyettesítve kapjuk:

$$\sum_j \frac{\partial \varphi}{\partial C_j} \cdot \frac{dC_j}{dt} = \sum_{x, y, z} \left(\frac{\partial f}{\partial x} \dot{x} - \frac{\partial f}{\partial \dot{x}} \frac{\mu x}{r^3} + \frac{\partial f}{\partial \dot{x}} F_x \right) \quad (7)$$

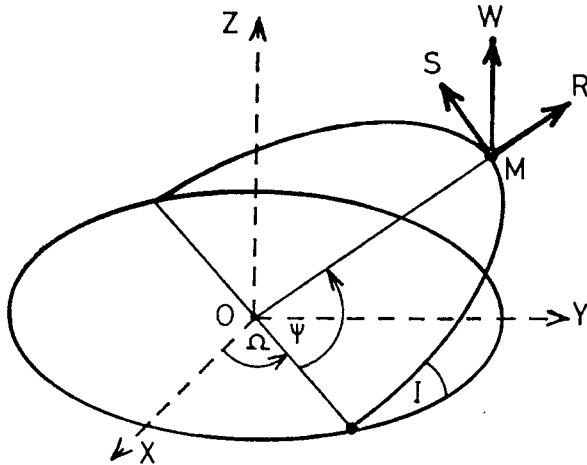
Másrészt (5) alapján tudjuk, hogy $df/dt = 0$, vagy részletesebben:

$$\sum_{x, y, z} \frac{\partial f}{\partial x} \dot{x} + \sum_{x, y, z} \frac{\partial f}{\partial \dot{x}} \ddot{x} = 0$$

Ez a mi esetünkben azt jelenti, hogy (7) jobb oldalán az összegezésben szereplő első két tag eltűnik, vagyis:

$$\sum_j \frac{\partial \varphi}{\partial C_j} \frac{dC_j}{dt} = \frac{\partial f}{\partial \dot{x}} F_x + \frac{\partial f}{\partial \dot{y}} F_y + \frac{\partial f}{\partial \dot{z}} F_z$$

Ezzel olyan alapvető formulát kaptunk meg, amely összefüggést állapít meg a pályaelemek deriváltjai és a perturbáló erő összetevői között. Kezelhetőbbé válik a formula, ha a pályasíkhhoz kötött koordinátarendszerre térünk át /l. F.1. ábrát/ amelyben a perturbáló erő komponensei a következők:



F.1. ábra

R = a rádiusz vektor irányába eső komponens
 S = a rádiuszvektorra merőleges, síkbeli komponens
 W = a síkra merőleges komponens.

Az R,S,W alkosson jobbsodrású rendszert. Ebben a koordinátarendszerben a sebességkomponensek rendre: \dot{r} , $r\dot{\psi}$, \dot{z} és így az alapvető formula új alakja:

$$\sum_j \frac{\partial \varphi}{\partial C_j} \frac{dC_j}{dt} = \frac{\partial f}{\partial \dot{r}} \dot{r} + \frac{1}{r} \frac{\partial f}{\partial \dot{\psi}} r\dot{\psi} + \frac{\partial f}{\partial \dot{z}} \dot{z} \quad (9)$$

Ezt az alapvető formulát használjuk a továbbiakban a Gauss-egyenletek levezetésére.

b/ Az a fél nagytengely perturbációja

Alkalmazzuk a (9) formulát az energia integrál polárkoordinátás alakjára, a tagokat célszerűen szétválasztva /koordinátákat és sebességkomponenseket ill. pályaelemeket tartalmazó tagokra/:

$$\frac{1}{2} \dot{r}^2 + \frac{1}{2} r^2 \dot{\psi}^2 - \frac{\mu}{r} = -\frac{\mu}{2a}$$

Ebben az esetben tehát a bal oldal adja az $f(x,y,\dots,z)$ függvényt, és így a deriváltak:

$$\frac{\partial f}{\partial \dot{r}} = \dot{r} ; \quad \frac{\partial f}{\partial r \dot{\psi}} = r\dot{\psi} ; \quad \frac{\partial f}{\partial \dot{z}} = 0$$

Másrészt $(C_1, C_2, \dots, C_j) = -\mu/2a = \varphi(a)$ alapján kapjuk:

$$\sum_j \frac{\partial \varphi}{\partial C_j} \frac{dC_j}{dt} = \frac{\partial(-\mu/2a)}{\partial a} \frac{da}{dt} = \frac{\mu}{2a^2} \frac{da}{dt}$$

Az alapformula ebben az esetben, mivel \underline{a} az egyetlen C_j , a következő alakú lesz:

$$\frac{\mu}{2a^2} \frac{da}{dt} = \dot{r}R + r\dot{\psi}S \quad (10)$$

A polárkoordinátákat célszerű pályaelemekkel helyettesíteni. A kúpszeletet definiáló egyenletet deriválva kapjuk:

$$\dot{r} = \frac{a(1-e^2) \cdot e \sin v}{(1+e \cdot \cos v)^2} \cdot \frac{dv}{dt}$$

és mivel a mi esetünkben $\Delta\phi = \Delta v$, kapjuk: $\frac{dv}{dt} = \frac{C}{r^2} = \frac{n a^2 \sqrt{1-e^2}}{r^2}$.

Mindezeket (10)-be helyettesítve:

$$\frac{\mu}{2a^2} \frac{da}{dt} = \frac{a(1-e^2) \cdot e \cdot \sin v}{(1+e \cdot \cos v)^2} \cdot \frac{n a^2 \sqrt{1-e^2}}{r^2} R + \frac{a(1-e^2) n a^2 \sqrt{1-e^2}}{(1+e \cdot \cos v) \cdot r^2} S$$

Egyszerűsítések után, $\mu = n^2 a^3$ felhasználásával kapjuk a végeredményt:

$$\frac{da}{dt} = \frac{2}{n\sqrt{1-e^2}} [e \cdot \sin v \cdot R + (1+e \cdot \cos v) \cdot S] \quad (11)$$

Ezt nevezik az első Gauss-féle egyenletnek.

c/ Az e excentricitás perturbációja

Fejezzük ki a területi integrál állandóját: $C = \sqrt{\mu a(1-e^2)} = r^2 \dot{\psi}$.

Most $f(x,y,z,\dot{x},\dot{y},\dot{z}) = r^2 \dot{\psi}$, így a megfelelő deriváltak:

$\partial f / \partial \dot{r} = 0$, $\partial f / r \partial \dot{\psi} = r$ és $\partial f / \partial \dot{z} = 0$. Másrészt, mivel

$\varphi(C, C, \dots, C_j) = \sqrt{\mu a(1-e^2)} = \varphi(a, e)$, itt is deriválva:

$\partial \varphi / \partial a = \sqrt{\mu(1-e^2)} / 2\sqrt{a}$ és $\partial \varphi / \partial e = -e\sqrt{\mu a} / \sqrt{1-e^2}$.

Ezeket az alapvető (9) formulába helyettesítve:

$$\frac{\sqrt{\mu(1-e^2)}}{2\sqrt{a}} \frac{da}{dt} + \frac{-e\sqrt{\mu a}}{\sqrt{1-e^2}} \frac{de}{dt} = r \cdot S \quad (12)$$

Az imént levezetett da/dt , valamint $r = a(1-e \cdot \cos E)$ és $\mu = n^2 a^3$ felhasználásával az alábbi összefüggést kapjuk:

$$\frac{e\sqrt{n^2a^4}}{\sqrt{1-e^2}} \frac{de}{dt} = \frac{\sqrt{n^2a^3(1-e^2)}}{2\sqrt{a}} \cdot \frac{2}{n\sqrt{1-e^2}} [e \cdot \sin v \cdot R + (1+e \cdot \cos v) \cdot S] -$$

$$-a(1-e \cdot \cos E) \cdot S .$$

Végül egyszerűsítések után kapjuk az e perturbációjára:

$$\frac{de}{dt} = \frac{\sqrt{1-e^2}}{n \cdot a} [\sin v \cdot R + (\cos v + \cos E) \cdot S] \quad (13)$$

d/ Az I inklináció és a csomópont Ω hosszának perturbációja

Alkalmazzuk most a (8)-beli összefüggést a területi integrál jól ismert összefüggéseivel kapcsolatban:

$$\begin{aligned} y\dot{z} - z\dot{y} &= c_1 = C \cdot \sin I \cdot \sin \Omega \\ z\dot{x} - x\dot{z} &= c_2 = -C \cdot \sin I \cdot \cos \Omega \\ x\dot{y} - y\dot{x} &= c_3 = C \cdot \cos I \end{aligned}$$

Az előzőekben már részletesen bemutatott műveletekkel kapjuk, hogy $\varphi(a, e, I, \Omega)$ és így:

$$\left(\frac{\partial C}{\partial a} \cdot \frac{da}{dt} + \frac{\partial C}{\partial e} \cdot \frac{de}{dt} \right) \sin I \cdot \sin \Omega + C \cdot \cos I \cdot \sin \Omega \frac{dI}{dt} + C \cdot \sin I \cdot \cos \Omega \frac{d\Omega}{dt} = -z \cdot F_y + y \cdot F_z$$

$$-\left(\frac{\partial C}{\partial a} \cdot \frac{da}{dt} + \frac{\partial C}{\partial e} \cdot \frac{de}{dt} \right) \cdot \sin I \cdot \cos \Omega - C \cdot \cos I \cdot \cos \Omega \frac{dI}{dt} + C \cdot \sin I \cdot \cos \Omega \frac{d\Omega}{dt} = z \cdot F_x - x \cdot F_z \quad (14)$$

$$\left(\frac{\partial C}{\partial a} \cdot \frac{da}{dt} + \frac{\partial C}{\partial e} \cdot \frac{de}{dt} \right) \cos I - C \cdot \sin I \frac{dI}{dt} = x \cdot F_y - y \cdot F_x .$$

Összevetve (12)-vel, látható, hogy a zárójeles kifejezések értéke: $r \cdot S$. Másrészt, a (14) jobb oldalán tkp. $\vec{r} \times \vec{F}$ vektori szorzat vetületeit látjuk. A vektori szorzat értéke a MZ-tengelyre vonatkoztatva: rS , míg MY-ra vonatkoztatva: $-rW$. Lényeges egyszerűsítések adódnak, ha áttérünk az eredeti xyz-koordinátarendszerre. Az ehhez szükséges szukcessziv rotációk (ψ, I, Ω) elvégzése után az $r \cdot S$ -t tartalmazó tagok eltűnnek és néhány egyszerűsítés után nyerjük:

$$C \cdot \cos I \cdot \sin \Omega \frac{dI}{dt} + C \cdot \sin I \cdot \cos \Omega \frac{d\Omega}{dt} = (\sin \psi \cos \Omega + \cos \psi \sin \Omega \cos I) \cdot r \cdot W$$

$$-C \cdot \cos I \cdot \cos \Omega \frac{dI}{dt} + C \cdot \sin I \cdot \sin \Omega \frac{d\Omega}{dt} = (\sin \phi \sin \Omega - \cos \phi \cos \Omega \cos I) \cdot r \cdot W \quad (15)$$

$$-C \cdot \sin I \frac{dI}{dt} = -\cos \phi \sin I \cdot r \cdot W.$$

Igy (15) 3. egyenlete, $\phi = \omega + v$ felhasználásával megadja az inklináció perturbációját:

$$\frac{dI}{dt} = \frac{r \cdot \cos(\omega + v)}{na^2 \sqrt{1 - e^2}} \cdot W.$$

A $d\Omega/dt$ kifejezése érdekében (15) első egyenletét szorozzuk meg $\cos \Omega$ -val, a másodikat $\sin \Omega$ -val. Könnyű észrevenni, hogy ekkor a két egyenlet baloldali első tagjainak összege nulla, a második tagok pedig összegként $C \cdot \sin I \cdot d\Omega/dt$ -t adnak. Hasonlóan könnyű belátni, hogy a jobb oldalon a második tagok összege nulla, így a jobb oldal összege $\sin \phi \cdot r \cdot W$, tehát végül is együtt:

$$C \cdot \sin I \frac{d\Omega}{dt} = r \cdot \sin \phi \cdot W.$$

Innen kapjuk most már a 4. Gauss-egyenletet: $\frac{d\Omega}{dt} = \frac{r \cdot \sin(\omega + v)}{na^2 \sqrt{1 - e^2} \cdot \sin I} \cdot W$

Figyelemreméltó, hogy I és Ω perturbációi a perturbáló erőnek azzal a komponensével arányosak, amely merőleges a pályasíkra. Ha ez nulla, I és Ω sem változik!

e/ Az M közepes anomália perturbációja

Mivel több integrál, amelyből M változásaira tudnánk következtetni, nem áll rendelkezésre, felvesszük az elemeknek egy tetszőleges $F(C_j)$ függvényét, amelyre igaz:

$$\sum_j \frac{\partial F}{\partial C_j} \frac{dC_j}{dt} = \frac{dF}{dt} \quad (18)$$

Ilyen függvénynek választhatjuk például a rádiuszvektort megadó következő formulát: $F(C_j) = r = a(1 - e \cdot \cos E)$, és akkor máris van olyan összefüggésünk, amelyben a dM/dt is szerepel:

$$\frac{dr}{dt} = \frac{\partial r}{\partial a} \cdot \frac{da}{dt} + \frac{\partial r}{\partial e} \cdot \frac{de}{dt} + \frac{\partial r}{\partial M} \cdot \frac{dM}{dt} \quad (19)$$

A továbbiakban tehát a különböző parciális deriváltakat kell meghatározni. Mindjárt az alapfüggvényünkből kapjuk:

$$\frac{\partial r}{\partial a} = (1 - e \cos E) = \frac{r}{a}$$

A második deriváltat egyelőre így tudjuk felírni:

$$\frac{\partial r}{\partial e} = -a \cdot \cos E + \frac{\partial r}{\partial E} \cdot \frac{\partial E}{\partial e}$$

Szintén az alapfüggvényből nyerjük: $\frac{\partial r}{\partial E} = ae \cdot \sin E$ és az $E = M + e \cdot \sin E$ Kepler egyenletből:

$$\frac{\partial E}{\partial e} = \sin E \frac{\partial E}{\partial M} = \frac{\sin E}{1 - e \cos E} = \frac{a}{r} \sin E$$

Ezek után nyilván: $\frac{\partial r}{\partial e} = -a \cdot \cos E + ae \cdot \sin E \frac{a}{r} \sin E$, ami az alapfüggvényünk felhasználásával és némi egyszerűsítéssel ilyen alakú lesz:

$$\frac{\partial r}{\partial e} = \frac{-a(\cos E - e \cdot \cos^2 E - e \cdot \sin^2 E)}{1 - e \cdot \cos E} = a \frac{e - \cos E}{1 - e \cos E}$$

Azonban ismert, hogy $r \cdot \cos v = a(\cos E - e)$, ennek felhasználásával:

$$\frac{\partial r}{\partial e} = -a \cdot \cos v. \text{ Az utolsó derivált könnyen felírható az eddi-}$$

giek alapján:

$$\frac{\partial r}{\partial M} = \frac{\partial r}{\partial E} \cdot \frac{\partial E}{\partial M} = ea \cdot \sin E \cdot \frac{1}{1 - e \cos E} = \frac{a^2 e \cdot \sin E}{r}$$

A korábbiakhoz hasonlóan, gyakorlati okok miatt célszerű az E excentrikus anomáliát kiküszöbölni. Erre használható pl. az $\sqrt{1-e^2} \sin E = r \cdot \sin v$ összefüggés, minek segítségével

$$\frac{\partial r}{\partial M} = \frac{ae \cdot \sin v}{\sqrt{1-e^2}}$$

Végül (19) baloldalán szereplő deriváltat határozzuk meg:

$$\frac{dr}{dt} = ae \cdot \sin E \cdot \frac{dE}{dt} = ae \cdot \sin E \frac{na}{r} = n \frac{\partial r}{\partial M} = \frac{nae \cdot \sin v}{\sqrt{1-e^2}}$$

Eddigi eredményeinket (19)-be helyettesítve:

$$\frac{r}{a} \frac{da}{dt} - a \cdot \cos v \frac{de}{dt} + \frac{ae \cdot \sin v}{\sqrt{1-e^2}} \frac{dM}{dt} = \frac{nae \cdot \sin v}{\sqrt{1-e^2}}$$

A korábban már levezetett da/dt , de/dt egyenleteket formálisan behelyettesítve, és a tagokat az R és S komponensek szerint csoportosítva kapjuk:

$$\frac{dM}{dt} = n + \left[\frac{-2r}{a^2 n} + \frac{(1-e^2) \cdot \cos v}{aen} \right] R + \left[\frac{(1-e^2) \cos v \cdot (\cos v + \cos E)}{aen \cdot \sin v} - \frac{2r(1+e \cdot \cos v)}{a^2 en \cdot \sin v} \right] S$$

Az egyenlet végső alakját néhány átalakítás után kapjuk:

$$\frac{dM}{dt} = n + \frac{1-e^2}{aen} \left[\left(\cos v - \frac{2e}{1 + e \cos v} \right) R - \left(1 + \frac{1}{1 + e \cos v} \right) \sin v \cdot S \right]$$

f/ A perihelium ω argumentumának perturbációja

Tekintsük a $\psi = \omega + v$ pályasíkbeli szöget, miközben az összes pályaelem változik. Mivel a Δv és $\Delta \omega$ változások a pályasíkban történnek, nyilván abszolút értékükkel jelentkeznek $\Delta \psi$ -ben. Másrészt azonban kimutatható [154], hogy $r(a, e)$, I és Ω változásainak összege $\Delta \Omega \cdot \cos I$ -vel arányos. Ezért írhatjuk:

$$\frac{d\psi}{dt} = \frac{dv}{dt} + \frac{d\omega}{dt} + \frac{d\Omega}{dt} \cos I \quad \text{Igy aztán, figyelembe véve, hogy } v \text{ függ } e\text{-től és } M\text{-től is, kapjuk:}$$

$$\frac{d\omega}{dt} = \frac{d\psi}{dt} - \left(\frac{\partial v}{\partial e} \frac{de}{dt} + \frac{\partial v}{\partial M} \frac{dM}{dt} \right) - \frac{d\Omega}{dt} \cos I \quad (23)$$

Az első deriváltat a területi integrál adja: $\frac{d\psi}{dt} = \frac{C}{r^2} = \frac{na^2 \sqrt{1-e^2}}{r^2}$

A további parciális deriváltakat a $\operatorname{tg} \frac{v}{2} = \sqrt{\frac{1+e}{1-e}} \operatorname{tg} \frac{E}{2}$ összefüggés deriválásából kapjuk:

$$\frac{\partial v}{\partial e} \cdot \frac{1}{\sin v} = \frac{\partial E}{\partial e} \cdot \frac{1}{\sin E} + \frac{1}{1-e^2}$$

és az előző egyenlet levezetésénél talált $\partial E / \partial e = (a \cdot \sin E) / r$ felhasználásával

$$\frac{\partial v}{\partial e} = \sin v \left(\frac{a}{r} + \frac{1}{1-e^2} \right) .$$

A következő parciális deriváltat szintén fenti formula deriválásából és korábbi összefüggésekből kapjuk:

$$\frac{\partial v}{\partial M} = \frac{\partial v}{\partial E} \cdot \frac{\partial E}{\partial M} = \frac{\sin v}{\sin E} \cdot \frac{a}{r} = \frac{a^2 \sqrt{1-e^2}}{r^2}$$

Mindezeket behelyettesítve (23)-ba:

$$\frac{d\omega}{dt} = \frac{na^2 \sqrt{1-e^2}}{r^2} - \left[\sin v \left(\frac{a}{r} + \frac{1}{1-e^2} \right) \frac{de}{dt} + \frac{a^2 \sqrt{1-e^2}}{r^2} \frac{dM}{dt} \right] - \frac{d\Omega}{dt} \cos I$$

A már levezetett de/dt , dM/dt és $d\Omega/dt$ Gauss-egyenleteket felhasználva:

$$\begin{aligned} \frac{d\omega}{dt} = & \frac{na^2 \sqrt{1-e^2}}{r^2} - \left\{ \sin v \left(\frac{a}{r} + \frac{1}{1-e^2} \right) \frac{\sqrt{1-e^2}}{na} [R \cdot \sin v + (\cos E + \cos v) \cdot S] \right\} - \\ & - \frac{a^2 \sqrt{1-e^2}}{r^2} \left\{ n + \frac{1-e^2}{nae} \left[R \left(\frac{-2e}{1+e \cos v} + \cos v \right) - \left(1 + \frac{1}{1+e \cos v} \right) \sin v \right] \right\} \cdot S - \\ & - \frac{r \cdot \sin(\omega + v)}{na^2 \sqrt{1-e^2}} \cos I \cdot W. \end{aligned}$$

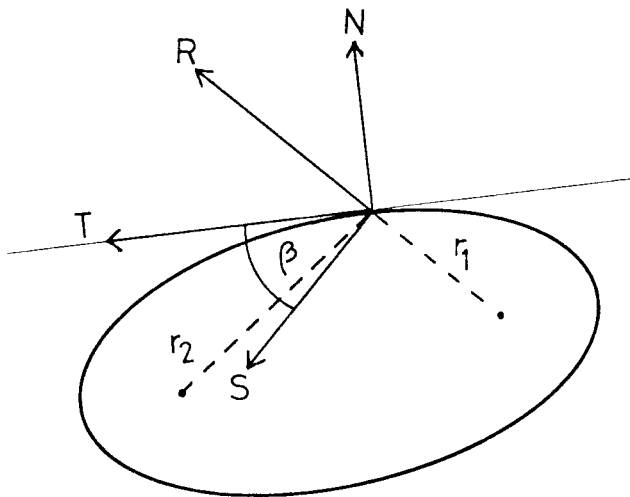
A továbbiakban, a kijelölt műveleteket elvégezve, és a tagokat R, S, W szerint csoportosítva, kiderül, hogy csak a harmadik komponens tekinthető véglegesnek. Igen egyszerű, de nagyon hosszadalmas /2 oldalt kitöltő/ átalakítások folyamán felhasználunk a kéttest problémából jól ismert összefüggéseket, míg eljutunk Gauss 6. egyenletének végleges alakjához:

$$\frac{d\omega}{dt} = \frac{\sqrt{1-e^2}}{nae} \left[-\cos v \cdot R + \left(1 + \frac{1}{1+e \cos v} \right) \sin v \cdot S \right] - \frac{r \cdot \sin(\omega + v)}{na^2 \sqrt{1-e^2}} \cos I \cdot W$$

Ezzel befejeztük Gauss egyenleteinek levezetését.

A GAUSS-EGYENLETEK MÁSODIK FORMÁJA

Sok esetben célszerű a perturbáló erőt más komponensekre bontani, mint ahogy azt az 1. sz. FÜGGELÉK-ben tettük. Pl. a légköri közegellenállás tangenciális erő, így eleve egyszerűbb összefüggéseket remélhetünk, ha ilyen komponenssel dolgozunk. Ezért a pályasíkbeli R és S komponenseket helyettesítsük az ábra szerinti T és N komponensekkel. T irányát az r_1, r_2



F.2. ábra

rádiuszvektorok által meghatározott külső szög szögfelezője adja, míg N merőleges T-re. Az S és T közötti β szög kifejezhető a pályaelemekkel:

$$\sin\beta = \frac{1 + e \cdot \cos v}{\sqrt{1 + e^2 + 2e \cdot \cos v}}$$

$$\cos\beta = \frac{e \cdot \sin v}{\sqrt{1 + e^2 + 2e \cdot \cos v}}$$

Igy egy β szögű elforgatás révén kifejezhetjük a régi és új komponensek közötti összefüggést:

$$\begin{aligned} S &= \sin\beta \cdot T + \cos\beta \cdot N \\ R &= \cos\beta \cdot T - \sin\beta \cdot N \end{aligned} \quad (1)$$

A továbbiakban az (1) relációkat felhasználva alakítjuk át a Gauss-egyenleteket, a közegellenállás esetére alkalmazva, ahol $N = 0$ és $W = 0$. Így az első egyenlet:

$$\frac{da}{dt} = \frac{2}{n\sqrt{1-e^2}} \left[\sin v \frac{e \cdot \sin v}{\sqrt{1+e^2+2e \cdot \cos v}} T + (1+e \cdot \cos v) \frac{1+e \cdot \cos v}{\sqrt{1+e^2+2e \cdot \cos v}} T \right]$$

A megfelelő összevonások és átalakítások után: $\frac{da}{dt} = \frac{2\sqrt{1+e^2+2e \cdot \cos v}}{n\sqrt{1-e^2}} T$ (2)

Összehasonlítva az első formájú egyenlettel, szembevetendő az egyszerűsödés.

A de/dt egyenlet az új erőkomponenssel kifejezve:

$$\frac{de}{dt} = \frac{\sqrt{1-e^2}}{na} \left[\sin v \frac{e \cdot \sin v}{\sqrt{1+e^2+2e \cdot \cos v}} T + (\cos v + e \cdot \cos v) \frac{1+e \cdot \cos v}{\sqrt{1+e^2+2e \cdot \cos v}} T \right]$$

Az egyszerűsítést csak a $(\cos v + e \cdot \cos v)$ kifejezés átalakításával lehet elérni. Ehhez használjuk az alábbi két kifejezést:

$$\cos E = \frac{1}{e} - \frac{r}{ae} \quad \text{és} \quad \cos v = -\frac{1}{e} + \frac{a(1-e^2)}{re}$$

Ezeket tagonként összegezzük és így kapjuk:

$$\cos E + \cos v = \frac{2 \cdot \cos v + e \cdot \cos^2 v + e}{1 + e \cdot \cos v} \quad . \text{ Ennek behelyettesítése után}$$

$$\text{az egyenlet végső alakja:} \quad \frac{de}{dt} = \frac{2\sqrt{1-e^2}(e+\cos v)}{na\sqrt{1+e^2+2e \cdot \cos v}} T. \quad (3)$$

Ismét szembetűnő, hogy a 2. formájú egyenlet mennyivel egyszerűbb.

De kezdeti feltevéseink alapján a következő két egyenlet még egyszerűbb:

$$\frac{dI}{dt} = 0 \quad \text{és} \quad \frac{d\Omega}{dt} = 0$$

A következő egyenlet a formális behelyettesítés után így néz ki:

$$\frac{d\omega}{dt} = \frac{\sqrt{1-e^2}}{nae} \left[\frac{-\cos v \cdot e \cdot \sin v}{\sqrt{1+e^2+2e \cdot \cos v}} T + \left(1 + \frac{1}{1+e \cdot \cos v}\right) \cdot \frac{\sin v(1+e \cdot \cos v)}{\sqrt{1+e^2+2e \cdot \cos v}} T \right].$$

Néhány egyszerűsítés és összevonás után végülis:

$$\frac{d\omega}{dt} = \frac{2\sqrt{1-e^2} \cdot \sin v}{nae\sqrt{1+e^2+2e \cdot \cos v}} T$$

Az utolsó egyenlet az új erőkomponensre való áttérés után:

$$\begin{aligned} \frac{dM}{dt} = n + \frac{1-e^2}{nae} \left[\left(\frac{-2e}{1+e \cdot \cos v} + \cos v \right) \cdot \frac{e \cdot \sin v}{\sqrt{1+e^2+2e \cdot \cos v}} T - \right. \\ \left. - \left(1 + \frac{1}{1+e \cdot \cos v} \right) \cdot \sin v \cdot \frac{(1+e \cdot \cos v)}{\sqrt{1+e^2+2e \cdot \cos v}} T \right] \end{aligned}$$

A lehetséges összevonások és egyszerűsítések elvégzése után:

$$\frac{dM}{dt} = n - \frac{2 \cdot (1-e) \cdot \sin v \cdot (1+e \cdot \cos v + e^2)}{nae \cdot (1+e \cdot \cos v) \sqrt{1+e^2+2e \cdot \cos v}} T$$

Ezzel megkaptuk Gauss 6. egyenletének második formáját is.

A LAGRANGE EGYENLETEK LEVEZETÉSE

Az égimechanikában rendszerint a Lagrange egyenleteket használják az egyszerűbb perturbációs feladatok megoldásánál és megemlítik, hogy ezek egyenértékűek a Gauss-féle egyenletekkel. Mivel a légsűrűséggel kapcsolatos problémához kedvezőbb volt a Gauss-egyenletekből kiindulnom, mégpedig azok második formájából, most megmutatom, hogy miként lehet levezetni a Gauss-egyenletekből kiindulva a Lagrange egyenleteket, amelyeket rendszerint önállóan vezetnek le.

Feltételezzük, hogy a perturbáló erő valamilyen gradiens: vagyis $F = \text{grad } Q$, ahol Q valamilyen perturbációs függvény /az alábbiakban a Q jelölést a gépelés egyszerűsítésére vezettük be a szokásos \mathcal{R} helyett/. Ez esetben a perturbáló erő R, S, W komponenseit mint Q megfelelő irányokban vett deriváltjait kapjuk:

$$R = \frac{\partial Q}{\partial r} ; \quad S = \frac{1}{r} \frac{\partial Q}{\partial \psi} ; \quad W = \frac{\partial Q}{\partial z} .$$

Legyen C_j egy tetszőleges klasszikus pályaelem, akkor írhatjuk:

$$\frac{\partial Q}{\partial C_j} = \frac{\partial Q}{\partial r} \frac{\partial r}{\partial C_j} + \frac{\partial Q}{\partial \psi} \frac{\partial \psi}{\partial C_j} + \frac{\partial Q}{\partial z} \frac{\partial z}{\partial C_j} = R \frac{\partial r}{\partial C_j} + rS \frac{\partial \psi}{\partial C_j} + W \frac{\partial z}{\partial C_j}$$

Az 1. és 2. sz. FÜGGELÉK-ben már kiszámítottuk a szükséges parciális deriváltak többségét:

$$\frac{\partial r}{\partial a} = \frac{r}{a} ; \quad \frac{\partial r}{\partial e} = -a \cdot \cos v ; \quad \frac{\partial r}{\partial M} = \frac{ae \cdot \sin v}{\sqrt{1-e^2}}$$

$$\frac{\partial \psi}{\partial \omega} = 1 ; \quad \frac{\partial \psi}{\partial v} = 1 ; \quad \frac{\partial \psi}{\partial \Omega} = \cos I$$

$$\frac{\partial \psi}{\partial e} = \sin v \left(\frac{a}{r} + \frac{1}{1-e^2} \right) ; \quad \frac{\partial \psi}{\partial M} = \frac{a^2}{r^2} \sqrt{1-e^2}$$

Hátra van még tehát a $\partial Z / \partial C_j$ deriváltak meghatározása. Egy dZ változást kaphatunk pl. egy dI elforgatással ON körül /l. ábra, az 1. sz. FÜGGELÉK-ben!/
 $R_1 = r \cdot \sin(\omega+v)$ sugárral, de ugyanugy egy $d\Omega$ elforgatással OZ körül,
 $R_2 = r \cdot \cos(\omega+v) \cdot \sin I$ sugárral. Ennek megfelelően felírhatjuk a következő parciális deriváltakat:

$$\frac{\partial Z}{\partial I} = r \cdot \sin(\omega+v) \quad \text{és} \quad \frac{\partial Z}{\partial \Omega} = -r \cdot \cos(\omega+v) \cdot \sin I$$

Most már meghatározhatjuk a Q perturbációs függvény elemek szerinti deriváltjait:

$$\frac{\partial Q}{\partial a} = \frac{r}{a} \cdot R \quad (1)$$

$$\frac{\partial Q}{\partial e} = -a \cdot \cos v \cdot R + \sin v \left(a + \frac{r}{1-e^2} \right) S \quad (2)$$

$$\frac{\partial Q}{\partial I} = r \cdot \sin(\omega+v) \cdot W \quad (3)$$

$$\frac{\partial Q}{\partial \Omega} = r \cdot \cos I \cdot S - r \cdot \cos(\omega+v) \cdot \sin I \cdot W \quad (4)$$

$$\frac{\partial Q}{\partial \omega} = r \cdot S \quad (5)$$

$$\frac{\partial Q}{\partial M} = \frac{ae \cdot \sin v}{\sqrt{1-e^2}} R + \frac{a}{r} \sqrt{1-e^2} \cdot S \quad (6)$$

a/ Kezdjük a sort az első Gauss-egyenlettel:

$$\frac{da}{dt} = \frac{2}{n\sqrt{1-e^2}} [e \cdot \sin v \cdot R + (1+e \cdot \cos v) S]$$

Figyelembevéve azonban, hogy $(1+e \cdot \cos v) = a(1-e^2)/r$, és kiemelve $2/na$ -t a zárójelben pontosan (6)-ot találjuk, így írhatjuk:

$$\frac{da}{dt} = \frac{2}{na} \frac{\partial Q}{\partial M} \quad (7)$$

és ez pontosan Lagrange első egyenlete.

b/ A második egyenlet Gaussnál:

$$\frac{de}{dt} = \frac{\sqrt{1-e^2}}{na} [\sin v \cdot R + (\cos E + \cos v) \cdot S] \quad (8)$$

Fejezzük ki (6)-ból $\sin v \cdot R$ -t, majd vegyük figyelembe, hogy

$$(\cos E + \cos v) = \frac{a(1-e^2)}{re} - \frac{r}{ae}, \text{ akkor kapjuk:}$$

$$\frac{de}{dt} = \frac{\sqrt{1-e^2}}{na} \left[\frac{\sqrt{1-e^2}}{ae} \cdot \frac{\partial Q}{\partial M} - \frac{a(1-e^2)}{re} S + \frac{a(1-e^2)}{re} - \frac{r}{ae} S \right]$$

Elvégezve az egyszerűsítéseket és felhasználva (5)-öt, kapjuk:

$$\frac{de}{dt} = \frac{1-e^2}{na^2e} \frac{\partial Q}{\partial M} - \frac{\sqrt{1-e^2}}{na^2e} \frac{\partial Q}{\partial \omega} \quad (9)$$

c/ Gauss 3. egyenlete:

$$\frac{dI}{dt} = \frac{r \cdot \cos(\omega + \nu)}{na^2 \sqrt{1-e^2}} W$$

A (4)-ből kapjuk: $r \cdot \cos(\omega + \nu) W = r \cdot \frac{\cos I}{\sin I} S - \frac{1}{\sin I} \frac{\partial Q}{\partial \Omega}$ és ismét (5) figyelembevételével kapjuk:

$$\frac{dI}{dt} = \frac{-1}{na^2 \sqrt{1-e^2} \cdot \sin I} \cdot \frac{\partial Q}{\partial \Omega} + \frac{\cos I}{na^2 (1-e^2) \sin I} \cdot \frac{\partial Q}{\partial \omega} \quad (10)$$

d/ A következő egyenlet:

$$\frac{d\Omega}{dt} = \frac{r \cdot \sin(\omega + \nu)}{na^2 \sin I \sqrt{1-e^2}} W$$

Felismerve, hogy a számláló éppen (3)-mal egyenlő, írhatjuk:

$$\frac{d\Omega}{dt} = \frac{1}{na^2 \sqrt{1-e^2} \cdot \sin I} \frac{\partial Q}{\partial I} \quad (11)$$

e/ Az ötödik egyenletet részletesen leírva látjuk, hogy:

$$\frac{d\omega}{dt} = \frac{\sqrt{1-e^2}}{nae} \left[-\cos \nu \cdot R + \left(1 + \frac{1}{1+e \cdot \cos \nu}\right) \sin \nu \cdot S \right] - \frac{r \cdot \cos I \cdot \sin(\omega + \nu)}{na^2 \sqrt{1-e^2} \cdot \sin I} W$$

a szögletes zárójelben tkp. $\frac{1}{a} \frac{\partial Q}{\partial e}$ található, ami (2) alapján ellenőrizhető. Az utolsó tag pedig kifejezhető (3)-mal is, így kapjuk:

$$\frac{d\omega}{dt} = \frac{\sqrt{1-e^2}}{na^2 e} \cdot \frac{\partial Q}{\partial e} - \frac{\cos I}{na^2 \sqrt{1-e^2} \cdot \sin I} \cdot \frac{\partial Q}{\partial I} \quad (12)$$

f/ Az utolsó egyenlet Gauss-féle változata:

$$\frac{dM}{dt} = n + \frac{1-e^2}{aen} \left[\left(\cos \nu - \frac{2e}{1+e \cdot \cos \nu} \right) R - \left(1 + \frac{1}{1+e \cdot \cos \nu} \right) \sin \nu \cdot S \right]$$

A (2) átrendezésével előállíthatjuk az egyenlet utolsó tagját:

$$\frac{1}{a} \frac{\partial Q}{\partial e} + \cos \nu \cdot R = \sin \nu \left(1 + \frac{1}{1+e \cdot \cos \nu} \right) \cdot S. \text{ Másrészt (1) alapján írhatjuk:}$$

$$\frac{1-e^2}{1+e \cdot \cos \nu} R = \frac{r}{a} \cdot R = \frac{\partial Q}{\partial a} \quad \text{és ezek felhasználásával végülis:}$$

$$\frac{dM}{dt} = n - \frac{2}{na} \cdot \frac{\partial Q}{\partial a} - \frac{1-e^2}{na^2 e} \cdot \frac{\partial Q}{\partial e}$$

Ezzel befejeztük a Lagrange egyenletek levezetését, és egyuttal kimutattuk, hogy ezek teljesen azonosak Gauss egyenleteivel. Csupán matematikai formalizmusban térnek el egymástól, és a konkrét feladat dönti el, hogy melyiket célszerűbb használni.

FORMULA A SÜRÜSÉG MEGHATÁROZÁSÁRA

Az alapvető formulánkat úgy vezetjük le, hogy a megszokott égimechanikai módszerekkel meghatározzuk az 1 keringés folyamán fellépő perturbáció mértékét az a és e pályaelemeknél, majd a kapott összefüggésbe bevezetjük a közegellenállási erőn keresztül a közeg /meghatározandó/ sűrűségét. Utóbbi végülis explicit alakban állítjuk elő, analitikus formában, a pályaelemek és néhány egyéb paraméter függvényében.

A gondolatmenet, amelyet követni fogok, nem új. Többen is ezt a gondolatmenetet követték, de csak vázolták a főbb lépéseket. Ezért tartom érdemesnek bemutatni saját levezetésemet teljes részletességgel, noha ugyanazt az eredményt hozom ki, mint mások.

Induljunk ki az első Gauss-egyenletből /2. sz. FÜGGELÉK/:

$$\frac{da}{dt} = \frac{2\sqrt{1+e^2+2e \cdot \cos\theta}}{n\sqrt{1-e^2}} \quad \mathcal{T} \quad (1)$$

$$\frac{de}{dt} = \frac{2\sqrt{1-e^2}(e+\cos\theta)}{na\sqrt{1+e^2+2e \cdot \cos\theta}} \quad \mathcal{T} \quad (2)$$

ahol: θ a valódi anomália, n a közepes mozgás, \mathcal{T} pedig a perturbáló erő tangenciális komponense. Ezekből az összefüggésekből kívánjuk levezetni Sterne jól ismert formuláit [206], [207], amelyek integrál alakjában adják meg az egy keringés folyamán elszenvedett perturbáció mértékét.

Az integrálás szempontjából kényelmetlen gyökjelek eltüntetésére fejezzük ki a hold v sebességét, mint a radiális és tranzverzális komponensek összegét:

$$v^2 = \dot{r}^2 + r^2\dot{\theta}^2 \quad (3)$$

Az r rádiuszvektor a későbbiekben sok kényelmetlenséget okozhatna. Ezért előbb a tranzverzális komponensből tüntetjük el, a területi integrál segítségével:

$$r \cdot \dot{\theta} = \frac{\sqrt{\mu p}}{r} = \left(\frac{\mu}{p}\right)^{\frac{1}{2}} \cdot (1+e \cdot \cos\theta) \quad (4)$$

A radiális komponens átalakítására deriváljuk az ellipszis egyenletét:

$$\frac{p}{r} = 1 + e \cdot \cos\theta$$

$$-\frac{p}{r^2} \dot{r} = -e \cdot \sin\theta \cdot \dot{\theta} \quad \text{és innen: } \dot{r} = \left(\frac{\mu}{p}\right)^{\frac{1}{2}} \cdot e \cdot \sin\theta \quad (5)$$

Most (4)-et és (5)-öt (3)-ba helyettesítve, négyzetre emelés és átrendezés után a következő alakot kapjuk:

$$v\left(\frac{p}{\mu}\right)^{\frac{1}{2}} = \sqrt{1+e^2+2e\cdot\cos\theta} \quad (6)$$

Ennek és az $n = \sqrt{\mu/a^3}$ összefüggés felhasználásával az (1) és (2):

$$\frac{da}{dt} = \frac{2\sqrt{a^3}}{\sqrt{\mu} \sqrt{1-e^2}} \cdot v\left(\frac{p}{\mu}\right)^{\frac{1}{2}} \cdot T = \frac{2a^2v}{\mu} \cdot T \quad (7)$$

$$\frac{de}{dt} = \frac{2\sqrt{1-e^2}(e+\cos\theta)}{\sqrt{\frac{\mu}{a^3}} \cdot a \cdot v \cdot \sqrt{\frac{p}{\mu}}} \cdot T = \frac{2(e+\cos\theta)}{v} \cdot T \quad (8)$$

A formulában szereplő T a mi esetünkben a hold egységnyi tömegére ható közegellenállási erő, vagyis:

$$T = -D/m = -\rho \cdot \delta \cdot v^2/2$$

ahol ρ a közeg sűrűsége, $\delta = F_{R,SCD}/m$. Az F_R tényező azzal kapcsolatos, hogy a légkör a Földhöz képest rotál. A légkör rotációja következtében a mért közegellenállás tartalmaz egy, a pályasíkkal szöget bezáró erőhatást is. Ennek a sebességvektorral párhuzamos komponensét vesszük figyelembe a képletben, mint korrekciós tényezőt. A szóbanforgó komponens közelítő értéke [135]:

$$F_R = (1-r_p \cdot w \cdot \cos I/v_p)^2$$

ahol r_p, v_p = a hold rádiuszvektora és a Földhöz viszonyított sebessége a perigeumban, míg w a levegő sebessége a Földhöz képest.

A fenti képletben S jelenti a hold effektív keresztmetszetét, C_D pedig az aerodinamikai együtthatót. Helyettesítsük be T értékét (7)-be:

$$\frac{da}{dt} = \frac{2a^2v}{\mu} \left(-\frac{1}{2}\rho \cdot \delta \cdot v^2\right) = -\frac{a^2\rho \cdot \delta v^3}{\mu}$$

Mivel nem állnak rendelkezésre megfelelő formulák v integrálásához, célszerű azt inkább az E excentrikus anomáliával helyettesíteni. Ennek érdekében, felhasználva a jól ismert deriváltat:

$$\frac{dE}{dt} = \frac{1}{r} \sqrt{\frac{\mu}{a}}$$

egy tetszőleges S_j pályaelem deriválására érvényes formulát kapunk:

$$\frac{dS_j}{dE} = \frac{dS_j}{dt} \cdot \frac{dt}{dE} = r \sqrt{\frac{a}{\mu}} \cdot \frac{dS_j}{dt} \quad (10)$$

Alkalmazzuk (10)-et az \underline{a} esetére:

$$\frac{da}{dE} = -r \sqrt{\frac{a}{\mu}} \cdot \frac{a^2 \cdot \rho \cdot \delta v^3}{\mu} = -a^2 \rho \cdot \delta \cdot \left(\frac{a}{r}\right)^{\frac{1}{2}} \left(\frac{rv^2}{\mu}\right)^{\frac{3}{2}} \quad (11)$$

Azonban felhasználva az energiaintegrált, kapjuk:

$$\frac{rv^2}{\mu} = \frac{r}{\mu} \cdot \mu \left(\frac{2}{r} - \frac{1}{a}\right) = 2 - \frac{r}{a} = 1 + e \cdot \cos E \quad (12)$$

Ezt behelyettesítjük (11) -be:

$$\frac{da}{dE} = -a^2 \rho \cdot \delta \cdot \frac{(1 + e \cdot \cos E)^{\frac{3}{2}}}{(1 - e \cdot \cos E)^{\frac{1}{2}}} \quad (13)$$

Az a perturbációit, amelyeket egy keringés folyamán szenved el, megkaphatjuk, ha a (13)-at $E=0$ és $E=2\pi$ között integráljuk:

$$\Delta a = -a^2 \rho \int_0^{2\pi} \frac{(1 + e \cdot \cos E)^{\frac{3}{2}}}{(1 - e \cdot \cos E)^{\frac{1}{2}}} \cdot \rho \cdot dE \quad (14)$$

Teljesen hasonló módon lehet levezetni e perturbációit is. Első lépésként (8)-be vezessük be az E excentrikus anomáliát a θ valódi anomália helyett:

$$\begin{aligned} r \cdot \cos \theta &= a(\cos E - e) \\ e + \cos \theta &= \frac{a}{r}(\cos E - e + e - e^2 \cos E) = \frac{a}{r}(1 - e^2) \cdot \cos E \end{aligned}$$

de az $r/a = (1 - e \cdot \cos E)$ összefüggés felhasználásával:

$$e + \cos \theta = \frac{a}{r} (\cos E - e + e - e^2 \cos E) = \frac{a}{r} (1 - e^2) \cdot \cos E \quad (15)$$

Ezt (8)-ba helyettesítjük, a T -re vonatkozó összefüggéssel együtt:

$$\frac{de}{dt} = -\rho \cdot \delta \cdot v \frac{a}{r} (1 - e^2) \cdot \cos E \quad (16)$$

Ezután áttérhetünk az E szerinti deriválásra, és a kapott kifejezéseket átalakítjuk úgy, hogy (12) és (15)-öt használhassuk:

$$\frac{de}{dE} = -r \sqrt{\frac{a}{\mu}} \cdot \rho \cdot \delta \cdot v \cdot \frac{a}{r} (1 - e^2) \cdot \cos E = -a \rho \delta \left(\frac{a}{r}\right)^{\frac{1}{2}} \left(\frac{rv^2}{\mu}\right)^{\frac{1}{2}} (1 - e^2) \cdot \cos E$$

Végül (12) és (15) felhasználásával:

$$\frac{de}{dE} = -a \rho \delta \cdot \left(\frac{1 + e \cdot \cos E}{1 - e \cdot \cos E}\right)^{\frac{1}{2}} (1 - e^2) \cdot \cos E \quad (17)$$

Sok szempontból előnyösebb, ha e helyett $x = ae$ kerül az integrálandó egyenletbe. Ekkor a derivált alakja:

$$\frac{dx}{dE} = e \frac{da}{dE} + a \frac{de}{dE} = -ea^2 \rho \delta \frac{(1 + e \cos E)^{3/2}}{(1 - e \cos E)^{1/2}} - a^2 \rho \delta \frac{(1 + e \cos E)^{1/2}}{(1 - e \cos E)^{1/2}} (1 - e^2) + \cos E$$

Összevonás után:

$$\frac{dx}{dE} = -a^2 \rho \delta \left(\frac{1 + e \cos E}{1 - e \cos E} \right)^{1/2} (\cos E + e) \quad (18)$$

Végül itt is $E = 0$ és $E = 2\pi$ közötti integrálással kapjuk meg a keresett perturbációt:

$$\Delta x = -a^2 \delta \int_0^{2\pi} \left(\frac{1 + e \cdot \cos E}{1 - e \cdot \cos E} \right)^{1/2} (\cos E + e) \cdot \rho \cdot dE \quad (19)$$

A fentiekben kapott (14) és (19) egyenletek azok, amelyeket integrálva megkapjuk a keresett perturbációkat. Azonban az integrálást megkönnyíthetjük, ha átalakítjuk az integrandusokat, vagyis az

$$\frac{(1 + e \cos E)^{3/2}}{(1 - e \cos E)^{1/2}} \quad \text{és} \quad \left(\frac{1 + e \cos E}{1 - e \cos E} \right)^{1/2} \quad \text{kifejezéseket.}$$

Tekintve, hogy $u = e \cos E \leq 1$, kínálkozik a binomiális sorba való fejtés lehetősége:

$$(1+u)^{3/2} = 1 + \frac{3}{2}u + \frac{3}{8}u^2 - \frac{3}{48}u^3 + \dots$$

$$(1-u)^{-1/2} = 1 + \frac{1}{2}u + \frac{3}{8}u^2 + \frac{15}{48}u^3 + \dots$$

Tagonkénti szorzással kapjuk a következő sort:

$$(1+u)^{3/2} (1-u)^{-1/2} = 1 + 2u + \frac{12}{8}u^2 + u^3 + \dots$$

és ezt alkalmazva az első integrandusra:

$$\frac{(1+e \cos E)^{3/2}}{(1-e \cos E)^{1/2}} = 1 + 2e \cdot \cos E + \frac{3}{2} e^2 \cdot \cos^2 E + e^3 \cos^3 E + \dots$$

Hasonló módon, figyelembe véve, hogy:

$$(1 + u)^{\frac{1}{2}} = 1 + \frac{1}{2}u - \frac{1}{8}u^2 + \frac{3}{48}u^3 - \dots$$

tagonkénti szorzással adódik:

$$(1 + u)^{\frac{1}{2}}(1 - u)^{-\frac{1}{2}} = 1 + u + \frac{1}{2}u^2 + \frac{24}{48}u^3 + \dots$$

Igy tehát a második integrandust sorbafejtve:

$$\begin{aligned} \left(\frac{1 + e \cos E}{1 - e \cos E} \right)^{\frac{1}{2}} (\cos E + e) &= (1 + e \cos E + \frac{1}{2} e^2 \cos^2 E + \frac{1}{2} e^3 \cos^3 E + \dots) \cdot (\cos E + e) = \\ &= \cos E + e(\cos^2 E + 1) + e^2 \left(\frac{1}{2} \cos^3 E + \cos E \right) + \frac{1}{2} e^3 (\cos^4 E + \cos^2 E) \dots \end{aligned}$$

Integrálás szempontjából egyszerűbbé válnak a kifejezések, ha E hatványai helyett annak többszörösei szerepelnek argumentumként. Ezért célszerű felhasználni az ismert összefüggéseket:

$$\begin{aligned} \cos^2 E &= \frac{1}{2} (1 + \cos 2E) \\ \cos^3 E &= \frac{1}{4} (3 \cdot \cos E + \cos 3E) \\ \cos^4 E &= \frac{1}{8} (3 + 4 \cdot \cos 2E + \cos 4E) \end{aligned}$$

E transzformációk elvégzése után már csak a ρ sűrűségét kell könnyen integrálható formára hoznunk. Ez igen könnyen megy, ha a szokásos legegyszerűbb, gömbszimmetrikus modellt használjuk, amelyben a sűrűség exponenciálisan csökken:

$$\rho = \rho_p \exp[(r_p - r)/H]$$

Az előzőkhöz hasonlóan, itt is célszerű E és x bevezetése:

$$\begin{aligned} r &= a - x \cos E \\ r_p &= a_0 - x_0 \end{aligned}$$

képezzük a különbségüket:

$$r_p - r = a_0 - a - x_0 + x \cdot \cos E$$

Ekkor a sűrűség, a $Q = 1/H$ jelöléssel a következő alakú lesz:

$$\rho = \rho_p \exp[Q(a_0 - a - x_0) + Q \cdot x \cdot \cos E]$$

Mindezeket a (14) és (19) egyenletekbe helyettesítve megkapjuk az alapvető formulákat:

$$\Delta a = -\delta a^2 \rho_p \exp[Q(a_0 - a - x_0)] \int_0^{2\pi} [1 + 2e \cdot \cos E + \frac{3}{4} e^2 (1 + \cos 2E) + \frac{1}{4} e^3 (3 \cos E + \cos 3E)] \cdot \exp(Q \cdot x \cdot \cos E) dE$$

$$\Delta x = -\delta a^2 \rho_p \exp[Q(a_0 - a - x_0)] \int_0^{\pi} [\cos E + \frac{1}{2} e (3 + \cos 2E) + \frac{1}{8} e^2 (11 \cos E + \cos 3E) + \frac{1}{16} e^3 (7 + 8 \cdot \cos 2E + \cos 4E)] \exp(Q \cdot x \cdot \cos E) dE$$

Természetesen a sorbafejtés e^3 -nél magasabb hatványokra is kiterjeszthető lett volna, de az már meghaladná a pontossági követelményeket. Mindezeknek az átalakításoknak az volt a célja, hogy az integrálásnál használhassuk a Bessel-függvények u.n. integrál-alakját:

$$I_n(Qx) = \frac{1}{2\pi} \int \exp(Qx \cdot \cos E) \cdot \cos \cdot n \cdot E dE$$

Igy az alapvető formuláink könnyen integrálhatók tagonként, és az $I_n(Qx) = I_n$ egyszerűsített jelölést alkalmazva, végső formájukban:

$$\Delta a = -2\pi \cdot \delta a^2 \cdot \rho_p \cdot \exp[Q(a_0 - a - x_0)] \cdot [I_0 + 2eI_1 + \frac{3}{4} e^2 (I_0 + I_2) + \frac{1}{4} e^3 (3I_1 + I_3)] \quad (20)$$

$$\Delta x = -2\pi \cdot \delta a^2 \cdot \rho_p \cdot \exp[Q(a_0 - a - x_0)] \cdot [I_1 + \frac{1}{2} e (3I_0 + I_2) + \frac{1}{8} e^2 (11I_1 + I_3) + \frac{1}{16} e^3 (7I_0 + 8I_2 + I_4)] \quad (21)$$

Természetesen, ha nem általunk választott legegyszerűbb, szférikus sűrűségi modellt alkalmazunk, akkor másalaku kifejezéseket kapunk. Azonban King-Hele kimutatta [135], hogy megfelelő eljárással még egy lapult szférikus modell esetén, a magassággal változó H skálamagasság feltételezése mellett is teljesen azonos szerkezetű összefüggéseket lehet levezetni.

Az eddigiekben összefüggést hoztunk létre a keresett ρ sűrűség és a fél nagytengely Δa változása között. Ez utóbbi azonban közvetlenül nem mérhető, így célszerű azt a vele teljesen egyenértékű \dot{P} periódusváltozással

kifejezni. Erre Kepler 3. törvénye ad lehetőséget, amely a hold elhanyagolható tömege miatt a következő alakban írható:

$$P = 2\pi(GM)^{-1/2} \cdot a^{3/2} \quad (22)$$

Deriválás után:

$$\dot{P} = \frac{3}{2} \cdot 2\pi \cdot (GM)^{-1/2} \cdot a^{1/2} \cdot \dot{a}$$

De (22)-ből kifejezve $a^{1/2}$ -et, és a deriváltba helyettesítve:

$$\dot{P} = 3P \cdot \dot{a} / 2a$$

A $\lim \Delta a / \Delta t = \dot{a}$, valamint a $\Delta t = P$ alkalmazásával kapjuk a jólismert összefüggést:

$$\dot{P} = 3\Delta a / 2a$$

Utóbbi összefüggés felhasználásával (20)-ból megkapjuk a keresett sűrűséget:

$$\rho_p = - \frac{\dot{P}}{3\pi a \delta} \frac{\exp Q(a_0 - a - x_0)}{[I_0 + 2eI_1 + 3e^2(I_0 + I_2) / 4 + e^3(3I_1 + I_3) / 4]}$$

Ezennel levezettünk egy formulát, amely alkalmas a sűrűség kiszámítására, a hold periódusváltozása /fékeződése/ alapján. A képlet azonos King-Hele formulájával [135], amelyet nemcsak elfogadtunk, de saját levezetésünkkel helyességét is ellenőriztük.

A fenti összefüggés körpálya esetén igen egyszerűvé válik:

$$\rho_0 = -\dot{P} / 3\pi \cdot a \cdot \delta \quad (23)$$

King-Hele fenti formulából levezetett olyan variánsokat is, amelyek bizonyos feltételek mellett érvényesek. Így pl. körpályától való csekély eltérés esetén, pontosabban: $0 < e < 0,02$ vagy a vele egyenértékű $0 < ae/H < 3$ feltételek mellett:

$$\rho_1 = -\dot{P} \cdot \exp(ae/H) / 3\pi \cdot a \cdot \delta (I_0 + 2eI_1) \quad (24)$$

Végül, az esetek zömében fennálló $0,02 < e < 0,2$ ill. $3 < ae/H < 30$ mellett a formula, a megfelelő Bessel-függvények felhasználásával, és az $5 \cdot 10^{-3}$ -nál kisebb tagok elhanyagolása mellett, a következő alakú lesz:

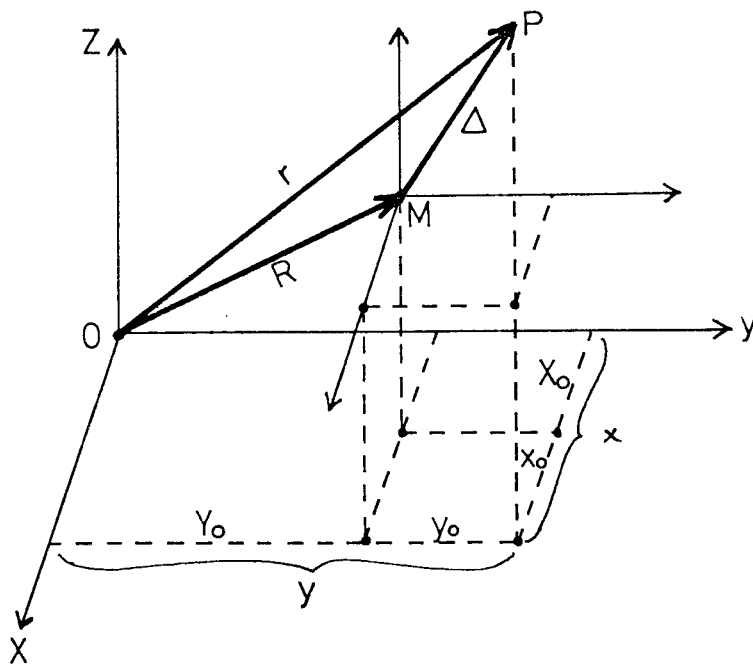
$$\rho_p = -\frac{\dot{P}}{3\delta} \left(\frac{2e}{\pi aH}\right)^{\frac{1}{2}} \left[1 - 2e + \frac{5}{2}e^2 - 3e^3 - \frac{H}{8ae} \left(1 - 10e + \frac{7}{16ae}\right)\right]$$

Számos más variáns is levezethető, ezek bemutatásától azonban eltekintünk.

KÖZELÍTŐ PÁLYA MEGHATÁROZÁSA

Műholdak vizuális észlelésekor a kapott pozíciók pontossága általában $0,1$ nagyságrendű. Ilyen esetben nincs értelme precíz pályameghatározást végezni, hanem közelítő pályát szoktak számítani, amely a későbbi pályajavítás alapjául szolgál. Sok közelítő pályameghatározási módszer ismeretes, ezek közül esetünkben Laplace módszerét érdemes előnyben részesíteni, mert ez lehetővé teszi, hogy egyetlen észlelési helyről végzett, egyetlen észlelési adatsor anyagából közelítő pályát határozzunk meg.

Az M észlelőhely geocentrikus koordinátáit jelölje $M(X_0, Y_0, Z_0)$, míg a műhold geocentrikus koordinátái egy t_0 időpillanatban legyenek $P(x, y, z)$. Ha az M -hez kötött topocentrikus koordinátarendszerben a műhold koordinátáit $P_0(x_0, y_0, z_0)$ -al jelöljük, felírhatók a következő összefüggések:



F.5. ábra

$$\begin{aligned} x &= x_0 + X_0 \\ y &= y_0 + Y_0 \\ z &= z_0 + Z_0 \end{aligned} \quad (1)$$

ezen kívül:

$$\begin{aligned} r^2 &= x^2 + y^2 + z^2 \\ \Delta^2 &= x_0^2 + y_0^2 + z_0^2 \\ R^2 &= X_0^2 + Y_0^2 + Z_0^2 \end{aligned} \quad (2)$$

A $\Delta = MP$ vektor /megfigyelő műhold/ iránykoszinuszai (l, m, n) a topocentrikus rendszerben a következő alakban írhatók fel:

$$l = \frac{x_0}{\Delta} = \cos \delta_0 \cdot \cos \alpha_0 ; \quad m = \frac{y_0}{\Delta} = \cos \delta_0 \cdot \sin \alpha_0 ; \quad n = \frac{z_0}{\Delta} = \sin \delta_0 \quad (3)$$

Igy az (1) egyenletek átírhatók:

$$x = l \cdot \Delta + X_0 ; \quad y = m \cdot \Delta + Y_0 ; \quad z = n \cdot \Delta + Z_0 \quad (4)$$

Kétszeres deriválás után a következő összefüggést kapjuk:

$$\begin{aligned} d^2x/dt^2 &= l''\Delta + 2l'\Delta' + l\Delta'' + d^2X_0/dt^2 \\ d^2y/dt^2 &= m''\Delta + 2m'\Delta' + m\Delta'' + d^2Y_0/dt^2 \\ d^2z/dt^2 &= n''\Delta + 2n'\Delta' + n\Delta'' + d^2Z_0/dt^2 \end{aligned} \quad (5)$$

Egy műhold vonulásokor az első és utolsó észlelés közt eltelt idő kicsiny, néhány perces időintervallum. Kis időintervallumra vonatkoztatva a műhold mozgását perturbálatlannak, azaz pontosan elliptikusnak tekintjük. Ezért alkalmazhatjuk rá a relativ mozgás egyenleteit:

$$\begin{aligned} d^2x/dt^2 &= -\mu x/r^3 = -\mu l\Delta/r^3 - \mu X_0/r^3 \\ d^2y/dt^2 &= -\mu y/r^3 = -\mu m\Delta/r^3 - \mu Y_0/r^3 \\ d^2z/dt^2 &= -\mu z/r^3 = -\mu n\Delta/r^3 - \mu Z_0/r^3 \end{aligned} \quad (6)$$

Ha a kapott egyenletrendszereket a gyakorlatban akarjuk felhasználni, az ismeretlenek számát feltétlenül csökkentenünk kell. Viszonylag egyszerűen lehet megkapni az M észlelési pont gyorsulását, hiszen a Föld rotációs mozgásáról van szó, és így: $\omega = 2\pi/T$, ahol $T = 23\text{h } 56\text{m } 56\text{s}$. A forgómozgás ismert összefüggései alapján a gyorsulás komponensei:

$$\begin{aligned} d^2X_0/dt^2 &= -\omega^2 X_0 \\ d^2Y_0/dt^2 &= -\omega^2 Y_0 \\ d^2Z_0/dt^2 &= 0 \end{aligned} \quad (7)$$

Ezek felhasználásával (5) a következő alakban írható:

$$\begin{aligned} l''\Delta + 2l'\Delta' + l(\Delta'' + \mu\Delta/r^3) &= -\mu X_0/r^3 + \omega^2 X_0 \\ m''\Delta + 2m'\Delta' + m(\Delta'' + \mu\Delta/r^3) &= -\mu Y_0/r^3 + \omega^2 Y_0 \\ n''\Delta + 2n'\Delta' + n(\Delta'' + \mu\Delta/r^3) &= -\mu Z_0/r^3 \end{aligned} \quad (8)$$

Az OMP háromszög alapján a műhold topocentrikus távolsága:

$$\Delta^2 = R^2 + r^2 - 2Rr \cdot \cos \alpha$$

Az utolsó tagot egy skalárszorzat kétszeresének tekintve kapjuk (4) felhasználásával :

$$\Delta^2 = R^2 + r^2 - 2[(l\Delta + X_0)X_0 + (m\Delta + Y_0)Y_0 + (n\Delta + Z_0)Z_0]$$

Innen a műveletek elvégzése és rendezése után kapjuk:

$$r^2 = \Delta^2 + R^2 + 2\Delta(lX_0 + mY_0 + nZ_0) \quad (9)$$

A (8) + (9) egyenletrendszer megoldásához természetesen szükség van l, m, n és deriváltjaik értékére is. Ezt az észlelésekből kaphatjuk meg, pl. a következő módszerrel.

Először is az észlelt (α_i, δ_i) pozíciókból meghatározzuk a t_0 időpillanathoz tartozó α_0, δ_0 értékpárt. Ez igen egyszerűen úgy történhet, hogy mind az α_i rektaszcenziókat, mind a δ_i deklinációkat Taylor-sorba fejtjük. Minthogy a továbbiakban csak $\alpha_0, \alpha_0', \alpha_0'', \delta_0, \delta_0', \delta_0''$ értékeire lesz szükség, a sorbafejtésnél a 6. tag után megállhatunk. Ekkor az i -edik észlelésre felírhatjuk:

$$\alpha_i = \alpha_0 + \alpha_0' t_i + \alpha_0'' t_i^2 / 2! + \alpha_0''' t_i^3 / 3! + \alpha_0^{iv} t_i^4 / 4! + \alpha_0^v t_i^5 / 5! \quad (10)$$

$$\delta_i = \delta_0 + \delta_0' t_i + \delta_0'' t_i^2 / 2! + \delta_0''' t_i^3 / 3! + \delta_0^{iv} t_i^4 / 4! + \delta_0^v t_i^5 / 5!$$

ahol $t_i = t_i - t_0$ jelölést alkalmaztuk.

A (10) egyenletrendszer megoldására célszerű a legkisebb négyzetek módszerét használni. Az így kapott α_0, δ_0 értékkel (3)-ból megkapjuk az l, m, n iránykoszinuszokat, majd kiszámítjuk deriváltjaikat:

$$l' = -\alpha_0' \cos \delta_0 \sin \alpha_0 - \delta_0' \sin \delta_0 \cos \alpha_0 \quad (11)$$

$$l'' = -\alpha_0'' \cos \delta_0 \sin \alpha_0 - \delta_0'' \sin \delta_0 \sin \alpha_0 - 2\alpha_0' \delta_0' \sin \delta_0 \cos \alpha_0 - (\alpha_0'^2 + \delta_0'^2) \cos \delta_0 \cos \alpha_0$$

$$m' = \alpha_0' \cos \delta_0 \cos \alpha_0 - \delta_0' \sin \delta_0 \sin \alpha_0$$

$$m'' = \alpha_0'' \cos \delta_0 \cos \alpha_0 - \delta_0'' \sin \delta_0 \sin \alpha_0 - 2\alpha_0' \delta_0' \sin \delta_0 \cos \alpha_0 - (\delta_0'^2 + \alpha_0'^2) \cos \delta_0 \sin \alpha_0 \quad (12)$$

$$n' = \delta_0' \cos \delta_0$$

$$n'' = \delta_0'' \cos \delta_0 - \delta_0'^2 \sin \delta_0 \quad (13)$$

A (11), (12), (13) segítségével már megoldható a (8) + (9) egyenletrendszer. A lehetséges egzakt módszerek közül bemutatjuk Danjon jól bevált módszerét /Astronomie Generale, Paris, 1959./. Az alábbi formulákból meghatározzuk Δ, Δ' és r értékét:

$$\Delta = \frac{D21}{D1} \cdot \frac{\mu}{r^3} + \frac{D22}{D1} \omega^2$$

$$2\Delta' = \frac{D31}{D1} \cdot \frac{\mu}{r^3} + \frac{D32}{D1} \omega^2 \quad (14)$$

$$r^2 = R^2 + \Delta^2 + 2\Delta(lX_0 + mY_0 + nZ_0)$$

ahol a determinánsok a következő alakúak:

$$\begin{aligned}
 D1 &= \begin{vmatrix} l'' & m'' & n'' \\ l' & m' & n' \\ 1 & m & n \end{vmatrix} & D21 &= \begin{vmatrix} X_0 & Y_0 & Z_0 \\ l' & m' & n' \\ 1 & m & n \end{vmatrix} & D22 &= \begin{vmatrix} X_0 & Y_0 & 0 \\ l' & m' & n' \\ 1 & m & n \end{vmatrix} \\
 D31 &= \begin{vmatrix} X & Y & Z \\ 1 & m & n \\ l'' & m'' & n'' \end{vmatrix} & D32 &= \begin{vmatrix} X & Y & 0 \\ 1 & m & n \\ l'' & m'' & n'' \end{vmatrix} & & (15)
 \end{aligned}$$

Figyelembe véve az észlelések viszonylag kicsiny pontosságát és azt, hogy csak közelítő pályameghatározásról van szó, jóval egyszerűbb megoldás is kínálkozik, mint (14), ha a (8)-ban elhanyagoljuk a $(\Delta'' + \Delta\mu/r^3)$ -es tagokat. Ekkor ugyanis a (8) és (9) egyenleteket könnyen a következő alakra hozhatjuk:

$$\Delta = Q/r^3 + P \quad (16)$$

$$\Delta' = Q1/r^3 + P1 \quad (17)$$

$$r^2 = \Delta^2 + R^2 + Q_2 \quad (18)$$

ahol $Q, Q1, Q2, P, P1$ ismert mennyiségek.

A (16) + (18) egyenletrendszer szukcessziv approximációval megoldható. Legyen Δ közelítő értéke Δ_1 , ezt (18)-ba helyettesítve kapjuk r közelítő értékét:

$$r_1 = \sqrt{\Delta_1^2 + R^2 + Q_2}$$

ahol Q_2 és R ismertek. Most r_1 -et (16)-ba helyettesítve Δ -ra kapunk újabb értéket:

$$\Delta_2 = Q/r^3 + P.$$

Ismét (18)-ba helyettesítve, az iteráció a megoldás stabilizálódásáig folytatható. A végleges Δ, r értékkel (17)-ből megkapjuk Δ' értékét is. Az itt változtatott iterációs megoldás, amelyet Danjon javasolt, lényegesen kevesebb számolással jár.

Miután valamilyen módon meghatároztuk r, Δ, Δ' értékét, kiszámíthatjuk a műhold koordinátáit:

$$\begin{aligned}
 x &= l\Delta + X_0 \\
 y &= m\Delta + Y_0 \\
 z &= n\Delta + Z_0
 \end{aligned} \quad (19)$$

majd deriválással megkapjuk a sebesség komponenseit:

$$\begin{aligned}
 x' &= l'\Delta + l\Delta' - Y_{\circ}\omega \\
 y' &= m'\Delta + m\Delta' + X_{\circ}\omega \\
 z' &= n'\Delta + n\Delta'
 \end{aligned}
 \tag{20}$$

ahol a megfigyelési pont sebességkomponensei: $-\omega Y_{\circ}$, ωX_{\circ} , 0.

Ezzel a feladatot tulajdonképpen meg is oldottuk, mivel egy pozíció a hozzátartozó sebességgel együtt egyértelműen meghatározza a /kepleri/ pályát. Általában azonban a klasszikus pályaelemekkel szoktak dolgozni, így az alábbiakban vázoljuk a pályaelemek kiszámításának menetét.

A kéttestprobléma ismert formulái szerint:

$$\begin{aligned}
 yz' - zy' &= \sqrt{\mu p} \cdot \sin\Omega \sin I \\
 zx' - xz' &= -\sqrt{\mu p} \cdot \cos\Omega \sin I \\
 xy' - yx' &= \sqrt{\mu p} \cdot \cos I
 \end{aligned}
 \tag{21}$$

Ezekből egyszerű uton meghatározható I , Ω és $p = a(1-e^2)$. Ezután az energia-integrált írjuk fel az alábbi alakjában:

$$x'^2 + y'^2 + z'^2 = \mu \left(\frac{2}{r} - \frac{1}{a} \right) \tag{22}$$

és ebből meghatározható az a fél nagytengely. A következő két formula lehetővé teszi az e numerikus excentricitás és a v valódi anomália meghatározását:

$$\begin{aligned}
 e \cdot \sin v &= \sqrt{p} \cdot r' / \sqrt{\mu} \\
 e \cdot \cos v &= p/r - 1
 \end{aligned}
 \tag{23}$$

Megjegyezzük, hogy ebben az esetben r' értékét célszerű skalárszorzat formájában megadni:

$$r \cdot r' = x \cdot x' + y \cdot y' + z \cdot z'$$

Most már a perigeum ω argumentuma is meghatározó a következő formula alapján:

$$\begin{aligned}
 r \cdot \sin(v+\omega) &= (y \cdot \cos\Omega - x \cdot \sin\Omega) \cdot \sec I \\
 r \cdot \cos(v+\omega) &= x \cdot \cos\Omega + y \cdot \sin\Omega
 \end{aligned}$$

Végül az E excentrikus anomália közbeiktatásával az M közepes anomália is kiszámítható:

$$\begin{aligned}
 \operatorname{tg} \frac{E}{2} &= \sqrt{\frac{1+e}{1-e}} \cdot \operatorname{tg} \frac{v}{2} \\
 M &= E - e \cdot \sin E
 \end{aligned}$$

Ezzel meghatároztuk a közelítő pálya minden elemét.

PARCIÁLIS DERIVÁLTAK MEGHATÁROZÁSA PÁLYASZÁMITÁSHOZ

A pályameghatározásnál szükség van az x, y, z koordináták és $\Omega', \omega', n_{\odot} + M$ elemeknek különböző pályaelemek szerinti deriváltjaira. A deriváltak levezetése egyszerű, de terjedelmes munka, így célszerűnek látszott ezt a részt csupán a függelékben szerepeltetni.

A deriváláshoz lehet többféle kiindulást választani. Célszerűségi okokból a kéttestproblémából jól ismert alábbi összefüggéseket fogom használni:

$$x = (\cos\Omega\cos\omega - \cos I \cdot \sin\Omega\sin\omega) \cdot r \cdot \cos v + (-\cos\Omega\sin\omega - \cos I \cdot \sin\Omega\cos\omega) r \cdot \sin v \quad (1)$$

Vagyis rövidített jelöléssel: $x = P_x \cdot r \cdot \cos v + Q_x \cdot r \cdot \sin v$

$$y = (\sin\Omega\cos\omega + \cos I \cos\Omega\sin\omega) \cdot r \cdot \cos v + (-\sin\Omega\sin\omega + \cos I \cos\Omega\cos\omega) \cdot r \cdot \sin v \quad (2)$$

Szintén rövidített jelöléssel: $y = P_y \cdot r \cdot \cos v + Q_y \cdot r \cdot \sin v$

$$z = \sin I \sin\omega \cdot r \cdot \cos v + \sin I \cos\omega \cdot r \cdot \sin v \quad (3)$$

Vagyis rövidítve: $z = P_z \cdot r \cdot \cos v + Q_z \cdot r \cdot \sin v$

Kezdjük a $\partial x / \partial a$ parciális deriválttal, amit részletesen fejtek ki:

$$\frac{\partial x}{\partial a} = P_x \cdot \cos v \cdot \frac{1-e^2}{1+e \cdot \cos v} + Q_x \cdot \sin v \cdot \frac{1-e^2}{1+e \cdot \cos v} = \frac{x}{a}$$

Teljesen analóg módon kapjuk azt is, hogy: $\frac{\partial y}{\partial a} = \frac{y}{a}$ és $\frac{\partial z}{\partial a} = \frac{z}{a}$

Az e szerinti parciális deriváltaknál lényegében az $r \cdot \cos v$ és $r \cdot \sin v$ kifejezések deriválására lesz szükség, ezért ezt külön elvégezzük:

$$\begin{aligned} \frac{\partial}{\partial e} (r \cdot \cos v) &= \frac{\partial}{\partial e} \left[\frac{a(1-e^2) - r}{e} \right] = \frac{\partial}{\partial e} \left(\frac{a}{e} - ae - \frac{r}{e} \right) = -\frac{a}{e^2} - a + \frac{ae \cdot \cos v + r}{e^2} = \\ &= -a + \frac{r - a(1 - e \cdot \cos v)}{e^2} \end{aligned}$$

Az utolsó kifejezést kissé átalakítva kapjuk:

$$\frac{\partial (r \cdot \cos v)}{\partial e} = -a - \frac{r \cdot \sin^2 v}{1-e^2} \quad (4)$$

És teljesen hasonló eljárással:

$$\frac{\partial(r \cdot \sin v)}{\partial e} = \frac{r \cdot \cos v \cdot \sin v}{1-e^2} \quad (5)$$

A (4) és (5) helyett a $D(\cos)$ ill. $D(\sin)$ rövidített jelölést alkalmazva az e szerint deriváltak:

$$\frac{\partial(x,y,z)}{\partial e} = D(\cos) \cdot P_{(x,y,z)} + D(\sin) \cdot Q_{(x,y,z)}$$

ahol indexben jelöltük, hogy rendre melyik változóról van szó. Elvégezve az I szerinti deriválásokat, a következőket kapjuk:

$$\frac{\partial x}{\partial I} = \sin I \sin \Omega \sin \omega \cdot r \cdot \cos v + \sin I \sin \Omega \cos \omega \cdot r \cdot \sin v$$

$$\frac{\partial y}{\partial I} = -\sin I \cos \Omega \sin \omega \cdot r \cdot \cos v - \sin I \cos \Omega \cos \omega \cdot r \cdot \sin v$$

$$\frac{\partial z}{\partial I} = \cos I \sin \omega \cdot r \cdot \cos v + \cos I \cos \omega \cdot r \cdot \sin v$$

A három deriváltat összevetve (3)-mal, kitűnik, hogy:

$$\frac{\partial x}{\partial I} = \sin \Omega \cdot z \quad , \quad \frac{\partial y}{\partial I} = -\cos \Omega \cdot z \quad , \quad \frac{\partial z}{\partial I} = \cot g I \cdot z \quad (6)$$

Hasonlóan, Ω szerint deriválva, és (2) ill. (1)-gyel összevetve:

$$\frac{\partial x}{\partial \Omega} = -y \quad , \quad \frac{\partial y}{\partial \Omega} = x \quad , \quad \frac{\partial z}{\partial \Omega} = 0 \quad (7)$$

Az ω szerinti deriválás, az eddigi rövidített jelzések mellett a következő eredményt adja:

$$\frac{\partial(x,y,z)}{\partial \omega} = Q_{(x,y,z)} \cdot r \cdot \cos v - P_{(x,y,z)} \cdot r \cdot \sin v \quad (8)$$

Az M szerinti deriválásnál ismét csak az $r \cdot \cos v$ és $r \cdot \sin v$ kifejezésekre kell tekintettel lennünk, így azt külön elvégezzük:

$$\frac{\partial(r \cdot \cos v)}{\partial M} = -\frac{a \cdot \sin v}{1-e^2} \quad \frac{\partial(r \cdot \sin v)}{\partial M} = \frac{a(e + \cos v)}{1-e^2}$$

E két kifejezésre a rövidített $M(\cos)$ ill. $M(\sin)$ jelölést használva, a keresett deriváltak igen egyszerűen írhatók fel:

$$\frac{\partial(y,x,z)}{\partial M} = M(\cos) \cdot P_{x,y,z} + M(\sin) \cdot Q_{x,y,z} \quad (9)$$

A továbbiakban az Ω' , ω' , M' szerinti deriváltakat kell meghatározniuk. Ehhez azonban másik formulákat fogunk használni. A gravitációs potenciál okozta szekuláris perturbációk számításánál első közelítés gyanánt gyakran használatosak a következő formulák:

$$\begin{aligned} \bar{\Omega} &= \Omega_0 + \Omega' \cdot t = \Omega_0 - \frac{3}{2} \frac{\mu^{\frac{1}{2}} R^2 J_2 \cdot \cos I_0}{a_0^{7/2} (1-e_0^2)^2} \cdot t \\ \bar{\omega} &= \omega_0 + \omega' \cdot t = \frac{\mu^{\frac{1}{2}} R^2 J_2}{a_0^{7/2} (1-e_0^2)^2} (3 - \frac{15}{4} \sin^2 I_0) \cdot t \\ M &= M_0 + M' \cdot t = M_0 + \frac{\mu^{\frac{1}{2}}}{a_0^{3/2}} \cdot t + \frac{\mu^{\frac{1}{2}} \cdot R^2 \cdot J_2}{a_0^{7/2} (1-e_0^2)^2} (\frac{3}{2} - \frac{9}{4} \sin^2 I_0) \cdot t \end{aligned} \quad (10)$$

Igy az a szerinti deriválás eredményei könnyen felírhatók:

$$\frac{\partial \Omega'}{\partial a} = -\frac{7}{2} \frac{\Omega'}{a} ; \quad \frac{\partial \omega'}{\partial a} = -\frac{7}{2} \frac{\omega'}{a} ; \quad \frac{\partial M'}{\partial a} = -\frac{3}{2} \frac{M_0}{a} - \frac{7}{2} \frac{M'}{a}$$

Az e szerinti deriválás eredményei:

$$\frac{\partial \Omega'}{\partial e} = \frac{4e\Omega'}{1-e^2} ; \quad \frac{\partial \omega'}{\partial e} = \frac{4e\omega'}{1-e^2} ; \quad \frac{\partial M'}{\partial e} = \frac{3eM'}{1-e^2}$$

Ezután már csak az I szerinti deriváltak vannak hátra:

$$\frac{\partial \Omega'}{\partial I_0} = -\Omega' \cdot \operatorname{tg} I_0$$

$$\frac{\partial \omega'}{\partial I_0} = -\frac{15}{2} \frac{\mu^{\frac{1}{2}} \cdot R^2 \cdot J_2}{a_0^{7/2} (1-e_0^2)^2} \cdot \sin I_0 \cdot \cos I_0$$

$$\frac{\partial M'}{\partial I_0} = -\frac{9}{2} \frac{\mu^{\frac{1}{2}} \cdot R^2 \cdot J_2}{a_0^{7/2} (1-e_0^2)^{3/2}} \cdot \sin I_0 \cdot \cos I_0 .$$

Ezzel levezettük mindazokat a parciális deriváltakat, amelyek a közelítő pálya javításánál szükségesek.

INTEROBS MÓDSZER

A módszer azon alapszik, hogy két, a hold repülési magasságához képest elég távoli A és B megfigyelőhelyről végzett szimultán pozíciómeghatározások lehetővé teszik a pillanatnyi rádiuszvektor hosszának és irányának kiszámítását. Az alábbiakban módszert adunk a rádiuszvektor kiszámítására, majd 3 rádiuszvektor segítségével meghatározzuk a pillanatnyi pályaelemeket.

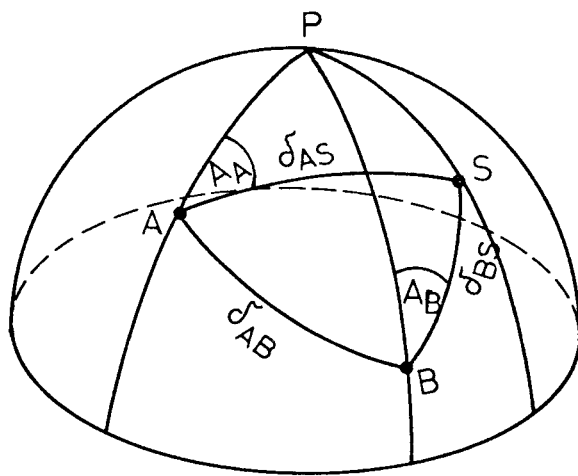
A megfigyelési pont, a Föld középpontja és a műhold pillanatnyi helyzete által meghatározott háromszögből a rádiuszvektor hossza:

$$R_V = R_B \frac{\cos h'}{\cos(h' + \delta_{BS})} \quad \text{ahol:}$$

R_B = a megfigyelési ponthoz tartozó földsugár

h' = a holdnak a B pontról mért geocentrikus magassági szöge

δ_{BS} = a B és S pontot összekötő ortodróma hossza (F.7.1. ábra).



A h' geocentrikus magasságot a szintezett műszerrel horizontális koordinátarendszerben mért $z = (90^\circ - h)$ zenittávolságból és A azimutból számítjuk:

$$\sin h' = \frac{\cos \alpha \cdot \cos(z - \eta)}{\cos \eta}$$

ahol $\operatorname{tg} \eta = \operatorname{tg} \alpha \cdot \cos A$ és

$$\alpha = \phi - \varphi = 692,62 \sin 2\phi - 1,16 \sin 4\phi.$$

A δ_{BS} ortodróma hosszának kiszámítása az F.7.1. ábra jelöléseivel a következő lépésekre bontható:

F.7.1. ábra

- Az ABP gömbi háromszögből meghatározzuk az A és B pontot összekötő δ_{AB} ortodróma hosszát és az $\alpha_A = \angle BAP$ valamint az $\alpha_B = \angle ABP$ szögeket.
- A mért A_A és A_B azimutokkal megkapjuk a δ_{AB} ortodrómán nyugvó $\angle BAS_A = \alpha_A - A_A$, valamint $\angle ABS_A = \alpha_B + A_B$ szögeket.
- Az ABS gömbi háromszögből meghatározzuk a δ_{BS} és δ_{AS} oldalakat, így mindegyikből külön-külön kiszámítható az R_V rádiuszvektor.
- Meghatározzuk az S szubszatellitapont geocentrikus szélességét és az A és B pontokra vonatkozott hosszúságkülönbséget.

Az eddigi számítások eredményeként megkapjuk egy adott t időpillanatra a hold R_V rádiuszvektorát, és szubsatellita-pontjának φ, λ geocentrikus koordinátáit. Ha minden szinkron poziciópárra elvégezzük a fenti számítást, t.k. szubsatellita-pontok sorát nyerjük, amelynek pl. a szélessége folyamatosan változik. Ilyen értelemben lehet arról beszélni, hogy a szubsatellita-pont "metszi" az általunk kiválasztott szélességet. A hold U_d /kvázi/ drakonikus keringésidejét egyszerű osztással kapjuk meg a kiválasztott szélességi körön való két, nem feltétlenül egymás utáni áthaladás időpontjainak felhasználásával. Ha azonban Kepler 3. törvényéből akarjuk meghatározni az a fél nagytengelyt, az U_s sziderikus keringésidőre van szükség. Egyszerű gondolatmenettel belátható, hogy a kétféle keringésidő között fennáll a következő összefüggés:

$$U_s = \frac{360^\circ \cdot U_d}{360^\circ - U_d \cdot p} \quad \text{ahol } p \text{ a holdpálya precessziója. Ez utóbbit szintén az észlelésekből vezethetjük le az alábbi összefüggés szerint:}$$

$$p = \frac{\lambda_2 - \lambda_1}{t_2 - t_1} - 0,250684 \text{ fok/perc, ahol } \lambda_1, \lambda_2 \text{ a kiválasztott}$$

szélességi kör metszési pontjainak hosszúsága a szereplő két vonulásnál.

Ezek felhasználásával a fél nagytengely értéke: $a = C \cdot U_s^{2/3}$, ahol $C = 331,234 \text{ km/perc}^{-2/3}$.

Meghatározható a pálya inklinációja is, ha a leszálló ágban is megfigyeljük a kiválasztott szélességi körön való áthaladást. Ekkor érvényes a következő összefüggés:

$\text{tg } i = \frac{\text{tg } \varphi}{\cos \Delta\lambda_R / 2}$, ahol $\Delta\lambda_R$ a két metszéspont közötti hosszúságkülönbség /nyugvó Föld mellett/. Értékét megadja következő formulánk:

$$\Delta\lambda_R = (\lambda_2 - \lambda_1) + (0,250684 + p) \cdot (t_2 - t_1)$$

Amennyiben nem ugyanannak a vonulásnak két ágát észleltük, a képlet megfelelően átalakítható.

Következő lépésként az $R_1, R_2, R_3 \dots$ rádiuszvektorokhoz tartozó valódi anomáliákat számíthatjuk ki. Legyen $\Delta v_1 = R_1 - R_2$ és $\Delta v_2 = R_1 - R_3$, akkor az R_1 -hez tartozó v_1 -re fennáll:

$$\text{tg } v_1 = \frac{\delta(1 - \cos \Delta v_2) - (1 - \cos \Delta v_1)}{\sin \Delta v_1 - \delta \cdot \sin \Delta v_2} \quad \text{ahol:}$$

$$\delta = \frac{R_3(R_2 - R_1)}{R_2(R_3 - R_1)}$$

A feladat megoldható akkor is, ha csak 2 rádiuszvektor áll rendelkezésre, de akkor lényegesen bonyolultabb formulákat kapunk [76]. Az első valódi anomália kiszámítása után a többit vagy hasonló módon, vagy gömbi háromszögek megoldásával kaphatjuk meg.

Ezek után már a numerikus excentricitás is kiszámítható 2 rádiuszvektor, és a hozzátartozó anomáliák segítségével:

$$e = \frac{R_2 - R_1}{R_1 \cos v_1 - R_2 \cos v_2}$$

Természetesen, a most kapott e , és a már ismert R és v felhasználásával is ki lehetett volna számítani az a fél nagytengelyt. Ez azonban nem ad olyan pontos értéket, mint a fentebb javasolt eljárás, mivel e /rendszerint kis/ értékét általában csak meglehetősen nagy hibával lehet meghatározni.

Bár nem számít pályaelemnek, fontos szerepe miatt megemlítjük, hogy most már kiszámítható a perigeum- és apogeum-magasság is: $H_p = a(1-e) - R_E$
 $H_a = a(1+e) - R_E$, ahol R_E a földszög.

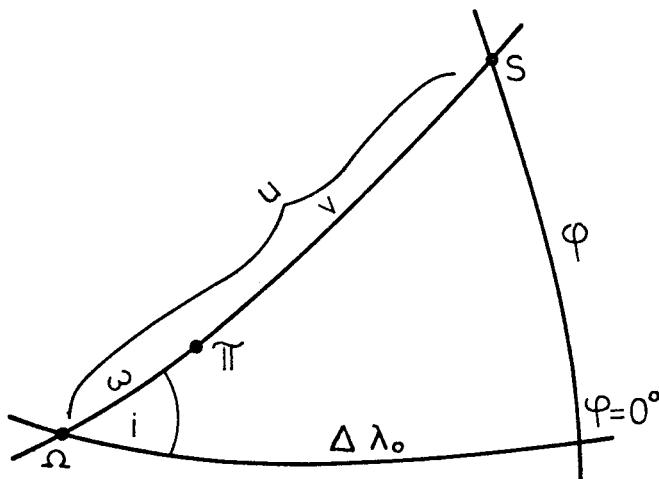
A perigeumon való áthaladás τ időpontját egy φ szélességi körön való áthaladás adataiból kapjuk:

$$\tau = t_\varphi - \frac{U_s}{2\pi} (E_\varphi - e \cdot \sin E_\varphi)$$

figyelembe véve, hogy az eddigiekből megkaphatjuk az E_φ excentrikus anomáliát is:

$$\cos E_\varphi = (a - R_\varphi) / a \cdot e$$

Most már kiszámítható a perigeum ω argumentuma is: $\omega = u - v$, hiszen az u szélességi argumentum már ismert: $\sin u = \sin \varphi / \sin i$.



F.7.2. ábra

Hátra van még egy pályaelem, a felszálló csomó rektaszcenziója. Ez azonban igen egyszerűen kiszámítható, ha figyelembe vesszük, hogy λ_Ω földrajzi hosszúságára igaz: $\lambda_\Omega = \Delta\lambda_0 - (0,250684+p) \cdot (t_\varphi - t_0) + \lambda_s$, ahol

λ_s a szubsatellitapont nyugati hosszúsága. A hosszúsági befogó: $\sin \Delta\lambda_0 = \text{tg } \varphi / \text{tg } i$. A rektaszcenziót pedig az ismert összefüggés adja:

$$\lambda_\Omega = \theta - \lambda_\Omega$$

Ezzel meghatároztuk a holdpálya elemeit.

ZSONGOLOVICS (2.26) FORMULÁJÁNAK LEVEZETÉSE

Tekintsük a hold mozgását perturbálatlan elliptikus mozgásnak, ami az észlelés rövid intervallumában megengedhető közelítés. Vetítsük a pályát a gömbalaku Földre. Az NFP háromszögből kapjuk: $\sin \varphi = \sin I \cdot \sin u$ (1)

Deriválva:

$$\cos \varphi \frac{d\varphi}{dt} = \sin I \cdot \cos u \cdot \frac{du}{dt} \quad (2)$$

Azonban (1) felhasználásával kapjuk:

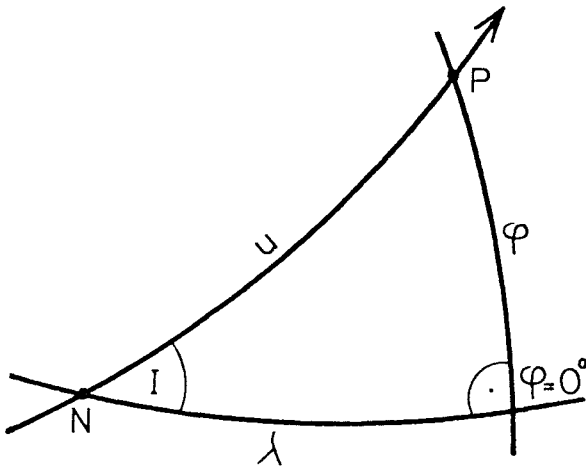
$$\cos u = \sqrt{1 - \sin^2 u} = \frac{\sqrt{\sin^2 I - \sin^2 \varphi}}{\sin I}$$

Igy (2)-ből:

$$\frac{d\varphi}{dt} = \frac{\sqrt{\sin^2 I - \sin^2 \varphi}}{\cos \varphi} \frac{du}{dt} \quad (3)$$

Perturbálatlan elliptikus mozgás esetén írható:

$$\frac{du}{dt} = \frac{dv}{dt} = \frac{k\sqrt{a(1-e^2)}}{R^2} \quad (4)$$



F.8. ábra

A (4)-et (3) -ba helyettesítve és átrendezve:

$$dt = \frac{R^2}{k\sqrt{a(1-e^2)}} \frac{\cos \varphi}{\sqrt{\sin^2 I - \sin^2 \varphi}} d\varphi .$$

Zsongolovics formulája csak úgy vezethető le, ha feltételezzük, hogy $R = \text{konst.}$ Az integrálás megkönnyítésére Zsongolovics ezért a szóbanforgó intervallum közepes rádiuszvektorát használja, ami megengedhető közelítés, de szisztematikus hibát eredményez. A hiba nagysága az excentricitás függvénye, kis e mellett elfogadható határok között marad. Ezért \bar{R} -tel számolva és a (φ_1, φ_2) határok között integrálva kapjuk:

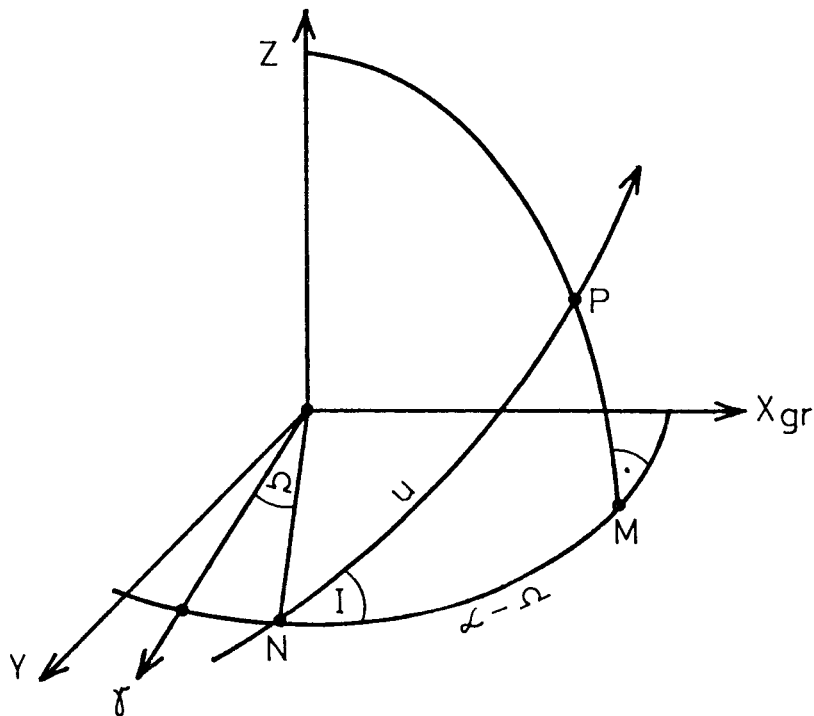
$$t_2 - t_1 = \frac{\bar{R}^2}{k\sqrt{a(1-e^2)}} \int_{\varphi_1}^{\varphi_2} \frac{\cos \varphi d\varphi}{\sqrt{\sin^2 I - \sin^2 \varphi}} = \frac{\bar{R}^2}{k\sqrt{a(1-e^2)}} \left[\arcsin \left(\frac{\sin \varphi}{\sin I} \right) \right]_{\varphi_1}^{\varphi_2}$$

Végül megkapjuk Zsongolovics keresett képletét:

$$t_2 - t_1 = \frac{\bar{R}^2}{k\sqrt{a(1-e^2)}} (\mu_2 - \mu_1), \text{ ahol: } \mu_1 = \frac{\sin \varphi_1}{\sin I} \text{ és } \mu_2 = \frac{\sin \varphi_2}{\sin I}$$

MERIDIÁNMENTSZÉS IDŐPONTJÁNAK KISZÁMITÁSA

Ugyanolyan feltételek mellett, mint a 8. sz. FÜGGELÉK-ben, levezetjük két meridián metszése között eltelt $t_2 - t_1$ időtartam kiszámítására szolgáló képletünket. A holdpálya NP nyomvonalát a gömbalaku Földre vetítve, az NPM szférikus háromszögből nyerjük:



$$\operatorname{tg}(\alpha - \Omega) = \cos I \cdot \operatorname{tgu} \quad (1)$$

A kifejezés deriváltja:

$$\begin{aligned} \sec^2(\alpha - \Omega) \cdot \frac{d\alpha}{dt} &= \\ &= \cos I \cdot \sec^2 u \cdot \frac{du}{dt} \quad (2) \end{aligned}$$

Célszerű átalakítások:

$$\begin{aligned} \sec^2 u &= 1 + \operatorname{tg}^2 u = \\ &= 1 + \frac{\operatorname{tg}^2(\alpha - \Omega)}{\cos^2 I} = \\ &= \frac{\cos^2 I + \operatorname{tg}^2(\alpha - \Omega)}{\cos^2 I} \quad (3) \end{aligned}$$

F.9. ábra
tesítve és átrendezve kapjuk:

A (3)-at a (2)-be helyet-

$$\begin{aligned} \frac{d\alpha}{dt} &= \cos I \cdot \cos^2(\alpha - \Omega) \frac{\cos^2 I + \operatorname{tg}^2(\alpha - \Omega)}{\cos^2 I} \cdot \frac{du}{dt} = \\ &= \frac{\cos^2(\alpha - \Omega)}{\cos I} [1 - \sin^2 I + \operatorname{tg}^2(\alpha - \Omega)] \frac{du}{dt} = \\ &= \frac{1 - \sin^2 I \cdot \cos^2(\alpha - \Omega)}{\cos I} \frac{du}{dt} \end{aligned}$$

A 8. sz. FÜGGELÉK-ben követett közelítéssel, felhasználva, hogy $du/dt = dv/dt$, átrendezés után kapjuk:

$$dt = \frac{\bar{R}^2}{k\sqrt{a(1-e^2)}} \cos I \frac{d\alpha}{1 - \sin^2 I \cdot \cos^2(\alpha - \Omega)}$$

Végül integrálva:

$$t_2 - t_1 = \frac{\bar{R}^2 \cdot \cos I}{k\sqrt{p}} \int_{\alpha_1}^{\alpha_2} \frac{d\alpha}{1 - \sin^2 I \cdot \cos^2(\alpha - \Omega)}$$

$$t_2 - t_1 = \frac{\bar{R}^2 \cdot \cos I}{k\sqrt{p}} \left[\sec I \cdot \operatorname{arc} \operatorname{ctg} \frac{\cos I}{\operatorname{tg}(\alpha - \Omega)} \right]_{\alpha_1}^{\alpha_2}$$

Igy a formula végső alakjában:

$$t_2 - t_1 = \frac{\bar{R}^2}{k\sqrt{p}} (u_2 - u_1)$$

ahol:

$$\operatorname{ctg} u_1 = \cos I \cdot \operatorname{ctg}(\alpha_1 - \Omega)$$

$$\operatorname{ctg} u_2 = \cos I \cdot \operatorname{ctg}(\alpha_2 - \Omega)$$

KEDVEZŐ ÉGI KÖR KIVÁLASZTÁSA

Mivel a keringési idő meghatározására a holdnak akár egy szélességi körön, akár valamely meridiánon való áthaladásait használhatjuk, célszerű a kedvezőbbet választani. Pontossági megfontolások alapján, egy adott I inklinációju hold esetén akkor célszerű a meridiánmetszést választani, ha a $d\lambda/dt > d\varphi/dt$ feltétel teljesül. Kérdés, hogy ez mikor következik be?

A 8.sz. FÜGGELÉK (3)-ban már bemutattuk, hogy:

$$\frac{d\varphi}{dt} = \frac{\sqrt{\sin^2 I - \sin^2 \varphi}}{\cos \varphi} \cdot \frac{du}{dt} \quad (1)$$

Másrészt, az ott használt ábra szerint felírhatjuk, hogy: $\operatorname{tg} u = \frac{\operatorname{tg} \lambda}{\cos I}$.
Deriválva és átrendezve:

$$\frac{d\lambda}{dt} = \cos u \cdot \frac{\cos^2 \lambda}{\cos^2 u} \cdot \frac{du}{dt} \quad (2)$$

Szintén az ábra felhasználásával kapjuk:

$$\frac{1}{\cos^2 u} = 1 + \operatorname{tg}^2 u = 1 + \frac{\operatorname{tg}^2 \lambda}{\cos^2 I} = \frac{\cos^2 I + \operatorname{tg}^2 \lambda}{\cos^2 I} \quad (3)$$

A (3)-at a (2) -be helyettesítve, majd tovább alakítva kapjuk:

$$\begin{aligned} \frac{d\lambda}{dt} &= \cos I \cdot \cos^2 \lambda \frac{\cos^2 I + \operatorname{tg}^2 \lambda}{\cos^2 I} \cdot \frac{du}{dt} = \frac{\cos^2 \lambda \cos^2 I + 1 - \cos^2 \lambda}{\cos I} \cdot \frac{du}{dt} \\ &= \frac{1 - \sin^2 I \cdot \cos^2 \lambda}{\cos I} \cdot \frac{du}{dt} = \frac{\cos^2 I + \sin^2 I \cdot \sin^2 \lambda}{\cos I} \cdot \frac{du}{dt} \end{aligned}$$

Használjuk fel a $\sin^2 \lambda = \operatorname{tg}^2 \varphi / \operatorname{tg}^2 I$ összefüggést:

$$\frac{d\lambda}{dt} = \cos I + \frac{\sin^2 I \cdot \operatorname{tg}^2 \varphi}{\cos I \cdot \operatorname{tg}^2 I} \frac{du}{dt} = \cos I \cdot (1 + \operatorname{tg}^2 \varphi) \cdot \frac{du}{dt}$$

Végülis:
$$\frac{d\lambda}{dt} = \frac{\cos I}{\cos^2 \varphi} \frac{du}{dt} \quad (4)$$

Most már a fenti $d\lambda/dt > d\varphi/dt$ feltételünket a következővel helyettesíthetjük:

$$\frac{\cos I}{\cos^2 \varphi} > \frac{\sqrt{\sin^2 I - \sin^2 \varphi}}{\cos \varphi}$$

$$\frac{\cos^2 I}{\cos^2 \varphi} > \sin^2 I - \sin^2 \varphi = \cos^2 \varphi - \cos^2 I$$

Ennek a $\cos \varphi$ -ben másodfoku egyenlőtlenségnek a megoldása adja meg a keresett feltételt:

$$\cos^2 \varphi_0 = \frac{\cos^2 I + \sqrt{\cos^4 I + 4 \cdot \cos^2 I}}{2}$$

Vagyis akkor érdekesebb a meridiánmetszést választani a szélességi kör metszése helyett, ha a szubszatellitapont szélessége nagyobb φ_0 -nál.